

Universidad Nacional de Ingeniería

PROGRAMA ACADÉMICO DE INGENIERIA CIVIL

TESIS DE GRADO

**ESTUDIO SISMICO COMPARATIVO
DE LA INTERACCION DE MUROS Y PORTICOS**

Tom o II

Franklin Talpe G. - Oswaldo Alvarez D.

Promoción 1968

Mayo 1972

Lima - Perú

I N D I C E (T O M O I I)

Página

| | |
|--|------|
| - METODO DE PHILLIP L. GOULD . (Diferencia Finitas). | |
| Breve exposición general ----- | 182 |
| Estudio en la dirección O-E (Caso I-Caso II)----- | 190 |
| Resumen ----- | 231 |
| Conclusiones ----- | 235 |
| Estudio en la dirección N-S(Caso I-Caso II)----- | 236 |
| Conclusiones----- | 265 |
| - METODO DE YACK LOPEZ ACUÑA (Método Matricial). | |
| Breve exposición general ----- | 267 |
| Estudio en la dirección O-E(Caso I-Caso II)----- | 278 |
| Resumen ----- | 302 |
| Conclusiones ----- | 304 |
| Estudio en la dirección N-S (Caso I-Caso II)----- | 305 |
| Conclusiones ----- | 322 |
| - METODO DE FAZLUR R.KHAN Y JOHN A. SBAROUNIS. | |
| Breve Exposición general----- | 323 |
| Estudio en la dirección O-E(Caso I-Caso II)----- | 331 |
| Resumen ----- | 367 |
| Comentario ----- | 368 |
| Conclusiones ----- | 369 |
| - GRAFICOS (Comparación de deformaciones)----- | 370 |
| - CONCLUSIONES Y RECOMENDACIONES GENERALES ----- | 376 |
| - PROGRAMAS UTILIZADOS ----- | 381 |
| - BIBLIOGRAFIA ----- | 400. |

M E T O D O D I F E R E N C I A S F I N I T A S A C I
INTERACCION DE MUROS Y PORTICOS

POR: PHILLIP L. GOULD

E X P O S I C I O N G E N E R A L

El problema de la interacción se reduce a considerar una viga en cantiliver con reacciones elásticas concentradas, llegándose a obtener una serie de ecuaciones simultáneas para cada piso. En el modelo físico de estudio, los pisos se representan por un resorte elástico, el que se une a un muro equivalente mediante una varilla rígida que lleva en el extremo de contacto con el muro un resorte cuyos giros sean los mismos que los de las vigas de unión de pórticos y muros; un piso es unido a otro mediante varillas rígidas.

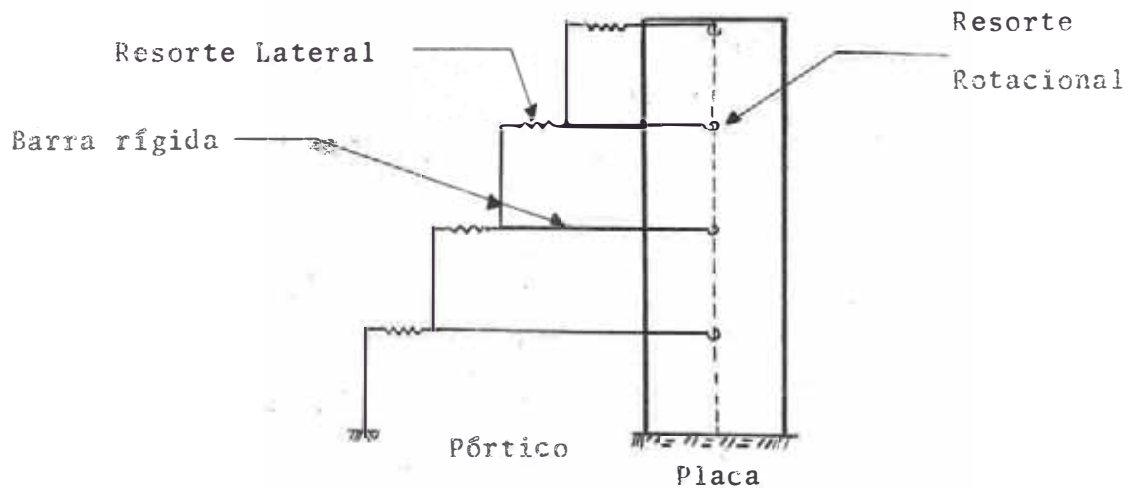
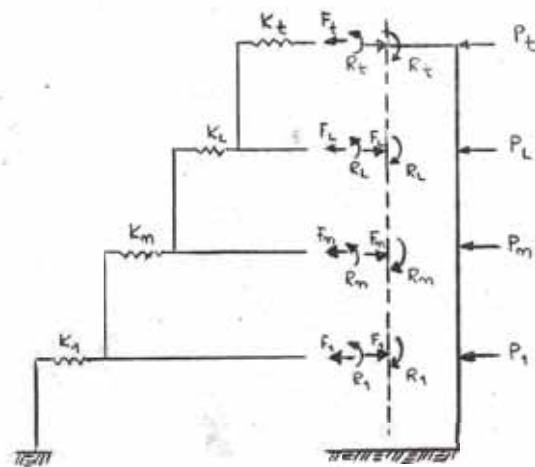


Fig. 1(a)



Fuerza y Reacciones sobre el sistema Placa

Fig. 1(b)

RIGIDEZ DE ENTREPISO DE PORTICOS.-

Es la relación entre la fuerza cortante resistida por un pórtico en un entrepiso y el desplazamiento horizontal relativo entre los dos niveles consecutivos.

Para pórticos se han aplicado las fórmulas de Wilbur; para pórticos que alojen muros en las crujeías se han aplicado las fórmulas de Cardan.

FORMULAS DE WILBUR:

$$K_T = 48E \div h_1 \left[\frac{4h_1}{\Sigma K_{c1}} + \frac{h_1 + h_0}{\Sigma K_{t1} + \frac{\Sigma K_{c1}}{12}} \right]$$

(n=1)

$$K_T = 48E \div h_2 \left[\frac{4h_2}{\Sigma K_{c2}} + \frac{h_1 + h_2}{\Sigma K_{t1} + \frac{\Sigma K_{c1}}{12}} + \frac{h_2 + h_3}{\Sigma K_{t2}} \right]$$

(n=2)

$$K_{Tn} = 48E \div h_n \left[\frac{4h_n}{\Sigma K_{cn}} + \frac{h_m + h_n}{\Sigma K_{tm}} + \frac{h_n + h_o}{\Sigma K_{tn}} \right]$$

K_T = Rigidez del entrepiso en cuestión

K_{tn} = Rigidez I/L de vigas sobre el entrepiso n

K_{cn} = Rigidez I/h de columnas sobre el entrepiso n

h_n = Altura del entrepiso n

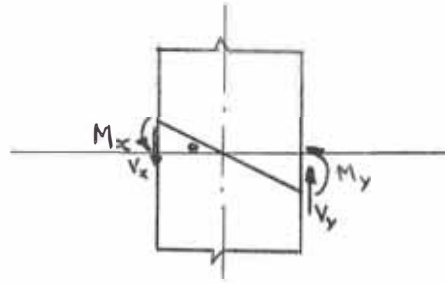
m, n, o Tres niveles consecutivos de abajo hacia arriba.

RIGIDEZ ANGULAR

Es el momento necesario para producir un giro unitario en el muro.

El momento en un nivel cualquiera se toma en el eje del muro.

$$\frac{M}{\emptyset} = R = M_x + M_y + \frac{(V_x + V_y) \cdot b}{2}$$



M_x, M_y Momentos en extremos de vigas adyacentes al muro

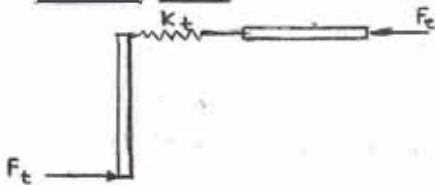
V_x, V_y Cortes en extremos de vigas adyacentes al muro.

Las fórmulas usadas han sido las de Cardan. Se verán más adelante.

FUERZAS QUE TOMAN LOS PORTICOS

Haciendo diagramas de cuerpo libre se tiene:

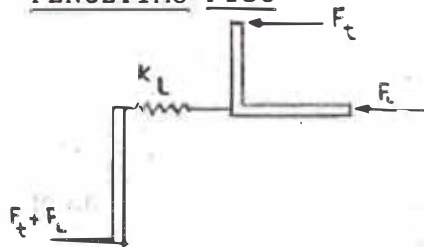
ULTIMO PISO



$$F_t = K_t \Delta y$$

$$F_t = K_t (Y_t - Y_L)$$

PENULTIMO PISO

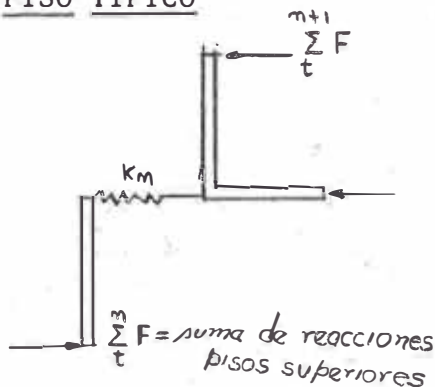


$$F_L + F_T = K_L \Delta y = K_L (Y_L - Y_{L-1})$$

$$F_L = (Y_L - Y_{L-1}) K_L - K_t (Y_t - Y_L)$$

$$F_L = -K_L Y_{L-1} + (K_L + K_t) Y_L - K_t Y_t$$

PISO TIPICO



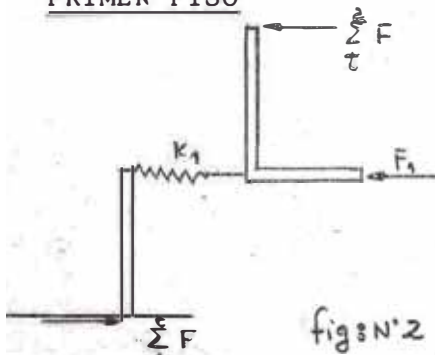
$$\sum_t^n F = K_n (Y_n - Y_{n-1})$$

$$\sum_t^{n+1} F = K_{n+1} (Y_{n+1} - Y_n)$$

$$K_{n+1} (Y_{n+1} - Y_n) + F_n = K_n (Y_n - Y_{n-1})$$

$$F_n = -K_n Y_{n-1} + (K_n + K_{n+1}) Y_n - K_{n+1} Y_{n+1}$$

PRIMER PISO



$$\sum_t^2 F = K_2 (Y_2 - Y_1)$$

$$\sum_t^1 F = K_1 Y_1$$

$$F_1 = K_1 Y_1 - K_2 (Y_2 - Y_1)$$

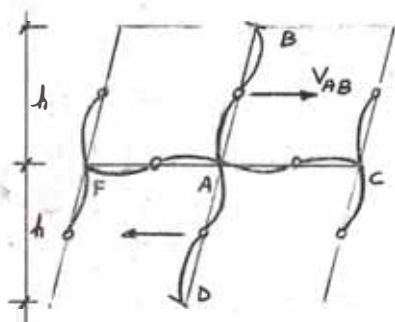
fig: N.º 2

M E T O D O D E D I F E R E N C I A S F I N I T A S

RIGIDEZ DE TRASLACION Y ROTACION (K_T y R)

Las expresiones de "BERBARD CARDAN", nos da los valores de estas rigideces, en los diversos casos que se presentan.

COLUMNA TIPO: 1



$$R' = 0$$

$$K_T' = \frac{12E}{h} \cdot \frac{K_{AB}(K_{AF} + K_{AC})}{\sum K} \quad (Tn)$$

$$V_{AB} = K_T \times \Delta = \frac{K_T'}{h} \times \Delta =$$

K_{AB} = Rigidez de la viga \overline{AB}

$\sum K$ = Suma de rigideces en el nudo A

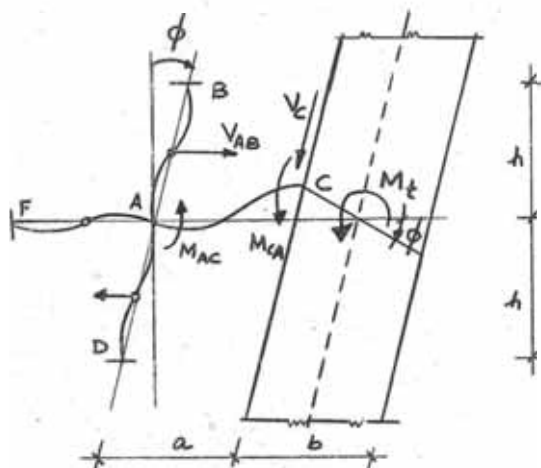
$$K_T = K_T' / h$$

COLUMNA TIPO: 2 Es similar a la columna tipo : 1, excepto que

$$K_{AF} = 0$$

$$R = 0 ; \quad K_T' = \frac{12E}{h} \cdot \frac{K_{AB} \cdot K_{AC}}{\sum K}$$

COLUMNA TIPO: 3



Como sabemos :

$$V_{AB} = K_T \times \Delta = \frac{K_T'}{h} \times \Delta$$

$$M_t = R \cdot \phi_B = R' \times h \times \phi$$

Donde $\phi = \phi_B + \phi_S$; pero $\phi_S \ll \phi_B$

Llamando

ϕ_B = giro por flexión

ϕ_S = giro por corte

$$I_S = \overline{I}_{AC} / h.$$

$$R = R' \times h.$$

M E T O D O D E D I F E R E N C I A S F I N I T A S

Luego :

$$R' = \frac{6EIS}{a} \left[\left(1 + \frac{b}{2a}\right) \left(1 + \frac{b}{a}\right) - \left(1 + \frac{3b}{2a}\right) \frac{K_{AC} \left(1 + \frac{b}{2a}\right) + K_{AF}}{2 \sum K} \right] (Tn)$$

$$K'_T = \frac{12E}{h} \left[K_{AF} + \left(1 + \frac{b}{2a}\right) K_{AC} \right] \frac{K_{AB}}{\sum K} \quad (Tn)$$

Para deducir las expresiones anteriores, como también en los diferentes casos que se presentan, CARDAN, hizo las siguientes asunciones :

- a).- El ángulo entre la viga y la placa se mantiene de 90° después de la deflexión, debido a la flexión y al corte.
- b).- Los puntos de inflexión de las columnas están consideradas en su punto medio, y en una misma línea recta que une estos puntos, del piso considerado y los adyacentes de arriba y abajo.
- c).- Los Puntos de inflexión de las vigas no adyacentes a la placa, están consideradas en el centro y en una misma línea horizontal.

SOLUCION DEL PROBLEMA

El problema de la interacción entre muros y pórticos se reduce al análisis de una viga en voladizo con cargas externas y momentos originados por las vigas que inciden en la placa.

El autor aplica ecuaciones en Diferencias Finitas, aproximando la verdadera curva matemática, relacionando las deflexiones de varios pisos mediante la curvatura, pendiente, momento de flexión y carga.

Ecuación Analítica

$$- E I y'' = M_n$$

$$E I y''' = T_n$$

Ecuación de Dif. Finitas

$$- \frac{E I}{H^2} (Y_{n-1} - 2Y_n + Y_{n+1}) = M_n$$

$$\frac{E I}{H^3} (Y_{n-2} - 4Y_{n-1} + 6Y_n - 4Y_{n+1} + Y_{n+2}) = T_n$$

En esta última ecuación interviene la fuerza del muro, por lo que los momentos de las vigas se reemplazarán por cuplas equivalentes.

En un punto : n $M = R_n \theta_n$

θ_n es la pendiente, expresada en diferencias finitas

$$\theta_n = \frac{dy}{dx} = \frac{Y_{n+1} - Y_{n-1}}{2H}$$

$$M = \frac{R_n}{2H} (Y_{n+1} - Y_{n-1})$$

En la cupla equivalente se aplicará fuerzas en los niveles (n+1) y (n-1).

$$V_{n+1} = V_{n-1} = \frac{M}{2H} = \frac{R_n}{4H^2} (Y_{n+1} - Y_{n-1})$$

En el nivel : t ; $V_t = V_{t-1}$; $\theta_t = \frac{Y_t - Y_{t-1}}{H}$

$$V_t = V_{t-1} = \frac{M_t}{H} = \frac{R_t}{H^2} (Y_t - Y_{t-1})$$

ULTIMO PISO

$$T_m = P_m - F_m - V_m$$

$$P_m = T_m + F_m + V_m$$

$$T_m = \frac{EI}{H^3} (Y_m - 2Y_{m-1} + Y_{m-2})$$

$$F_m = K_m (Y_m - Y_{m-1})$$

$$V_m = \frac{R_m}{H} (Y_m - Y_{m-1}) + \frac{R_{m-1}(Y_m - Y_{m-2})}{4H^2}$$

$$P_m = Y_m (-1 + \bar{K}_m + 4\bar{R}_m + \bar{R}_{m-1}) - Y_{m-1} (2 + \bar{K}_m + 4\bar{R}_m) + Y_{m-2} (1 - \bar{R}_{m-1})$$

S

PENULTIMO PISO

$$P_L = T_L + F_L + V_L$$

$$T_L = \frac{EI}{H^3} (-2Y_{L+1} + 5Y_L - 4Y_{L-1} + Y_{L-2})$$

$$F_L = K_L (Y_L - Y_{L-1}) - K_{L+1} (Y_{L+1} - Y_L)$$

$$V_L = \frac{R_{L-1}}{4H^2} (Y_L - Y_{L-2}) - \frac{R_{L+1}}{4H^2} (Y_{L+1} - Y_L)$$

$$\frac{P_L}{S} = -Y_{L+1} (2 + \bar{K}_{L+1} + 4\bar{R}_{L+1}) + Y_L (5 + \bar{K}_{L+1} + \bar{K}_L + \bar{R}_{L-1} + 4\bar{R}_L) - Y_{L-1} (4 + \bar{K}_L) + Y_{L-2} (1 - \bar{R}_{L-1})$$

PRIMER PISO

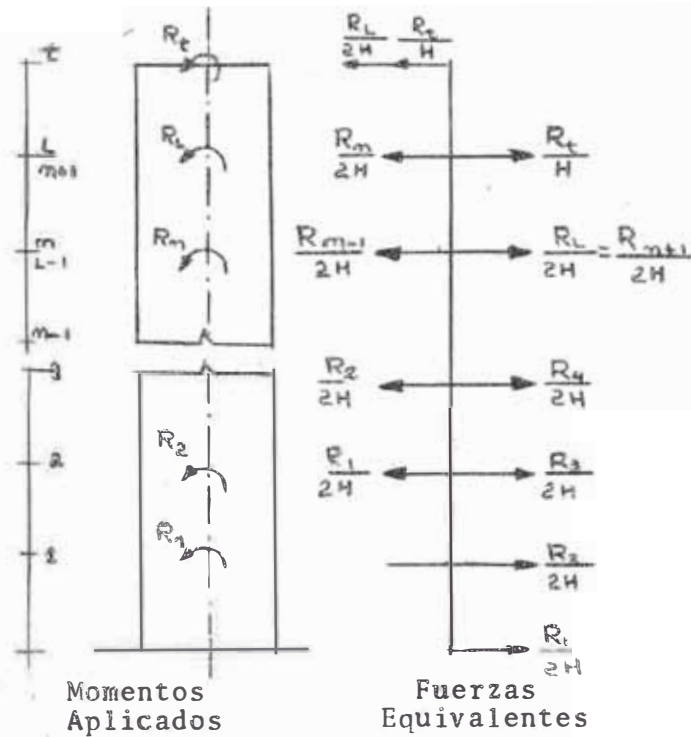
$$P_1 = T_1 + F_1 + V_1$$

$$T_1 = \frac{EI}{H^3} (7Y_1 - 4Y_2 + Y_3)$$

$$F_1 = K_1 Y_1 - K_2 (Y_2 - Y_1)$$

$$V_1 = \frac{R_2}{4H^2} (Y_3 - Y_1)$$

$$\frac{P_1}{S} = (7 + \bar{K}_1 + \bar{K}_2 + \bar{R}_2) Y_1 - (4 + \bar{K}_2) Y_2 + (1 - \bar{R}_2) Y_3$$



En un nivel n

$$T_n = P_n - F_n - V_n$$

T_n = Fuerza en el muro

P_n = Fuerza en todo el piso

F_n = Fuerza tomada por los pórticos

V_n = Fuerzas de equivalentes a los momentos.

$$P_n = T_n + F_n + V_n$$

$$T_n = \frac{EI}{H^3} (Y_{n-2} - 4Y_{n-1} + 6Y_n - 4Y_{n+1} + Y_{n+2})$$

$$F_n = K_n(Y_n - Y_{n-1}) - K_{n+1}(Y_{n+1} - Y_n)$$

$$V_n = \frac{R_{n-1}}{4H^2} (-Y_{n-2} + Y_n) - \frac{R_{n+1}}{4H^2} (Y_{n+2} - Y_n)$$

Llamando $\frac{EI}{H^3} = S$ $\bar{R}_n = \frac{R_n}{4H^2 S}$ $\bar{K}_n = \frac{K_n}{S}$

$$(1 - \bar{R}_n + 1)Y_{n+2} - (4 + \bar{K}_{n+1})Y_{n+1} + (6 + \bar{K}_n + \bar{K}_{n+1} + \bar{R}_n - 1 + \bar{R}_{n+1})Y_n$$

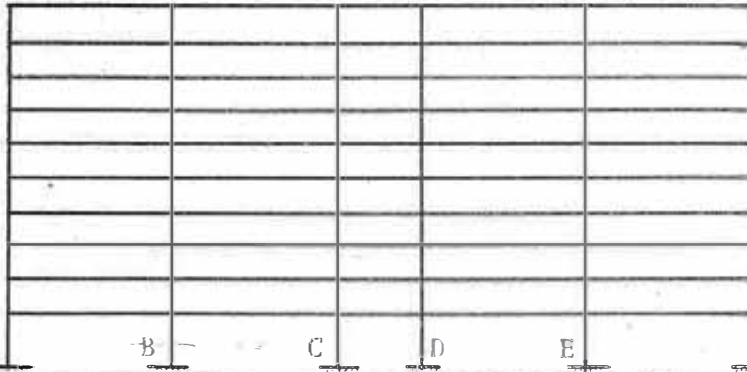
$$- (4 + \bar{K}_n)Y_{n-1} + (1 - \bar{R}_n - 1)Y_{n-2} = \frac{P_n}{S_n}$$

ANALISIS SISMICO DIRECCION: O-E
METODO DIFERENCIAS FINITAS: ACI

P A S O I : Cálculo de las rigideces de los pórticos mediante las expresiones de Wilbur: (Traslación).

EJE 1 Y 3 ----- " K_{T1} "

" K_T " = T_n/cm



(RIGIDEZ DE TRASLACION)

$$K_C = \text{RIGIDEZ DE COLUMNA} = \frac{I_C}{h}$$

$$K_t = \text{RIGIDES DE VIGA} = \frac{I_V}{L}$$

K = SUMA DE RIGIDECES POR NUDO.

| N | $\frac{48E}{h_i}$ | $\frac{4h_i}{\Sigma K_{ci}}$ | ΣK_{ti} | ΣK_{ci} | $h_i+h_j/\Sigma K_{ti}$ | $\frac{(h_i+h_j)/\Sigma K_{ti}}{+1/12\Sigma K_{ci}}$ | K_T Tn/cm |
|----|-------------------|------------------------------|-----------------|-----------------|-------------------------|--|----------------|
| 10 | 38.4 | 0.450 | 4,640 | 2,580 | 0.125+0.0625 | ----- | 60 |
| 9 | 38.4 | 0.450 | 4,640 | 2,580 | 0.125+0.0125 | ----- | 55 |
| 8 | 38.4 | 0.450 | 4,640 | 2,580 | 0.125+0.0125 | ----- | 55 |
| 7 | 38.4 | 0.174 | 4,640 | 6,680 | 0.125+0.0125 | ----- | 90 |
| 6 | 38.4 | 0.174 | 4,640 | 6,680 | 0.125+0.0125 | ----- | 90 |
| 5 | 38.4 | 0.174 | 4,640 | 6,680 | 0.125+0.0125 | ----- | 90 |
| 4 | 40.9 | 0.105 | 4,640 | 11,020 | 0.125+0.0125 | ----- | 109 |
| 3 | 40.9 | 0.105 | 4,640 | 11,020 | 0.125+0.0125 | ----- | 109 |
| 2 | 40.9 | 0.105 | 4,640 | 11,020 | 0.125 | 0.114 | 119 |
| 1 | 35.9 | 0.136 | 4,640 | 9,690 | | 0.114 | 143 |

EJE 2' ; ----- " K_{T2} "

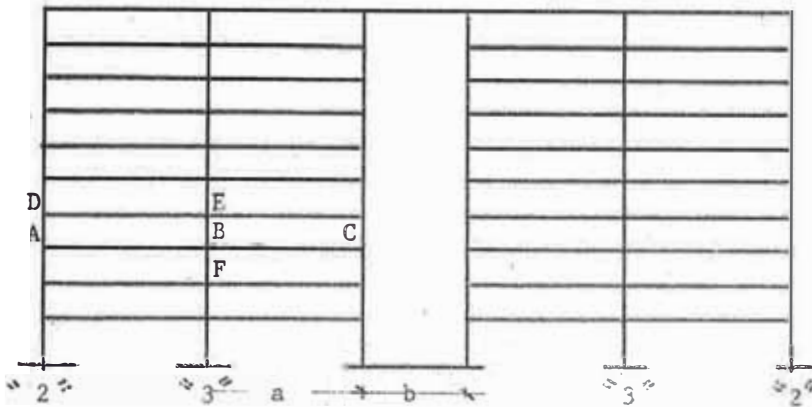
| N | $48E/h_i$ | $\frac{4h_i}{\Sigma K_{ci}}$ | ΣK_{ti} | ΣK_{ci} | $h_i+h_j/\Sigma K_{ti}$ | $\frac{(h_i+h_j)/\Sigma K_{ti}}{+1/12\Sigma K_{ci}}$ | K_T Tn/cm |
|------|-----------|------------------------------|-----------------|-----------------|-------------------------|--|---------------------|
| 10-5 | 38.4 | 1.49 | 270 | 780 | 2.15 | ----- | $\frac{8.20}{6.70}$ |
| 4-3 | 40.9 | 1.49 | 270 | 780 | 2.15 | ----- | 7.10 |
| 2 | 40.9 | 1.49 | 270 | 780 | 2.15 | 1.89 | 7.40 |
| 1 | 35.9 | 1.92 | 270 | 686 | ----- | 1.89 | 9.40 |

M E T O D O D I F E R E N C I A S F I N I T A S A C I

P A S O I I Cálculo de las rigideces de las vigas que incide en el muro: Mediante las expresiones de CARDAN (ROTACION).

E J E 2

SEGUN CARDAN :



Columna : $C_{2B} \Rightarrow$ Tipo 3

Columna : $C_{2A} \Rightarrow$ Tipo 2

Donde :

$$a=5.35\text{m}; b=3.70\text{m}$$

$$(1+b/a)=1.70; (1+b/2a)=1.35$$

$$(1+3b/2a) = 2.05.$$

I) RIGIDES DE ROTACION : $R = R' \cdot h$.

$$R' = \frac{6EIS}{a} \left[\left(1 + \frac{b}{2a}\right) \left(1 + \frac{b}{a}\right) - \left(1 + \frac{3b}{2a}\right) \frac{K_{BC} \left(1 + \frac{b}{2a}\right) + K_{BA}}{2 \sum K} \right]$$

Donde $I_S = I_{BC}/h$

$$\frac{6EI_{BC}}{ah_m} = \frac{6 \times 2.32 \times 10^2 \text{ Tn/m}^2 \times 540 \times 10^3 \text{ m}^4}{535 \times 290 \text{ cm}^2} = 4.85 \times 10^3 \text{ Tn}; \quad \frac{6EI_{BC}}{ah_1} = 4.25 \times 10^3 \text{ Tn}$$

$$\text{También } \alpha = E_{240}/E_{210} = 1.065$$

Los valores de $K_{BC} = 1,010 \text{ cm}^3$ $K_{BA} = 980 \text{ cm}^3$

| N | $6EI_S/a$ | $1.35K_{BC}$ | $1.35K_{BC} + K_{BA}$ | $\sum K$ | $\beta_{(N)}$ | $\mu - \beta_{(N)}$ | $R'_i \text{ Tn}$ | N |
|----|--------------------|--------------|-----------------------|----------|---------------|---------------------|-------------------|----|
| 10 | 4.85×10^3 | 1,365 | 2,345 | 2,540 | 0.95; | 1.35 | 6,100 | 10 |
| 9 | 4.85×10^3 | 1,365 | 2,345 | 3,090 | 0.78; | 1.52 | 7,300 | 9 |
| 8 | 4.85×10^3 | 1,365 | 2,345 | 3,090 | 0.78; | 1.52 | 7,300 | 8 |
| 7 | 4.85×10^3 | 1,365 | 2,345 | 3,980 | 0.61; | 1.69 | 7,300 | 7 |
| 6 | 4.85×10^3 | 1,365 | 2,345 | 4,870 | 0.50; | 1.80 | 8,700 | 6 |
| 5 | 4.85×10^3 | 1,365 | 2,345 | 4,870 | 0.50; | 1.80 | 8,700 | 5 |
| 4 | 5.18×10^2 | 1,365 | 2,345 | 5,910 | 0.41; | 1.89 | 9,700 | 4 |
| 3 | 5.18×10^3 | 1,365 | 2,345 | 7,915 | 0.30; | 2.00 | 10,000 | 3 |
| 2 | 5.18×10^3 | 1,365 | 2,345 | 7,915 | 0.30; | 2.00 | 10,000 | 2 |
| 1 | 4.53×10^3 | 1,365 | 2,345 | 7,650 | 0.31; | 1.98 | 8,700 | 1 |

$$(*) \beta = 2.05 \quad \frac{1.35K_{BC} + K_{BA}}{2 K}$$

$$(*) \mu = (1+b/2a) (1+b/a)$$

M E T O D O D I F E R E N C I A S F I N I T A S A C I

I') RIGIDEZ DE TRASLACION :

- Columna Tipo 2: $K_T' = \frac{12E}{h} \frac{K_{AD} \times K_{AB}}{\Sigma K}$ (CARDAN)

Donde : $K_{AD29} = 950 \text{ cm}^3$; $K_{AD33} = 835 \text{ cm}^3$
 $K_{AB} = 980 \text{ cm}^3$

| N | 12E/h | ΣK | $K_{AD} K_{AB}$ | $\frac{K_{AD}K_{AB}}{\Sigma K}$ | K_T' (Tn) | N |
|----|-------|------------|-----------------|---------------------------------|-------------|----|
| 10 | 9.6 | 1,930 | 931,000 | 483 | 4,640 | 10 |
| 9 | 9.6 | 2,880 | 931,000 | 324 | 3,100 | 9 |
| 8 | 9.6 | 2,880 | 931,000 | 324 | 3,100 | 8 |
| 7 | 9.6 | 2,880 | 931,000 | 324 | 3,100 | 7 |
| 6 | 9.6 | 2,880 | 931,000 | 324 | 3,100 | 6 |
| 5 | 9.6 | 2,880 | 931,000 | 324 | 3,100 | 5 |
| 4 | 10.2 | 2,880 | 931,000 | 324 | 3,300 | 4 |
| 3 | 10.2 | 2,880 | 931,000 | 324 | 3,300 | 3 |
| 2 | 10.2 | 2,880 | 931,000 | 324 | 3,300 | 2 |
| 1 | 8.9 | 2,765 | 818,300 | 295 | 2,620* | 1 |

- Columna Tipo 3: $K_T = \frac{12E}{h} \left[K_{BA} + \left(1 + \frac{b}{2a}\right) K_{BC} \right] \frac{K_{BE}}{\Sigma K}$ (CARDAN)

Donde : $K_{BA} = 980 \text{ cm}^3$
 $K_{BC} = 1,010 \text{ cm}^3$

| N | 12 E/h | $1.35 K_{BC}$ | $K_{BA} + 1.35 K_{BC}$ | ΣK | $\frac{K_{BE}}{\Sigma K}$ | K_T' (Tn) | N |
|----|--------|---------------|------------------------|------------|---------------------------|-------------|----|
| 10 | 9.6 | 1,365 | 2,345 | 2,540 | 0.215 | 4,800 | 10 |
| 9 | 9.6 | 1,365 | 2,345 | 3,090 | 0.178 | 4,000 | 9 |
| 8 | 9.6 | 1,365 | 2,345 | 3,090 | 0.178 | 4,000 | 8 |
| 7 | 9.6 | 1,365 | 2,345 | 3,980 | 0.361 | 8,100 | 7 |
| 6 | 9.6 | 1,365 | 1,345 | 3,870 | 0.295 | 6,600 | 6 |
| 5 | 9.6 | 1,365 | 2,345 | 4,870 | 0.295 | 6,600 | 5 |
| 4 | 10.2 | 1,365 | 2,345 | 5,910 | 0.420 | 10,000 | 4 |
| 3 | 10.2 | 1,365 | 2,345 | 6,950 | 0.357 | 8,530 | 3 |
| 2 | 10.2 | 1,365 | 2,345 | 6,950 | 0.357 | 8,530 | 2 |
| 1 | 8.9 | 1,365 | 2,345 | 6,650 | 0.373 | 7,780* | 1 |

* $K_1 = \frac{35.9}{\left(\frac{4 \times 330}{3,015} + \frac{330 + 290}{990 + \frac{3,015}{12}} \right)} = 38.40 \text{ Tn/cm.} = 3,840 \text{ Tn/m.}$

(WILBUR)

M E T O D O D I F E R E N C I A S F I N I T A S : A C I

C U A D R O I VALORES FINALES DE LAS RIGIDECES DE TRASLACION Y
ROTACION : K_T (Tn/m); R (Tn-m).

| N | $P_1 = P_3$ 2 x 100 | P_2' x 100 | Tipo : 2 2 : 2.90 | Tipo : 3 2 : 2.90 | K_T Tn/m | R_x h 2 x 2.90 | R Tn-m |
|----|------------------------|---------------------|----------------------|----------------------|------------|---------------------|--------|
| 10 | 60 Tn/m | 8.15 $\frac{Tn}{m}$ | 4,640 Tn | 4,800 Tn | 18,540 * | 6,100 | 35,400 |
| 9 | 55 | 6.62 | 3,100 | 4,000 | 16,550 | 7,300 | 42,400 |
| 8 | 55 | 6.62 | 3,100 | 4,000 | 16.230 | 7,300 | 42,400 |
| 7 | 90 | 6.62 | 3,100 | 8,100 | 26,050 | 7,300 | 42,400 |
| 6 | 90 | 6.62 | 3,100 | 6,600 | 25,550 | 8,700 | 50,600 |
| 5 | 90 | 6.62 | 3,100 | 6,600 | 25,290 | 8,700 | 50,600 |
| 4 | 109 | 7.10 | 3,300 | 10,000 | 32,210 | 9,700 | 56,400 |
| 3 | 109 | 7.10 | 3,300 | 8,530 | 31,690 | 10,000 | 58,000 |
| 2 | 119 | 7.40 | 3,300 | 8,530 | 32,860 | 10,000 | 58,000 |
| 1 | 143 | 9.40 | 2x3,840 Tn/m. | | 37,180 | 8,700 | 50,800 |

PASO III : Calculadas las rigideces de traslación (K Tn/m) y rotación R (Tn-m); establecemos las ecuaciones del ACI (*) que nos permiten calcular los desplazamientos del volado, bajo las acciones: Corte (V); K_T (Tn/m); R (Tn-m).

Los Valores : $\bar{R}_i = \frac{R_i}{4H_i^2 S_i}$ (1) $\bar{K}_i = \frac{K_T i}{S_i}$ (2)

Donde : $S_i = \frac{EI}{H_i^3}$ (3)

De (1) E = Módulo de elasticidad de las placas
 I = Momento de Inercia de las placas

C A S O : I $\left\{ \begin{array}{l} E = 2.32 \times 10^6 \text{ Tn/m}^2 \\ I_1 = 1.9617 \text{ m}^4 \end{array} \right.$

C A S O : II $\left\{ \begin{array}{l} E = 2.32 \times 10^6 \text{ Tn/m}^2 \\ I_2 = 4.7248 \text{ m}^4 \end{array} \right.$

(*1) Debe ser = 18,940

(*2) Exposición del método

M E T O D O D I F E R E N C I A S F I N I T A S : A C I

$$\text{de(1) } \dots 4H_i^2 S_i = 4 H_i^2 \frac{EI}{H_i^3} = \frac{4EI}{H_i}$$

| C A S O : I | | | C A S O : I I | | |
|------------------|--------------------|--------------------|------------------|--------------------|--------------------|
| $EI \times 10^5$ | $\frac{4EI}{2.90}$ | $\frac{4EI}{3.30}$ | $EI \times 10^5$ | $\frac{4EI}{2.90}$ | $\frac{4EI}{3.30}$ |
| 45.5114 | 62.8×10^5 | 55.1×10^5 | 109.615 | 151×10^5 | 133×10^5 |

$$\text{de(3) } \dots S_i = \frac{EI}{H_i^3} \quad (\text{Tn/m})$$

$$S_I = \begin{cases} \frac{45.5114}{(2.9)^3} = 1.87 \times 10^5 \\ \frac{45.5114}{(3.3)^3} = 1.27 \times 10^5 \end{cases} \quad S_{II} = \begin{cases} \frac{109.615}{(2.9)^3} = 4.5 \times 10^5 \\ \frac{109.615}{(3.3)^3} = 3.05 \times 10^5 \end{cases}$$

| N | R I G I D E C E S | | C A S O : I | | C A S O : I I | | N |
|----|---------------------|-------------------|-------------|-----------|---------------|-----------|----|
| | $K_T (\text{Tn/m})$ | $R (\text{Tn-m})$ | \bar{K} | \bar{R} | \bar{K} | \bar{R} | |
| 10 | 18,540 | 35,400 | 0.09910 | 0.00563 | 0.04121 | 0.00235 | 10 |
| 9 | 16,550 | 42,400 | 0.08860 | 0.00672 | 0.03675 | 0.00280 | 9 |
| 8 | 16,230 | 42,400 | 0.08690 | 0.00672 | 0.03610 | 0.00280 | 8 |
| 7 | 26,050 | 32,400 | 0.13960 | 0.00672 | 0.05800 | 0.00280 | 7 |
| 6 | 25,550 | 50,600 | 0.13690 | 0.00804 | 0.05690 | 0.00334 | 6 |
| 5 | 25,290 | 50,600 | 0.13550 | 0.00804 | 0.05610 | 0.00334 | 5 |
| 4 | 32,210 | 56,400 | 0.17260 | 0.00896 | 0.07170 | 0.00374 | 4 |
| 3 | 31,690 | 58,000 | 0.16980 | 0.00920 | 0.07040 | 0.00384 | 3 |
| 2 | 32,860 | 58,000 | 0.17600 | 0.00920 | 0.07290 | 0.00384 | 2 |
| 1 | 37,180 | 50,800 | 0.29270 | 0.00920 | 0.12200 | 0.00382 | 1 |

ESTABLECEMOS LAS ECUACIONES (ACI) ----- (PASO III)

$$\text{Teniendo en cuenta : } \frac{P_i}{S_i} = \frac{Tn}{Tn/m} = m$$

$$\bar{R}_i = \frac{Tn-m}{Tn/m} = \text{constante}$$

$$\bar{K}_i = \frac{Tn/m}{Tn/m} = \text{constante}$$

M E T O D O D I F E R E N C I A S F I N I T A S A C I

LAS ECUACIONES SON

C A S O I

| N | Y ₁₀ | Y ₉ | Y ₈ | Y ₇ | Y ₆ | Y ₅ | Y ₄ | Y ₃ | Y ₂ | Y ₁ | P _i /S _i | N |
|----|-----------------|----------------|----------------|----------------|----------------|----------------|----------------|----------------|----------------|----------------|--------------------------------|----|
| | | | | | | | | | | | x 10⁵ | |
| 10 | 1.128 | -2.121 | 0.993 | | | | | | | | 26.50 | 10 |
| 9 | -2.121 | 5.216 | -4.088 | 0.993 | | | | | | | 11.800 | 9 |
| 8 | 0.993 | -4.088 | 6.188 | -4.086 | 0.993 | | | | | | 10.600 | 8 |
| 7 | | 0.993 | -4.086 | 6.241 | -4.139 | 0.991 | | | | | 9.350 | 7 |
| 6 | | | 0.993 | -4.139 | 6.291 | -4.136 | 0.991 | | | | 8.190 | 6 |
| 5 | | | | 0.991 | -4.139 | 6.289 | -4.135 | 0.991 | | | 6.890 | 5 |
| 4 | | | | | 0.991 | -4.135 | 6.325 | -4.172 | 0.990 | | 5.500 | 4 |
| 3 | | | | | | 0.991 | -4.172 | 6.360 | -4.169 | 0.990 | 4.200 | 3 |
| 2 | | | | | | | 0.990 | -4.169 | 6.364 | -4.176 | 2.820 | 2 |
| 1 | | | | | | | | 0.990 | -4.176 | 7.477 | 2.230 | 1 |

(295)

M E T O D O D I F E R E N C I A S F I N I T A S : A C I

C A S O I I

| N | Y ₁₀ | Y ₉ | Y ₈ | Y ₇ | Y ₆ | Y ₅ | Y ₄ | Y ₃ | Y ₂ | Y ₁ | P _i '/S _i | N |
|----|-----------------|----------------|----------------|----------------|----------------|----------------|----------------|----------------|----------------|----------------|---------------------------------|----|
| 10 | 1.053 | -2.050 | 0.997 | | | | | | | | $\times 10^{-5}$ 10.975 | 10 |
| 9 | -2.050 | 5.090 | -4.036 | 0.997 | | | | | | | 4.880 | 9 |
| 8 | 0.997 | -4.036 | 6.078 | -4.036 | 0.997 | | | | | | 4.385 | 8 |
| 7 | | 0.997 | -4.036 | 6.100 | -4.058 | 0.996 | | | | | 3.870 | 7 |
| 6 | | | 0.997 | -4.058 | 6.121 | -4.056 | 0.996 | | | | 3.390 | 6 |
| 5 | | | | 0.996 | -4.056 | 6.120 | -4.056 | 0.996 | | | 2.845 | 5 |
| 4 | | | | | 0.996 | -4.056 | 6.134 | -4.071 | 0.996 | | 2.280 | 4 |
| 3 | | | | | | 9.976 | -4.071 | 6.149 | -4.070 | 0.996 | 1.740 | 3 |
| 2 | | | | | | | 0.996 | -4.070 | 6.150 | -4.072 | 1.169 | 2 |
| 1 | | | | | | | | 0.996 | -4.072 | 7.198 | 0.937 | 1 |

(196)

M E T O D O D I F E R E N C I A L E S F I N I T A S · A C I

Resolviendo las ecuaciones, hallamos los desplazamientos en cada nivel: Y_i (mts)

P A S O IV : Cálculo de los Giros :

$$\text{Nivel : } i \quad \theta_i = \frac{Y_{i+1} - Y_{i-1}}{2 h}$$

$$\text{Nivel : } 10 \quad \theta_{10} = \frac{Y_{10} - Y_9}{h u}$$

$$\text{Nivel : } 1 \quad \theta_1 = \frac{Y_1}{h_1}$$

CUADRO II : GIROS Y DESPLAZAMIENTOS DE LA ESTRUCTURA

| | C A S O I | | | C A S O II | | | |
|----|--------------------------|-------------------------|---------------------------|--------------------------|-------------------------|---------------------------|----|
| N | $Y_i \times 10^{-5} (m)$ | $Y_{(i+1)} - Y_{(i-1)}$ | $\theta_o \times 10^{-5}$ | $Y_i \times 10^{-5} (m)$ | $Y_{(i+1)} - Y_{(i-1)}$ | $\theta_o \times 10^{-5}$ | N |
| 10 | 2827.5519 | 306.1651 | 105.57 | 2305.7479 | 282.0339 | 97.25 | 10 |
| 9 | 2521.3868 | 627.2135 | 108.14 | 2023.7140 | 568.9458 | 98.09 | 9 |
| 8 | 2200.3384 | 655.7466 | 114.78 | 1736.8021 | 576.5987 | 99.41 | 8 |
| 7 | 1865.6402 | 672.1554 | 115.88 | 1447.1153 | 575.5927 | 99.24 | 7 |
| 6 | 1528.1830 | 676.4886 | 116.83 | 1161.2094 | 563.9992 | 87.24 | 6 |
| 5 | 1189.1516 | 670.4399 | 115.59 | 883.1161 | 540.3866 | 93.17 | 5 |
| 4 | 857.7431 | 637.8758 | 108.11 | 620.8228 | 496.8193 | 85.37 | 4 |
| 3 | 551.2758 | 573.0471 | 97.12 | 386.2968 | 428.9809 | 73.96 | 3 |
| 2 | 284.6960 | 465.0248 | 78.82 | 191.8419 | 331.0821 | 57.08 | 2 |
| 1 | 86.2510 | 86.2510 | 26.14 | 55.2147 | 55.2147 | 16.73 | 1 |

M E T O D O D I F E R E N C I A S F I N I T A S A C I

R E S U M E N: 1 Se ha hallado

- Rigidez de los pórticos (K_T) ----- PASO I
- Rigidez de las vigas de unión (R) ----- PASO II
- Los desplazamientos (Y_i) ----- PASO III
- Los giros (θ_i) ----- PASO IV

Luego como los giros hallados; son los de la estructura; por que se ha tomado los efectos de todos los marcos (K_T) y de todas las vigas de unión; (R); aplicados a la placa, como también los cortantes (V_T). Debemos de demostrar que individualmente cada elemento resistente; se desplazará (Y_i) ó girara (θ_i), bajo sus respectivos esfuerzos:

P A S O V : Cálculo de las fuerzas absorbidas por cada uno de los pórticos.

UTILIZANDO LAS EXPRESIONES DEL ACI * QUE EN FUNCION DE

K_{T_i} = Rigidez del pórtico " i " ; (Traslación) Tn/m.

Y_i = Desplazamiento en cada nivel (m).

HALLAMOS :

F_i = Fuerza en cada nivel; del pórtico " i "

HACEMOS PARA :

$$i = \left\{ \begin{array}{l} 1 \rightarrow \text{Pórtico } 1 \\ 2 \rightarrow \text{ " } 2 \\ 2' \rightarrow \text{ " } 2' \\ 3 \rightarrow \text{ " } 3 \end{array} \right.$$

(*) Exposición del método.

M E T O D O D I F E R E N C I A S F I N I T A S . A C IP O R T I C O : 1 = P O R T I C O : 3C A S O : I

| N | Y_i (m) | K_{T1} (Tn/m) | $k_n Y_{n-1}$ (-) | k_n+k_{n+1} | $(k_n+k_{n+1})Y_n$ | $k_{n+1}Y_{n+1}$ (-) | F_i (Tn) | N |
|----|----------------------|--------------------|----------------------|---------------|------------------------|-------------------------|---------------|----|
| 10 | 28.275×10^3 | 6,000 | $Y_{10}-Y_9 = 3.062$ | | $K_{10}(3.062)$ | | 18.3696 | 10 |
| 9 | 25.213 | 5,500 | 121.016 | 11,500 | 289.949 | 169.650 | - 0.7124 | 9 |
| 8 | 22.003 | 5,500 | 102.608 | 11,000 | 242.033 | 138.671 | 0.7502 | 8 |
| 7 | 18.656 | 9,000 | 137.520 | 14,500 | 270.512 | 121.016 | 12.3006 | 7 |
| 6 | 15.281 | 9,000 | 107.019 | 18,000 | 275.058 | 167.904 | 0.1420 | 6 |
| 5 | 11.891 | 9,000 | 77.193 | 18,000 | 214.038 | 137.529 | - 0.6943 | 5 |
| 4 | 8.577 | 10,900 | 60.080 | 19,900 | 170.682 | 107.019 | 4.7775 | 4 |
| 3 | 5.512 | 10,900 | 31.021 | 21,800 | 120.161 | 93.489 | - 4.5497 | 3 |
| 2 | 2.846 | 11,900 | 10.257 | 22,800 | 64.888 | 60.080 | - 6.8611 | 2 |
| 1 | 0.862 | 14,300 | $K_1 Y_1 = 12.326$ | | $-K_2(Y_2-Y_1) 23.609$ | | -11.2790 | 1 |

P O R T I C O : 2 (M A R C O A - B)

| N | Y_i (m) | K_{T2} | $k_n Y_{n-1}$ (-) | k_n+k_{n+1} | $(k_n+k_{n+1})Y_n$ | $k_{n+1}Y_{n+1}$ (-) | F_i (Tn) | N |
|----|----------------------|----------|----------------------|---------------|------------------------|-------------------------|---------------|----|
| 10 | 28.275×10^3 | 5,725 | $Y_{10}-Y_9 = 3.062$ | | $K_{10}(3.062)$ | | 17.529 | 10 |
| 9 | 25.213 | 4,900 | 107.904 | 10,625 | 267.888 | 161.874 | - 1.890 | 9 |
| 8 | 22.003 | 4,900 | 91.414 | 9,800 | 215.629 | 123.543 | 0.672 | 8 |
| 7 | 18.656 | 7,700 | 117.663 | 12,600 | 234.965 | 107.904 | 9.398 | 7 |
| 6 | 15.281 | 6,700 | 79.669 | 14,400 | 220.076 | 143.651 | - 3.244 | 6 |
| 5 | 11.891 | 6,700 | 57.455 | 13,400 | 159.239 | 102.382 | - 0.598 | 5 |
| 4 | 8.577 | 9,180 | 50.600 | 15,880 | 136.202 | 79.669 | 5.933 | 4 |
| 3 | 5.512 | 8,170 | 23.251 | 17,350 | 95.633 | 78.756 | - 6.374 | 3 |
| 2 | 2.846 | 8,170 | 7.085 | 16,340 | 46.510 | 45.010 | - 5.185 | 2 |
| 1 | 0.862 | 7,680 | $K_1 Y_1 = 6.620$ | | $-K_2(Y_2-Y_1) 14.701$ | | - 8.081 | 1 |

M E T O D O D I F E R E N C I A S F I N I T A S . A C IP O R T I C O : 2'C A S O : I

| N | $Y_i \times 10^{-3} \text{ m}$ | $K_T 2'$ Tn/m | $K_n Y_{n-1}$ (→) | $(\alpha) =$ $K_n + K_{n+1}$ | $(\alpha) \cdot Y_n$ | $K_{n+1} Y_{n+1}$ (←) | F_i (Tn) | N |
|----|--------------------------------|------------------|------------------------|---------------------------------|---------------------------|--------------------------|---------------|----|
| 10 | 28.275 | 815 | $Y_{10} - Y_9 = 3.062$ | | $K_{10}(3.062)$ | | 2.5105 | 10 |
| 9 | 25.213 | 662 | 14.598 | 1,477 | 37.2505 | 23.012 | -0.3595 | 9 |
| 8 | 22.003 | 662 | 12.387 | 1,324 | 29.1634 | 16.685 | 0.0914 | 8 |
| 7 | 18.656 | 662 | 10.120 | 1,324 | 28.7376 | 14.598 | 0.0186 | 7 |
| 6 | 15.281 | 662 | 7.835 | 1,324 | 20.2826 | 12.387 | 0.0106 | 6 |
| 5 | 11.891 | 662 | 5.675 | 1,324 | 15.7439 | 10.120 | -0.0511 | 5 |
| 4 | 8.577 | 710 | 3.908 | 1,372 | 11.7485 | 7.885 | -0.0445 | 4 |
| 3 | 5.512 | 710 | 2.012 | 1,420 | 8.8187 | 6.090 | -0.2833 | 3 |
| 2 | 2.846 | 740 | 0.639 | 1,450 | 4.1248 | 3.908 | -0.4242 | 2 |
| 1 | 0.862 | 940 | $K_1 Y_1 = 0.811$ | | $-K_2(Y_2 - Y_1) = 1.468$ | | -0.6576 | 1 |

- Luego de haber calculado las fuerzas

$$F_1 = \text{Fuerza del pórtico 1}$$

$$F_2 = \text{Fuerza del pórtico 2 (marco A-B)}$$

$$F_3 = \text{Fuerza del pórtico 3}$$

$$F_2' = \text{Fuerza del pórtico 2' (marco C-D)}$$

- Calculamos la fuerza aplicada a la placa (Fm)

$$\Sigma F_i = F_1 + F_2 + F_3 + F_2'$$

$$F_m = \text{Fuerza de la placa}$$

$$F_m = F_T - \Sigma F_i \quad (\alpha')$$

Donde $F_T = \text{Fuerza total}$

- Pasamos a realizar lo mismo para el CASO II.

M E T O D O D I F E R E N C I A S F I N I T A S A C I

PORTICO : 1 = PORTICO : 3

C A S O : II

| N | Y (m) | K_{T1} (Tn/m) | $K_n Y_{n-1}$ (-) | $\alpha =$ $K_n + K_{n+1}$ | Y_n | $K_{n+1} Y_{n+1}$ (-) | F_{Li} (Tn) | N |
|----|-------------------------|--------------------|--------------------------|-------------------------------|---------------------------|--------------------------|------------------|----|
| 10 | 23.057×10^{-3} | 6,000 | $(Y_{10} - Y_9) = 2.780$ | | $K_{10}(Y_{10} - Y_9)$ | | 16.9218 | 10 |
| 9 | 20.237 | 5,500 | 95.185 | 11,500 | 232.3837 | 138.342 | - 1.1423 | 9 |
| 8 | 17.368 | 5,500 | 79.665 | 11,000 | 191.1212 | 111.303 | 0.1532 | 8 |
| 7 | 14.471 | 9,000 | 104.508 | 14,500 | 210.1156 | 95.524 | 10.0836 | 7 |
| 6 | 11.612 | 9,000 | 79.479 | 18,000 | 209.0110 | 130.239 | - 0.7070 | 6 |
| 5 | 8.831 | 9,000 | 55.872 | 18,000 | 158.8423 | 104.408 | - 1.4377 | 5 |
| 4 | 6.208 | 10,900 | 42.121 | 19,900 | 124.4650 | 79.479 | 2.8655 | 4 |
| 3 | 3.862 | 10,900 | 20.825 | 21,800 | 84.1782 | 67.920 | - 4.5668 | 3 |
| 2 | 1.918 | 11,900 | 6.586 | 22,800 | 42.7952 | 42.120 | - 5.9108 | 2 |
| 1 | 0.552 | 14,300 | $K_1 Y_1 = 7.905$ | | $-K_2(Y_2 - Y_1) = 16268$ | | - 8.3633 | 1 |

PORTICO : 2 (MARCO A - B)

| N | Y_i (m) | K_{T2} (Tn/m) | $K_n Y_{n-1}$ (-) | $\alpha =$ $K_n + K_{n+1}$ | Y_n | $K_{n+1} Y_{n+1}$ (-) | F_{Li} (Tn) | N |
|----|-------------------------|--------------------|------------------------|-------------------------------|-----------------------------|--------------------------|------------------|----|
| 10 | 23.057×10^{-3} | 5,725 | $Y_{10} - Y_9 = 2.780$ | | $K_{10}(Y_{10} - Y_9)$ | | 15.9155 | 10 |
| 9 | 20.237 | 4,900 | 85.1032 | 10,625 | 215.0181 | 132.0013 | - 2.0864 | 9 |
| 8 | 17.368 | 4,900 | 70.9079 | 9,800 | 170.2064 | 99.2613 | 0.1372 | 8 |
| 7 | 14.471 | 7,700 | 89.4564 | 12,600 | 182.3346 | 85.1032 | 7.7750 | 7 |
| 6 | 11.612 | 6,700 | 59.1677 | 14,400 | 167.2128 | 111.4267 | - 3.3813 | 6 |
| 5 | 8.831 | 6,700 | 41.5016 | 13,400 | 118.3354 | 77.8004 | - 0.9666 | 5 |
| 4 | 6.208 | 9,180 | 35.4816 | 15,880 | 98.5830 | 59.1674 | 3.9340 | 4 |
| 3 | 3.862 | 8,170 | 15.6310 | 17,350 | 67.0100 | 56.6894 | - 5.610 | 3 |
| 2 | 1.918 | 8,170 | 4.5150 | 16,340 | 31.3800 | 31.5080 | - 4.643 | 2 |
| 1 | 0.552 | 7,680 | $K_1 Y_1 = 4.2393$ | | $-K_2(Y_2 - Y_1) = -101220$ | | - 5.8827 | 1 |

M E T O D O D I F E R E N C I A S F I N I T A S : A C IP O R T I C O : 2ºC A S O I I

| N | $Y_i \times 10^{-3}$ (m) | $K_{T2} \left(\frac{T_n}{m} \right)$ | $(-)$ $K_n \cdot Y_{n-1}$ | $(\alpha) =$ $K_n + K_{n+1}$ | $(\alpha) Y_n$ | $(-)$ $K_{n+1} \cdot Y_{n+1}$ | $F_i (T_n)$ |
|----|-----------------------------|---------------------------------------|--------------------------------|-----------------------------------|----------------------------|------------------------------------|-------------|
| 10 | 23.057 | 815 | $Y_{10} - Y_9 = 2.780$ | | $K_{10}(Y_{10} - Y_9)$ | | 2.3126 |
| 9 | 20.237 | 662 | 11.494 | 1,477 | 29.8950 | 18.7914 | -0.3904 |
| 8 | 17.368 | 662 | 9.602 | 1,324 | 23.0835 | 13.4628 | 0.0187 |
| 7 | 14.471 | 662 | 7.703 | 1,324 | 19.1716 | 11.494 | -0.0254 |
| 6 | 11.612 | 662 | 5.862 | 1,324 | 15.4118 | 9.602 | -0.0522 |
| 5 | 8.831 | 662 | 4.110 | 1,324 | 11.7072 | 7.703 | -0.1058 |
| 4 | 6.208 | 710 | 2.745 | 1,372 | 8.5147 | 5.862 | -0.0923 |
| 3 | 3,862 | 710 | 1.359 | 1,420 | 5.4822 | 4.4076 | -0.2844 |
| 2 | 1.918 | 740 | 0.409 | 1,450 | 2.7843 | 2.745 | -0.3697 |
| 1 | 0.552 | 940 | $K_1 Y_1 = 0.521$ | | $-K_2(Y_2 - Y_1) = 1.0131$ | | -0.4921 |

- Luego de conocer ΣF_i : Suma de Fuerzas absorbidas por todos los pórticos :

$$F_1 = F_3 \rightarrow \text{Pórtico 1 y 3}$$

$$F_2 \rightarrow \text{Pórtico 2} \rightarrow \text{MARCO (A - B)}$$

$$F_{2'} \rightarrow \text{Pórtico 2'}$$

- Calculamos la Fuerza Aplicada a la Placa :

$$\text{De } (\alpha') \quad F_m = F_T = \Sigma F_i ; \text{ y hallamos } M = V_m \cdot h.$$

- Aparte de F_m ; la placa está sometida a la acción de un momento, originado por la viga de unión del marco (A - B) a la placa; la cual será : $M_t = R \cdot \theta_0 \dots \dots (\beta)$

Donde: θ_0 ; es el giro en el punto de unión y

$$\text{----- } R ; \text{ RIGIDES DE LA VIGA : " ROTACION."}$$

- Finalmente calculamos : $M_m = M - M_t$ y podemos hallar :

$$\theta_m = \frac{M_m}{EI} \cdot h_{\beta} \text{ y comprobar } \theta_0 = \theta_m$$

M E T O D O D E D I F E R E N C I A S F I N I T A S : A C I

P A S O VI Cálculo de las fuerzas aplicadas a las placas; conociendo las fuerzas totales y las fuerzas en los pórticos y Marco \overline{AB}_2

CUADRO III Fuerzas en los pórticos y en la placa.

| C A S O I | | | | | | | | C A S O II | | | | | | |
|-----------|--------|----------|----------|--------------------------|----------|-----------------|---------|------------|----------|------------------------|-----------|-----------------|---------|----|
| N | F_T | F_{p1} | F_{p3} | $F_{M.\overline{AB}(2)}$ | F_{p2} | ΣF_{ps} | F_m | F_{p1} | F_{p3} | $F_M \overline{AB}(2)$ | $F_{p'2}$ | ΣF_{ps} | F_m | N |
| 0 | 49.430 | 18.369 | 18.369 | 17.529 | 2.510 | 56.777 | - 7.347 | 16.9218 | 16.9218 | 15.915 | 2.312 | 52.069 | - 2.639 | 10 |
| 9 | 21.980 | - 7.712 | - 0.712 | - 1.890 | -0.359 | - 3.673 | 25.653 | - 1.1420 | - 1.1420 | - 2.086 | -0.390 | - 4.760 | 26.740 | 9 |
| 8 | 19.690 | 0.750 | 0.750 | 0.672 | 0.091 | 2.263 | 17.427 | 0.153 | 0.153 | 0.137 | 0.018 | 0.461 | 19.229 | 8 |
| 7 | 17.400 | 12.300 | 12.300 | 9.398 | 0.018 | 34.016 | -16.616 | 10.083 | 10.083 | 7.775 | -0.025 | 27.916 | -10.516 | 7 |
| 6 | 15.240 | 0.142 | 0.142 | - 3.244 | 0.010 | - 2.850 | 18.090 | 0.707 | - 0.707 | - 3.381 | -0.052 | - 4.847 | 20.087 | 6 |
| 5 | 12.810 | - 0.694 | - 0.694 | - 0.598 | -0.051 | - 2.037 | 14.847 | - 1.437 | - 1.437 | - 0.966 | -0.105 | - 3.945 | 16.755 | 5 |
| 4 | 10.250 | 4.777 | 4.777 | 5.933 | -0.044 | 15.443 | - 5.193 | 2.865 | 2.865 | 3.934 | -0.092 | 9.572 | 0.678 | 4 |
| 3 | 7.820 | - 4.549 | - 4.549 | - 6.374 | -0.283 | -15.755 | -23.575 | - 4.566 | - 4.566 | - 5.610 | -0.284 | -15.026 | 22.846 | 3 |
| 2 | 5.260 | - 6.861 | - 6.861 | - 5.585 | -0.424 | -19.731 | 24.991 | - 5.910 | - 5.910 | - 4.643 | -0.369 | -16.832 | 22.092 | 2 |
| 1 | 2.830 | -11.279 | -11.279 | - 8.081 | -0.657 | -31.296 | 34.126 | - 8.363 | - 8.363 | - 5.882 | -0.492 | -23.100 | 25.930 | 1 |

(203)

NOTA Las fuerzas están en toneladas: (Tn)

P A S O VII : Cálculo de los Giros del Muro; (θ_m); los cuales deben ser semejantes al giro inicial (θ_0). Se considera un error tolerable el de (10%) con respecto al inicial.

C A S O I : $I = 1.9417 \text{ m}^4$; $E = 2.36 \times 10^6 \text{ Tn/m}^2$ $EI = 45.5114 \text{ Tn-m}^2 \times 10^5$

| N | F_m | V_m | h | $V_m \times h$ | M | R | θ_0 | R θ_0 | M_T | (M_m) = M = M_T | $\frac{M_m}{EI}$ | N |
|----|---------|---------|------|----------------|----------|--------|----------------------|--------------|---------|------------------------|--------------------------|----|
| 10 | - 7.347 | - 7.343 | 2.90 | - 21.323 | 0.000 | 35.400 | 195.57×10^5 | 37.371 | 37.371 | - 37.371 | $- 0.820 \times 10^{-5}$ | 10 |
| 9 | 25.653 | 18.310 | 2.90 | 53.094 | - 21.323 | 42.400 | 108.14 | 45.851 | 83.222 | - 104.545 | - 2.296 | 9 |
| 8 | 17.427 | 35.737 | 2.90 | 103.945 | 31.771 | 42.400 | 114.78 | 48.666 | 131.888 | - 100.117 | - 2.200 | 8 |
| 7 | -16.616 | 19.121 | 2.90 | 55.320 | 135.716 | 42.400 | 115.88 | 49.133 | 181.021 | - 45.305 | - 0.993 | 7 |
| 6 | 18.090 | 37.211 | 2.90 | 108.012 | 191.036 | 50.600 | 116.83 | 59.115 | 240.136 | - 49.100 | - 1.081 | 6 |
| 5 | 14.847 | 52.258 | 2.90 | 151.945 | 299.048 | 50.600 | 115.59 | 58.488 | 298.624 | - 0.424 | 0.009 | 5 |
| 4 | - 5.193 | 47.065 | 2.90 | 136.446 | 450.993 | 56.400 | 108.11 | 60.974 | 358.598 | 92.395 | 2.026 | 4 |
| 3 | 23.575 | 70.640 | 2.90 | 204.926 | 587.439 | 58.000 | 97.12 | 56.329 | 414.927 | 172.512 | 3.794 | 3 |
| 2 | 24.991 | 95.631 | 2.90 | 276.457 | 792.365 | 58.000 | 78.82 | 45.715 | 460.642 | 331.723 | 7.295 | 2 |
| 1 | 34.126 | 129.757 | 3.30 | 427.012 | 1068.822 | 50.800 | 26.14 | 13.279 | 473.921 | 594.901 | 13.086 | 1 |
| 0 | | 129.757 | | | 1495.834 | 0.000 | 0.00 | 0.000 | 473.921 | 1021.913 | 22.470 | 0 |

(204)

NOTA : Las fuerzas están en Tn.; los momentos Tn-m; R(Tn-m); EI (Tn-m²); $\frac{M_m}{EI} = \frac{1}{m}$

M E T O D O D I F E R E N C I A S F I N I T A S (A C I)

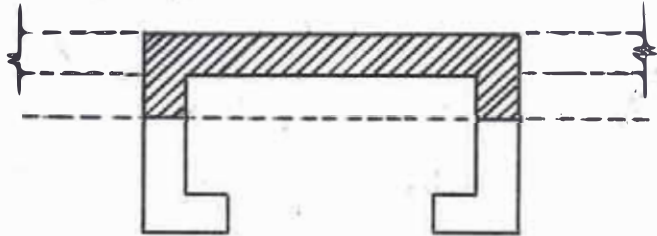
Continuación : Para el cálculo de los giros se utiliza el método de Area de Momentos :

C A S O I

$$I = 1.9617 \text{ m}^4$$

$$E = 2.32 \times 10^6 \text{ Tn/m}^2$$

$$EI_I = 45.5114 \times 10^5 \text{ Tn-m}^2$$



Los giros iniciales se han calculado mediante los desplazamientos

$$\phi_i = \frac{Y_{i+1} - Y_{i-1}}{2h_i}$$

CUADRO IV : Comparación de : $\phi_o = \phi_m$

| N | ϕ_o | $\frac{M_m}{EI_I}$ | Mediana Trapecio | Area | ϕ_m | ϵ | N |
|----|----------|--------------------|------------------|---------|----------|------------|----|
| 10 | 105.570 | - 0.818 | - 1.556 | - 4.510 | 95.233 | 0.100 | 10 |
| 9 | 108.140 | - 2.295 | - 2.244 | - 6.480 | 99.743 | 0.077 | 9 |
| 8 | 114.780 | - 2.194 | - 1.592 | - 4.610 | 106.223 | 0.074 | 8 |
| 7 | 115.880 | - 0.991 | - 1.036 | - 3.000 | 110.833 | 0.044 | 7 |
| 6 | 116.830 | - 1.080 | - 0.540 | - 1.567 | 113.833 | 0.025 | 6 |
| 5 | 115.590 | 0.009 | 1.019 | 2.950 | 115.400 | 0.001 | 5 |
| 4 | 108.110 | 2.028 | 2.910 | 8.420 | 112.450 | 0.040 | 4 |
| 3 | 97.120 | 3.812 | 5.563 | 16.120 | 104.030 | 0.071 | 3 |
| 2 | 78.820 | 7.314 | 10.201 | 29.500 | 87.910 | 0.116 | 2 |
| 1 | 26.140 | 13.088 | 17.782 | 58.410 | 58.410 | -- | 1 |
| 0 | 0.000 | 22.476 | --- | 0.000 | 0.000 | 0.000 | 0 |

$$\text{Error} = \epsilon = \frac{\phi_o - \phi_1}{\phi_o} \leq \pm 0.10 \text{ (Permisible)}$$

NOTA : Todos los valores están afectadas por : (10^{-5})

M E T O D O D E D I F E R E N C I A S F I N I T A S A C I

C A S O II $I_2 = 4.7248 \text{ m}^4$ $E = 2.32 \times 10^6 \text{ Tm/m}^2$; $EI_2 = 109.6153 \times 10^5 \text{ Tn-m}^2$

| N | F_m | V_m | h | $V_m \times h$ | M | R | ϕ_o | $R\phi_o$ | M_t | $M_n = M - M_t$ | $\frac{M_n}{EI_2}$ | N |
|----|---------|---------|------|----------------|----------|--------|-------------------------|-----------|---------|-----------------|--------------------------|----|
| 10 | - 2.639 | - 2.639 | 2.90 | - 7.634 | 0.000 | 35.400 | 97.250×10^{-5} | 34.445 | 34.445 | - 34.445 | $- 0.314 \times 10^{-5}$ | 10 |
| 9 | 26.740 | 24.101 | 2.90 | 70.000 | - 7.624 | 42.400 | 98.900 | 41.500 | 75.945 | - 83.569 | - 0.761 | 9 |
| 8 | 19.229 | 43.330 | 2.90 | 125.760 | 62.376 | 42.400 | 99.410 | 42.098 | 118.043 | - 55.667 | - 0.507 | 8 |
| 7 | -10.516 | 32.814 | 2.90 | 95.100 | 188.136 | 42.400 | 99.240 | 42.012 | 160.055 | 28.081 | 0.255 | 7 |
| 6 | 20.087 | 52.901 | 2.90 | 152.898 | 283.236 | 50.600 | 97.240 | 49.165 | 209.220 | 74.016 | 0.677 | 6 |
| 5 | 16.755 | 69.656 | 2.90 | 202.102 | 436.134 | 50.600 | 93.170 | 47.094 | 256.314 | 179.820 | 1.622 | 5 |
| 4 | 0.678 | 70.334 | 2.90 | 204.367 | 638.236 | 56.400 | 85.370 | 48.223 | 304.538 | 333.698 | 3.044 | 4 |
| 3 | 22.846 | 93.180 | 2.90 | 270.012 | 842.603 | 58.000 | 73.960 | 42.810 | 347.348 | 495.255 | 4.525 | 3 |
| 2 | 22.092 | 115.272 | 2.90 | 334.180 | 1112.615 | 58.000 | 57.080 | 33.120 | 380.468 | 732.147 | 6.698 | 2 |
| 1 | 25.930 | 141.202 | 3.30 | 465.014 | 1446.795 | 50.800 | 16.730 | 8.494 | 388.962 | 1107.833 | 10.110 | 1 |
| 0 | 0.000 | 141.202 | 0.00 | 0.000 | 1911.809 | 0.000 | 0.000 | 0.000 | 388.962 | 1522.847 | 13.898 | 0 |

NOTA.- Unidades : $V(\text{Tn})$; $M(\text{Tn-m})$; $R(\text{Tn-m})$; $\frac{M}{EI} = \frac{1}{m}$ (Continúa)

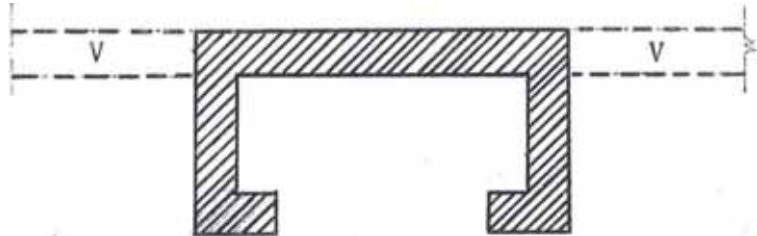
M E T O D O D I F E R E N C I A S F I N I T A S : A C I
Continuación: El cálculo de los giros se realizará por el método de
 Areas de Momentos.

C A S O II

$$I = 4.7248 \text{ m}^4$$

$$E = 2.32 \times 10^6 \text{ Tn/m}^2$$

$$EI = 109.6153 \times 10^5 \text{ Tn-m}^2$$



Los giros iniciales se han calculado mediante los desplazamientos

$$\phi_i = \frac{Y_{i+1} - Y_{i-1}}{2 h_i}$$

CUADRO IV Comparación de $\phi_0 \approx \phi_m$

| N | ϕ_0 | $\frac{M_m}{EI_2}$ | Mediana Trapecio | AREA | ϕ_m | ϵ :Error | N |
|----|----------|--------------------|------------------|---------|----------|-------------------|----|
| 10 | 97.250 | - 0.314 | - 0.537 | - 1.555 | 98.521 | 0.013 | 10 |
| 9 | 98.050 | - 0.761 | - 0.634 | - 1.840 | 100.076 | 0.020 | 9 |
| 8 | 99.410 | - 0.507 | + | 0.123 | 101.916 | 0.025 | 8 |
| 7 | 99.240 | 0.255 | 0.466 | 1.353 | 102.281 | 0.030 | 7 |
| 6 | 97.240 | 0.677 | 1.149 | 3.340 | 100.928 | 0.038 | 6 |
| 5 | 93.170 | 1.622 | 2.333 | 6.765 | 97.588 | 0.047 | 5 |
| 4 | 85.370 | 3.044 | 3.784 | 10.985 | 90.823 | 0.064 | 4 |
| 3 | 73.960 | 4.525 | 5.612 | 16.275 | 79.838 | 0.079 | 3 |
| 2 | 57.080 | 6.698 | 8.404 | 24.056 | 63.563 | 0.113 | 2 |
| 1 | 16.730 | 10.110 | 12.004 | 39.507 | 39.507 | --- | 1 |
| 0 | 0.000 | 13.898 | 0.000 | 0.000 | 0.000 | --- | 0 |

$$\text{Error} \rightarrow \epsilon = \frac{\phi_0 - \phi_1}{\phi_0} < + 0.10 \text{ (Permissible)}$$

NOTA : Los valores están afectados por (10^{-5})

RESUMEN 2 SE HA COMPROBADO

- a) El giro del muro $\theta_m \approx \theta_0$. (θ_0 = Giro de la estructura)
 Con un error permisible del 10%; como se podrá notar que en el primer piso, los giros divergen más del 10%, esto se debe a que en las expresiones de CARDAN (utilizadas para este caso) considera el punto de inflexión en el centro de la columna; lo que no ocurre en el primer piso.
 El giro θ_m ; del muro; se ha calculado por el método de Area de Momento.
- b) Que el giro (θ_0) de la viga de unión, es semejante al del muro (θ_m); con un error tolerable del 10%. "Luego se habrá comprobado que en los puntos de conexión las vigas de unión y muro de - ben sufrir los mismos giros y desplazamientos verticales."

SE VA HA COMPROBAR

- c) Que cada uno de los pórticos; sufrirá los mismos desplazamientos y giros que el de la estructura. También se va ha considerar un error tolerable del 10%.
 Con lo cual queda establecido.

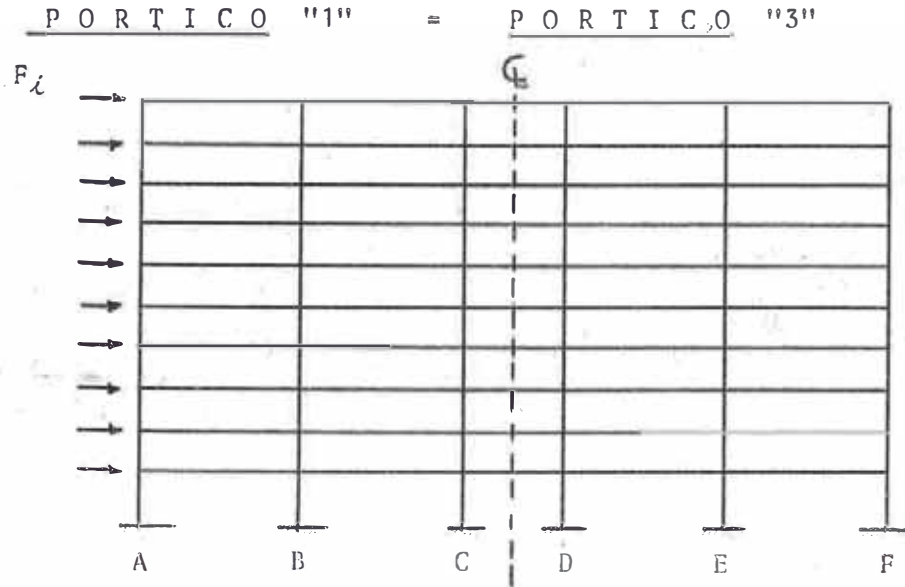
$$\therefore F_T = \Sigma F_{por} + F_m.$$

"Fuerza Total; es igual a la fuerza total de todos los pórticos; más, la fuerza del muro."

Se va ha aplicar el método del Profesor Takabeya.

(Programa del Ing^o. Navarro); para solución de los pórticos.

M E T O D O D I F E R E N C I A S F I N I T A S A C I



Luego conociendo las fuerzas en cada nivel; se resuelve el pórtico: "Método del Profesor Takabeya."

Calculamos los momentos y esfuerzos cortantes; luego por el método de las deformaciones y deflexiones (Slope deflection); se determina los respectivos desplazamientos.

| N | | F_1 | | F_1 | | N |
|----|-----------|-----------|------------|----------|--|----|
| 10 | | 18.3696 | | 16.9218 | | 10 |
| 9 | | = 0.7124 | | = 1.1423 | | 9 |
| 8 | | 0.7502 | | 0.1532 | | 8 |
| 7 | C A S O I | 12.3006 | C A S O II | 10.0836 | | 7 |
| 6 | | 0.1420 | | = 0.7070 | | 6 |
| 5 | | = 0.6943 | | = 1.4377 | | 5 |
| 4 | | 4.7775 | | 2.8655 | | 4 |
| 3 | | = 4.5497 | | = 4.5668 | | 3 |
| 2 | | = 6.8611 | | = 5.9108 | | 2 |
| 1 | | = 11.2790 | | = 8.3633 | | 1 |

NOTA : = Las fuerzas están en Toneladas.

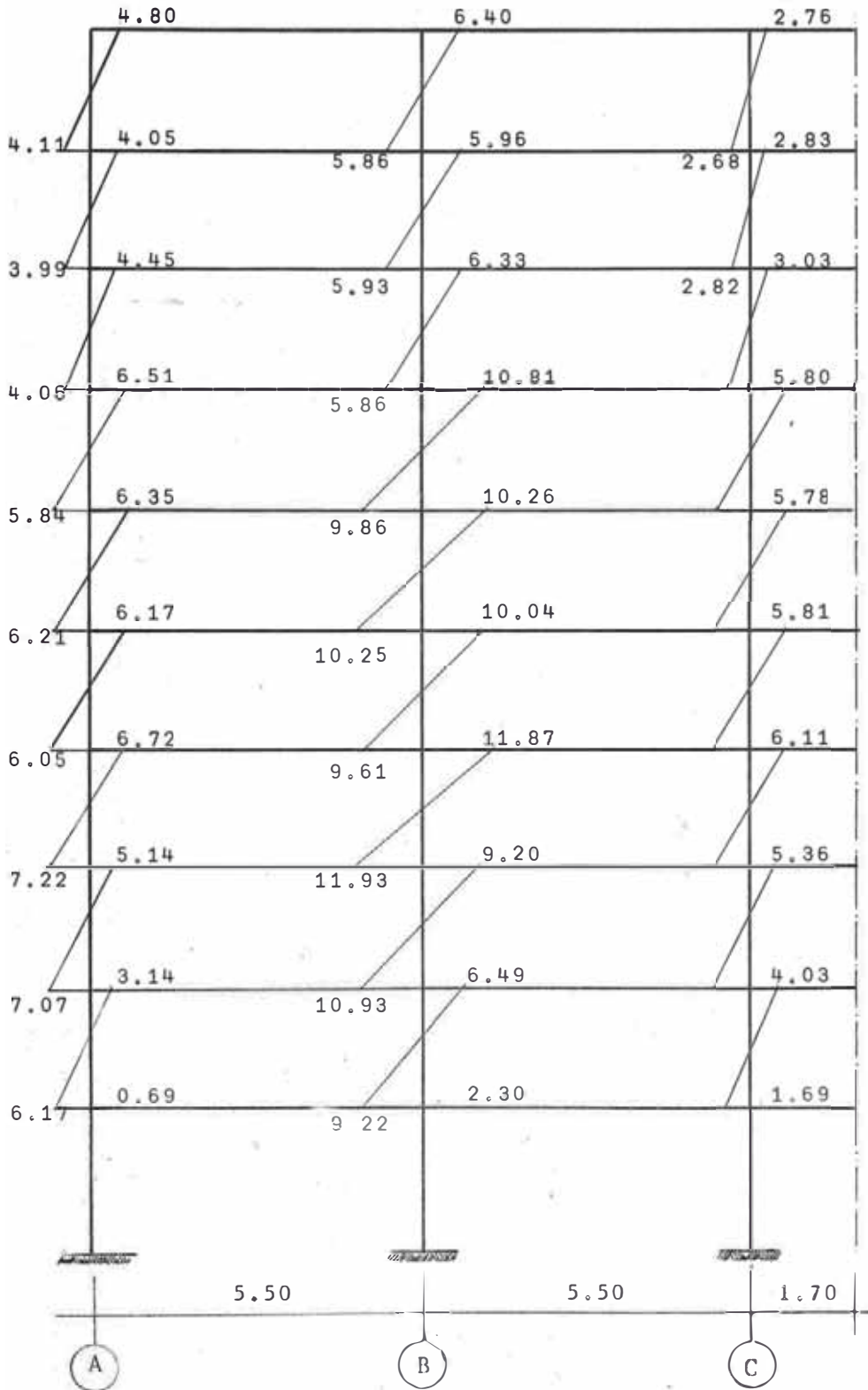
M E T O D O D I F E R E N C I A S F I N I T A S : A C I

C A S O I

DIAGRAMA DE LOS MOMENTOS EN LAS COLUMNAS

PORTICO : 1 = PORTICO : 3

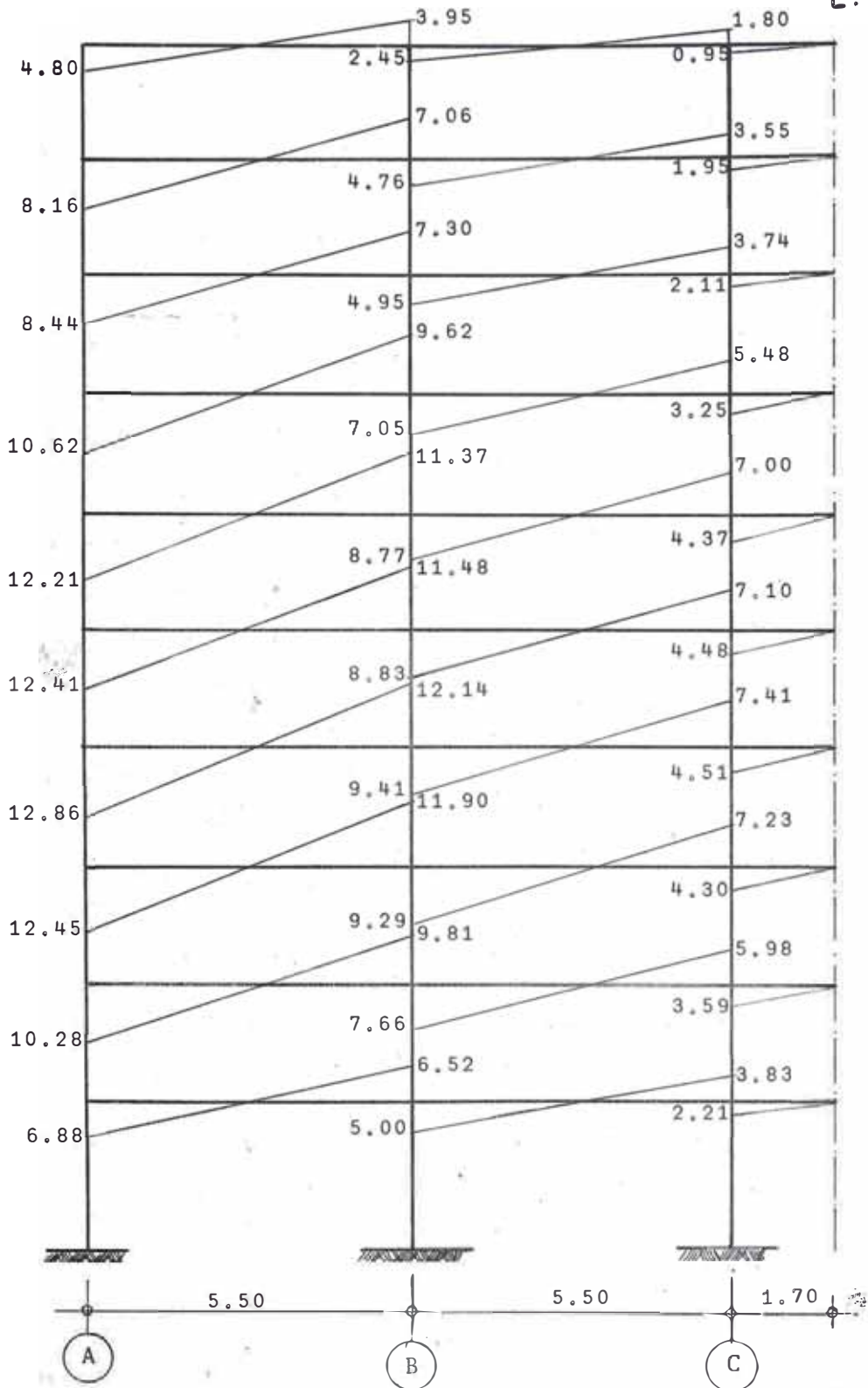
⊕



C A S O I

DIAGRAMA DE MOMENTOS EN LAS VIGAS

PORTICO : 1 = PORTICO 3

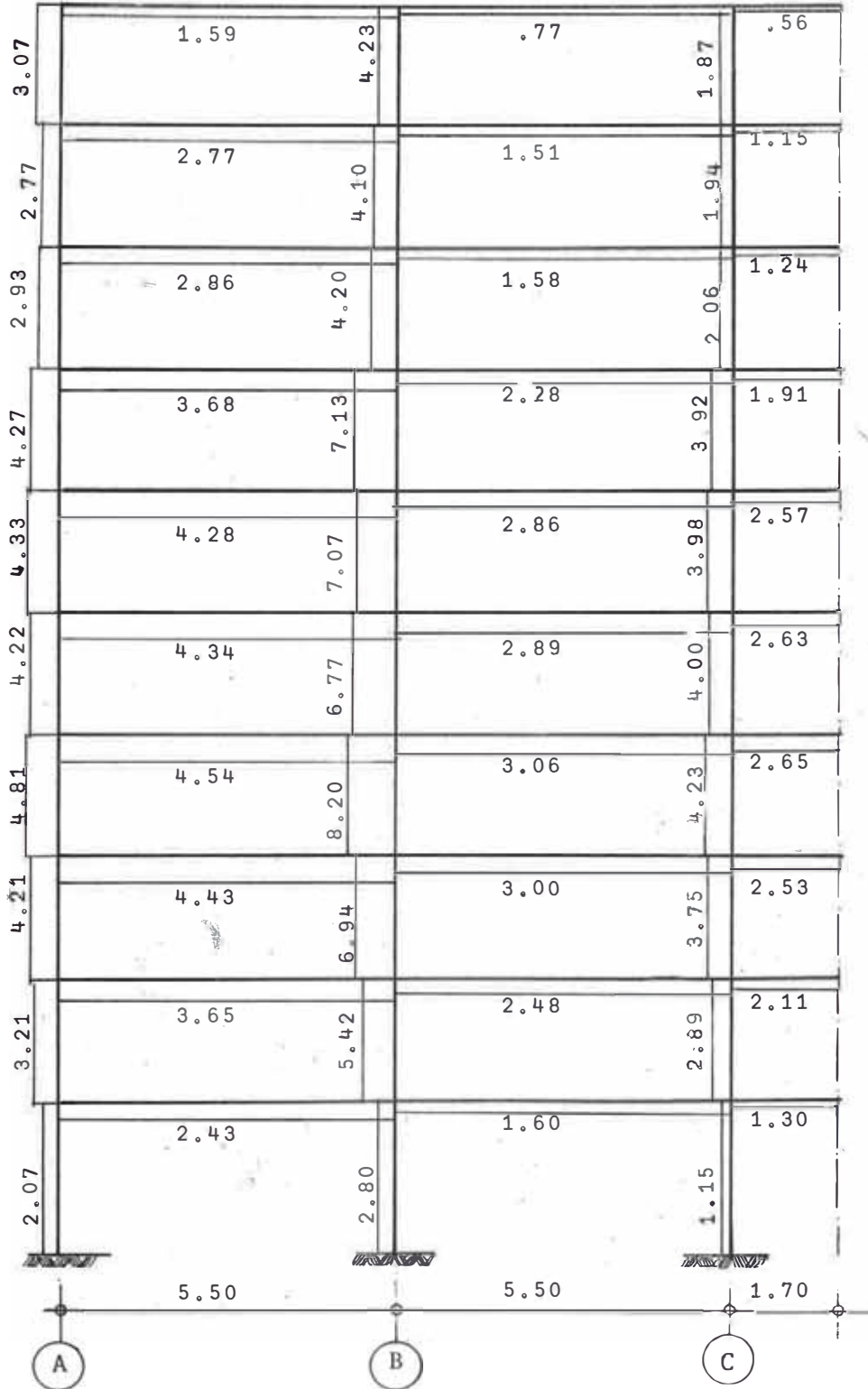


METODO DIFERENCIAS FINITAS ACI

CASO I

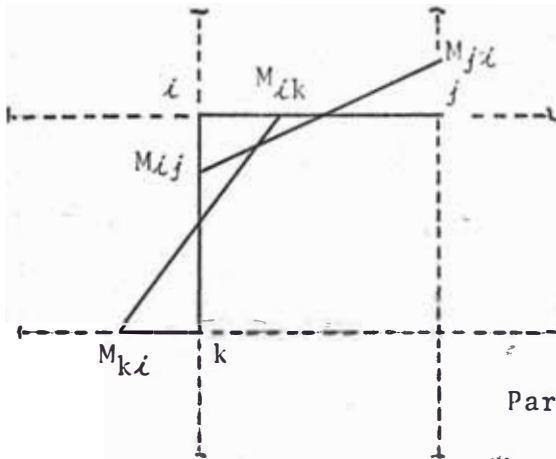
ESFUERZOS CORTANTES EN VIGAS Y COLUMNAS

PORTICO : 1 = PORTICO : 3



M E T O D O D I F E R E N C I A S F I N I T A S : A C I

P A S O V I I I : Determinación de los desplazamientos horizontales de las columnas Método Slope Deflections



$$M_{ij} = 2EK_V(2\theta_{ij} + \theta_{ji} - 3\psi_V) \quad 1$$

$$M_{ji} = 2EK_V(2\theta_{ji} + \theta_{ij} - 3\psi_V) \quad 2$$

$$M_{ik} = 2EK_C(2\theta_{ik} + \theta_{ki} - 3\psi_C) \quad 3$$

$$M_{ki} = 2EK_C(2\theta_{ki} + \theta_{ik} - 3\psi_C) \quad 4$$

Para (1) y (2) $\psi_V = 0$

Para (3) y (4) $\psi_C = \frac{\Delta_{ik}}{h}$

(M O D E L O)

También $\theta_{ij} = \theta_{ik}$

∴ Se tiene cuatro ecuaciones (1, 2, 3, 4) y cuatro incógnitas

$$(\theta_{ij} ; \theta_{ji} ; \theta_{ki} ; \psi_C)$$

Los datos son : $M_{ij} ; M_{ik} ; M_{ji} ; M_{ki} ; E ; K_V ; K_C ; h ; L ;$

Resolviendo (1) (2) (3) y (4) se obtiene :

$$\psi_i = \frac{1}{6EK_V i} (2 M_{ij} - M_{ji}) + \frac{1}{6EK_C i} (2 M_{ik} - M_{ki}) \quad (\alpha'')$$

Y $\psi_i \times h_i = \delta_i$ (desplazamiento relativo).

El ERROR tolerable será el 10% del inicial (Δ_0)

$$\epsilon = \text{ERROR RELATIVO} = \frac{\Delta_0 - \Delta_i}{\Delta_0} \leq \pm 0.1$$

M E T O D O D E D I F E R E N C I A S F I N I T A S A C I

P A S O V I I I

C A L C U L O D E L O S D E S P L A Z A M I E N T O S I N T E R O S D E L O S P O R T I C O S

C A S O I

C U A D R O : a

C O L U M N A : C_{A1}

P O R T I C O " 1 " = P O R T I C O " 3 "

| N | $6EK_{vi}$ | K_{ci} | $6EK_{ci}$ | M_{ij} | $2M_{ij}$ | M_{ji} | 5-6 | M_{ik} | $2M_{ik}$ | M_{ki} | N |
|----|-------------------|----------------------|--------------------|----------|-----------|----------|-------|----------|-----------|----------|----|
| 10 | 134×10^2 | 550×10^{-6} | 76.5×10^2 | 4.80 | 9.60 | 3.95 | 5.65 | 4.80 | 9.60 | 4.11 | 10 |
| 9 | 134×10^2 | 550 | 76.5×10^2 | 8.16 | 16.32 | 7.06 | 9.26 | 4.05 | 8.10 | 3.99 | 9 |
| 8 | 134×10^3 | 550 | 76.5×10^2 | 8.44 | 16.88 | 7.30 | 9.58 | 4.45 | 8.90 | 4.06 | 8 |
| 7 | 134×10^2 | 1,440 | 200×10^2 | 10.62 | 21.24 | 9.62 | 11.62 | 6.51 | 13.02 | 5.84 | 7 |
| 6 | 134×10^2 | 1,440 | 200×10^2 | 12.21 | 24.42 | 11.37 | 13.05 | 6.35 | 12.70 | 6.21 | 6 |
| 5 | 134×10^2 | 1,440 | 200×10^2 | 12.41 | 24.42 | 11.48 | 13.34 | 6.17 | 12.34 | 6.05 | 5 |
| 4 | 142×10^2 | 2,480 | 365×10^2 | 12.86 | 25.72 | 12.14 | 13.58 | 6.72 | 13.44 | 7.22 | 4 |
| 3 | 142×10^2 | 2,480 | 365×10^2 | 12.45 | 24.90 | 11.90 | 13.00 | 5.14 | 10.28 | 7.07 | 3 |
| 2 | 142×10^2 | 2,480 | 365×10^2 | 10.28 | 20.56 | 9.81 | 10.75 | 3.14 | 6.28 | 6.17 | 2 |
| 1 | 142×10^2 | 2,180 | 322×10^2 | 6.88 | 13.76 | 6.52 | 7.24 | 0.69 | 1.38 | 6.16 | 1 |
| | 1 | 2 | 3 | 4 | 5 | 6 | 7 | 8 | 9 | 10 | |

NOT A.-Las unidades son : M(Tn-m); $K_c(m^3)$; E(Tn/m²).

C U A D R O " b " Columna CA1 ----- Pórtico " 1 " = Pórtico " 3 "

$$\psi_i = \frac{1}{6EK_{vi}} (2M_{ij} - M_{ji}) + \frac{1}{6EK_{ci}} (2M_{ik} - M_{ki}) \text{ ----- } (\alpha'')$$

| N | 2M _{ik} -M _{ki} | $\frac{7}{1}$ | $\frac{11}{3}$ | ψ_i | δ_i cm. | Δ_i cm. | Δ_o cm. | $\Delta_o - \Delta_i$ | $\epsilon = \text{Error}$ | $\phi_o \times 10^{-5}$ | $\phi_i \times 10^{-5}$ | $\epsilon = \text{Error}$ | N |
|----|-----------------------------------|---------------|----------------|----------|-------------------|-------------------|-------------------|-----------------------|---------------------------|-------------------------|-------------------------|---------------------------|----|
| 10 | 5.49 | 0.422 | 0.718 | 1.140 | 0.330 | 3.084 | 2.827 | 0.257 | 0.090 | 105.57 | 113.45 | 0.076 | 10 |
| 9 | 4.11 | 0.691 | 0.538 | 1.229 | 0.356 | 2.754 | 2.521 | 0.233 | 0.092 | 108.14 | 118.06 | 0.091 | 9 |
| 8 | 4.84 | 0.713 | 0.631 | 1.344 | 0.390 | 2.398 | 2.200 | 0.198 | 0.090 | 114.78 | 128.41 | 0.118 | 8 |
| 7 | 7.19 | 0.869 | 0.358 | 1.227 | 0.355 | 2.008 | 1.865 | 0.143 | 0.077 | 115.88 | 128.35 | 0.108 | 7 |
| 6 | 6.49 | 0.972 | 0.323 | 1.295 | 0.375 | 1.653 | 1.528 | 0.125 | 0.082 | 116.83 | 125.98 | 0.078 | 6 |
| 5 | 6.29 | 0.990 | 0.314 | 1.304 | 0.377 | 1.278 | 1.189 | 0.089 | 0.065 | 115.59 | 129.98 | 0.124 | 5 |
| 4 | 6.22 | 0.953 | 0.160 | 1.123 | 0.307 | 0.901 | 0.857 | 0.044 | 0.052 | 108.11 | 118.10 | 0.092 | 4 |
| 3 | 3.21 | 0.915 | 0.088 | 1.003 | 0.274 | 0.594 | 0.551 | 0.043 | 0.078 | 97.12 | 100.50 | 0.035 | 3 |
| 2 | 0.11 | 0.756 | 0.003 | 0.759 | 0.207 | 0.320 | 0.284 | 0.036 | 0.126 | 78.82 | 83.00 | 0.053 | 2 |
| 1 | -4.78 | 0.510 | -0.148 | 0.362 | 0.113 | 0.113 | 0.086 | 0.027 | -- | 26.14 | 62.41 | -- | 1 |
| | 11 | 12 | 13 | 14 | 15 | 16 | 17 | 18 | 19 | 20 | 21 | 22 | |

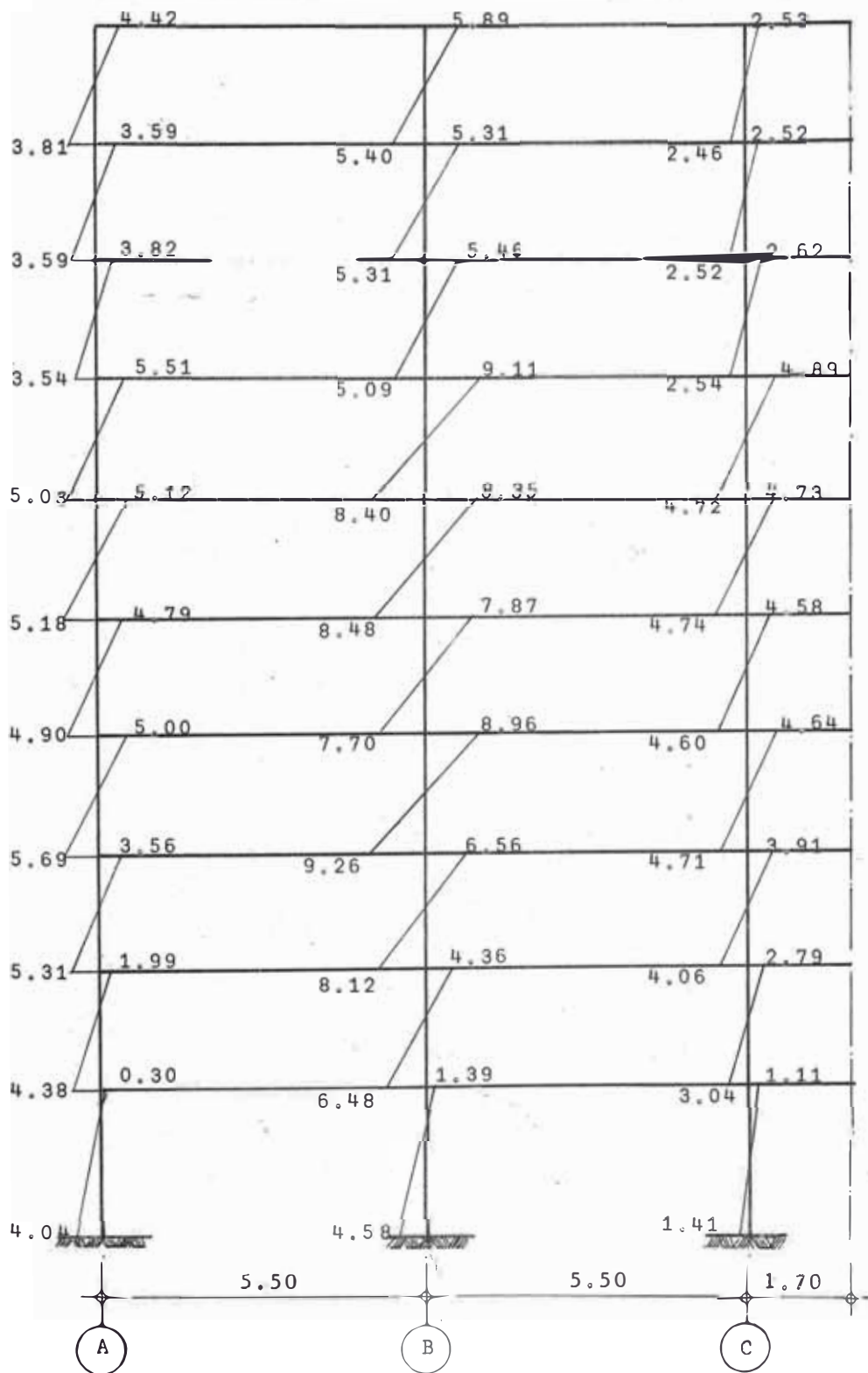
(215)

NOTA : $\frac{7}{1} = \frac{2M_{ij} - M_{ji}}{6EK_{vi}}$; $\frac{11}{3} = \frac{2M_{ik} - M_{ki}}{6EK_{ci}}$; $\psi_i = \frac{7}{1} + \frac{11}{3}$ ----- (α'') ; $\epsilon = \frac{\Delta_o - \Delta_i}{\Delta_o} \leq \pm 0.1$

C A S O II

DIAGRAMA DE MOMENTOS EN LAS COLUMNAS

PORTICO : 1 = PORTICO : 3

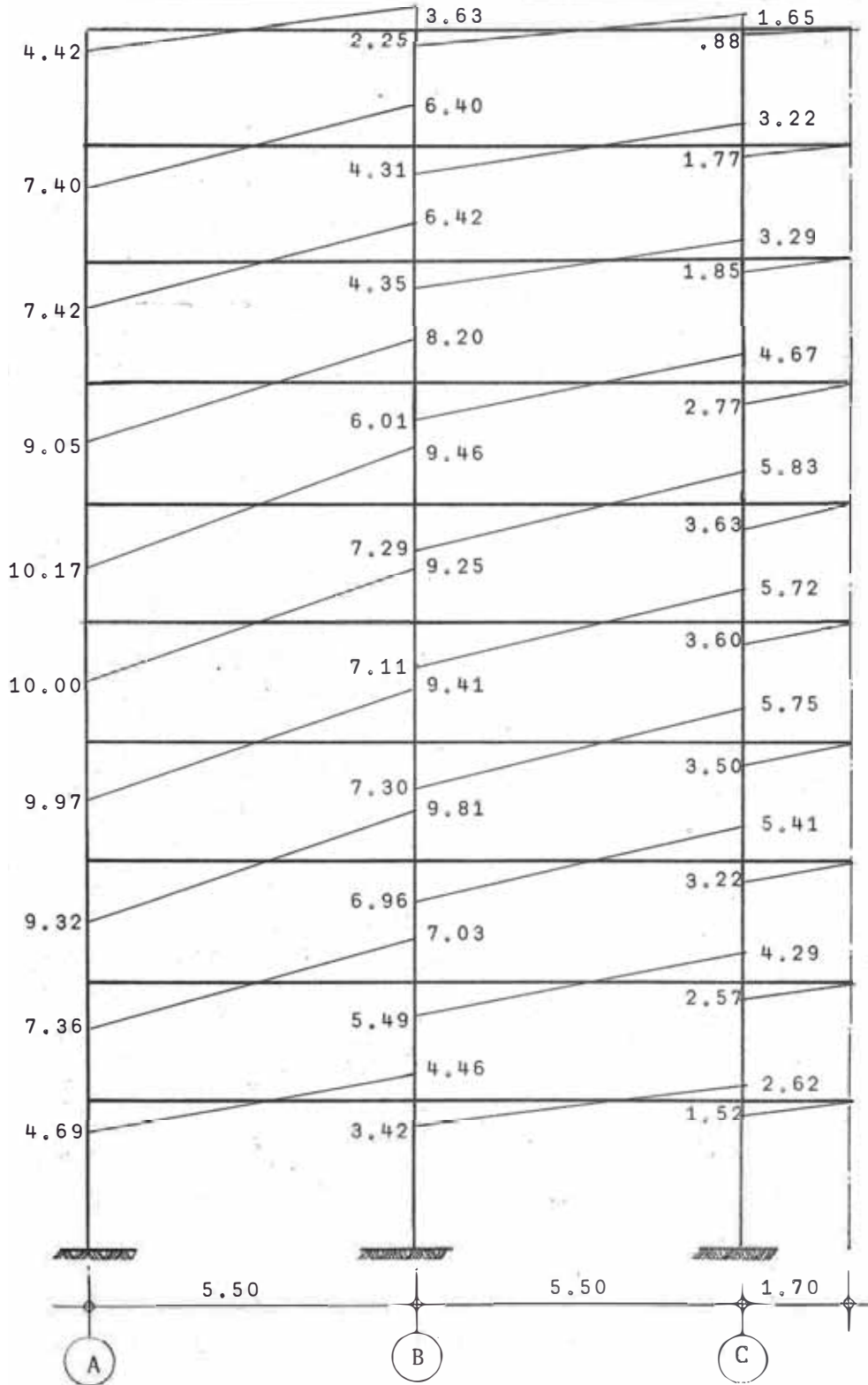


METODO DIFERENCIAS FINITAS A C I

C A S O II

DIAGRAMA DE MOMENTOS EN LAS VIGAS

PORTICO : 1 = PORTICO : 3 4.



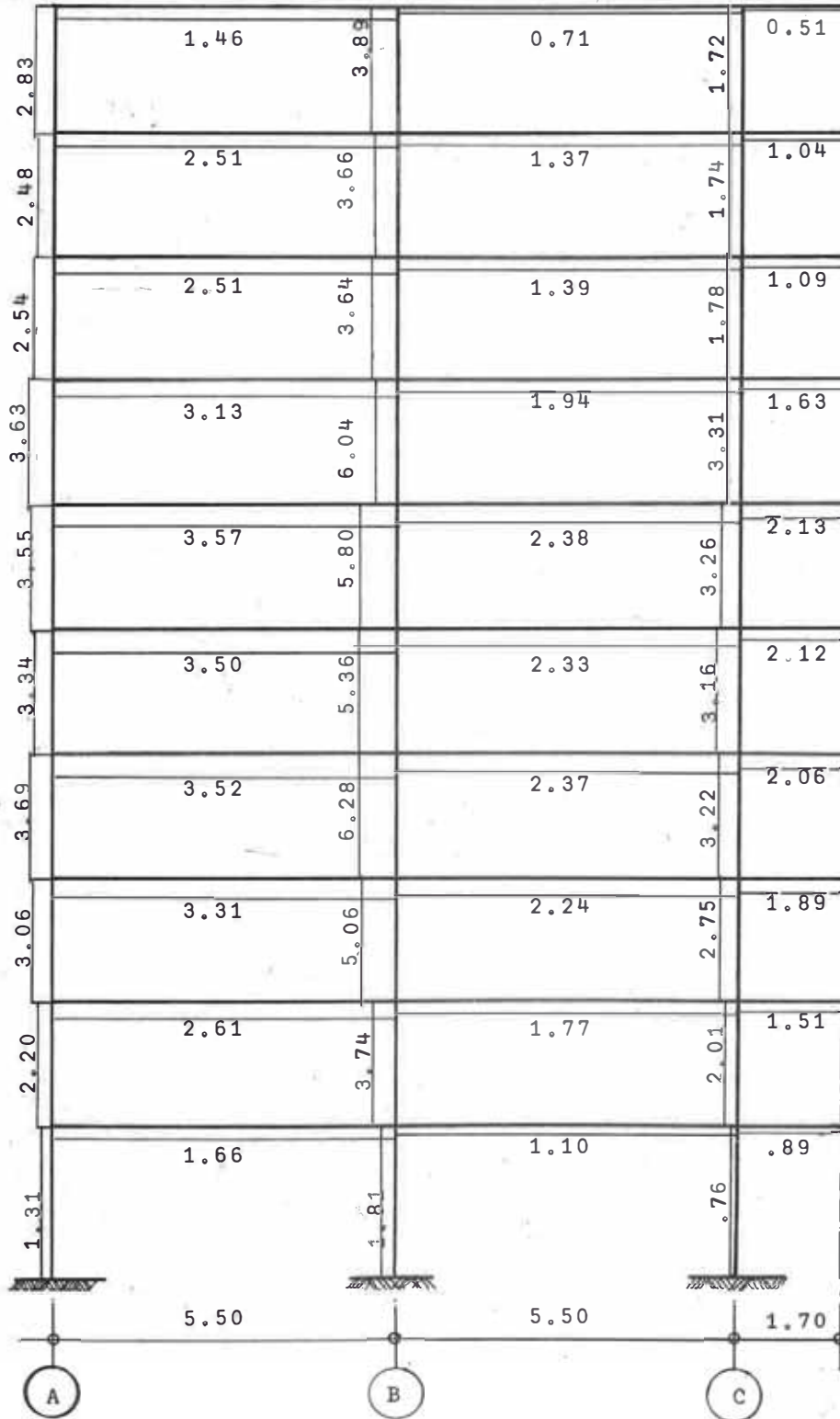
METODO DIFERENCIAS FINITAS ACI

C A S O II

ESFUERZOS CORTANTES EN VIGAS Y COLUMNAS

PORTICO : 1 = PORTICO : 3

4.



M E T O D O D E D I F E R E N C I A S F I N I T A S : A C I

P A S O V I I I

C A L C U L O D E L O S D E S P L A Z A M I E N T O S Y G I R O S D E L O S P O R T I C O S

C A S O I I

C U A D R O a C O L U M N A C_{A1} P O R T I C O " 1 " = P O R T I C O " 3 "

| N | 6EK _{vi} | K _{ci} | 6EK _{ci} | M _{ij} | 2M _{ij} | M _{ji} | 5-6 | M _{ik} | 2M _{ik} | M _{ki} | N |
|----|---------------------|-----------------|----------------------|-----------------|------------------|-----------------|-------|-----------------|------------------|-----------------|----|
| 10 | 134x10 ² | 550 | 76.5x10 ² | 4.42 | 8.84 | 3.63 | 5.21 | 4.42 | 8.84 | 3.81 | 10 |
| 9 | 134x10 ² | 550 | 76.5x10 ² | 7.40 | 14.80 | 6.40 | 8.40 | 3.59 | 7.18 | 3.59 | 9 |
| 8 | 134x10 ² | 550 | 76.5x10 ² | 7.42 | 14.82 | 6.42 | 8.40 | 3.82 | 7.64 | 3.54 | 8 |
| 7 | 134x10 ² | 1,440 | 20.0x10 ² | 9.05 | 18.10 | 8.20 | 9.90 | 5.51 | 11.02 | 5.03 | 7 |
| 6 | 134x10 ² | 1,440 | 20.0x10 ² | 10.17 | 20.34 | 9.46 | 10.88 | 5.12 | 10.24 | 5.18 | 6 |
| 5 | 134x10 ² | 1,440 | 20.0x10 ² | 10.00 | 20.00 | 9.25 | 10.75 | 4.79 | 9.58 | 4.90 | 5 |
| 4 | 142x10 ² | 2,480 | 36.5x10 ² | 9.97 | 19.94 | 9.41 | 10.53 | 5.00 | 10.00 | 5.69 | 4 |
| 3 | 142x10 ² | 2,480 | 36.5x10 ² | 9.32 | 18.64 | 8.91 | 9.73 | 3.56 | 7.12 | 5.31 | 3 |
| 2 | 142x10 ² | 2,480 | 36.5x10 ² | 7.36 | 14.72 | 7.03 | 7.69 | 1.99 | 3.98 | 4.38 | 2 |
| 1 | 142x10 ² | 2,180 | 32.2x10 ² | 4.69 | 9.38 | 4.46 | 4.92 | 0.30 | 0.60 | 4.04 | 1 |
| | 1 | 2 | 3 | 4 | 5 | 6 | 7 | 8 | 9 | 10 | |

NOTA.- Las unidades son M(Tn-m); K(m³); E(Tn/m²).

(219)

P A S O VIII :

CALCULO DE LOS DESPLAZAMIENTOS Y GIROS :

C A S O : II

C U A D R O : b

C O L U M N A : CA1

P O R T I C O " 1 " = P O R T I C O " 3 "

$$\psi_i = \frac{1}{6EK_{vi}} (2M_{ij} - M_{ji}) + \frac{1}{6EK_{ci}} (2M_{ik} - M_{ki}) (\alpha'')$$

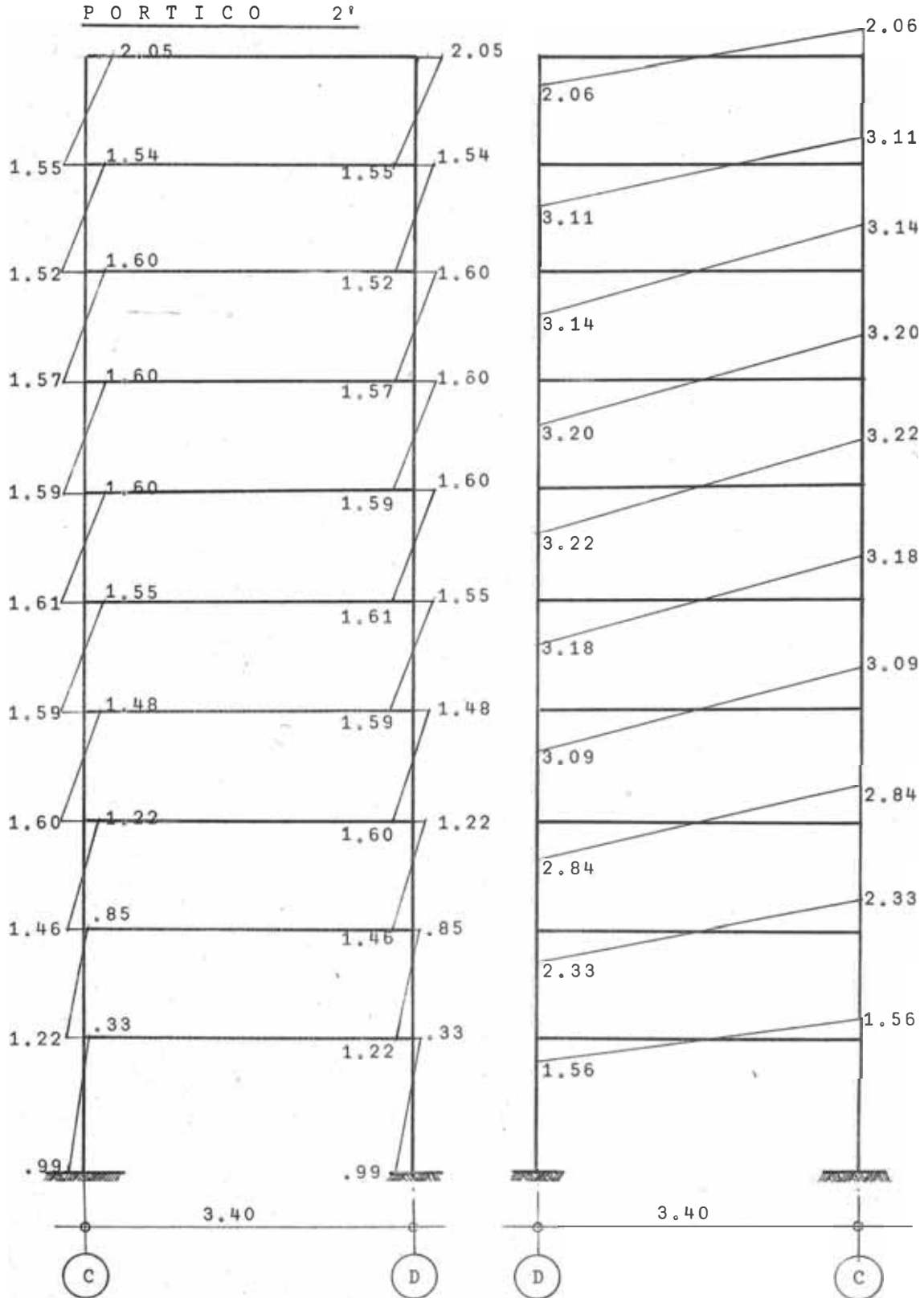
| N | 9-10 | $\frac{7}{1}$ | $\frac{11}{3}$ | ψ_i | δ_i cms | Δ_i cms | Δ_o cms | $\Delta_o - \Delta_i$ | $\epsilon = \text{Error}$ | $\emptyset \times 10^{-5}$ $\emptyset_o \times 10^{-5}$ | $\emptyset \times 10^{-5}$ | $\epsilon = \text{Error}$ | N |
|----|-------|---------------|----------------|----------|-------------------|-------------------|-------------------|-----------------------|---------------------------|--|----------------------------|---------------------------|----|
| 10 | 5.03 | 0.390 | 0.658 | 1.048 | 0.304 | 2.557 | 2.305 | 0.252 | 0.109 | 97.25 | 104.40 | 0.074 | 10 |
| 9 | 3.59 | 0.626 | 0.468 | 1.094 | 0.315 | 2.253 | 2.023 | 0.230 | 0.114 | 98.09 | 106.30 | 0.034 | 9 |
| 8 | 4.10 | 0.626 | 0.536 | 1.162 | 0.337 | 1.938 | 1.736 | 0.202 | 0.116 | 99.41 | 112.20 | 0.128 | 8 |
| 7 | 5.99 | 0.738 | 0.298 | 1.036 | 0.300 | 1.601 | 1.447 | 0.154 | 0.106 | 99.24 | 109.50 | 0.103 | 7 |
| 6 | 5.06 | 0.810 | 0.253 | 1.063 | 0.309 | 1.301 | 1.161 | 0.140 | 0.120 | 97.24 | 104.65 | 0.076 | 6 |
| 5 | 4.68 | 0.800 | 0.234 | 1.034 | 0.299 | 0.992 | 0.883 | 0.109 | 0.123 | 93.17 | 104.50 | 0.121 | 5 |
| 4 | 4.31 | 0.740 | 0.118 | 0.858 | 0.248 | 0.693 | 0.620 | 0.073 | 0.117 | 85.37 | 94.10 | 0.101 | 4 |
| 3 | 1.81 | 0.688 | 0.049 | 0.737 | 0.213 | 0.445 | 0.386 | 0.059 | 0.152 | 73.96 | 69.14 | 0.007 | 3 |
| 2 | -0.40 | 0.540 | -0.011 | 0.529 | 0.153 | 0.232 | 0.199 | 0.041 | 0.177 | 57.08 | 63.09 | 0.105 | 2 |
| 1 | -3.44 | 0.345 | -0.106 | 0.239 | 0.079 | 0.079 | 0.055 | 0.024 | -- | 16.73 | 46.40 | -- | 1 |
| | 11 | 12 | 13 | 14 | 15 | 16 | 17 | 18 | 19 | 20 | 21 | 22 | |

(220)

NOTA : $\frac{7}{1} = \frac{2M_{ij} - M_{ji}}{6EK_{vi}}$; $\frac{11}{3} = \frac{2M_{ik} - M_{ki}}{6EK_{ci}}$; $\psi_i = \frac{7}{1} + \frac{11}{3} \dots (\alpha'')$; $\epsilon = \frac{\Delta_o - \Delta_i}{\Delta_o} \leq \pm 0.1$

C A S O I

DIAGRAMA DE MOMENTOS EN VIGAS Y COLUMNAS

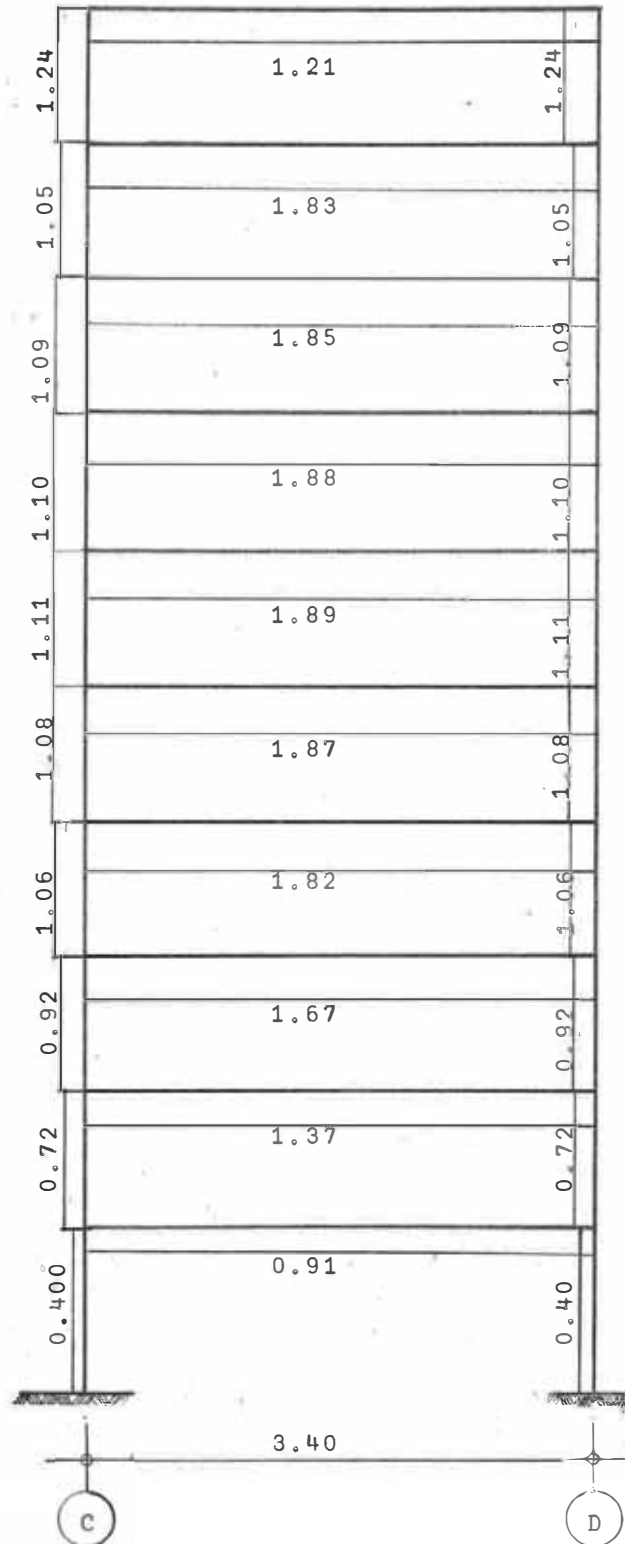


M E T O D O D I F E R E N C I A S F I N I T A S A C I

C A S O I

ESFUERZOS CORTANTES EN VIGAS Y COLUMNAS

P O R T I C O : 2'



C U A D R O : 2^a

C O L U M N A : C_{D2}' = C_{E2}'

P O R T I C O : 2^a

| N | 6EK _v i | K _{ci} | 6EK _{ci} | M _{ij} | 2M _{ij} | M _{ji} | 5-6 | M _{ik} | 2M _{ik} | M _{ki} | N |
|----|-----------------------|-----------------|-----------------------|-----------------|------------------|-----------------|------|-----------------|------------------|-----------------|----|
| 10 | 37.51x10 ² | 390 | 54.10x10 ² | 2.06 | 4.12 | 2.06 | 2.06 | 2.05 | 4.10 | 1.55 | 10 |
| 9 | 37.51x10 ² | 390 | 54.10x10 ² | 3.11 | 6.22 | 3.11 | 3.11 | 1.54 | 3.08 | 1.52 | 9 |
| 8 | 37.51x10 ² | 390 | 54.10x10 ² | 3.14 | 6.28 | 3.14 | 3.14 | 1.60 | 3.20 | 1.57 | 8 |
| 7 | 37.51x10 ² | 390 | 54.10x10 ² | 3.20 | 6.40 | 3.20 | 3.20 | 1.60 | 3.20 | 1.59 | 7 |
| 6 | 37.51x10 ² | 390 | 54.10x10 ² | 3.22 | 6.44 | 3.22 | 3.22 | 1.60 | 3.20 | 1.61 | 6 |
| 5 | 37.51x10 ² | 390 | 54.10x10 ² | 3.18 | 6.36 | 3.18 | 3.18 | 1.55 | 3.10 | 1.59 | 5 |
| 4 | 39.76x10 ² | 390 | 57.50x10 ² | 3.09 | 6.18 | 3.09 | 3.09 | 1.48 | 2.96 | 1.60 | 4 |
| 3 | 39.76x10 ² | 390 | 57.50x10 ² | 2.84 | 5.68 | 2.84 | 2.84 | 1.22 | 2.44 | 1.46 | 3 |
| 2 | 39.56x10 ² | 390 | 57.50x10 ² | 2.33 | 4.66 | 2.33 | 2.33 | 0.85 | 1.70 | 1.22 | 2 |
| 1 | 39.76x10 ² | 343 | 50.60x10 ² | 1.56 | 3.12 | 1.56 | 1.56 | 0.33 | 0.66 | 0.99 | 1 |
| | 1 | 2 | 3 | 4 | 5 | 6 | 7 | 8 | 9 | 10 | |

NOTA.- Las unidades son M(Tn-m); K(m³); E(Tn/m²); 6EK(Tn-m).

(223)

P A S O VIII :

CALCULO DE LOS DESPLAZAMIENTOS Y GIROS :

C A S O . I

C U A D R O : b

C O L U M N A : $C_{D2'} = C_{E2'}$

P O R T I C O : " 2' "

$$\Psi_i = \frac{1}{6EK_{vi}} (2M_{ij} - M_{ji}) + \frac{1}{6EK_{ci}} (2M_{ik} - M_{ki}) \text{ ----- } (\alpha'')$$

| N | 9-10 | $\frac{7}{1}$ | $\frac{11}{3}$ | Ψ_i | δ_i cm | Δ_i cm | Δ_o cm | $\Delta_o - \Delta_i$ cm | $\epsilon = \text{Error}$ | $\phi_o \times 10^{-5}$ | $\phi_i \times 10^{-5}$ | $\epsilon = \text{Error}$ | N |
|----|-------|------------------------|------------------------|------------------------|------------------|------------------|------------------|-----------------------------|---------------------------|-------------------------|-------------------------|---------------------------|----|
| 10 | 2.55 | 0.549×10^{-3} | 0.470×10^{-3} | 1.019×10^{-3} | 0.295 | 2.696 | 2.827 | 0.131 | 0.046 | 105.57 | 102.10 | 0.033 | 10 |
| 9 | 1.56 | 0.829 | 0.288 | 1.117 | 0.324 | 2.401 | 2.521 | 0.121 | 0.048 | 108.14 | 106.25 | 0.017 | 9 |
| 8 | 1.63 | 0.834 | 0.304 | 1.138 | 0.330 | 2.077 | 2.200 | 0.123 | 0.056 | 114.78 | 112.80 | 0.017 | 8 |
| 7 | 1.61 | 0.851 | 0.297 | 1.148 | 0.334 | 1.747 | 1.865 | 0.118 | 0.063 | 115.68 | 114.45 | 0.012 | 7 |
| 6 | 1.59 | 0.856 | 0.294 | 1.150 | 0.335 | 1.413 | 1.528 | 0.114 | 0.075 | 116.83 | 97.90 | 0.162 | 6 |
| 5 | 1.51 | 0.847 | 0.278 | 1.125 | 0.326 | 1.178 | 1.189 | 0.011 | 0.009 | 115.59 | 97.10 | 0.160 | 5 |
| 4 | 1.36 | 0.776 | 0.236 | 1.012 | 0.294 | 0.852 | 0.857 | 0.005 | 0.006 | 108.11 | 107.10 | 0.010 | 4 |
| 3 | 0.98 | 0.712 | 0.170 | 0.882 | 0.256 | 0.558 | 0.551 | 0.007 | 0.012 | 97.12 | 94.95 | 0.022 | 3 |
| 2 | 0.48 | 0.586 | 0.083 | 0.679 | 0.194 | 0.302 | 0.284 | 0.018 | 0.063 | 78.82 | 77.51 | 0.017 | 2 |
| 1 | -0.33 | 0.392 | -0.065 | 0.327 | 0.108 | 0.108 | 0.086 | 0.022 | 0.250 | 26.14 | 58.75 | -- | 1 |
| | 11 | 12 | 13 | 14 | 15 | 16 | 17 | 18 | 19 | 20 | 21 | 22 | |

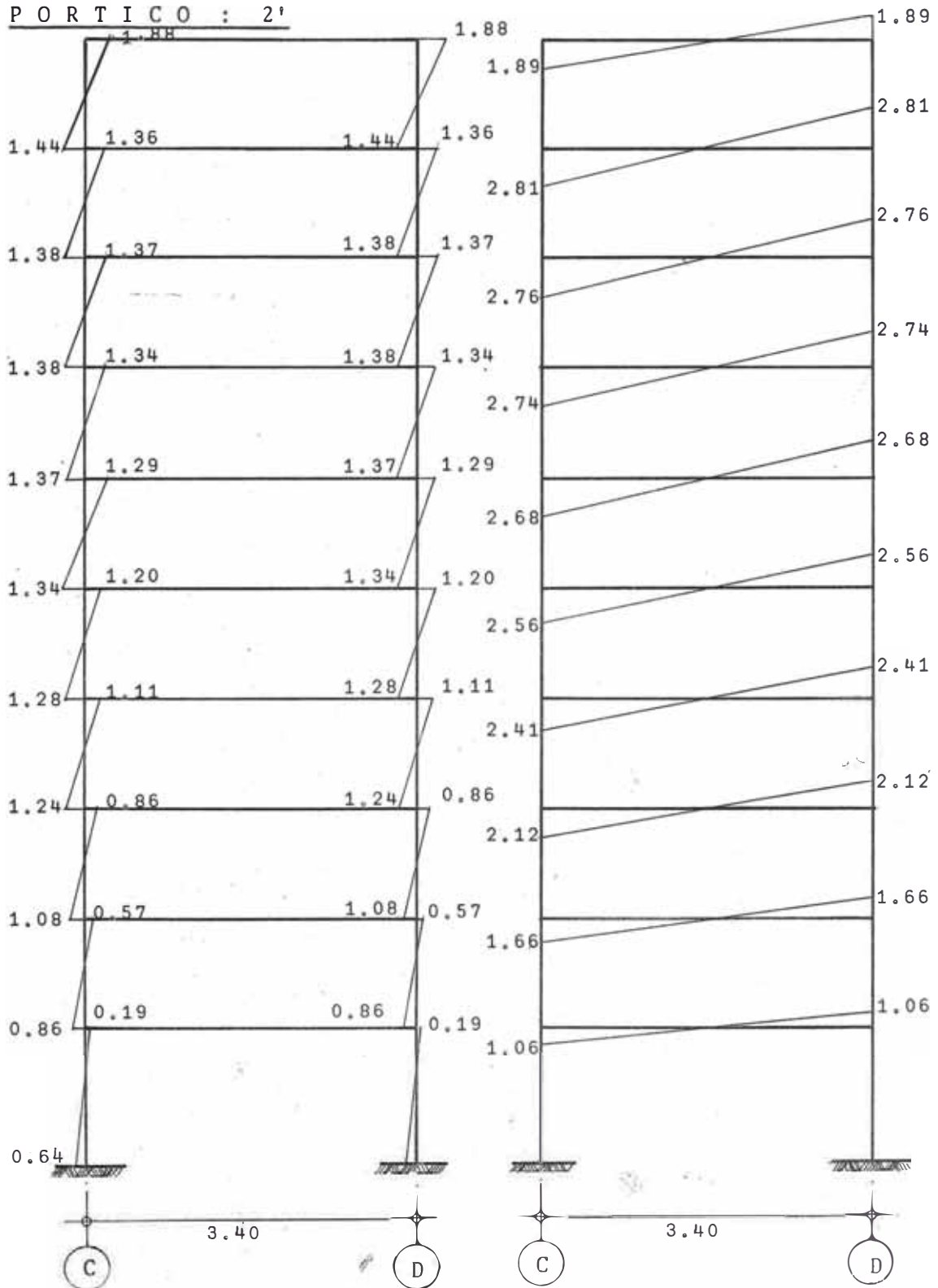
(224)

NOTA : $\frac{7}{1} = \frac{2M_{ij} - M_{ji}}{6EK_{vi}}$; $\frac{11}{3} = \frac{2M_{ik} - M_{ki}}{6EK_{ci}}$; $\Psi_i = \frac{7}{1} + \frac{11}{3}$ ----- (α) ; $\epsilon = \frac{\Delta_o - \Delta_1}{\Delta_o} < + 0.1$

C A S O · I I

DIAGRAMA DE MOMENTOS EN VIGAS Y COLUMNAS

P O R T I C O : 2'

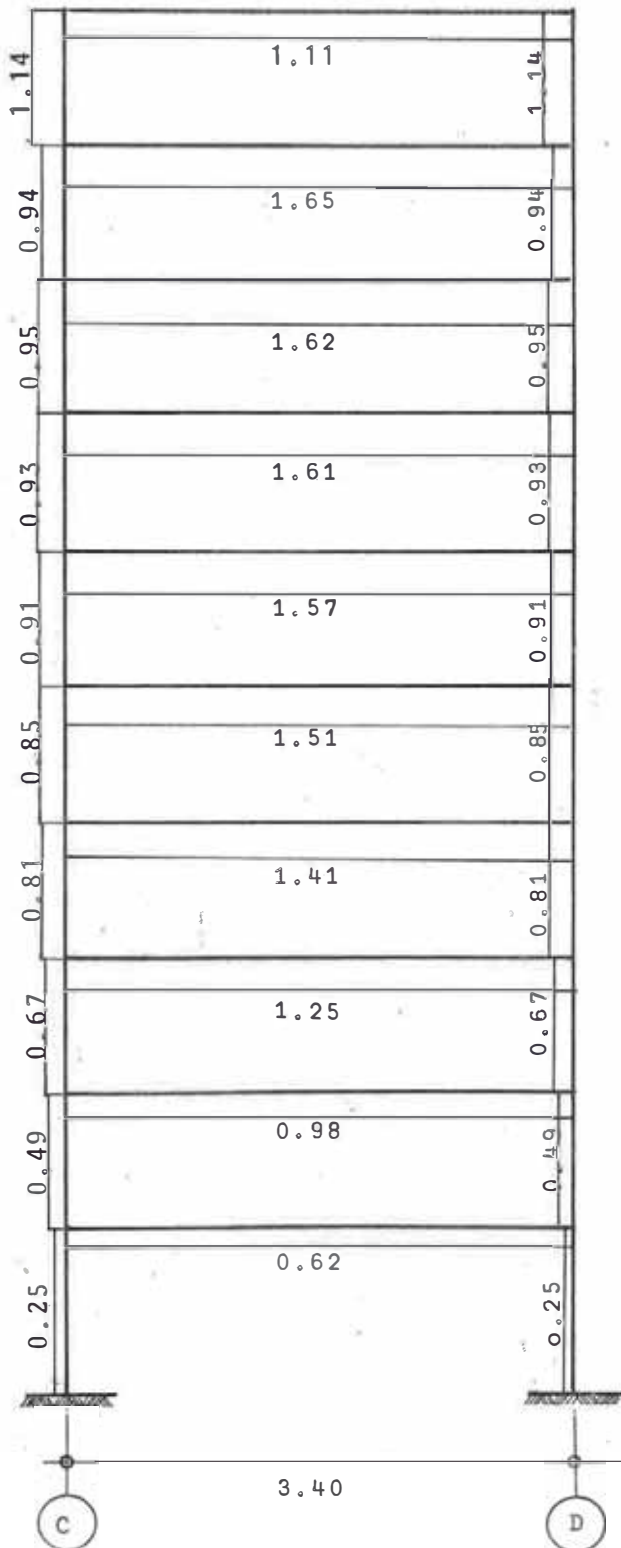


M E T O D O D I F E R E N C I A S F I N I T A S A C I

C A S O I I

E S F U E R Z O S C O R T A N T E S E N V I G A S Y C O L U M N A S

P O R T I C O 2'



C U A D R O "a" C O L U M N A $C_{D2} = C_{E2}$ P O R T I C O " 2 "

| N | $6EK_{vi}$ | K_{ci} | $6EK_{ci}$ | M_{ij} | $2M_{ij}$ | M_{ji} | 5-6 | M_{ik} | $2M_{ik}$ | M_{ki} | N |
|----|---------------------|----------------------|---------------------|----------|-----------|----------|------|----------|-----------|----------|----|
| 10 | $37,51 \times 10^2$ | 390×10^{-6} | $54,10 \times 10^2$ | 1.89 | 3.78 | 1.89 | 1.89 | 1.88 | 3.76 | 1.44 | 10 |
| 9 | $37,51 \times 10^2$ | 390 | $54,10 \times 10^2$ | 2.81 | 5.62 | 2.81 | 2.81 | 1.36 | 2.72 | 1.38 | 9 |
| 8 | $37,51 \times 10^2$ | 390 | $54,10 \times 10^2$ | 2.76 | 5.72 | 2.76 | 2.76 | 1.37 | 2.74 | 1.38 | 8 |
| 7 | $37,51 \times 10^2$ | 390 | $54,10 \times 10^2$ | 2.74 | 5.48 | 2.74 | 2.74 | 1.34 | 2.68 | 1.37 | 7 |
| 6 | $37,51 \times 10^2$ | 390 | $54,10 \times 10^2$ | 2.68 | 5.36 | 2.68 | 2.68 | 1.29 | 2.58 | 1.34 | 6 |
| 5 | $37,51 \times 10^2$ | 390 | $54,10 \times 10^2$ | 2.56 | 5.12 | 2.56 | 2.56 | 1.20 | 2.40 | 1.28 | 5 |
| 4 | $39,76 \times 10^2$ | 390 | $57,50 \times 10^2$ | 2.41 | 4.82 | 2.41 | 2.41 | 1.11 | 2.22 | 1.24 | 4 |
| 3 | $39,76 \times 10^2$ | 390 | $57,50 \times 10^2$ | 2.12 | 4.24 | 2.12 | 2.12 | 0.86 | 1.72 | 1.08 | 3 |
| 2 | $39,76 \times 10^2$ | 390 | $57,50 \times 10^2$ | 1.66 | 3.32 | 1.66 | 1.66 | 0.57 | 1.14 | 0.86 | 2 |
| 1 | $39,76 \times 10^2$ | 343 | $50,60 \times 10^2$ | 1.06 | 2.12 | 1.06 | 1.06 | 0.19 | 0.38 | 0.64 | 1 |
| | 1 | 2 | 3 | 4 | 5 | 6 | 7 | 8 | 9 | 10 | |

(227)

NOTA.- Las unidades son : $M(Tn-m)$; $K(m^3)$; $E(Tn/m^2)$; $6EK(Tn-m)$.

(PVIII)

CALCULO DE LOS DESPLAZAMIENTOS EN TORNO A LOS

C A S O II

CUADRO : "b"

C O L U M N A $C_{D2} = C_{E2}$ ----- P O R T I C O

" 2 "

$$\Psi_i = \frac{1}{6EK_{vi}} (2M_{ij} - M_{ji}) + \frac{1}{6EK_{ci}} (2M_{ik} - M_{ki}) \text{ ----- } (a'')$$

| N | 9-10 | $\frac{7}{1}$ | $\frac{11}{3}$ | Ψ_i | δ_i cms | Δ_i cms | Δ_o cms | $\Delta_o - \Delta_i$ cms | $\epsilon = \text{error}$ | $\delta_o \times 10^{-5}$ | $\delta_i \times 10^{-5}$ | ϵ | r | N |
|----|-------|------------------|------------------|------------------|-------------------|-------------------|-------------------|------------------------------|---------------------------|---------------------------|---------------------------|------------|---|----|
| | | $\times 10^{-3}$ | $\times 10^{-3}$ | $\times 10^{-3}$ | | | | | | | | | | |
| 10 | 2.32 | 0.502 | 0.427 | 0.929 | 0.269 | 2.272 | 2.305 | 0.033 | 0.014 | 97.25 | 92.35 | 0.045 | | 10 |
| 9 | 1.34 | 0.749 | 0.247 | 0.996 | 0.289 | 2.003 | 2.023 | 0.020 | 0.010 | 98.09 | 96.01 | 0.020 | | 9 |
| 8 | 1.36 | 0.735 | 0.251 | 0.986 | 0.286 | 1.714 | 1.736 | 0.022 | 0.012 | 99.41 | 99.10 | 0.003 | | 8 |
| 7 | 1.31 | 0.728 | 0.241 | 0.969 | 0.281 | 1.428 | 1.447 | 0.019 | 0.013 | 99.24 | 97.65 | 0.016 | | 7 |
| 6 | 1.24 | 0.711 | 0.228 | 0.939 | 0.272 | 1.147 | 1.161 | 0.014 | 0.012 | 97.24 | 95.80 | 0.015 | | 6 |
| 5 | 1.12 | 0.681 | 0.206 | 0.887 | 0.256 | 0.875 | 0.883 | 0.008 | 0.009 | 93.17 | 91.10 | 0.022 | | 5 |
| 4 | 0.98 | 0.607 | 0.170 | 0.777 | 0.225 | 0.619 | 0.620 | 0.001 | 0.001 | 85.37 | 83.10 | 0.026 | | 4 |
| 3 | 0.64 | 0.532 | 0.111 | 0.643 | 0.187 | 0.394 | 0.386 | 0.008 | 0.021 | 73.96 | 71.10 | 0.039 | | 3 |
| 2 | 0.28 | 0.418 | 0.048 | 0.466 | 0.136 | 0.207 | 0.191 | 0.016 | 0.084 | 57.08 | 55.75 | 0.023 | | 2 |
| 1 | -0.26 | 0.266 | -0.051 | 0.215 | 0.071 | 0.071 | 0.055 | 0.016 | 0.290 | 16.73 | 41.25 | -- | | 1 |

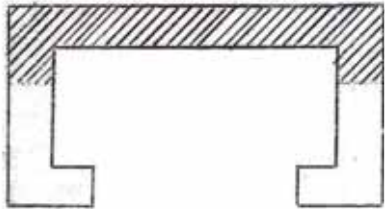
(228)

NOTA: $\frac{7}{1} = \frac{2M_{ij} - M_{ji}}{6EK_{vi}}$; $\frac{11}{3} = \frac{2M_{ik} - M_{ki}}{6EK_{ci}}$; $\Psi_i = \frac{7}{1} + \frac{11}{3}$ ----- ; $\epsilon = \frac{\Delta_o - \Delta_i}{\Delta_o} \leq + 0.1$

M E T O D O D E D I F E R E N C I A S F I N I T A S : A C I

C U A D R O : V

C U A D R O G E N E R A L D E D E S P L A Z A M I E N T O S Y G I R O S



Donde :

- Δ_0 - DESPLAZAMIENTO DE LA ESTRUCTURA
- Δ_1 = DESPLAZAMIENTO DEL PORTICO " 1 "
- $\Delta_{2'}$ = DESPLAZAMIENTO DEL PORTICO " 2 "
- Δ_3 - DESPLAZAMIENTO DEL PORTICO " 3 "

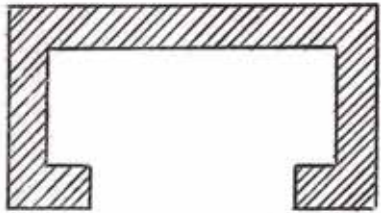
| N | Δ_0 | Δ_1 | ϵ_1 | $\Delta_{2'}$ | $\epsilon_{2'}$ | $\bar{\epsilon}_i$ | θ_0 | θ_1 | ϵ_1 | $\theta_{2'}$ | $\epsilon_{2'}$ | $\bar{\epsilon}_i$ | N |
|----|------------|------------|--------------|---------------|-----------------|--------------------|------------|------------|--------------|---------------|-----------------|--------------------|----|
| 10 | 2.827 | 3.084 | 0.090 | 2.696 | 0.046 | 0.066 | 105.57 | 113.45 | 0.076 | 102.10 | 0.033 | 0.054 | 10 |
| 9 | 2.521 | 2.754 | 0.092 | 2.401 | 0.048 | 0.070 | 108.14 | 118.06 | 0.091 | 106.25 | 0.017 | 0.054 | 9 |
| 8 | 2.200 | 2.398 | 0.090 | 2.077 | 0.056 | 0.073 | 114.78 | 128.41 | 0.118 | 112.80 | 0.017 | 0.067 | 8 |
| 7 | 1.865 | 2.008 | 0.077 | 1.747 | 0.063 | 0.070 | 105.88 | 128.35 | 0.108 | 114.45 | 0.012 | 0.060 | 7 |
| 6 | 1.528 | 1.653 | 0.082 | 1.413 | 0.075 | 0.078 | 116.83 | 125.98 | 0.078 | 97.90 | 0.162 | 0.120 | 6 |
| 5 | 1.189 | 1.278 | 0.075 | 1.178 | 0.009 | 0.042 | 115.59 | 129.98 | 0.124 | 97.10 | 0.160 | 0.142 | 5 |
| 4 | 0.857 | 0.901 | 0.052 | 0.852 | 0.006 | 0.029 | 108.11 | 118.10 | 0.092 | 107.10 | 0.010 | 0.051 | 4 |
| 3 | 0.551 | 0.594 | 0.078 | 0.558 | 0.012 | 0.045 | 97.12 | 100.50 | 0.035 | 94.95 | 0.022 | 0.028 | 3 |
| 2 | 0.284 | 0.320 | 0.126 | 0.302 | 0.063 | 0.094 | 78.82 | 83.00 | 0.053 | 77.51 | 0.017 | 0.035 | 2 |
| 1 | 0.086 | 0.113 | -- | 0.108 | 0.250 | -- | 26.14 | 62.41 | -- | 58.75 | -- | -- | 1 |

NOTA : Los desplazamientos están en (Cm.) centímetros.

M E T O D O D E D I F E R E N C I A S F I N I T A S A C I

C U A D R O V

CUADRO GENERAL DE DESPLAZAMIENTOS Y GIROS



Donde

$\Delta_0 \Rightarrow \phi_0 \Rightarrow \Rightarrow$ DE LA ESTRUCTURA

$\Delta_1 \Rightarrow \phi_1 \Rightarrow \Rightarrow$ DEL PORTICO " 1 "

$\Delta_2' \Rightarrow \phi_2 \Rightarrow \Rightarrow$ DEL PORTICO " 2 "

$\Delta_3 \Rightarrow \phi_3 \Rightarrow \Rightarrow$ DEL PORTICO " 3 "

| N | Δ_0 | Δ_1 | ϵ_1 | Δ_2' | ϵ_2' | $\bar{\epsilon}_i$ | ϕ_0 | ϕ_1 | ϵ_1 | ϕ_2' | ϵ_2' | $\bar{\epsilon}_i$ | N |
|----|------------|------------|--------------|-------------|---------------|--------------------|----------|----------|--------------|-----------|---------------|--------------------|----|
| 10 | 2.305 | 2.557 | 0.109 | 2.272 | 0.014 | 0.062 | 97.25 | 104.40 | 0.074 | 92.85 | 0.045 | 0.059 | 10 |
| 9 | 2.023 | 2.253 | 0.114 | 2.003 | 0.010 | 0.062 | 98.09 | 106.30 | 0.084 | 96.01 | 0.020 | 0.052 | 9 |
| 8 | 1.736 | 1.938 | 0.116 | 1.714 | 0.012 | 0.064 | 99.41 | 112.20 | 0.128 | 99.10 | 0.003 | 0.065 | 8 |
| 7 | 1.447 | 1.601 | 0.106 | 1.428 | 0.013 | 0.060 | 99.24 | 109.50 | 0.103 | 97.65 | 0.016 | 0.060 | 7 |
| 6 | 1.161 | 1.301 | 0.120 | 1.147 | 0.012 | 0.066 | 97.24 | 104.65 | 0.076 | 95.80 | 0.015 | 0.046 | 6 |
| 5 | 0.883 | 0.992 | 0.123 | 0.875 | 0.009 | 0.066 | 93.27 | 104.50 | 0.121 | 91.10 | 0.022 | 0.072 | 5 |
| 4 | 0.620 | 0.693 | 0.117 | 0.619 | 0.001 | 0.059 | 85.37 | 94.10 | 0.101 | 83.10 | 0.026 | 0.064 | 4 |
| 3 | 0.386 | 0.445 | 0.152 | 0.394 | 0.021 | 0.086 | 73.96 | 79.14 | 0.070 | 71.10 | 0.039 | 0.054 | 3 |
| 2 | 0.191 | 0.232 | 0.177 | 0.207 | 0.084 | 0.131 | 57.08 | 63.09 | 0.105 | 55.75 | 0.023 | 0.064 | 2 |
| 1 | 0.055 | 0.069 | -- | 0.071 | 0.290 | -- | 16.73 | 46.40 | 0.105 | 41.25 | -- | -- | 1 |

(230)

NOTA.- Los desplazamientos están en (Cms). Giros (ϕ_i) afectados por 10^{-5} .

M E T O D O D E D I F E R E N C I A S F I N I T A S

R E S U M E N

El modelo de análisis están indicados en la figura N° 1 (a), (b) donde intervienen factores como :

RIGIDEZ DE TRASLACION : (K_T); unidades Tn/m, conocido también como "Rigidez de entrepiso" y se pueden determinar empleando las expresiones de Wilbur; y Cardan.

Esta rigidez (K_T); representa la influencia de todos los pórticos puros (Pórticos: 1, 2', 3) y han sido determinados mediante las expresiones de Wilbur. A este valor se le tiene que sumar la influencia del marco AB y EF, los cuales han sido determinados mediante las expresiones de Cardán.

Su representación se hace mediante un resorte elástico, cuya constante de rigidez "K", es el valor " K_T "; lo que significa que cada piso existirá un resorte con su respectivo valor; estos resortes se encuentran unidos mediante una barra rígida.

RIGIDEZ DE ROTACION: (R); unidades Tn-m; han sido calculados mediante las expresiones de Cardan.

Este valor; representa la influencia de las vigas que inciden a la placa.

Su representación se hace mediante un resorte elástico rotacional cuya constante tiene por valor "R" y los giros de este son los mismos del muro y la viga de unión.

La solución del modelo; se realizó utilizando las Ecuaciones de Diferencias finitas; que aproxima la verdadera curva matemática, relacionándola con las deflexiones; la pendiente; la curvatura; momento de flexión; corte y la carga aplicada.

Hay dos posibles ecuaciones diferenciales finitas que pueden escribirse en cada entrepiso:

$$-\frac{EI}{H^2} (Y_{n-1} - 2Y_n + Y_{n+1}) = M_n \quad \text{-----} \quad (1)$$

$$\frac{EI}{H^3} (Y_{n-2} - 4Y_{n-1} + 6Y_n - 4Y_{n+1} + Y_{n+2}) = T_n \quad \text{-----} \quad (2)$$

Desde que la ecuación diferencial de cuarto orden (2), $EI y^{IV} =$ trata directamente con el término fuerza, es generalmente el más conveniente a usar, excepto en los casos de espaciamentos diferentes de entre pisos y rigidez variable de muros de corte.

La carga total aplicada en el entrepiso está compuesta: a) De la carga externa " P_n " b) De la reacción del resorte F_n como se ve en la figura 1 (b). c) También se debe de tener en cuenta el efecto del factor de rotación del resorte: R_n . ($T_n - m$); se reemplaza por medio de fuerzas equivalentes. Como el momento aplicado en el entrepiso "n" por el efecto de rotación del resorte es: $M_n = R_n \theta_n$

Donde " θ_n " es la pendiente de la curva elástica en el entrepiso "n", en términos de diferencia finitas:

$$\theta_n = \frac{dy}{dx} = \frac{Y_{n+1} - Y_{n-1}}{2H}$$

$$\therefore M_n = \frac{R_n}{2H} (Y_{n+1} - Y_{n-1}) \quad \text{-----} \quad (3)$$

Este momento será reemplazado por un par consistente de una fuerza ($V_n + 1$) aplicada en el entrepiso (n + 1) y una fuerza igual y opuesta ($-V_n - 1$) aplicada en el entrepiso (n-1) como se muestra en la exposición del método.

El valor de V ; reemplazando el momento en el piso "n" y luego aplicado en el piso (n+1) y n-1) es:

$$V_{n+1} = V_{n-1} = \frac{M_n}{2H} = \frac{R_n}{4H^2} (Y_{n+1} - Y_{n-1}).$$

Para el último piso, el valor de la pendiente " θ_t " se obtiene aplicando las condiciones de borde del extremo libre a las ecuaciones de diferencias finitas : $\theta_t = \frac{Y_t - Y_{t-1}}{H_t}$

y la fuerza V_t que reemplaza el momento:

$$V_t = V_{t-1} = \frac{M_t}{H_t} = \frac{R_t}{H_t^2}(Y_t - Y_{t-1})$$

Como la ecuación (2); relaciona: $T_n = P_n - F_n - V_n$, la ecuación diferencial de cuarto orden se expande para un PISO TIPICO (constantes EI y H); incluyendo el efecto de rotación es:

$$\frac{EI}{H^3}(Y_{n-2} - 4Y_{n-1} + 6Y_n - 4Y_{n+1} + Y_{n+2}) = P_n - F_n + \frac{R_{n-1}}{4H^2}(Y_{n-2} - Y_n) + \frac{R_{n+1}}{4H^2}(Y_{n-2} - Y_n)$$

Después de agrupar términos, la ecuación final de cuarto orden relacionando las fuerzas aplicadas, momento resistente y deflexión del muro se obtiene;

$$S = \frac{EI}{H^4} ; \bar{R}_n = \frac{R_n}{4H^2 S} ; \bar{K}_n = \frac{K_n}{S}$$

también:

$$F_n = K_n(Y_n - Y_{n-1}) - K_{n+1}(Y_{n+1} - Y_n)$$

finalmente para el piso "n"

$$(1 - \bar{R}_{n+1})Y_{n+2} - (4 + \bar{K}_{n+1})Y_{n+1} + (6 + \bar{K}_n + \bar{K}_{n+1} - \bar{R}_{n-1} + \bar{R}_{n+1})Y_n - (4 + \bar{K}_n)Y_{n-1} + (1 - \bar{R}_{n-1})Y_{n-2} = \frac{P_n}{S_n} \quad (4)$$

De la misma manera se determinan ecuaciones especiales para el primer piso, para el penúltimo piso y último piso, teniendo en cuenta las condiciones básicas de borde; al aplicar la ecuación (2). Dichas ecuaciones fueron aplicadas directamente a cada piso y resueltas simultáneamente para determinar la deflexión en cada nivel.

Estos valores de deflexión fueron utilizados para evaluar la

fuerza lateral desconocida F_n (figura 2) y al momento desconocido M_n [ecu (3)] en cada piso.

Luego se analizó a la placa como una viga en cantiliver; con las fuerzas aplicadas conocidas como se muestra en la figura 1 (b).

Los valores de deflexión obtenida por este análisis deben chequearse con los obtenidos al aplicar la ecuación de diferencia finita; la diferencia en los valores de deflexión entre los dos métodos refleja el grado de aproximación en la solución de la ecuación de diferencias finitas, desde que la solución en cantiliver es una solución exacta, basada en valores de deflexiones obtenidas de la solución de Diferencias finitas.

Conociendo la fuerza F_n ; podemos conocer las deflexiones de los diversos pórticos; mediante el valor K_T de la siguiente manera:

$$F_i = F_n \times \frac{K_i}{\sum K_T} \text{ ----- luego tenemos la fuerza aplicada en el pórtico "i" (1,2,3) y mediante métodos conocidos como$$

la del Prof. TAKABEYA; calculamos los momentos finales en las vigas y columnas. Las ecuaciones de Slope-Deflections nos relacionan estos momentos con las deflexiones.

Estas deflexiones se deben comparar con los obtenidos, en la solución de las ecuaciones de Diferencias Finitas.

De esta manera se chequeó que toda y cada parte de la estructura, sufren las mismas deflexiones bajo sus respectivos esfuerzos.

METODO DE DIFERENCIAS FINITASCONCLUSIONES:

El método está orientado a obtener la deformada final de la estructura, para luego someter a cada uno de sus elementos dicha deformada y obtener así sus respectivos esfuerzos.

La ecuación de diferencias finitas, relaciona varios puntos de la curva característica deformada, por lo tanto su solución es satisfactoria.

En el último, primero y penúltimo, la ecuación de diferencia finita tiene un grado de aproximación menor que el de la Planta típica, debido a que las condiciones de frontera son menores (3 y 4 pisos), mientras que en los otros son 5 niveles los que intervienen.

- La deformada de la estructura, obtenida por la solución de las ecuaciones de diferencias finitas, deben de compararse con las obtenidas al analizar la placa o pared de corte considerándola como una viga Cantiliver y con la de los pórticos al aplicarsele sus respectivos esfuerzos.

- El porcentaje de error aceptable es el 10% del valor inicial.

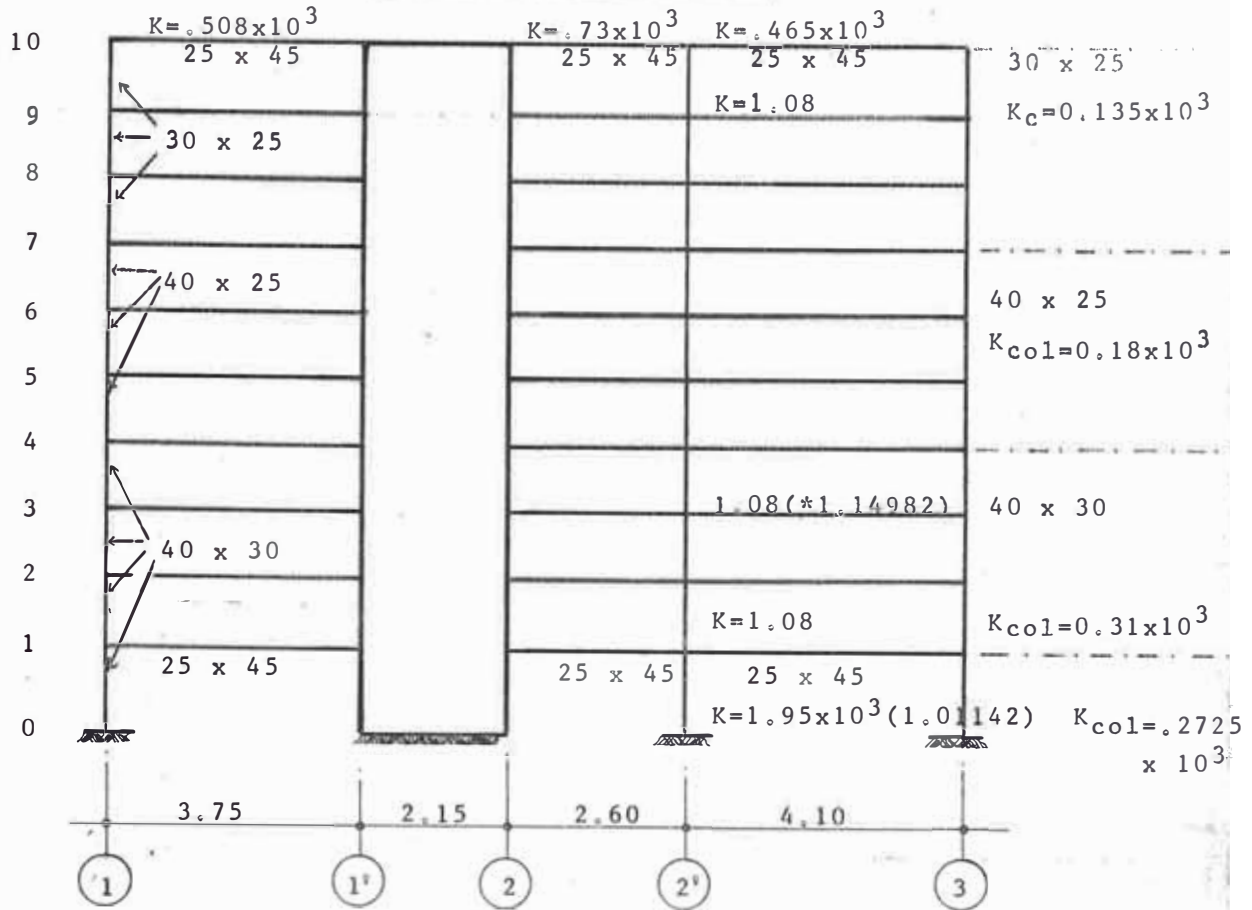
Al comparar las deflexiones de la estructura y de la placa se obtiene:

En ambos casos el error aceptable rige en todos los niveles excepto en el primer piso, es mucho mayor. Esto se debe a la consideración que hace "CARDAN" , el de considerar como punto de inflexión el centro de la columna, cosa que nunca sucede en el primer nivel.

- Cuando no hay variación en las rigideces de columnas y vigas el porcentaje de error es mucho menor, cosa que recomienda el autor; como sucede en el pórtico 2º.

ANALISIS SISMICO DIRECCION N-S PORTICO C y D

PORTICO C y D



$48E_{210} \div h_n = 0.385 \times 10^2 \text{ Ton/cm}^3 \quad N = 10 \dots\dots 5$

$48E_{240} \div h_n = 0.410 \times 10^2 \text{ Ton/cm}^3 \quad N = 4 \dots\dots 2$

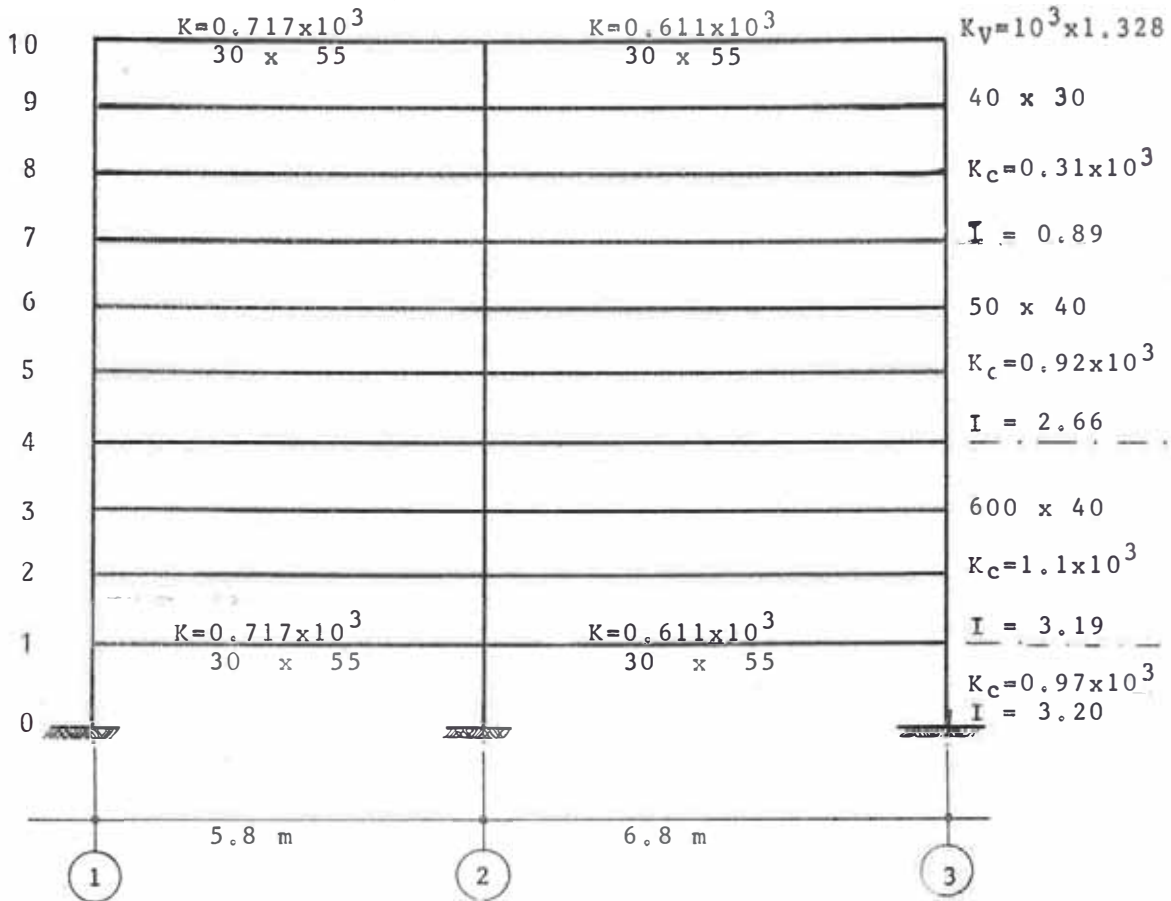
$48E_{240} \div h_n = 0.360 \times 10^2 \text{ Ton/cm}^3 \quad N = 1$

VALORES "K" PARA PORTICO DE CRUJIAS (2°) - (3)

| N | $4h \div \Sigma K_{cn}$ | $ h_M + h_N \div \Sigma K_{TM}$ | $ h_N + h_0 \div \Sigma K_{TN}$ | Σ | $K_N = \alpha / \Sigma$ | N |
|-----|-------------------------|----------------------------------|----------------------------------|----------|-------------------------|-----|
| 10 | 0.922 | 1.246 | 0.623 | 2.791 | 14.80 Ton/cm | 10 |
| 9-8 | 0.922 | 1.246 | 1.246 | 3.414 | 11.26 | 9-8 |
| 7-5 | 0.875 | 1.246 | 1.246 | 3.367 | 11.42 | 7-5 |
| 4-3 | 0.805 | 1.246 | 1.246 | 3.297 | 12.48 | 4-3 |
| 2 | 0.805 | *1.280 | 1.246 | 3.331 | 12.30 | 2 |
| 1 | 1.082 | 1.280 | - | 2.362 | 15.22 | 1 |

$K_{2*} = \frac{620}{465 + \frac{2 \times 122.25}{12}} = \frac{620}{(465 + 20.37)} = 485.37$

PORTICOS B y G CONSTANTES DE WILBUR



$$48E_{210} \div h_n = 48 \times 2.32 \times 10^2 \div 290 = 0.385 \times 10^2 \text{ Ton/cm}^3 \dots (10-5)$$

$$48E_{240} \div h_n = 48 \times 2.47 \times 10^2 \div 290 = 0.410 \times 10^2 \text{ Ton/cm}^3 \dots (4-2)$$

$$48E_{240} \div h_1 = 48 \times 2.47 \times 10^2 \div 330 = 0.360 \times 10^2 \text{ Ton/cm}^3 \dots (1)$$

| N | 4h | K_{cn} | $(h_m + h_n) \div \Sigma K_{TM}$ | $(h_n + h_o) \div \Sigma K_{TN}$ | Σ | $K_N = \alpha / \Sigma$ | N |
|-----|--------|----------|----------------------------------|----------------------------------|----------|-------------------------|-----|
| 10 | 1.246 | 0.436 | 0.436 | 0.218 | 1.900 | 20.25 Ton/cm | 10 |
| 9-8 | 1.246 | 0.436 | 0.436 | 0.436 | 2.118 | 18.20 | 9-8 |
| 7-5 | 0.420 | 0.436 | 0.436 | 0.436 | 1.292 | 29.90 | 7-5 |
| 4-3 | 0.351 | 0.436 | 0.436 | 0.436 | 1.223 | 33.60 | 4-3 |
| 2 | 0.351 | 0.395 | 0.395 | 0.436 | 1.182 | 34.60 | 2 |
| 1 | 0.4550 | 0.395 | 0.395 | - | 0.850 | 42.50 | 1 |

COLUMNA C2' PORTICO C, D (CONSTANTES ROTACION Y TRASLACION)

| N | $10^3 \times K_{AC}$ | $10^3 \times K_{AF}$ | $10^3 \times K_{COL,1}$ | $10^3 \times K_{COL,2}$ | $10^3 \times \Sigma K$ | $\frac{K_{AC}}{\Sigma K}$ | $\frac{K_{AF}}{\Sigma K}$ | $\frac{K_{COL}}{\Sigma K}$ | N |
|-----|----------------------|----------------------|-------------------------|-------------------------|------------------------|---------------------------|---------------------------|----------------------------|--------|
| 10 | .730 | .465 | 1.08 | ----- | 2.275 | 0.327 | 0.204 | 0.475 | 10 |
| 9-2 | .730 | .465 | 1.08 | 1.08 | 3.355 | 0.217 | 0.139 | 0.322 | 9-2 |
| 1 | .730 | .465 | 0.95 | 1.08 | 3.225 | 0.226 | 0.144 | .295 .335 | 1 1 |

| N | $\frac{K_{AC}}{\Sigma K}$ | $\rho = 1 - \frac{K_{AC}}{\Sigma K}$ | $\psi = \rho \left(1 + \frac{2c}{a}\right)$ | $\frac{K_{AF}}{\Sigma K}$ | $\psi - \frac{K_{AF}}{\Sigma K}$ | $10^5 M_{AC}$ | N |
|-----|---------------------------|--------------------------------------|---|---------------------------|----------------------------------|---------------|-----|
| 10 | 0.327 | 0.673 | 0.8785 | 0.2040 | 0.6745 | 6.8540 | 10 |
| 9-5 | 0.217 | 0.783 | 1.0221 | 0.1390 | 0.8831 | 8.9737 | 9-5 |
| 4-2 | 0.217 | 0.783 | 1.0221 | 0.1390 | 0.8831 | 9.5540 | 4-2 |
| 1 | 0.226 | 0.774 | 1.0103 | 0.1440 | 0.8663 | 9.3721 | 1 |

| N | $\frac{K_{AC}}{2 \Sigma K}$ | $\rho = 1 - \frac{K_{AC}}{2 \Sigma K}$ | $\lambda = \rho \left(1 + \frac{c}{a}\right)$ | $\frac{K_{AF}}{2 \Sigma K}$ | $\lambda - \frac{K_{AF}}{2 \Sigma K}$ | $10^5 M_{CA}$ | N |
|-----|-----------------------------|--|---|-----------------------------|---------------------------------------|---------------|-----|
| 10 | 0.1635 | 0.8365 | 1.0919 | 0.1020 | 0.9899 | 10.0590 | 10 |
| 9-5 | 0.1085 | 0.8915 | 1.1637 | 0.0695 | 1.0942 | 11.1188 | 9-5 |
| 4-2 | 0.1085 | 0.8915 | 1.1637 | 0.0695 | 1.0942 | 11.8377 | 4-2 |
| 1 | 0.1130 | 0.8870 | 1.1579 | 0.0720 | 1.0859 | 11.7479 | 1 |

| N | $10^5 \times M_{AC}$ | $10^5 \times M_{CA}$ | $10^5 \times (M_{AC} + M_{CA})$ | $(M_{AC} + M_{CA}) \times \frac{c}{a} = \alpha$ | $10^3 M_{EJE} = M_{CA} + \alpha$ | N | |
|-----|----------------------|----------------------|---------------------------------|---|----------------------------------|-------|-----|
| 10 | 6.8540 | 10.0590 | 16.9130 | 5.1649 | 15.2239 | ----- | 10 |
| 9-5 | 8.9737 | 11.1188 | 20.0925 | 6.1358 | 17.2546 | ----- | 9-5 |
| 4-2 | 9.5540 | 11.8377 | 21.3917 | 6.5325 | 18.3702 | ----- | 4-2 |
| 1 | 9.3721 | 11.7479 | 21.1200 | 6.4496 | 18.1975 | ----- | 1 |

NOTA.- Los valores de los momentos multiplicados por cm^5

| N | $10^5 \times M_B$ | $10^5 \times M_T$ | $10^5 \times (M_B + M_T)$ | $10^2 \times \Sigma B$ | $10^3 \times \sqrt{d}$ | N | |
|-----|-------------------|-------------------|---------------------------|------------------------|------------------------|-------|-----|
| 10 | 6.3585 | 9.3798 | 15.7383 | 1.1715 | 5.4273 | ----- | 10 |
| 9-5 | 6.3585 | 6.3585 | 12.7170 | 1.4500 | 4.3851 | ----- | 9-6 |
| 5 | 6.7696 | 6.3585 | 13.1281 | 1.4954 | 4.5269 | ----- | 5 |
| 4-3 | 6.7696 | 6.7696 | 13.5392 | 1.4500 | 4.6686 | ----- | 4-3 |
| 2 | 7.0429 | 6.7696 | 13.8125 | 1.4786 | 4.7629 | ----- | 2 |

COLUMN 1: PORTICO C

$$M_{AC} = 6E K_{AC} \left(1 + \frac{Y}{a} \right) \left(1 - \frac{K_{AC}}{\Sigma K} \right) \emptyset$$

$$M_{CA} = 6E K_{AC} \left(1 + \frac{Y}{a} \right) \left(1 - \frac{K_{AC}}{2\Sigma K} \right) \emptyset$$

$$M_{COL} = 6E K_{AC} \left(1 + Y/a \right) \left(K_{COL}/\Sigma K \right) \emptyset$$

$$M_{EJE} = M_{CA} + \left(\frac{M_{AC} + M_{CA}}{a} \right) Y \emptyset$$

| N | $K_{AC} \times 10^3$ | $K_{COL} \times 10^3$ | $K \times 10^3$ | $K_{AC}/\Sigma K$ | $K_{AC}/2\Sigma K$ | $\frac{K_{COL_i}}{\Sigma K}, \frac{K_{COL_\Delta}}{\Sigma}$ | N |
|----|----------------------|-----------------------|-----------------|-------------------|--------------------|---|----|
| 10 | 0.508 | .1350 | .643 | .788 | .394 | .212 | 10 |
| 9 | 0.508 | .1350 | .778 | .652 | .326 | .174 | 9 |
| 8 | 0.508 | .1350 | .778 | .652 | .326 | .174 | 8 |
| 7 | 0.508 | .1800 | .823 | .616 | .308 | .219, .165 | 7 |
| 6 | 0.508 | .1800 | .874 | .580 | .290 | .210 | 6 |
| 5 | 0.508 | .1800 | .874 | .580 | .290 | .210 | 5 |
| 4 | 0.508 | .3100 | .998 | .509 | .255 | .311, .180 | 4 |
| 3 | 0.508 | .3100 | 1.128 | .448 | .224 | .276 | 3 |
| 2 | 0.508 | .3100 | 1.128 | .448 | .224 | .276 | 2 |
| 1 | 0.508 | .2725 | 1.091 | .465 | .233 | .250, .285 | 1 |

| N | $M_T \times 10^5 \emptyset$ | $M_B \times 10^5 \emptyset$ | $(M_T + M_B) \times 10^5$ | αB | $Z \times 10^2$ | $V \times 10^3 \emptyset$ | N |
|----|-----------------------------|-----------------------------|---------------------------|------------|-----------------|---------------------------|----|
| 10 | 2.3814 | 1.9545 | 4.3359 | 0.45 | 1.307 | 1.4952 | 10 |
| 9 | 1.9545 | 1.9545 | 3.9090 | 0.50 | 1.450 | 1.3479 | 9 |
| 8 | 1.9545 | 1.8535 | 3.8080 | 0.48 | 1.411 | 1.3135 | 8 |
| 7 | 2.4600 | 2.3589 | 4.8189 | 0.48 | 1.419 | 1.6617 | 7 |
| 6 | 2.3589 | 2.3589 | 4.7178 | 0.50 | 1.450 | 1.6282 | 6 |
| 5 | 2.3589 | 2.0219 | 4.3808 | 0.46 | 1.338 | 1.5106 | 5 |
| 4 | 3.7193 | 3.3007 | 7.0200 | 0.47 | 1.366 | 2.4161 | 4 |
| 3 | 3.3007 | 3.3007 | 6.6014 | 0.50 | 1.450 | 2.2763 | 3 |
| 2 | 3.3007 | 3.4084 | 6.7091 | 0.50 | 1.473 | 2.9713 | 2 |
| 1 | 2.9898 | | | 0.30 | 0.990 | 3.0200 | 1 |

$$1 + Y/a = 1 + 1.3560/3.75 = 1.3616$$

$$6E K(1 + Y/a) \begin{cases} E_{210} \rightarrow 11.2331 \times 10^5 \text{ Ton-Cm.} \\ E_{240} \quad 11.9594 \times 10^5 \text{ Ton-Cm.} \end{cases}$$

| N | $1 - \frac{K_{AC}}{\Sigma K}$ | $1 - \frac{K_{AC}}{2\Sigma K}$ | $M_{AC} \times 10^5$ | $M_{CA} \times 10^5$ | $M_{AC} + M_{CA}$ | $M_{AC} + M_{CA} \frac{y}{L}$ | $10^5 \times \frac{M_{EJE}}{E} \phi$ | N |
|----|-------------------------------|--------------------------------|----------------------|----------------------|-------------------|-------------------------------|--------------------------------------|----|
| 10 | .212 | .606 | 2.3814 | 6.9195 | 9.3009 | 3.3632 | 10.2827 | 10 |
| 9 | .348 | .674 | 3.9091 | 7.5711 | 11.4802 | 4.1518 | 11.7229 | 9 |
| 8 | .348 | .674 | 3.9091 | 7.5711 | 11.4802 | 4.1518 | 11.7229 | 8 |
| 7 | .384 | .692 | 4.3135 | 7.7733 | 12.0868 | 4.3705 | 12.1438 | 7 |
| 6 | .420 | .710 | 4.7179 | 7.9755 | 12.6934 | 4.5899 | 12.5654 | 6 |
| 5 | .420 | .710 | 4.7179 | 7.9755 | 12.6934 | 4.5899 | 12.5654 | 5 |
| 4 | .491 | .745 | 5.8721 | 8.9097 | 14.7818 | 5.3451 | 14.2548 | 4 |
| 3 | .552 | .776 | 6.6016 | 9.2805 | 15.8821 | 5.7429 | 15.0234 | 3 |
| 2 | .552 | .776 | 6.6016 | 9.2805 | 15.8821 | 5.7429 | 15.0234 | 2 |
| 1 | .535 | .767 | 6.3982 | 9.1728 | 15.5710 | 5.6304 | 14.8032 | 1 |

COLUMNA 3 : PORTICO C

$$M = 6E K_{AC} K_{AB} / \Sigma K \quad \emptyset$$

$$6E_{210} K_{AC} = 6 \times 2.32 \times 0.465 \times 10^5 = 6.475 \times 10^5 \text{ Ton-Cm.}$$

$$6E_{240} K_{AC} = 6 \times 2.47 \times 0.475 \times 10^5 = 6.900 \times 10^5 \text{ Ton-Cm.}$$

| N | ΣK | $KL/\Sigma K$ | $K_d/\Sigma K$ | $M_T \emptyset$ | $M_B \emptyset$ | $(M_B + M_T) \emptyset$ | Z | $V \times 10^3 \emptyset$ | N |
|----|------------|---------------|----------------|-----------------|-----------------|-------------------------|-------|---------------------------|----|
| 10 | .600 | .255, | 0 | 1.450 | 1.185 | 2.635 | 1.360 | .870 | 10 |
| 9 | .735 | .184 | | 1.185 | 1.185 | 2.370 | 1.450 | .820 | 9 |
| 8 | .735 | .184 | | 1.185 | 1.190 | 2.375 | 1.460 | .815 | 8 |
| 7 | .780 | .231, | .184 | 1.490 | 1.400 | 2.890 | 1.405 | .996 | 7 |
| 6 | .831 | .216 | | 1.400 | 1.400 | 2.800 | 1.450 | .965 | 6 |
| 5 | .831 | .216 | | 1.400 | 1.226 | 2.626 | 1.355 | .908 | 5 |
| 4 | .955 | .325, | .189 | 2.250 | 1.976 | 4.226 | 1.355 | 1.460 | 4 |
| 3 | 1.085 | .286 | | 1.976 | 1.976 | 3.952 | 1.450 | 1.360 | 3 |
| 2 | 1.085 | .286 | | 1.276 | 2.025 | 4.001 | 1.470 | 1.300 | 2 |

NOTA: MOMENTOS EN TON-CM
CORTES EN TON

CONSTANTES TRASLACION Y ROTACION PORTICOS A y F

| N | $10^3 \times K_{AC}$ | $10^3 \times K_{COL}$ | $10^3 \times \Sigma K$ | $\frac{K_{AC}}{\Sigma K}$ | $\frac{K_{AC}}{2 \Sigma K}$ | $\frac{K_{ci}}{\Sigma}$ | $\frac{K_{cs}}{\Sigma}$ | N |
|----|----------------------|-----------------------|------------------------|---------------------------|-----------------------------|-------------------------|-------------------------|----|
| 10 | 0.876 | 0.310 | 1.186 | .730 | .365 | .27 | | 10 |
| 9 | 0.876 | 0.310 | 1.496 | .586 | .293 | .207 | | 9 |
| 8 | 0.876 | 0.310 | 1.496 | .586 | .293 | .207 | | 8 |
| 7 | 0.876 | 0.920 | 2.106 | .416 | .208 | .438 | .1470 | 7 |
| 6 | 0.876 | 0.920 | 2.716 | .322 | .161 | .349 | | 6 |
| 5 | 0.876 | 0.920 | 2.716 | .322 | .161 | .349 | | 5 |
| 4 | 0.876 | 1.100 | 2.896 | .303 | .152 | .380 | .3160 | 4 |
| 3 | 0.876 | 1.100 | 3.076 | .285 | .142 | .358 | | 3 |
| 2 | 0.876 | 1.100 | 3.076 | .285 | .142 | .358 | | 2 |
| 1 | 0.876 | 0.970 | 2.946 | .298 | .149 | .330 | .3750 | 1 |

| N | $10^5 \times M_T$ | $10^5 \times M_B$ | $10^5 \times M_T + M_B$ | α | $10^2 \times \Sigma$ | $10^3 \times V \phi$ | | N |
|----|-------------------|-------------------|-------------------------|----------|----------------------|----------------------|------|----|
| 10 | 5.00 | 3.880 | 8.88 | .43 | 1.24 | 3.112 | ---- | 10 |
| 9 | 3.88 | 3.880 | 7.76 | .50 | 1.45 | 2.690 | ---- | 9 |
| 8 | 3.88 | 2.690 | 6.57 | .41 | 1.16 | 2.300 | ---- | 8 |
| 7 | 8.10 | 6.250 | 14.35 | .43 | 1.26 | 4.950 | ---- | 7 |
| 6 | 6.25 | 6.250 | 12.50 | .50 | 1.45 | 4.331 | ---- | 6 |
| 5 | 6.25 | 5.780 | 12.03 | .48 | 1.39 | 4.150 | ---- | 5 |
| 4 | 7.40 | 6.950 | 14.35 | .48 | 1.40 | 4.950 | ---- | 4 |
| 3 | 6.95 | 6.950 | 13.90 | .50 | 1.45 | 4.800 | ---- | 3 |
| 2 | 6.95 | 7.280 | 14.23 | .51 | 1.48 | 4.900 | ---- | 2 |
| 1 | 6.40 | 3.700 | 10.10 | .40 | 1.34 | 4.790 | ---- | 1 |

| N | $1 - \frac{K_{AC}}{\Sigma K}$ | $1 - \frac{K_{AC}}{2 \Sigma K}$ | $10^5 \times M_{AC}$ | $10^5 \times M_{CA}$ | $10^5 \times \Psi$ | $\Psi \frac{b}{2a}$ | $10^5 \times M_{EJE}$ | N |
|----|-------------------------------|---------------------------------|----------------------|----------------------|--------------------|---------------------|-----------------------|----|
| 10 | .270 | .645 | 5.00 | 11.90 | 16.90 | 8.45 | 20.35 | 10 |
| 9 | .414 | .707 | 7.66 | 13.10 | 20.76 | 10.38 | 23.48 | 9 |
| 8 | .414 | .707 | 7.66 | 13.10 | 20.76 | 10.38 | 23.48 | 8 |
| 7 | .584 | .792 | 10.79 | 14.70 | 25.49 | 12.74 | 27.44 | 7 |
| 6 | .678 | .839 | 12.50 | 15.50 | 28.00 | 14.00 | 29.50 | 6 |
| 5 | .678 | .839 | 12.50 | 15.50 | 28.00 | 14.00 | 29.50 | 5 |
| 4 | .697 | .848 | 13.10 | 16.45 | 29.55 | 14.78 | 31.23 | 4 |
| 3 | .715 | .858 | 13.86 | 16.60 | 30.46 | 15.23 | 31.83 | 3 |
| 2 | .715 | .858 | 13.86 | 16.60 | 30.46 | 15.23 | 31.83 | 2 |
| 1 | .702 | .851 | 13.60 | 16.50 | 30.10 | 15.05 | 31.55 | 1 |

NOTA.- $\Psi = M_{AC} + M_{CA}$

$$M_T = 18.5 \times 10^5 \times K_{ci} / \Sigma K \quad (\text{TÓN-CM})$$

$$M_B = 19.4 \times 10^5 \times K_{cs} / \Sigma K \quad (\text{TÓN-CM})$$

V EN TÓN

CUADRO DE CONSTANTES K_T , R PARA CADA PORTICO Y PARA TODO EL EDIFICIO

| N | | | | | | | PORTICOS C, D | | | | K_T TON/CM | R TON-CM $\times 10^5$ TON $\times 10^3$ | N |
|----|-------|------|-------------------------|-------------------------|------|------|---------------|-------------------------|------|-------------------------|---------------------|--|----|
| | TON | TON | $\times 10^5$ TON-CM | $\times 10^5$ TON-CM | TON | TON | TON | $\times 10^5$ TON-CM | TON | $\times 10^5$ TON-CM | | | |
| 10 | 5873 | 1495 | 10.2830 | 10.0590 | 5427 | 870 | 7792 | 20.3420 | 6240 | 40.70 | 39.7780 137.1655 | 122.0840 42.0979 | 10 |
| 9 | 5278 | 1347 | 11.7229 | 11.1188 | 4385 | 820 | 6552 | 22.8417 | 5380 | 46.96 | 34.4200 118.7896 | 153.2834 52.8563 | 9 |
| 8 | 5278 | 1313 | 11.7229 | 11.1188 | 4385 | 815 | 6513 | 22.8417 | 4600 | 46.96 | 32.7820 113.0414 | 153.2834 52.8656 | 8 |
| 7 | 8671 | 1662 | 12.1438 | 11.1188 | 4385 | 996 | 7043 | 23.2626 | 9900 | 54.880 | 51.2280 176.6483 | 156.2852 53.8914 | 7 |
| 6 | 8671 | 1628 | 13.5654 | 11.1180 | 4385 | 965 | 6978 | 23.6842 | 8662 | 59.00 | 48.6220 167.6620 | 165.3684 57.0235 | 6 |
| 5 | 8671 | 1511 | 12.5654 | 11.1188 | 4527 | 908 | 5946 | 23.6842 | 8300 | 59.00 | 47.8340 164.9450 | 165.3684 57.0235 | 5 |
| 4 | 9745 | 2416 | 14.2548 | 11.8377 | 4668 | 1460 | 8544 | 26.0925 | 9900 | 62.46 | 56.3780 194.4068 | 177.1050 61.0706 | 4 |
| 3 | 9745 | 2276 | 15.0234 | 11.8377 | 4668 | 1360 | 8304 | 26.8611 | 9600 | 63.63 | 53.2980 183.7862 | 180.9828 62.4078 | 3 |
| 2 | 10000 | 2971 | 15.0234 | 11.8377 | 4763 | 1380 | 9114 | 26.8611 | 9800 | 63.63 | 57.8290 129.4068 | 180.9828 62.4078 | 2 |
| 1 | 14025 | 3020 | 14.8032 | 11.7479 | 2512 | 2512 | 8045 | 26.5511 | 9580 | 63.10 | 63.3000 191.8181 | 179.3022 54.3340 | 1 |

ECUACIONES DE DESPLAZAMIENTOS - DIFERENCIAS FINITAS PRIMER CASO

| N | Y_{10} | Y_9 | Y_8 | Y_7 | Y_6 | Y_5 | Y_4 | Y_3 | Y_2 | Y_1 | $10 \frac{-4}{S} P$ | N |
|----|----------|---------|---------|---------|---------|---------|---------|---------|---------|---------|---------------------|----|
| 10 | 1.0798 | -2.0687 | 0.9888 | | | | | | | | 112.6431 | 10 |
| 9 | -2.0687 | 5.1087 | -4.0289 | 0.9888 | | | | | | | 47.5274 | 9 |
| 8 | 0.9888 | -4.0289 | 6.0788 | -4.0275 | 0.9886 | | | | | | 42.5578 | 8 |
| 7 | | 0.9888 | -4.0275 | 6.0936 | -4.0430 | 0.9880 | | | | | 37.8562 | 7 |
| 6 | | | 0.9886 | -4.0430 | 6.1071 | -4.0408 | 0.9880 | | | | 32.9354 | 6 |
| 5 | | | | 0.9880 | -4.0408 | 6.1058 | -4.0401 | 0.9871 | | | 27.6979 | 5 |
| 4 | | | | | 0.9880 | -4.0400 | 6.1126 | -4.0473 | 0.9868 | | 22.1437 | 4 |
| 3 | | | | | | 0.9871 | -4.0473 | 6.1180 | -4.0447 | 0.9868 | 16.9062 | 3 |
| 2 | | | | | | | 0.9868 | -4.0447 | 6.1212 | -4.0845 | 11.9032 | 2 |
| 1 | | | | | | | | 0.9868 | -4.0485 | 7.1333 | 9.0028 | 1 |

(244)

CALCULO DEL CORTE EN EL MURO

$$V_{\text{MURO}} = V_{\text{TOTAL}} - V_{\text{PORTICOS}}$$

FUERZAS QUE TOMAN LOS PORTICOS

| N | K_i | K_i+K_{i+1} | K_{i+1} | Y_i cm | $K_1(\bar{Y}_{i-1})$ | $(K_i+K_{i+1}) \times Y_i$ | $K_{i+1}(\bar{Y}_{i+1})$ | F | N |
|----|----------|---------------|-----------|-------------|----------------------|----------------------------|--------------------------|---------|----|
| 10 | 137.1655 | | .2062 | 1.8618 | | | | 28.2835 | 10 |
| 9 | 118.6896 | 255.8553 | 137.1655 | 1.6546 | 170.8892 | 423.3348 | 255.3747 | -2.9291 | 9 |
| 8 | 113.0414 | 231.7310 | 118.7896 | 1.4398 | 137.6279 | 333.6463 | 196.3838 | - .3654 | 8 |
| 7 | 176.6483 | 289.6897 | 113.0414 | 1.2175 | 175.2351 | 352.6972 | 162.7570 | 14.7051 | 7 |
| 6 | 167.6620 | 334.3103 | 176.6483 | .9920 | 128.5632 | 341.5558 | 215.0693 | -2.0767 | 6 |
| 5 | 164.9450 | 332.6070 | 167.6620 | .7668 | 90.5548 | 255.0430 | 166.3207 | -1.8325 | 5 |
| 4 | 194.4068 | 359.3518 | 164.9450 | .5490 | 67.8090 | 197.2841 | 126.4798 | 2.9953 | 4 |
| 3 | 183.6862 | 378.1930 | 194.4068 | .3488 | 32.6139 | 131.9137 | 106.7293 | -7.5295 | 3 |
| 2 | 199.4068 | 383.1930 | 183.7862 | .1780 | 10.6283 | 68.2083 | 64.1046 | -6.5242 | 2 |

Las cargas anteriores se han encontrado con las siguientes relaciones :

$$F_N = K_N(Y_N - Y_{N-1})$$

$$F_L = - K_L Y_{L-1} + Y_L(K_N + K_L) - 4Y_{L+1} K_{L+1}$$

$$F_i = - K_i Y_{i-1} + Y_i(K_i + K_{i+1}) - Y_{i+1} K_{i+1}$$

$$F_1 = K_1 Y_1 - K_2(Y_2 - Y_1)$$

En el cuadro de arriba, en la columna Y_i se ha anotado los desplazamientos de cada piso del edificio, los cuales han sido hallados con un programa Fortram.

Luego las fuerzas que toman los muros son:

| N | F.TOTAL | F.PORTICOS | F.MUROS | CORTES | N |
|----|---------|------------|---------|--------|----|
| 10 | 46.24 | 28.28 | 17.96 | 17.96 | 10 |
| 9 | 19.51 | - 2.93 | 22.44 | 40.40 | 9 |
| 8 | 17.47 | - 0.36 | 17.83 | 58.23 | 8 |
| 7 | 15.54 | 14.70 | 0.84 | 59.07 | 7 |
| 6 | 13.52 | - 2.08 | 15.60 | 74.67 | 6 |
| 5 | 11.37 | - 1.83 | 13.20 | 87.87 | 5 |
| 4 | 9.09 | 3.00 | 6.09 | 93.96 | 4 |
| 3 | 6.94 | - 7.53 | 14.47 | 108.43 | 3 |
| 2 | 4.64 | - 6.52 | 11.16 | 119.59 | 2 |
| 1 | 2.51 | -14.64 | 17.15 | 136.74 | 1 |

MOMENTOS DE VIGAS QUE INCIDEN EN LOS MUROS Y CARGAS

LATERALES AL MURO

Como se conocen los valores totales de los momentos de corrección y los cortes o cargas totales que toma el muro equivalente, el problema inmediato es repartir dichos valores a cada muro particular.

La solución al problema obedece a un análisis rigurosamente científico y matemático que se aplique con criterio ingenieril, tema que es muy amplio y que cae fuera del alcance de este trabajo, por lo que se aplicarán criterios prácticos, que si se comprueban experimentalmente en la práctica, habrán cumplido su cometido con un coeficiente de seguridad para la estructura.

Para los momentos de las vigas, estos serán repartidos proporcionalmente a los momentos por unidad de giro. En la tabla que se presenta a continuación, el coeficiente α_L se refiere al momento de oposición de las vigas que inciden en cada placa lateral; el coeficiente α_s se refiere a la suma de momentos de las vigas que inciden en el pórtico "C" o "D" con el ascensor (o se la mitad del momento que se opone a la deflexión en voladizo de la caja del ascensor).

$$\alpha_L = R_L / 2(R_T + R_L)$$

| N | R.LATERAL | R.ASCENSOR | ΣR | α_L | α_A | N |
|----|-----------|------------|------------|------------|------------|----|
| 10 | 40.70 | 20.34 | 66.04 | .334 | .666 | 10 |
| 9 | 46.36 | 22.84 | 76.64 | .307 | .193 | 9 |
| 8 | 46.36 | 22.84 | 76.64 | .307 | .193 | 8 |
| 7 | 54.88 | 23.26 | 78.14 | .357 | .143 | 7 |
| 6 | 59.00 | 23.68 | 82.68 | .357 | .143 | 6 |
| 5 | 59.00 | 23.68 | 82.68 | .357 | .143 | 5 |
| 4 | 62.46 | 26.09 | 88.55 | .354 | .146 | 4 |
| 3 | 63.63 | 26.86 | 90.49 | .351 | .149 | 3 |
| 2 | 63.63 | 26.86 | 90.49 | .351 | .149 | 2 |
| 1 | 63.10 | 26.55 | 89.65 | .362 | .148 | 1 |

Para las cargas laterales, las cargas totales se repartirán proporcionalmente a las inercias de los muros o lo que es lo mismo a sus

rigideces, como en el caso anterior, se considerará la mitad de la inercia del ascensor para obtener las cargas sobre cada pórtico C ó D; puesto que la sección transversal de los muros permanece constante en cada piso, los coeficientes para distribuir las cargas laterales serán:

$$\text{Placa Lateral } \beta_L = \frac{I_L}{2I_L + I_A} = \frac{1.5435}{2 \times 1.5435 + 1.2317} = \frac{1.5435}{4.3187} = .3575$$

$$\text{Placa Ascensor } \beta_A = \frac{I_A/2}{2I_L + I_A} = 1/2(1 - 0.3573 \times 2)$$

(Eje C)

$$\beta_A = 1/2 (0.2854)$$

$$\beta_A = 0.1427$$

VERIFICACION DE ROTACIONES Y DEFLEXIONES DE LOS MUROS

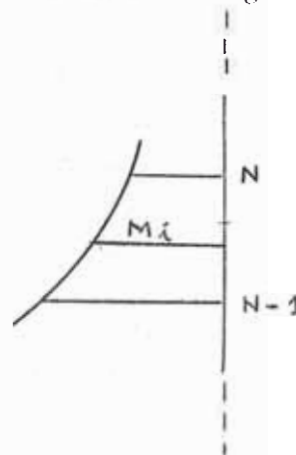
Para esta verificación, se considera el muro como una viga en Cantiliver, la que tiene en cada piso cargas horizontales que produce la deformación libre del muro, y momentos debido a las vigas en cada extremo del muro que es opuesto al giro anterior y es pues una corrección a la deformada libre.

Aplicando teoremas conocidas de la resistencia de los materiales es posible calcular en cada piso la rotación y la deflexión relativa de un piso respecto a otro, valiéndose de los diagramas de momentos.

$$\theta_N = \Sigma \frac{M_i h_i}{EI}$$

$$\delta_B = h \Sigma \frac{M_i h_i}{EI} + 1/2 M_i h^2$$

M_i = Momento de la mediana



COMPROBACION DE ROTACIONES PARA EL MURO EQUIVALENTE. DIFERENCIAS FINITAS. PRIMER CASO

| N | TON V _{TOTAL} | TON V _{PORTICO} | TON V _{MURO} | TON-M V _{M.h} | TON-M M _{VOLADO} | TON-M x 10 ⁴ R/φ | 10 ⁻⁶ x φ _i | M _R | Z _{MR} M _{MURO} | M' x 10 ⁶ M _m /EI | α x 10 ⁶ | 10 ⁻⁶ θ | N |
|----|---------------------------|-----------------------------|--------------------------|---------------------------|------------------------------|-----------------------------------|---|----------------|--------------------------------------|--|---------------------|-----------------------|----|
| 10 | 46.24 | 28.28 | 17.96 | 52.07 | 0 | 12.20 | 714.48 | 87.23 | 87.23 - 87.23 | - 8.723 | | 676.21 | 10 |
| 9 | 65.75 | 25.35 | 40.40 | 117.15 | 52.07 | 15.32 | 727.76 | 111.56 | 198.79 -146.42 | -14.672 | - 14.77 - 19.08 | 710.11 | 9 |
| 8 | 83.22 | 24.99 | 58.23 | 168.87 | 169.22 | 15.32 | 753.62 | 127.53 | 326.32 -157.10 | -15.710 | - 21.61 - 22.35 | 754.07 | 8 |
| 7 | 98.76 | 39.70 | 59.06 | 171.29 | 338.09 | 15.73 | 772.06 | 120.66 | 446.98 -108.91 | -10.891 | - 20.99 - 17.50 | 792.56 | 7 |
| 6 | 112.28 | 37.62 | 74.66 | 216.52 | 509.38 | 16.54 | 777.06 | 128.50 | 575.48 - 66.10 | - 6.610 | - 14.21 - 11.11 | 817.88 | 6 |
| 5 | 123.65 | 35.78 | 87.67 | 254.81 | 725.90 | 16.54 | 763.79 | 126.31 | 701.79 24.11 | 2.411 | - 7.05 0.91 | 824.02 | 5 |
| 4 | 132.74 | 38.78 | 93.95 | 272.48 | 980.71 | 17.71 | 720.68 | 127.64 | 829.43 151.28 | 15.128 | 8.10 17.30 | 798.62 | 4 |
| 3 | 139.68 | 31.26 | 108.42 | 305.00 | 1285.71 | 18.10 | 639.65 | 115.76 | 945.19 340.52 | 34.052 | 28.70 42.50 | 727.42 | 3 |
| 2 | 144.32 | 24.74 | 119.58 | 285.00 | 1670.71 | 18.10 | 509.48 | 92.21 | 1037.40 533.31 | 53.331 | 56.30 70.02 | 601.10 | 2 |
| 1 | 146.82 | 10.10 | 136.72 | 451.20 | 2121.91 | 17.93 | 161.51 | 28.96 | 1066.36 1055.51 | 105.55 | 96.10 134.00 | 671.00 | 1 |
| 0 | | | | | 2573.11 | | | | 1066.36 1506.75 | 150.57 | 169.00 202.00 | | 0 |

(248)

EI = 10.0193 x 10⁶ Ton - m².

M_R = MOMENTO DE VIGAS QUE
INCIDEN EN EL MURO

COMPROBACION DE GIROS - METODO DIFERENCIAS FINITAS PLACA LATERAL PRIMER CASO

| N | TON V | TON-M Vh | TON-M MVOL | TON-M M CORR | TON-M M MURO | $\bar{M} \times 10^{-6}$ M/EI | 10^{-6} AREAS | 10^{-6} ϕ | 10^{-6} ϕ_i | N |
|----|----------|-------------|---------------|-----------------|-----------------|----------------------------------|--------------------|---------------------|-----------------------|----|
| 10 | 6.42 | 18.65 | 0 | 29.00 | -29.00 | - 8.10 | | 734.41 | 728.80 | 10 |
| 9 | 14.44 | 41.90 | 18.75 | 63.25 | -44.60 | -12.45 | -13.26 -16.64 | 764.07 | 740.85 | 9 |
| 8 | 20.81 | 60.50 | 60.55 | 102.35 | -41.80 | -11.65 | -17.75 -17.20 | 799.02 | 765.19 | 8 |
| 7 | 21.11 | 61.20 | 121.05 | 144.65 | -23.60 | - 6.60 | -15.00 -11.40 | 825.42 | 784.11 | 7 |
| 6 | 26.68 | 77.25 | 182.25 | 190.65 | - 8.40 | - 2.34 | - 8.00 - 4.94 | 838.36 | 790.16 | 6 |
| 5 | 31.40 | 91.00 | 259.50 | 235.90 | 23.60 | 6.60 | - 0.99 6.75 | 832.60 | 776.97 | 5 |
| 4 | 33.57 | 97.40 | 350.50 | 280.90 | 69.60 | 19.40 | 14.20 23.40 | 795.00 | 734.45 | 4 |
| 3 | 38.74 | 112.20 | 447.90 | 321.50 | 126.40 | 35.45 | 33.90 45.50 | 715.60 | 653.12 | 3 |
| 2 | 42.73 | 124.00 | 560.10 | 354.00 | 206.10 | 57.50 | 59.10 75.50 | 581.00 | 520.87 | 2 |
| 1 | 48.86 | 161.00 | 684.10 | 364.16 | 319.94 | 89.15 | 95.00 117.50 | 368.50 | 179.14 | 1 |
| 0 | | | 845.10 | 364.16 | 480.94 | 134.70 | 166.00 202.50 | 0 | 0 | 0 |

(249)

EI = 3.5809 x 10⁶ Ton. - m²

COMPROBACION DE GIROS - METODOS DIFERENCIAS FINITAS - PLACA ASCENSOR - PRIMER CASO

| N | TON V | TON-M Vh | TON-M M _{JOL} | TON-M M _{CORR} | TON-M M | $\frac{M}{EI} \cdot 10^6$ M/EI | $\frac{-6}{10}$ AREAS | $\frac{-6}{10}$ ϕ | $\frac{-6}{10}$ ϕ_i | N |
|----|----------|-------------|---------------------------|----------------------------|------------|-----------------------------------|--------------------------|---------------------------|-----------------------------|----|
| 10 | 2.56 | 7.42 | 0 | 14.61 | -14.61 | -10.22 | | 333.76 | 728.80 | 10 |
| 9 | 5.76 | 16.70 | 7.42 | 36.14 | -28.72 | -20.17 | -18.40 -25.60 | 377.76 | 740.40 | 9 |
| 8 | 8.30 | 24.10 | 24.12 | 60.81 | -36.69 | -25.70 | -31.25 -35.25 | 444.26 | 765.19 | 8 |
| 7 | 8.42 | 24.50 | 48.22 | 68.84 | -30.62 | -21.45 | -35.76 -32.60 | 512.62 | 784.11 | 7 |
| 6 | 10.65 | 30.90 | 72.72 | 97.09 | -24.37 | -17.05 | -29.50 -26.30 | 568.47 | 790.16 | 6 |
| 5 | 12.53 | 36.25 | 103.72 | 114.99 | -11.37 | -7.97 | -21.50 -14.80 | 604.72 | 776.97 | 5 |
| 4 | 13.40 | 39.90 | 139.87 | 133.81 | 6.06 | 4.25 | -7.20 2.34 | 609.58 | 734.45 | 4 |
| 3 | 15.46 | 44.80 | 179.77 | 151.09 | 28.68 | 20.12 | 11.93 23.40 | 574.25 | 653.12 | 3 |
| 2 | 17.05 | 49.50 | 224.57 | 164.70 | 59.87 | 41.90 | 37.25 52.80 | 484.20 | 520.87 | 2 |
| 1 | 19.49 | 64.50 | 274.07 | 169.02 | 105.05 | 73.50 | 72.20 95.00 | 317.00 | 179.14 | 1 |
| 0 | | | 338.57 | 169.02 | 169.55 | 118.70 | 140.00 177.00 | 0 | 0 | 0 |

(250)

$EI = 1.3287 \times 10^6 \text{ Ton-m}^2$

COMPROBACION DE DEFLEXIONES PARA PLACA EQUIVALENTE. PRIMER CASO. DIFERENCIAS FINITAS

| | N | $\frac{m^3}{EI}$ | $\frac{M_i}{EI} = A_i$ | $A_i h_i$ | $\sum A_i h_i$ | $h_i \sum A_i h_i$ | $\frac{M_i h_i^2}{2EI}$ | $\sum B$ | $\sum N$ | N | |
|---|-------|------------------|------------------------|-----------|----------------|--------------------|-------------------------|----------|----------|------|---|
| V O L A D O | 10 | 5.2 | 2.1 | 6.1 | 2781 | 8065 | 9 | 8074 | 67976 | 10 | V O L A D O |
| | 9 | 16.9 | 11.1 | 32.0 | 2775 | 8047 | 46 | 8093 | 59903 | 9 | |
| | 8 | 33.8 | 25.4 | 73.5 | 2743 | 7955 | 106 | 8061 | 51810 | 8 | |
| | 7 | 50.9 | 42.4 | 123.0 | 2670 | 7743 | 178 | 7921 | 43748 | 7 | |
| | 6 | 72.6 | 66.7 | 193.0 | 2547 | 7386 | 280 | 7666 | 35827 | 6 | |
| | 5 | 98.1 | 85.3 | 247.5 | 2354 | 6876 | 359 | 7185 | 28161 | 5 | |
| | 4 | 128.6 | 113.3 | 327.8 | 2107 | 6110 | 475 | 6585 | 20976 | 4 | |
| | 3 | 167.1 | 147.8 | 429.1 | 1779 | 5152 | 672 | 5824 | 14391 | 3 | |
| | 2 | 212.2 | 189.6 | 578.0 | 1350 | 4215 | 838 | 5053 | 8567 | 2 | |
| | 1 | 257.3 | 234.7 | 772.0 | 772 | 2239 | 1275 | 3514 | 3514 | 1 | |
| C O R R E C I O N | 10 | 8.7 | 8.7 | 25.3 | 1847 | 5456 | 37 | 5493 | 42582 | 10 | C O R R E C I O N |
| | 9 | 19.9 | 19.9 | 58.2 | 1822 | 5283 | 83 | 5366 | 37089 | 9 | |
| | 8 | 32.6 | 32.6 | 95.0 | 1764 | 5115 | 137 | 5252 | 31723 | 8 | |
| | 7 | 44.7 | 44.7 | 130.0 | 1669 | 4840 | 188 | 6728 | 26471 | 7 | |
| | 6 | 57.5 | 57.5 | 167.0 | 1539 | 4463 | 242 | 4705 | 19743 | 6 | |
| | 5 | 70.2 | 70.2 | 204.0 | 1372 | 3979 | 295 | 4274 | 15038 | 5 | |
| | 4 | 82.9 | 82.9 | 240.0 | 1168 | 3387 | 348 | 3735 | 10764 | 4 | |
| | 3 | 94.5 | 94.5 | 274.0 | 928 | 2691 | 397 | 3088 | 7029 | 3 | |
| | 2 | 103.7 | 103.7 | 300.0 | 654 | 1897 | 435 | 2332 | 3941 | 2 | |
| | 1 | 106.6 | 106.6 | 354.0 | 354 | 1027 | 582 | 1602 | 1609 | 1 | |
| Δ | 25394 | 22814 | 20087 | 17277 | 16084 | 13123 | 10212 | 7362 | 4626 | 1905 | Δ |
| Δi | 18618 | 16546 | 14398 | 12175 | 9920 | 7668 | 5490 | 3488 | 1780 | 533 | Δi |
| N | 10 | 9 | 8 | 7 | 6 | 5 | 4 | 3 | 2 | 1 | N |

NOTA TODOS LOS VALORES AFECTADOS DE 10^6
 Δ EN CM

(251)

COMPROBACION DE DEFLEXIONES EN PLACA LATERAL. PRIMER CASO. DIFERENCIAS FINITAS

| | N | $\frac{M}{EI}$ | $\frac{M}{EI}$ | $A_i h_i$ | $\sum A_i h_i$ | $M \sum A_i h_i$ | $\frac{M_i h_i^2}{2EI}$ | $M \sqrt{B}$ | $M \sqrt{N}$ | N | |
|------------|-------|----------------|----------------|-----------|----------------|------------------|-------------------------|--------------|--------------|-----|------------|
| | 10 | 5.20 | 2.6 | 7.5 | 2599 | 7537 | 11 | 7522 | 54683 | 10 | VOLADO |
| | 9 | 16.90 | 11.1 | 32.3 | 2590 | 7511 | 47 | 7488 | 47341 | 9 | |
| | 8 | 33.75 | 25.3 | 70.3 | 2566 | 7441 | 101 | 7319 | 39852 | 8 | |
| | 7 | 50.78 | 42.3 | 122.5 | 2489 | 7218 | 178 | 7039 | 32814 | 7 | |
| | 6 | 72.40 | 61.6 | 178.5 | 2366 | 6861 | 259 | 6604 | 25775 | 6 | |
| | 5 | 98.00 | 85.2 | 246.5 | 2188 | 6345 | 358 | 5987 | 19171 | 5 | |
| | 4 | 125.00 | 111.5 | 324.0 | 1941 | 5629 | 470 | 5159 | 13184 | 4 | |
| | 3 | 156.00 | 140.6 | 410.0 | 1617 | 4689 | 593 | 4093 | 8025 | 3 | |
| | 2 | 191.00 | 173.6 | 503.0 | 1207 | 3500 | 730 | 2772 | 3932 | 2 | |
| | 1 | 236.00 | 213.5 | 704.0 | 704 | 2042 | 1160 | 1160 | 1160 | 1 | |
| | 10 | 8.10 | 8.10 | 23 | 1723 | 4997 | 34 | 4964 | 33540 | 10 | CORRECCION |
| | 9 | 17.65 | 17.65 | 51 | 1700 | 4930 | 74 | 4956 | 28576 | 9 | |
| | 8 | 28.55 | 28.55 | 83 | 1649 | 4882 | 120 | 4661 | 23620 | 8 | |
| | 7 | 40.35 | 40.35 | 117 | 1566 | 4541 | 170 | 4374 | 18959 | 7 | |
| | 6 | 53.12 | 53.12 | 154 | 1449 | 4204 | 223 | 3978 | 14585 | 6 | |
| | 5 | 65.80 | 65.80 | 190 | 1295 | 3755 | 276 | 3481 | 10605 | 5 | |
| | 4 | 78.00 | 78.00 | 225 | 1105 | 3205 | 327 | 2879 | 7124 | 4 | |
| | 3 | 89.60 | 89.60 | 260 | 880 | 2552 | 376 | 2174 | 4245 | 3 | |
| | 2 | 98.80 | 98.80 | 285 | 620 | 1798 | 414 | 1519 | 2071 | 2 | |
| | 1 | 101.00 | 101.00 | 335 | 335 | 1105 | 552 | 552 | 552 | 1 | |
| Δ | 21325 | 18765 | 16230 | 13855 | 11190 | 8566 | 6060 | 3780 | 1861 | 608 | Δ |
| Δc | 18618 | 16546 | 14398 | 12175 | 9920 | 7668 | 5490 | 3488 | 1780 | 533 | Δc |
| N | 10 | 9 | 8 | 7 | 6 | 5 | 4 | 3 | 2 | 1 | N |

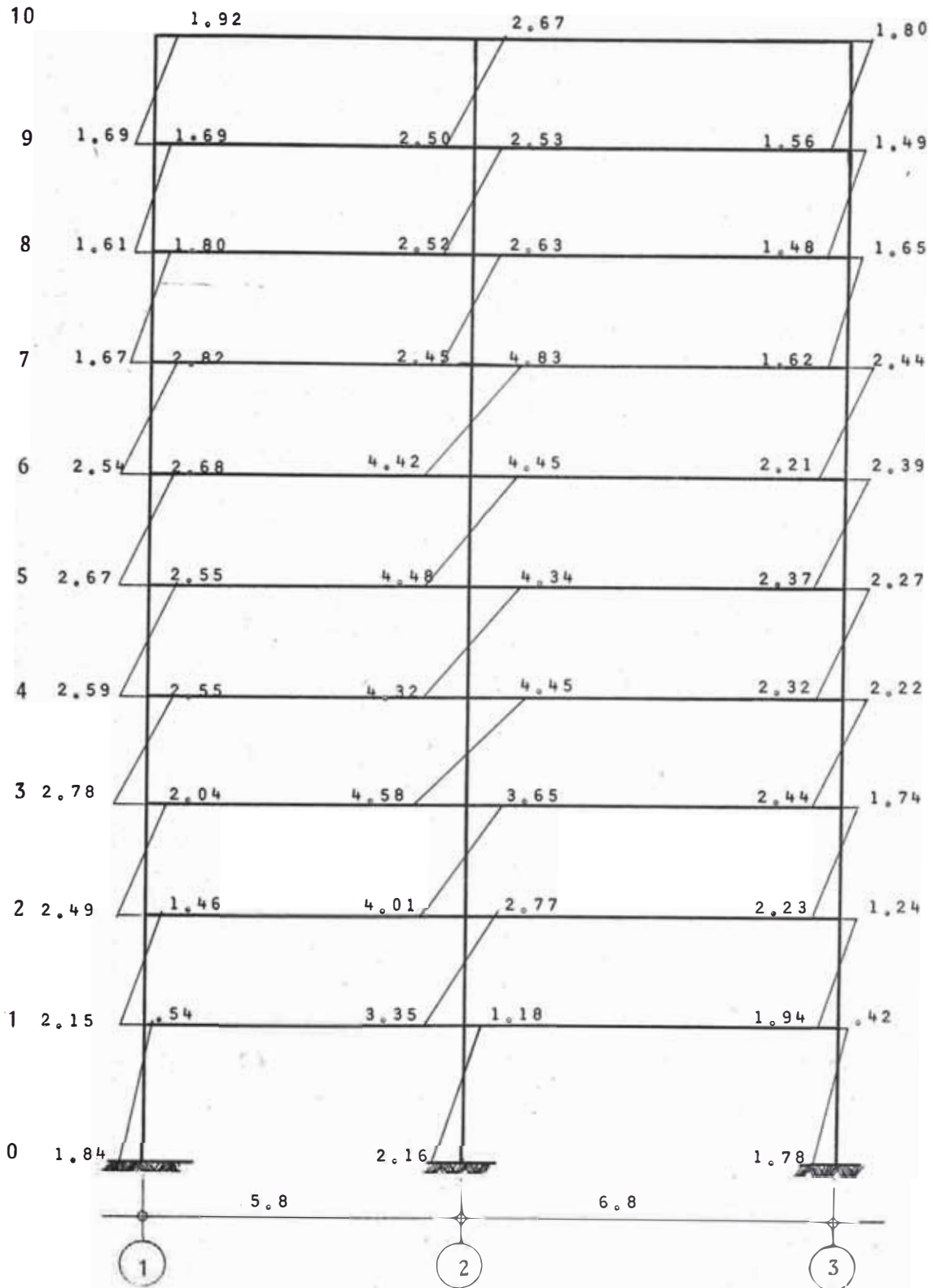
NOTA: TODAS LAS COLUMNAS AFECTADAS EN 10^{-6}

COMPROBACION DE DEFLEXIONES EN PLACA DE ASCENSOR. PRIMER CASO. DIFERENCIAS FINITAS

| | N | $\frac{cm^3}{EI}$ M EI | $\frac{cm^3}{EI}$ M.C EI | A _i h _i | $\sum A_i h_i$ | $h_i \sum A_i h_i$ | $\frac{m^4}{2EI}$ $\frac{M_i h_i^2}{2EI}$ | $\frac{m^3}{EI}$ $\sum B$ | $\frac{m^2}{EI}$ $\sum N$ | | |
|------------|-------|------------------------------|--------------------------------|-------------------------------|----------------|--------------------|--|------------------------------|------------------------------|---------------------|---|
| | 10 | 5.18 | 2.59 | 7.5 | 2618 | 7692 | 11 | 7703 | 62073 | N | |
| | 9 | 18.63 | 11.00 | 31.9 | 2610 | 8093 | 46 | 8139 | 54370 | | |
| | 8 | 33.79 | 25.31 | 73.3 | 2578 | 7478 | 106 | 7584 | 46231 | V O L A D O | |
| | 7 | 50.90 | 42.35 | 122.5 | 2505 | 7266 | 177 | 6443 | 38646 | | |
| | 6 | 72.50 | 61.70 | 179.0 | 2383 | 7387 | 259 | 7646 | 31203 | | |
| | 5 | 97.80 | 81.15 | 247.0 | 2204 | 6391 | 358 | 7649 | 23556 | | |
| | 4 | 125.70 | 111.75 | 324.0 | 1957 | 5675 | 469 | 7206 | 16807 | | |
| | 3 | 152.20 | 141.45 | 420.0 | 1633 | 4736 | 598 | 4137 | 11601 | | |
| | 2 | 191.80 | 174.50 | 507.0 | 1213 | 3518 | 735 | 4252 | 7463 | | |
| | 1 | 236.60 | 214.20 | 706.0 | 706 | 2047 | 1163 | 3210 | 3210 | | |
| | 10 | 10.22 | 10.22 | 29.6 | 2018 | 5853 | 43 | 5896 | 31977 | C O R R E C C I O N | |
| | 9 | 25.35 | 25.35 | 73.5 | 1989 | 5767 | 106 | 5874 | 26080 | | |
| | 8 | 42.50 | 42.50 | 123.3 | 1915 | 5554 | 178 | 5733 | 31954 | | |
| | 7 | 55.10 | 55.10 | 160.0 | 1792 | 5197 | 232 | 5429 | 26222 | | |
| | 6 | 68.00 | 68.00 | 197.0 | 1632 | 4733 | 285 | 5018 | 20793 | | |
| | 5 | 80.50 | 80.50 | 233.0 | 1435 | 4161 | 337 | 4498 | 15775 | | |
| | 4 | 93.60 | 93.60 | 271.0 | 1202 | 3486 | 393 | 3879 | 11276 | | |
| | 3 | 105.60 | 105.60 | 305.0 | 931 | 2700 | 444 | 3144 | 7398 | | |
| | 2 | 115.30 | 115.30 | 334.0 | 626 | 1815 | 485 | 2300 | 4253 | | |
| | 1 | 118.60 | 118.60 | 392.0 | 392 | 1305 | 648 | 1953 | 1953 | | |
| Δ | 30096 | 28290 | 14277 | 12424 | 10410 | 7781 | 5531 | 4203 | 3210 | Δ | |
| Δc | 18618 | 16546 | 14398 | 12175 | 9920 | 7668 | 5490 | 3488 | 1780 | Δc | |
| N | 10 | 9 | 8 | 7 | 6 | 5 | 4 | 3 | 2 | 1 | N |

NOTA TODOS LOS VALORES AFECTADOS DE 10^{-6}

MOMENTOS EN COLUMNAS PORTICOS B_y^F DIFERENCIAS FINITAS (CASO I)



CONSIDERANDO COEFICIENTES ANTERIORES SE TABULARAN LOS MOMENTOS
Y CORTES

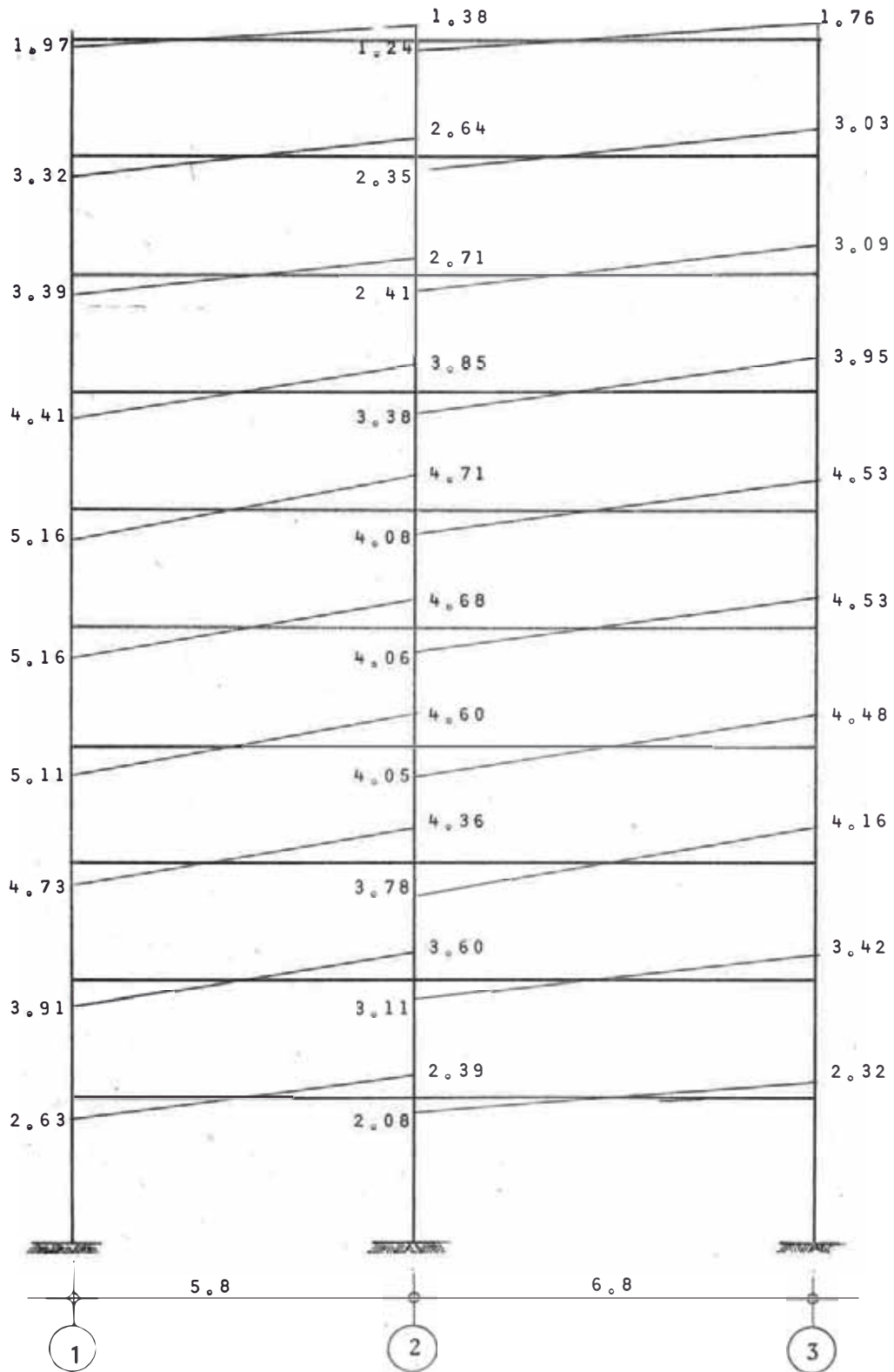
MOMENTOS DE CORRECCION :

| N | TOTAL | COEF. | LATERAL | | ASCENSOR | | N |
|----|--------|-------|---------|--------|----------|--------|----|
| | | | M | M.AC | M | M.AC | |
| 10 | 87.23 | .334 | 29.00 | 39.00 | 14.61 | 14.61 | 10 |
| 9 | 111.56 | .307 | 34.25 | 63.25 | 21.53 | 36.14 | 9 |
| 8 | 127.53 | .307 | 39.10 | 102.35 | 24.67 | 60.81 | 8 |
| 7 | 120.66 | .350 | 42.30 | 144.65 | 18.03 | 78.84 | 7 |
| 6 | 128.50 | .357 | 46.00 | 190.65 | 18.25 | 97.09 | 6 |
| 5 | 126.31 | .357 | 45.25 | 235.90 | 17.90 | 114.99 | 5 |
| 4 | 127.64 | .354 | 45.00 | 280.90 | 18.82 | 133.81 | 4 |
| 3 | 115.76 | .351 | 40.60 | 321.50 | 17.28 | 151.09 | 3 |
| 2 | 92.21 | .351 | 32.50 | 354.00 | 13.61 | 164.70 | 2 |
| 1 | 28.96 | .352 | 10.16 | 364.16 | 4.32 | 169.02 | 1 |

CARGAS LATERALES :

| N | F. TOTAL | COEF. | LATERAL | | ASCENSOR | | N |
|----|----------|-------|---------|-------|----------|-------|----|
| | | | F | V | F | V | |
| 10 | 17.96 | .3573 | 6.42 | 6.42 | 2.56 | 2.56 | 10 |
| 9 | 22.44 | | 8.02 | 14.44 | 3.20 | 5.76 | 9 |
| 8 | 17.83 | | 6.37 | 20.81 | 2.54 | 8.30 | 8 |
| 7 | 0.84 | | 0.30 | 21.11 | 0.12 | 8.42 | 7 |
| 6 | 15.60 | | 5.57 | 26.68 | 2.23 | 10.65 | 6 |
| 5 | 13.20 | | 4.72 | 31.40 | 1.88 | 12.53 | 5 |
| 4 | 6.09 | | 2.17 | 33.57 | 0.87 | 13.40 | 4 |
| 3 | 14.47 | | 5.17 | 38.74 | 2.06 | 15.46 | 3 |
| 2 | 11.16 | | 3.99 | 42.73 | 1.59 | 17.05 | 2 |
| 1 | 17.15 | | 6.13 | 48.86 | 2.44 | 19.49 | 1 |

MOMENTOS PORTICOS B y F METODO DIFERENCIAS FINITAS
(P R I M E R C A S O)



ANÁLISIS SISMICO : DIRECCION N-S

METODOS DE DIFERENCIAS FINITAS

SEGUNDO CASO :

Exceso = a = PP-PM

$$PP = 4(4.21 \times \frac{1}{4} \times 2.9) \times 2.4 = 28.2 \text{ TON.}$$

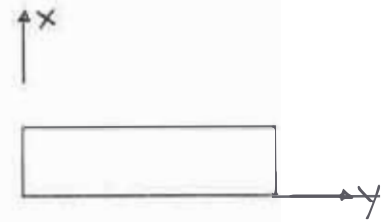
$$PM = 4 \times 4.2 \text{ m} \times 0.5 \frac{\text{TON}}{\text{m}} = 8.4 \text{ TON.}$$

$$a = 28.2 \text{ TON} - 8.4 \text{ TON} = 19.8 \text{ TON}$$

$$P = 9.5a = 9.5 \times 19.8 = 188 \text{ TON}$$

$$H_x = 0.048 P = 9 \text{ ----- } 0.95H_x = 8.55; 0.05H_x = 0.45$$

$$H_y = 0.054 P = 10 \text{ ----- } 0.95H_y = 9.50; 0.05H_y = 0.50$$



| N | $W_i h$ | $\frac{W_i h}{\sum W_i h}$ | F_x^i | F_y^i | FUERZAS | | CORTES | | N |
|----|---------|----------------------------|---------|---------|---------|-------|--------|-------|----|
| | | | | | F_x | F_y | V_x | V_y | |
| 10 | 10h=5ha | 0.10 | 0.860 | 0.95 | 1.31 | 1.45 | 1.31 | 1.45 | 10 |
| 9 | 9ah | 0.18 | 1.540 | 1.71 | 1.54 | 1.71 | 2.85 | 3.16 | 9 |
| 8 | 8ah | 0.16 | 1.36 | 1.52 | 1.36 | 1.52 | 4.21 | 4.68 | 8 |
| 7 | 7ah | 0.14 | 1.20 | 1.33 | 1.20 | 1.33 | 5.41 | 6.01 | 7 |
| 6 | 6ah | 0.12 | 1.02 | 1.14 | 1.02 | 1.14 | 6.43 | 7.15 | 6 |
| 5 | 5ah | 0.10 | 0.860 | 0.95 | 0.86 | 0.95 | 7.29 | 8.10 | 5 |
| 4 | 4ah | 0.08 | 0.68 | 0.76 | 0.68 | 0.76 | 7.97 | 8.86 | 4 |
| 3 | 3ah | 0.06 | 0.51 | 0.57 | 0.51 | 0.57 | 8.48 | 9.43 | 3 |
| 2 | 2ah | 0.04 | 0.34 | 0.38 | 0.34 | 0.38 | 8.82 | 9.81 | 2 |
| 1 | ah | 0.02 | 0.17 | 0.19 | 0.17 | 0.19 | 8.99 | 10.00 | 1 |

$$V_x = V_i + V_c$$

$$F_x = F_i + F_c$$

$$V_{10} = 46.24 + 1.35 = 47.55$$

$$F_{10} = 46.24 + 1.31 = 47.55$$

$$V_9 = 65.75 + 2.85 = 68.60$$

$$F_9 = 19.51 + 1.54 = 21.05$$

$$V_8 = 83.22 + 4.21 = 87.43$$

$$F_8 = 17.47 + 1.36 = 18.83$$

$$V_7 = 98.76 + 5.41 = 104.17$$

$$F_7 = 15.54 + 1.20 = 16.74$$

$$V_6 = 112.28 + 6.43 = 118.71$$

$$F_6 = 13.52 + 1.02 = 14.54$$

$$V_5 = 123.65 + 7.29 = 130.94$$

$$F_5 = 11.37 + 0.86 = 12.23$$

$$V_4 = 132.74 + 7.97 = 140.71$$

$$F_4 = 3.09 + 0.68 = 3.77$$

$$V_3 = 139.68 + 8.48 = 148.16$$

$$F_3 = 6.94 + 0.51 = 7.45$$

$$V_2 = 144.32 + 8.82 = 153.14$$

$$F_2 = 4.64 + 0.34 = 4.98$$

$$V_1 = 146.83 + 8.99 = 155.82$$

$$F_1 = 2.51 + 0.17 = 2.68$$

M E T O D O D E D I F E R E N C I A S F I N I T A S

$$\left. \begin{array}{l} I_{AS} = 1.2317 \text{ m}^4 \\ I_{LbT} = 41.6745 \text{ m}^4 \end{array} \right\} I = 1.2317 + 83.3490 = 84.5807 \text{ m}^4$$

$$E = 2.32 \times 10^6 \text{ TON/m}^2$$

$$h_i = 2.9 \text{ m.} \quad S = \frac{EI}{h^3}, \quad R_i = \frac{R_i}{4h^2S}, \quad K_i = \frac{K_i}{S}$$

$$h_i = 3.3 \text{ m.}$$

$$S_i = \frac{2.32 \times 10^6 \times 84.5807}{24.389} = 8.0457 \times 10^6 \frac{\text{TON}}{\text{m}}; \quad \frac{1}{4h^2S} = \frac{1}{270.6573}$$

$$S_1 = \frac{2.32 \times 10^6 \times 84.5807}{35.937} = 5.4603 \times 10^6 \frac{\text{TON}}{\text{m}}; \quad \frac{1}{4h^2S} = \frac{1}{237.8506}$$

| n | K_T' (TON) | K_T (TON/m) | R_T (TON-m) $\times 10^3$ | n |
|----|--------------|---------------|-----------------------------|----|
| 10 | 27.339 | 9424 | 40.6840 | 10 |
| 9 | 23.660 | 8158 | 45.6834 | 9 |
| 8 | 23.582 | 8132 | 45.6834 | 8 |
| 7 | 31.408 | 10380 | 45.5252 | 7 |
| 6 | 31.298 | 10792 | 47.3684 | 6 |
| 5 | 31.234 | 10770 | 47.3684 | 5 |
| 4 | 36.578 | 12613 | 52.1850 | 4 |
| 3 | 36.098 | 12447 | 53.7222 | 3 |
| 2 | 38.228 | 13182 | 53.7222 | 2 |
| 1 | 44.140 | 15281 | 53.1022 | 1 |

M E T O D O D I F E R E N C I A S F I N I T A S S E G U N D O C A S O

E C U A C I O N E S D E D E S P L A Z A M I E N T O S

| N | Y ₁₀ | Y ₉ | Y ₈ | Y ₇ | Y ₆ | Y ₅ | Y ₄ | Y ₃ | Y ₂ | Y ₁ | x10 ⁻⁶ $\frac{P}{S}$ | N |
|----|------------------------|------------------------|------------------------|------------------------|------------------------|------------------------|------------------------|------------------------|------------------------|------------------------|---------------------------------|----|
| 10 | 1.0019 | 2. ⁽⁻⁾ 0017 | .9998 | | | | | | | | 5.9095 | 10 |
| 9 | 2. ⁽⁻⁾ 0017 | 5.0029 | 4. ⁽⁻⁾ 0010 | .9998 | | | | | | | 2.6160 | 9 |
| 8 | .9998 | 4. ⁽⁻⁾ 0010 | 6.0023 | 4. ⁽⁻⁾ 0010 | .9998 | | | | | | 2.3401 | 8 |
| 7 | | .9998 | 4. ⁽⁻⁾ 0010 | 6.0026 | 4. ⁽⁻⁾ 0013 | .9998 | | | | | 2.0804 | 7 |
| 6 | | | .9998 | 4. ⁽⁻⁾ 0013 | 6.0030 | 4. ⁽⁻⁾ 0013 | .9998 | | | | 1.8070 | 6 |
| 5 | | | | .9998 | 4. ⁽⁻⁾ 0013 | 6.0030 | 4. ⁽⁻⁾ 0013 | .9998 | | | 1.5199 | 5 |
| 4 | | | | | .9998 | 4. ⁽⁻⁾ 0013 | 6.0032 | 4. ⁽⁻⁾ 0015 | .9998 | | 1.2142 | 4 |
| 3 | | | | | | .9998 | 4. ⁽⁻⁾ 0015 | 6.0034 | 4. ⁽⁻⁾ 0015 | .9998 | 0.9258 | 3 |
| 2 | | | | | | | .9998 | 4. ⁽⁻⁾ 0015 | 6.0035 | 4. ⁽⁻⁾ 0016 | 0.6077 | 2 |
| 1 | | | | | | | | .9998 | 4. ⁽⁻⁾ 0016 | 7.0039 | 0.4908 | 1 |

(259)

M E T O D O D E D I F E R E N C I A S F I N I T A S

Mediante el Programa Fortran encontramos

$$Y_{10} = 39.28 \times 10^{-4}$$

$$Y_9 = 33.80 \times 10^{-4}$$

$$Y_8 = 28.37 \times 10^{-4}$$

$$Y_7 = 23.06 \times 10^{-4}$$

$$Y_6 = 17.97 \times 10^{-4}$$

$$Y_5 = 13.23 \times 10^{-4}$$

$$Y_4 = 8.97 \times 10^{-4}$$

$$Y_3 = 5.35 \times 10^{-4}$$

$$Y_2 = 2.52 \times 10^{-4}$$

$$Y_1 = 0.63 \times 10^{-4}$$

Aplicando las expresiones para las fuerzas que toman los pórticos y acumulándolas obtenemos los cortes en los pórticos

$$V_{10} = 5.16$$

$$V_9 = 4.60$$

$$V_8 = 4.54$$

$$V_7 = 5.44$$

$$V_6 = 5.19$$

$$V_5 = 4.73$$

$$V_4 = 4.74$$

$$V_3 = 3.69$$

$$V_2 = 2.63$$

$$V_1 = 1.23$$

II C A S O ; D I F E R E N C I A S F I N I T A S C O M P R O B A C I O N M U R O E Q U I V .

| N | V_{PoET} | V_{muro} | V_h | M_y | $R_v \times 10^5$ | $\phi \times 10^{-5}$ | M_v | $\sum M_v$ Mm | $\frac{M_m}{EI} \times \frac{1}{10^5}$ | 10^{-5} θ | N |
|----|------------|------------|-------|-------|-------------------|-----------------------|-------|--------------------------------------|--|-----------------------|----|
| 10 | 5.16 | 42.39 | 123 | 0 | .4068 | 19.9 | 8.10 | 8.10 | -0.004 | 19.76 | 10 |
| 9 | 4.41 | 64.19 | 186 | 123 | .4568 | 18.8 | 8.60 | 16.70 106.3 | 0.054 | 19.68 | 9 |
| 8 | 4.30 | 83.18 | 241 | 309 | .4568 | 18.5 | 8.46 | 25.16 283.84 | 0.099 0.145 | 19.39 | 8 |
| 7 | 5.26 | 98.91 | 286 | 550 | .4652 | 17.9 | 8.34 | 515.5 | 0.204 0.263 | 18.80 | 7 |
| 6 | 5.09 | 113.61 | 330 | 836 | .4736 | 17.0 | 8.04 | 41.54 793.46 | 0.334 0.405 | 17.84 | 6 |
| 5 | 4.57 | 126.37 | 366 | 1166 | .4736 | 15.5 | 7.34 | 48.88 1115.12 | 0.487 0.569 | 16.43 | 5 |
| 4 | 4.55 | 136.16 | 395 | 1532 | .5218 | 13.6 | 7.10 | 55.98 1474.02 | 0.660 0.751 | 14.52 | 4 |
| 3 | 3.49 | 144.66 | 420 | 1927 | .5372 | 10.15 | 5.47 | 61.45 1863.55 | 0.850 0.950 | 12.07 | 3 |
| 2 | 2.41 | 150.73 | 437 | 2347 | .5372 | 8.9 | 4.76 | 66.21 2278.79 | 1.057 1.165 | 9.01 | 2 |
| 1 | 1.01 | 154.80 | 512 | 2784 | .5310 | 2.06 | 1.10 | 67.31 2713.69 67.31 3223.69 | 1.273 1.382 1.511 1.640 | 5.3 | 1 |

M E T O D O D E D I F E R E N C I A S F I N I T A S

COMPROBACION DE GIROS PARA EL ASCENSOR

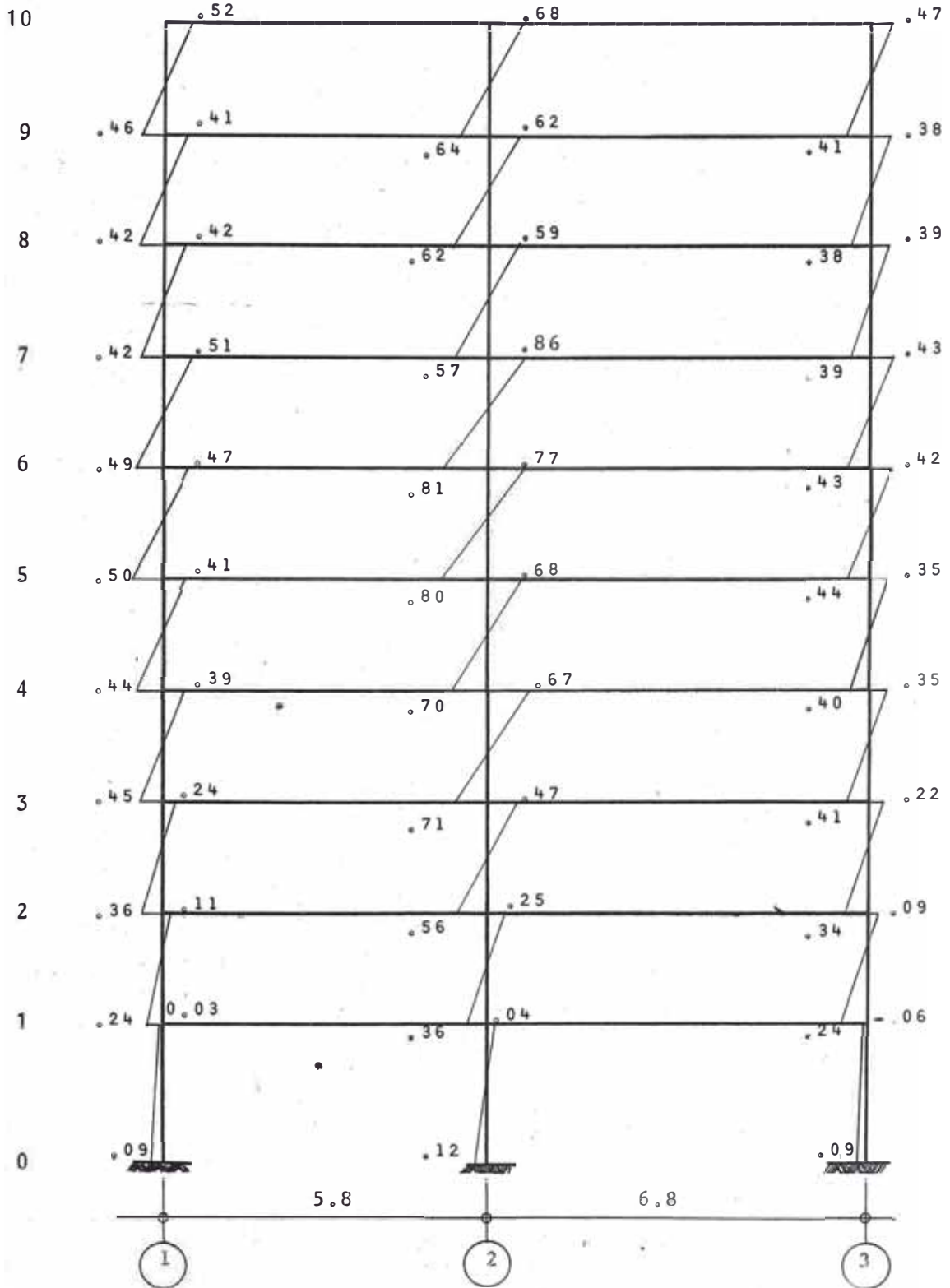
El corte lo hallamos proporcional a las inercias

$$\alpha_{AS} = \frac{1.2317}{2 \times 8458}$$

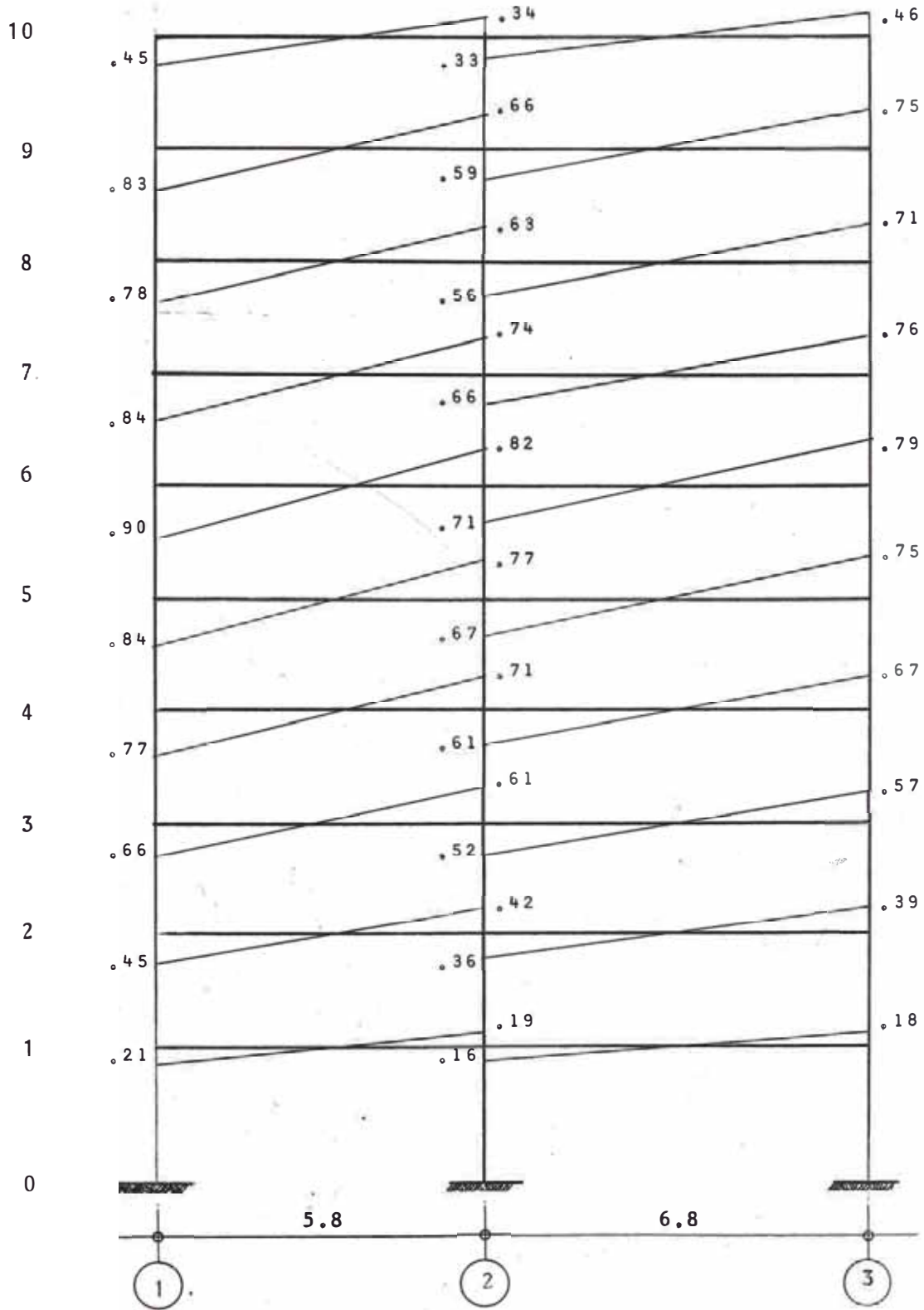
| N | V MURO EQUIV. | V ASCENSOR | (V h) | M COMO VOLADO | M DE CORRECCION | N |
|----|---------------|------------|-------|---------------|-----------------|----|
| 10 | 42.39 | 0.309 | 0.90 | 0 | 4.05 | 10 |
| 9 | 64.19 | 0.468 | 1.36 | 0.90 | 8.35 | 9 |
| 8 | 83.18 | 0.608 | 1.76 | 2.26 | 12.58 | 8 |
| 7 | 98.91 | 0.720 | 2.08 | 4.02 | 16.75 | 7 |
| 6 | 113.61 | 0.831 | 2.41 | 6.10 | 20.77 | 6 |
| 5 | 126.37 | 0.923 | 2.67 | 5.51 | 24.44 | 5 |
| 4 | 136.16 | 0.995 | 2.90 | 11.18 | 27.99 | 4 |
| 3 | 144.66 | 1.060 | 3.07 | 14.08 | 30.73 | 3 |
| 2 | 150.73 | 1.100 | 3.20 | 17.15 | 33.11 | 2 |
| 1 | 154.80 | 1.132 | 3.28 | 20.35 | 33.66 | 1 |
| 0 | ----- | ----- | ----- | 23.63 | 33.66 | 0 |

Como puede apreciarse en las dos últimas columnas, resulta una cosa absurda El método de corrección es mayor al del Muro como Volado.

MOMENTOS COLUMNAS PORTICO B DIFERENCIAS FINITAS 2DO CASO



MOMENTOS VIGAS PORTICO B DIFERENCIAS FINITAS 2DO. CASO



CONCLUSIONES METODO DIFERENCIAS FINITASPRIMER CASO :

Resumiendo la comprobación de giros se tiene

| N | Ø INICIAL | Ø MURO EQUIVALENTE | Ø PLACA LATERAL | Ø PLACA ASCENSOR | N |
|----|-----------|--------------------|-----------------|------------------|----|
| 10 | 715 | 676 | 734 | 729 | 10 |
| 9 | 728 | 710 | 764 | 741 | 9 |
| 8 | 753 | 754 | 799 | 765 | 8 |
| 7 | 772 | 793 | 825 | 784 | 7 |
| 6 | 777 | 818 | 838 | 790 | 6 |
| 5 | 764 | 824 | 832 | 777 | 5 |
| 4 | 721 | 799 | 795 | 734 | 4 |
| 3 | 640 | 727 | 716 | 653 | 3 |
| 2 | 510 | 601 | 581 | 521 | 2 |
| 1 | 161 | 370 | 368 | 179 | 1 |

Puede apreciarse que los giros en las placas no concuerdan con el giro inicial, ni para el sistema equivalente, ni para las placas independientemente una de otra.

Se nota además , que las discrepancias de los giros no excede de diez por ciento del valor inicial, salvo en el primer nivel.

Se nota por otro lado que los giros para la placa del ascensor son menores que los de la placa lateral, y los valores de la placa del ascensor se parecen a los del giro inicial a excepción del nivel primero.

M E T O D O D E D I F E R E N C I A S F I N I T A S

Para la comprobación de las deflexiones se tiene el siguiente cuadro resumen :

| | Δ | Δ | Δ | Δ | |
|----|----------|----------|----------|----------|----|
| 10 | 18618 | 25394 | 21325 | 30036 | 10 |
| 9 | 16546 | 22814 | 18765 | 28290 | 9 |
| 8 | 14398 | 20087 | 16230 | 14277 | 8 |
| 7 | 12175 | 17277 | 13855 | 12424 | 7 |
| 6 | 9920 | 16084 | 11190 | 10410 | 6 |
| 5 | 7668 | 13123 | 8566 | 7781 | 5 |
| 4 | 5490 | 10212 | 6060 | 5531 | 4 |
| 3 | 3488 | 7362 | 3780 | 4203 | 3 |
| 2 | 1780 | 4260 | 1861 | 3216 | 2 |
| 1 | 533 | 1905 | 608 | 1257 | 1 |

Por simple inspección, no hay concordancia con el desplazamiento inicial.

El muro equivalente difiere una gran cantidad, las placas lateral y ascensor respecto a la deformada inicial discrepan en el rango del 10% en los pisos bajos, y los valores de la placa lateral se acercan más a los de la inicial.

SEGUNDO CASO .- La placa más rígida absorbe casi todo el corte. No se pueden hacer las verificaciones para el ascensor.

Para placas flexibles con INTERACCION, no se tiene una respuesta en este método, las discrepancias no se notan mayormente en los pisos altos.

Estos resultados más llevan a la conclusión de que habría que buscar expresiones para las rigideces de rotación y traslación más exactas.

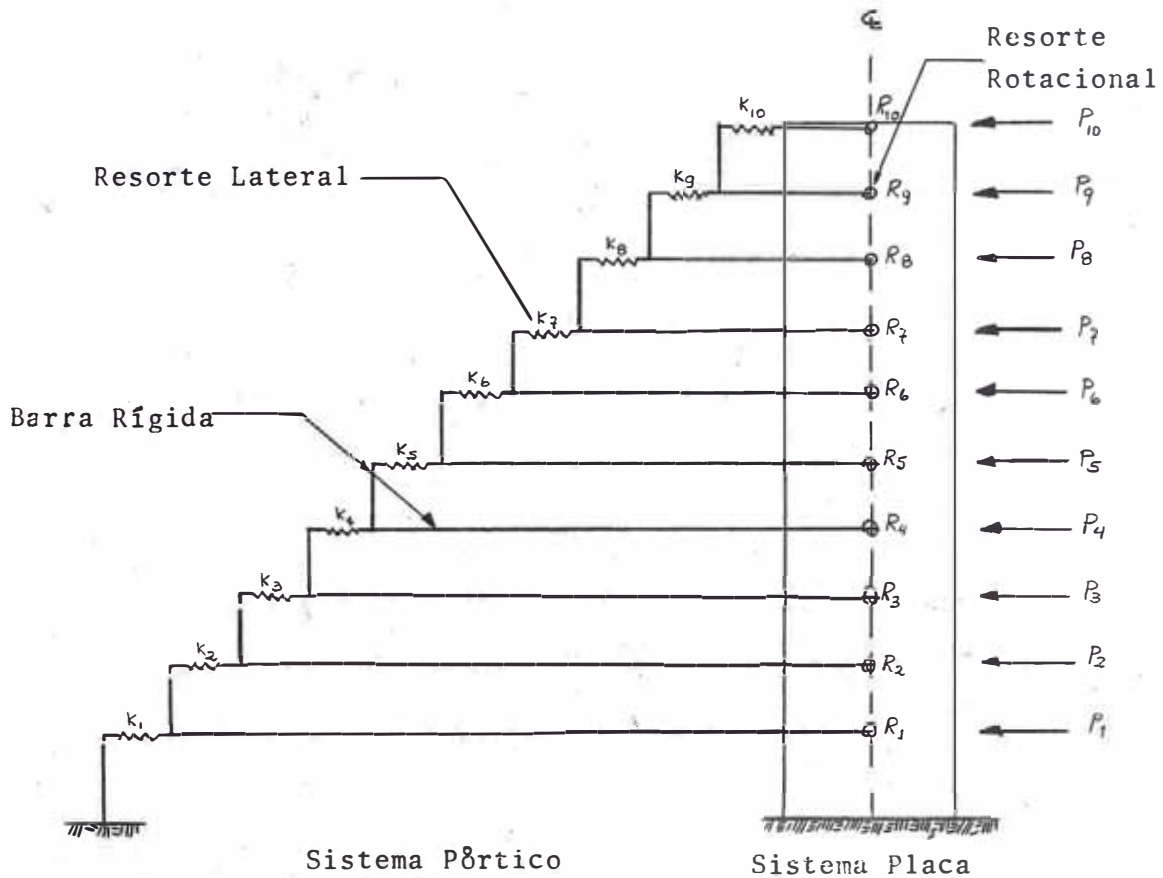
M E T O D O M A T R I C I A L

EXPOSICION GENERAL

El modelo de análisis se indica en la figura N°1, o sea el mismo que se utilizó, para el método de Diferencias Finitas. El método matricial que se verá a continuación, es muy útil tanto como para el análisis sísmico; como para cargas verticales y en general para cualquier tipo de cargas.

Mediante este método se obtendrá básicamente 2 cosas :

- 1).- Las deformaciones y esfuerzos generados en la placa por acción de las fuerzas sísmicas.
- 2).- La distribución de la fuerza estática horizontal en cada piso en los diferentes elementos estructurales : Pórticos y Placas.



M E T O D O M A T R I C I A L

Las características del modelo, han sido descritas en el método de "Diferencias Finitas".

Siendo : $P_i \implies$ La fuerza sísmica estática en el piso " i "

$i = 1, 10$

$K_i \implies$ La fuerza que ofrecen los pórticos cuando el $i = 1, 10$ desplazamiento relativo del piso " i " es 1 cm.

$R_i \implies$ El momento que ofrece la viga de interacción $i = 1, 10$ Cuando el giro en el piso " i " es 1 radián.

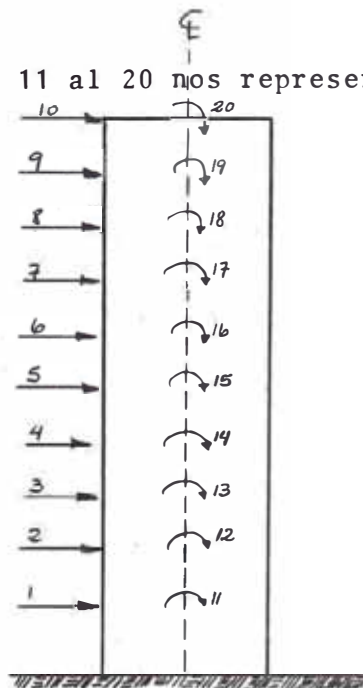
La manera de obtener estos valores, han sido explicados en el método de "Diferencias Finitas".

El modelo se considerará resuelto si se llega a conocer la configuración final de la placa bajo los efectos de la acción sísmica; luego en cada nivel se tiene que considerar 2 deformaciones : 1 desplazamiento y 1 giro; como son 10 niveles entonces podemos considerar que la placa posee en general 20 grados de libertad.

.. Vamos a definir por cada nivel 2 coordenadas que nos puede representar cargas ó deformaciones.

- Las coordenadas del 1 al 10 nos representará fuerzas ó desplazamientos.

- Las coordenadas del 11 al 20 nos representará momentos ó giros.



M E T O D O M A T R I C I A L

CONSIDERACIONES :

A).- Consideramos que esas coordenadas nos representan cargas.

De ser así esas cargas serían las cargas externas debido al sismo que accionan sobre el edificio. Desde que las únicas cargas que se originan por sismo son las fuerzas horizontales; no existiendo momentos, tendremos la siguiente relación de FUERZAS ACTUANTES :

$$F_i = P_i$$

$$i=1,10 \quad i=1,10$$

$$\begin{array}{c} F_1 \\ F_2 \\ F_3 \\ F_4 \\ \vdots \\ F_{10} \\ 0 \\ 0 \\ 0 \\ 0 \end{array}$$

A esta disposición así mostrada se le denomina vector de fuerza F

$$\therefore \{F\} = \begin{Bmatrix} F_1 \\ F_2 \\ F_3 \\ \vdots \\ F_{10} \\ 0 \\ 0 \\ 0 \end{Bmatrix}$$

B).- Ahora consideremos que esas coordenadas nos representan deformaciones, conociendo que la configuración final de la placa nos arroja 10 desplazamientos y 10 giros, tendremos 20 deformaciones, los que se pueden colocar de la siguiente forma :

$$\begin{array}{c} x_1 \\ x_2 \\ x_3 \\ \vdots \\ x_{10} \\ x_{11} \\ x_{12} \\ x_{13} \\ \vdots \\ x_{20} \end{array}$$

A esta disposición se le denomina vector desplazamiento $\{x\}$

$$\therefore \{x\} = \begin{Bmatrix} x_1 \\ x_2 \\ \vdots \\ x_{10} \\ x_{11} \\ x_{12} \\ \vdots \\ x_{20} \end{Bmatrix}$$

"Sabiendo que K_{ij} es la fuerza que es necesaria aplicar en la coordenada i para producir una deformación unitaria en j ; se podrá plantear el siguiente sistema de 20 ecuaciones con 20 incógnitas : $\{x\}$ "

M E T O D O M A T R I C I A L

$$\begin{aligned}
F_1 &= K_{1,1} X_1 + K_{1,2} X_2 + \dots + K_{1,10} X_{10} + \dots + K_{1,15} X_{15} + \dots + K_{1,20} X_{20} \\
F_2 &= K_{2,1} X_1 + K_{2,2} X_2 + \dots + K_{2,10} X_{10} + \dots + K_{2,15} X_{15} + \dots + K_{2,20} X_{20} \\
F_3 &= K_{3,1} X_1 + K_{3,2} X_2 + \dots + K_{3,10} X_{10} + \dots + K_{3,15} X_{15} + \dots + K_{3,20} X_{20} \\
\vdots & \\
F_{10} &= K_{10,1} X_1 + K_{10,2} X_2 + \dots + K_{10,10} X_{10} + \dots + K_{10,15} X_{15} + \dots + K_{10,20} X_{20} \\
\vdots & \\
F_{15} &= K_{15,1} X_1 + K_{15,2} X_2 + \dots + K_{15,10} X_{10} + \dots + K_{15,15} X_{15} + \dots + K_{15,20} X_{20} \\
\vdots & \\
F_{20} &= K_{20,1} X_1 + K_{20,2} X_2 + \dots + K_{20,10} X_{10} + \dots + K_{20,15} X_{15} + \dots + K_{20,20} X_{20}
\end{aligned}$$

Expresiones que se pueden escribir según la siguiente ecuación matricial :

$$\begin{Bmatrix} F_1 \\ \vdots \\ F_5 \\ \vdots \\ F_{10} \\ \vdots \\ F_{15} \\ \vdots \\ F_{20} \end{Bmatrix} = \begin{bmatrix} K_{1,1} & \dots & K_{1,5} & \dots & K_{1,10} & \dots & K_{1,15} & \dots & K_{1,20} \\ \vdots & & \vdots & & \vdots & & \vdots & & \vdots \\ K_{5,1} & \dots & K_{5,5} & \dots & K_{5,10} & \dots & K_{5,15} & \dots & K_{5,20} \\ \vdots & & \vdots & & \vdots & & \vdots & & \vdots \\ K_{10,1} & \dots & K_{10,5} & \dots & K_{10,10} & \dots & K_{10,15} & \dots & K_{10,20} \\ \vdots & & \vdots & & \vdots & & \vdots & & \vdots \\ K_{15,1} & \dots & K_{15,5} & \dots & K_{15,10} & \dots & K_{15,15} & \dots & K_{15,20} \\ \vdots & & \vdots & & \vdots & & \vdots & & \vdots \\ K_{20,1} & \dots & K_{20,5} & \dots & K_{20,10} & \dots & K_{20,15} & \dots & K_{20,20} \end{bmatrix} \begin{Bmatrix} X_1 \\ \vdots \\ X_5 \\ \vdots \\ X_{10} \\ \vdots \\ X_{15} \\ \vdots \\ X_{20} \end{Bmatrix}$$

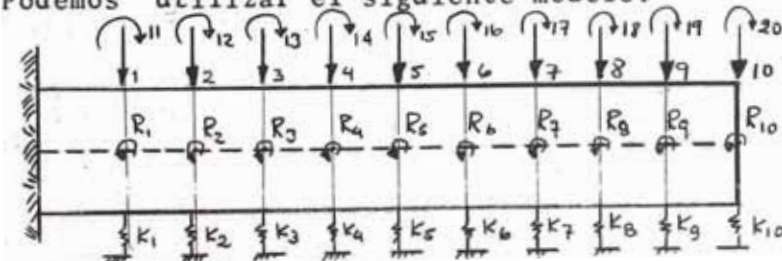
o bien:

$$\{F\} = [K] \{X\} \dots \dots \dots (II)$$

Siendo K ; la matriz de rigidez del modelo en estudio.

METODO GENERAL PARA HALLAR LA MATRIZ DE RIGIDEZ [K]

Podemos utilizar el siguiente modelo:

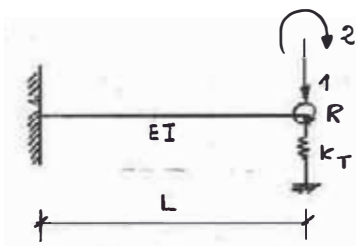


Modelo de Analisis.

M E T O D O M A T R I C I A L

De la definición de K_i , R_i y K_{ij} nos damos cuenta que estos elementos (K_i , R_i) intervendrán en algunos elementos de la matriz $[K]$. Como ejemplo ilustrativo veremos los siguientes casos idealizados:

I) Hallar la matriz de rigidez : 2 coordenadas



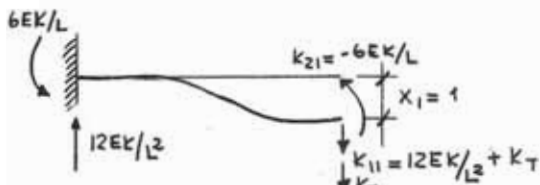
$$\begin{Bmatrix} F_1 \\ F_2 \end{Bmatrix} = \begin{bmatrix} K_{11} & K_{12} \\ K_{21} & K_{22} \end{bmatrix} \begin{Bmatrix} X_1 \\ X_2 \end{Bmatrix}$$

CONVENSIÓN : Signos : $\curvearrowright + ; \downarrow +$

a) .- $X_1 = 1$; $X_2 = 0$

Luego : $K_{11} = 12EK/L^2 + K_T$

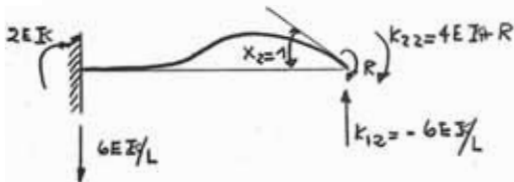
$$K_{21} = -6EK/L$$



b) .- $X_1 = 0$; $X_2 = 1$

Luego : $K_{22} = 4EK + R$

$$K_{12} = -6EK/L$$



Luego tenemos la matriz de rigidez; en la cual se conocen todos sus elementos.

$$[K] = \begin{bmatrix} 12EK/L^2 + K_T & -6EK/L \\ -6EK/L & 4EK + R \end{bmatrix}$$

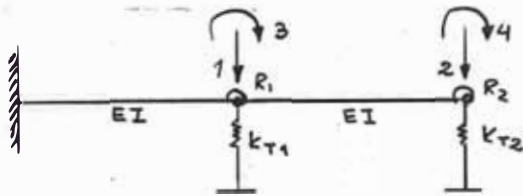
También es conocido la matriz fuerza $\{F\}$; y calculada la matriz de rigidez; se determina los elementos de la matriz de deformaciones $[X]$

M E T O D O M A T R I C I A L

El valor $K_{11}=12EK/L^2+K_T$; significa que para poder bajar $X_1=1$; necesita una fuerza hacia abajo de $12EK/L^2+K_T$; siendo K_T la oposición que presenta el pórtico a que la placa se deflecte $X_1=1$.

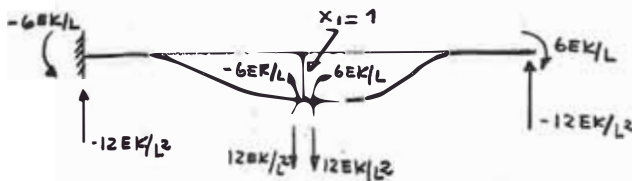
El valor $K_{22}=4EK+R$; significa que para producir un giro; $X_2=1$ se necesita aplicar un momento de $4EK+R$, siendo R ; la oposición que ofrece la viga para que la placa gire $X_2=1$.

II.-)-Hallar la matriz de rigidez : 4 coordenadas.



$$\begin{pmatrix} F_1 \\ F_2 \\ F_3 \\ F_4 \end{pmatrix} = \begin{bmatrix} K_{11} & K_{12} & K_{13} & K_{14} \\ K_{21} & K_{22} & K_{23} & K_{24} \\ K_{31} & K_{32} & K_{33} & K_{34} \\ K_{41} & K_{42} & K_{43} & K_{44} \end{bmatrix} \begin{pmatrix} X_1 \\ X_2 \\ X_3 \\ X_4 \end{pmatrix}$$

a.) $X_1=1 ; X_2=X_3=X_4=0$



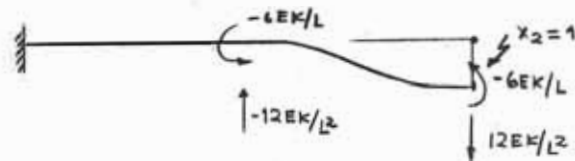
$$K_{11} = \frac{24EK}{L^2} + K_{T1}$$

$$K_{21} = -12EK/L^2$$

$$K_{31} = 0$$

$$K_{41} = 6EK/L$$

b.) $X_2=1 ; X_1=X_3=X_4=0$



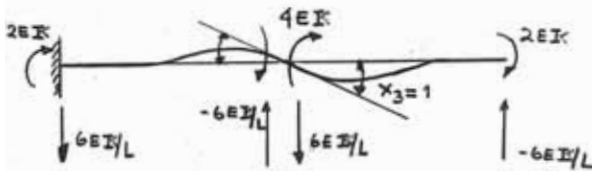
$$K_{12} = -12EK/L^2$$

$$K_{22} = 12EK/L^2 + K_{T2}$$

$$K_{32} = -6EK/L$$

$$K_{42} = -6EK/L$$

c.) $X_3=1 ; X_1=X_2=X_4=0$



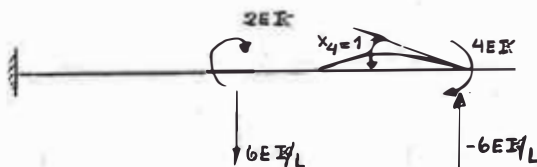
$$K_{13} = 0$$

$$K_{23} = -6EK/L$$

$$K_{33} = 8EK + R_1$$

$$K_{43} = 2EK$$

d.) $X_4=1 ; X_1=X_2=X_3=0$



$$K_{14} = 6EK/L$$

$$K_{24} = -6EK/L$$

$$K_{34} = 2EK$$

$$K_{44} = 4EK + R_2$$

La matriz de rigidez será:

$$[K] = \begin{bmatrix} 24EK/L^2 + K_{T1} & -12EK/L^2 & 0 & 6EK/L \\ -12EK/L^2 & 12EK/L^2 + K_{T2} & -6EK/L & -6EK/L \\ 0 & -6EK/L & 8EK + R_1 & 2EK \\ 6EK/L & -6EK/L & 2EK & 4EK + R_2 \end{bmatrix}$$

Como vemos intervienen los términos K_{Ti} ; R_i

En forma similar se puede obtener la matriz de rigidez para el modelo de estudio . En nuestro caso:

Para obtener la matriz de rigidez del modelo se empleo el programa del Ing. Yack Lopez ; la cual trabaja con matrices de 10×10 ; como se indica a continuación:

Planteamos la ecuación (I) de nuevo:

$$\begin{Bmatrix} F \\ F \\ \cdot \\ \cdot \\ \cdot \\ F \\ 0 \\ 0 \\ \dots \\ \cdot \\ \cdot \\ 0 \end{Bmatrix} = \begin{bmatrix} K_{11} & K_{12} & \dots & K_{1,10} & K_{1,11} & K_{1,12} & \dots & K_{1,20} \\ K_{21} & K_{22} & \dots & K_{2,10} & K_{2,11} & K_{2,12} & \dots & K_{2,20} \\ \dots & \dots & \dots & \dots & \dots & \dots & \dots & \dots \\ \dots & \dots & \dots & \dots & \dots & \dots & \dots & \dots \\ K_{10,1} & K_{10,2} & \dots & K_{10,10} & K_{10,11} & K_{10,12} & \dots & K_{10,20} \\ K_{11,1} & K_{11,2} & \dots & K_{11,10} & K_{11,11} & K_{11,12} & \dots & K_{11,20} \\ K_{12,1} & K_{12,2} & \dots & K_{12,10} & K_{12,11} & K_{12,12} & \dots & K_{12,20} \\ \dots & \dots & \dots & \dots & \dots & \dots & \dots & \dots \\ \dots & \dots & \dots & \dots & \dots & \dots & \dots & \dots \\ K_{20,1} & K_{20,2} & \dots & K_{20,10} & K_{20,11} & K_{20,12} & \dots & K_{20,20} \end{bmatrix} \begin{Bmatrix} X_1 \\ X_2 \\ \cdot \\ \cdot \\ \cdot \\ X_{10} \\ X_{11} \\ X_{12} \\ \cdot \\ \cdot \\ X_{20} \end{Bmatrix} \quad (III)$$

Se efectuará el producto matricial mediante matrices.

Haciendo:

$$\begin{Bmatrix} F_1 \\ F_2 \\ \cdot \\ \cdot \\ F_{10j} \end{Bmatrix} = \{F\}_I ; \begin{Bmatrix} 0 \\ 0 \\ \cdot \\ \cdot \\ 0 \end{Bmatrix} = \{F\}_{II} ; \begin{Bmatrix} X_1 \\ X_2 \\ \cdot \\ \cdot \\ X_{10} \end{Bmatrix} = \{X\}_I ; \begin{Bmatrix} X_{11} \\ X_{12} \\ \cdot \\ \cdot \\ X_{20} \end{Bmatrix} = \{X\}_{II}$$

Tambien:

$$\begin{bmatrix} K_{11} & K_{12} & \dots & K_{1n} \\ K_{21} & K_{22} & \dots & K_{2n} \\ \cdot & \cdot & \dots & \cdot \\ \cdot & \cdot & \dots & \cdot \\ K_{10-1} & K_{10-2} & \dots & K_{10-n} \end{bmatrix} = [K]_{11} ; \begin{bmatrix} K_{1-11} & K_{1-12} & \dots & K_{1-2n} \\ K_{2-11} & K_{2-12} & \dots & K_{2-2n} \\ \cdot & \cdot & \dots & \cdot \\ \cdot & \cdot & \dots & \cdot \\ K_{10-11} & K_{10-12} & \dots & K_{10-2n} \end{bmatrix} = [K]_{12}$$

$$\begin{bmatrix} K_{11-1} & K_{11-2} & \dots & K_{11-n} \\ K_{12-1} & K_{12-2} & \dots & K_{12-n} \\ \cdot & \cdot & \dots & K \\ \cdot & \cdot & \dots & K \\ K_{20-1} & K_{20-2} & \dots & K_{20-n} \end{bmatrix} = [K]_{21} ; \begin{bmatrix} K_{11-11} & K_{11-12} & \dots & K_{11-2n} \\ K_{12-11} & K_{12-12} & \dots & K_{12-2n} \\ \cdot & \cdot & \dots & K \\ \cdot & \cdot & \dots & K \\ K_{20-11} & K_{20-12} & \dots & K_{20-2n} \end{bmatrix} = [K]_{22}$$

Reemplazando en (III) :

$$\begin{Bmatrix} \{F\}_I \\ \{F\}_{II} \end{Bmatrix} = \begin{bmatrix} [K]_{11} & [K]_{12} \\ [K]_{21} & [K]_{22} \end{bmatrix} \begin{Bmatrix} \{X\}_I \\ \{X\}_{II} \end{Bmatrix}$$

Efectuando el producto matricial:

$$\{F\} = [K]_{11} \{X\}_I + [K]_{12} \{X\}_{II} \dots \dots \dots (a)$$

$$\{F\}_{II} = [K]_{21} \{X\}_I + [K]_{22} \{X\}_{II} = 0 \dots \dots \dots (b)$$

Efectuando de (b):

$$\{X\}_{II} = - [K]_{22}^{-1} [K]_{21} \{X\}_I \dots\dots\dots (c)$$

Reemplazando (c) en (a):

$$\{F\}_I = [K]_{11} \{X\}_I + [K]_{12} \left(- [K]_{22}^{-1} [K]_{21} \{X\}_I \right)$$

$$\{F\}_I = [K]_{11} \{X\}_I - [K]_{12} [K]_{22}^{-1} [K]_{21} \{X\}_I$$

$$\{F\}_I = \left([K]_{11} - [K]_{12} [K]_{22}^{-1} [K]_{21} \right) \{X\}_I \dots\dots\dots (d)$$

asemejando la expresión (d) a la expresión general :

$$\{F\}_I = [K]_I \{X\}_I \dots\dots\dots (e)$$

Encontramos que la matriz rigidez $[K]_I$; es una matriz de 10x10

$$[K]_I = [K]_{11} - [K]_{12} [K]_{22}^{-1} [K]_{21} \dots\dots\dots (\alpha)$$

El valor de $[K]_I$; se puede calcular mediante la ecuación (α) ya que todos sus elementos han sido calculados.

SOLUCION DEL PROGRAMA

1.-) Mediante la ecuación (e) encontramos , los desplazamientos en cada nivel:

$$\{X\}_I = [K]_I^{-1} \{F\}_I \dots\dots\dots (A)$$

2.-) Reemplazando (A) en (c):

$$\{ X \}_{II} = - [K]_{22}^{-1} [K]_{21} [K]_{I}^{-1} \{ F \}_{I} \dots\dots (B)$$

Mediante (B) ; se halla los giros en cada nivel.

3.-) Momentos de Interacción - $\{ X \}_{II} \{ R_i \} \dots\dots\dots (C)$

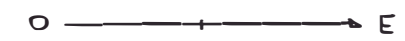
4.-) Fuerza que se opone al desplazamiento del muro ; por acción de los pórticos y marcos = $\{ X \}_{I} \{ K_{Ti} \} \dots\dots\dots (D)$

A continuación se presenta la matriz de rigidez $[K]_{I}$ de 10x10 que es la única incógnita para resolver el modelo de análisis.

Se verá mas adelante que las soluciones de las ecuaciones (A, B, C , y D) ; son respuestas del programa.

N

ANALISIS SISMICO : DIRECCION 0 - E



M E T O D O M A T R I C I A L

C A S O : I

M A T R I Z D E R I G I D E Z : $[K]_r$

| | | | | | | | | | |
|----------------------|----------------------|----------------------|----------------------|----------------------|----------------------|----------------------|----------------------|----------------------|----------------------|
| -2.932×10^6 | -2.068×10^6 | 8.408×10^5 | -2.240×10^5 | 5.973×10^4 | -1.593×10^4 | 4.247×10^3 | -1.128×10^3 | 2.812×10^2 | -4.683×10^1 |
| -2.068×10^6 | 2.757×10^6 | -2.033×10^6 | 8.319×10^5 | -2.217×10^5 | 5.914×10^4 | -1.576×10^4 | 4.189×10^3 | 1.044×10^3 | 1.738×10^2 |
| -8.408×10^5 | -2.033×10^6 | 2.752×10^6 | -2.032×10^6 | 8.317×10^5 | -2.218×10^5 | 5.914×10^4 | -1.571×10^4 | 3.916×10^3 | -6.521×10^2 |
| -2.240×10^5 | -8.319×10^6 | 2.032×10^6 | -2.744×10^6 | 2.025×10^5 | -8.321×10^5 | 2.218×10^5 | -5.893×10^4 | 1.469×10^4 | 2.446×10^3 |
| 5.973×10^4 | -2.217×10^5 | 8.317×10^5 | -2.025×10^6 | 2.738×10^6 | -2.825×10^6 | 8.318×10^5 | -2.209×10^5 | 5.507×10^4 | -9.172×10^3 |
| -1.593×10^4 | 5.914×10^4 | -2.218×10^5 | 8.321×10^5 | -2.025×10^6 | 2.737×10^6 | -2.025×10^6 | 8.285×10^5 | -2.065×10^5 | 3.439×10^4 |
| 4.247×10^3 | -1.576×10^4 | 5.914×10^5 | 2.218×10^5 | 8.318×10^5 | -2.025×10^6 | 2.724×10^6 | 2.000×10^6 | 7.736×10^5 | -1.288×10^5 |
| -1.128×10^3 | 4.189×10^3 | -1.571×10^4 | 5.893×10^4 | -2.209×10^5 | 8.285×10^5 | -2.000×10^6 | 2.659×10^6 | -1.795×10^6 | 4.827×10^5 |
| 2.812×10^2 | -1.044×10^3 | 3.916×10^3 | -1.469×10^4 | 5.507×10^4 | -2.065×10^5 | 7.736×10^5 | -1.795×10^6 | 1.892×10^6 | -7.074×10^5 |
| -4.683×10^1 | 1.738×10^2 | -6.521×10^2 | 2.446×10^3 | -9.172×10^3 | 3.439×10^4 | -1.288×10^5 | 4.827×10^5 | -7.074×10^5 | 3.264×10^5 |

(278)

M E T O D O M A T R I C I A L

SOLUCION DEL PROGRAMA : (Ing° : Yack López)

GIRO : I Establecido la Matriz de Rigidez, el programa tiene por resultados los siguientes valores

| | GIRO | DESPLAZAM | MOMENTO: TRABE | FUERZA: PORTICOS | FUERZA: MURO | CORTE: MURO | MOMENTO: MURO | MOMENTO: MURO | |
|----|--|-----------------------------|--------------------------|---------------------|-----------------|----------------|------------------|------------------|----|
| N | $[X]_I = \theta_o$ $\times 10^{-5}$ | $[X]_I = \Delta_o$ (cms) | $R_t \theta_o$ (Tn-m) | F_{TP} (tn) | F_m (Tn) | V_m (Tn) | M_s (Tn-m) | M_I (Tn-m) | N |
| 10 | 106.4640 | 2.8665 | 37.6882 | 57.2414 | -7.8114 | -7.8114 | 0.0000 | -37.6882 | 10 |
| 9 | 108.70000 | 2.5576 | 46.0891 | -3.9968 | 25.9768 | 18.1654 | -60.3414 | -106.4300 | 9 |
| 8 | 113.1030 | 2.2361 | 47.9559 | 1.0094 | 18.6806 | 36.8460 | -53.7509 | -101.7060 | 8 |
| 7 | 116.1250 | 1.9018 | 49.2372 | 34.1197 | -16.7197 | 20.1263 | 5.1465 | -44.0906 | 7 |
| 6 | 117.1920 | 1.5625 | 59.2996 | -1.3828 | 16.6228 | 36.7491 | 14.2755 | -45.0240 | 6 |
| 5 | 116.1190 | 1.2221 | 58.7564 | -2.7699 | 15.5799 | 52.3291 | 61.5485 | 2.7920 | 5 |
| 4 | 110.9810 | 0.8890 | 62.5935 | 15.8468 | -5.5968 | 46.7322 | 154.5460 | 91.9529 | 4 |
| 3 | 100.4750 | 0.5784 | 58.2755 | -13.8445 | 21.6645 | 68.3967 | 227.4760 | 169.2000 | 3 |
| 2 | 82.5326 | 0.3063 | 77.8689 | -18.3322 | 23.5922 | 91.9890 | 367.5510 | 319.6820 | 2 |
| 1 | 30.2199 | 0.0997 | 15.3517 | -30.8128 | 33.6428 | 125.6310 | 586.4500 | 571.0980 | 1 |

CORTE EN LA BASE $V_m = 125.6310 Tn$ Momento en la base $M = 985.6800 Tn-m.$

M E T O D O M A T R I C I A L

C A S O I CALCULO DE F_i (pórticos), conociendo K_i (rigidez de traslación).

$$F_i = \frac{K_i}{\sum K_i} \cdot F_{TP}$$

| N° | F_{TP} Tn. | $\sum K_i$ Tn/m. | K_1 | F_1 | K_2 | F_2 | K_3 | F_3 | K'_2 | F'_2 | F_{TP} | N° |
|----|-----------------|---------------------|--------|---------|-------|--------|--------|---------|--------|--------|----------|----|
| 10 | 57.241 | 18,540 | 6,000 | 18.523 | 5,720 | 17.658 | 6,000 | 18.523 | 820 | 2.530 | 57.235 | 10 |
| 9 | -3.996 | 16,550 | 5,500 | -1.243 | 4,880 | -1.178 | 5,500 | -1.243 | 670 | -0.161 | -3.927 | 9 |
| 8 | 1.009 | 16,230 | 5,500 | 0.341 | 4,560 | 0.283 | 5,550 | 0.341 | 670 | 0.041 | 1.008 | 8 |
| 7 | 34.119 | 26,050 | 9,100 | 11.918 | 7,180 | 9.403 | 9,100 | 11.918 | 670 | 0.876 | 34.116 | 7 |
| 6 | -1.382 | 26,550 | 9,100 | -0.492 | 6,680 | -0.361 | 9,100 | -0.492 | 670 | -0.036 | -1.382 | 6 |
| 5 | -2.769 | 25,290 | 9,100 | -0.996 | 6,420 | -0.703 | 9,100 | -0.996 | 670 | -0.073 | -2.769 | 5 |
| 4 | 15.846 | 32,210 | 11,400 | 5.608 | 8,700 | 4.280 | 11,400 | 5.608 | 710 | 0.348 | 15.845 | 4 |
| 3 | -13.844 | 31,690 | 11,400 | -4.979 | 8,180 | -3.573 | 11,400 | -4.979 | 710 | -0.310 | -13.842 | 3 |
| 2 | -18.332 | 32,860 | 11,900 | -6.638 | 8,320 | -4.639 | 11,900 | -6.638 | 740 | -0.410 | -18.328 | 2 |
| 1 | -30.812 | 37,180 | 14,300 | -11.850 | 7,640 | -6.328 | 14,300 | -11.850 | 940 | -0.776 | -30.806 | 1 |

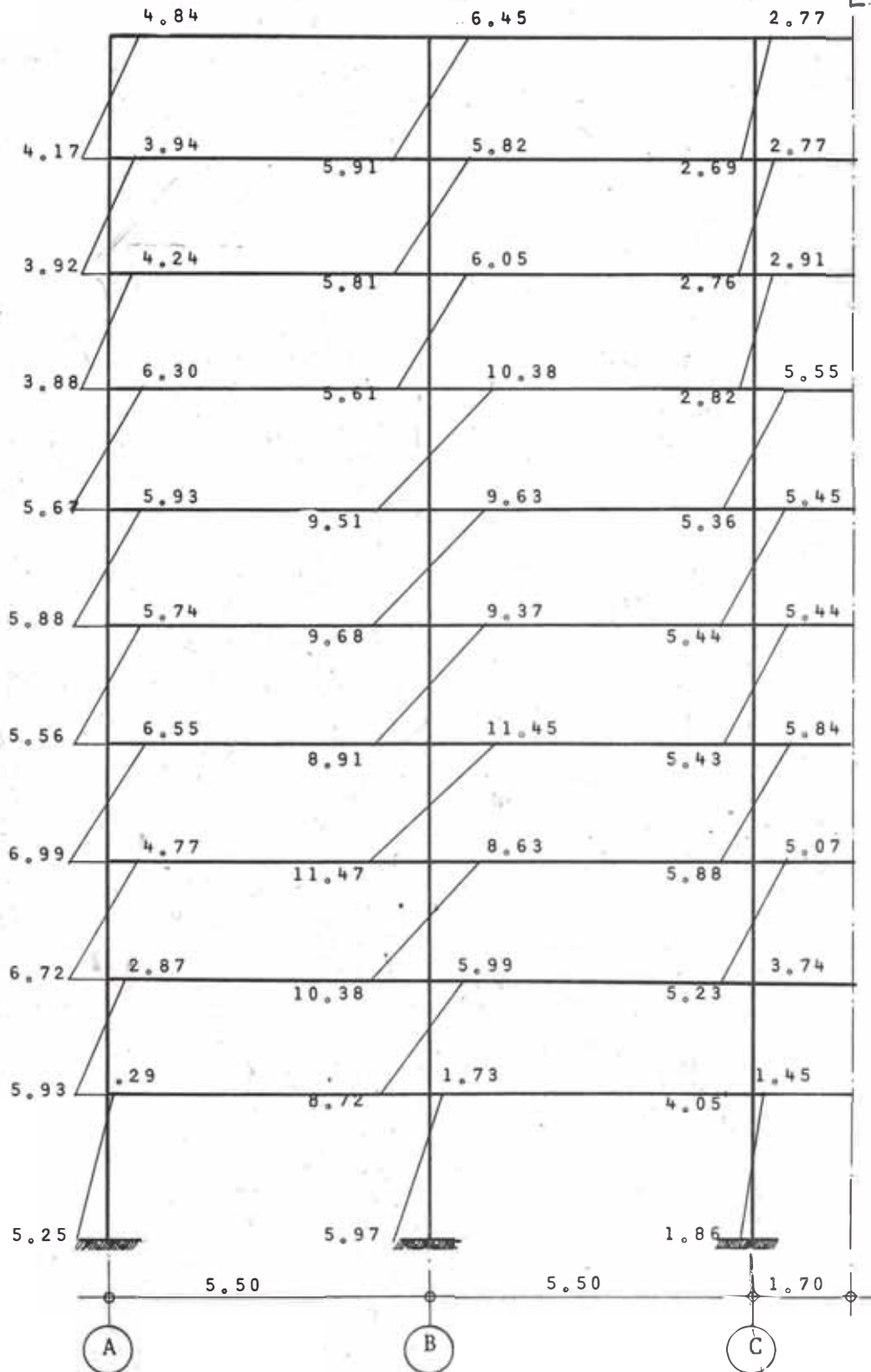
NOTA Las fuerzas " F_i " están en Tns.

M E T O D O M A T R I C I A L

C A S O I

DIAGRAMA DE MOMENTOS EN LAS COLUMNAS

PORTICO : 1 = PORTICO : 3

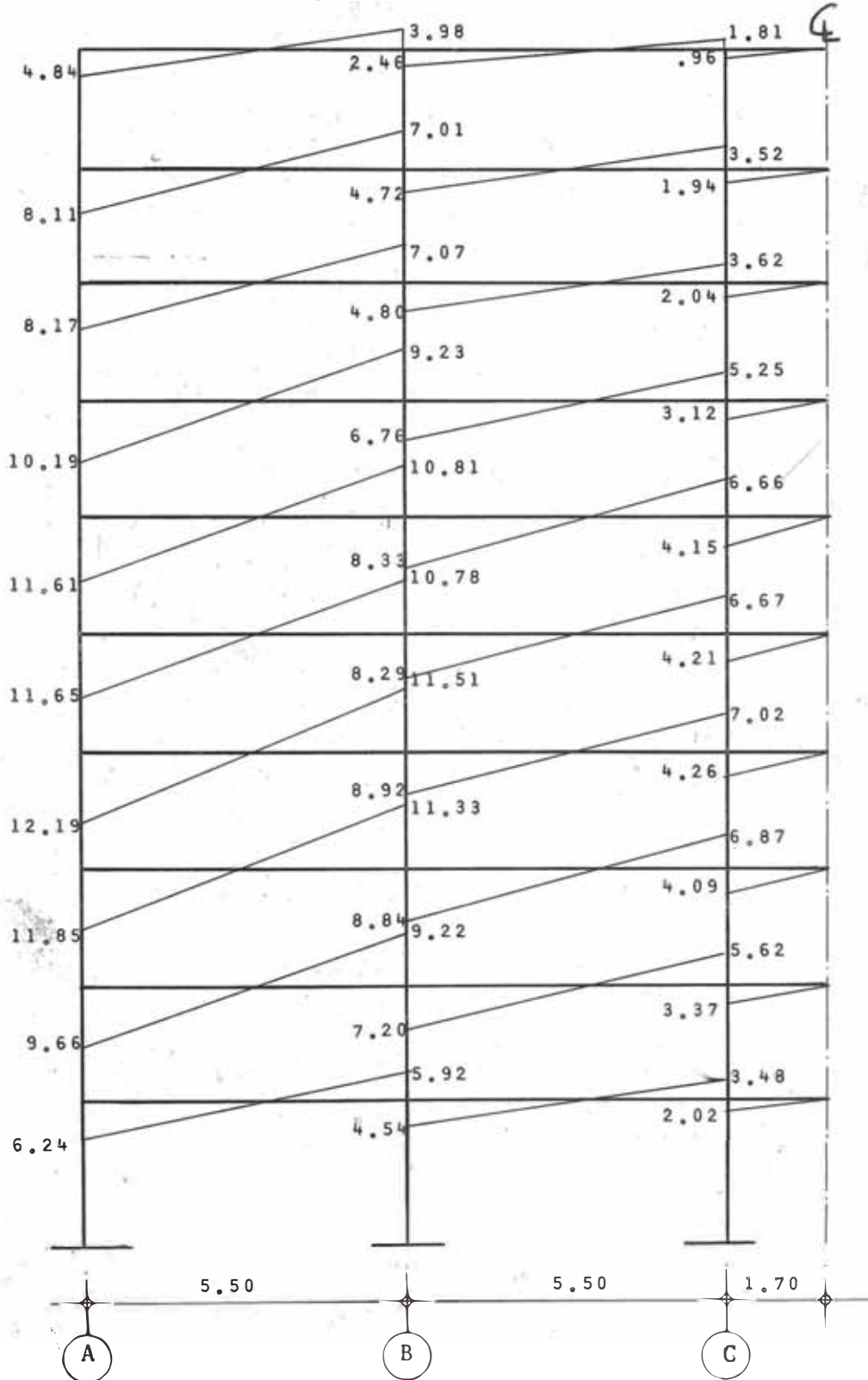


METODO MATRICIAL

C A S O I

DIAGRAMA DE MOMENTOS EN LAS VIGAS

P O R T I C O : 1 = P O R T I C O : 3

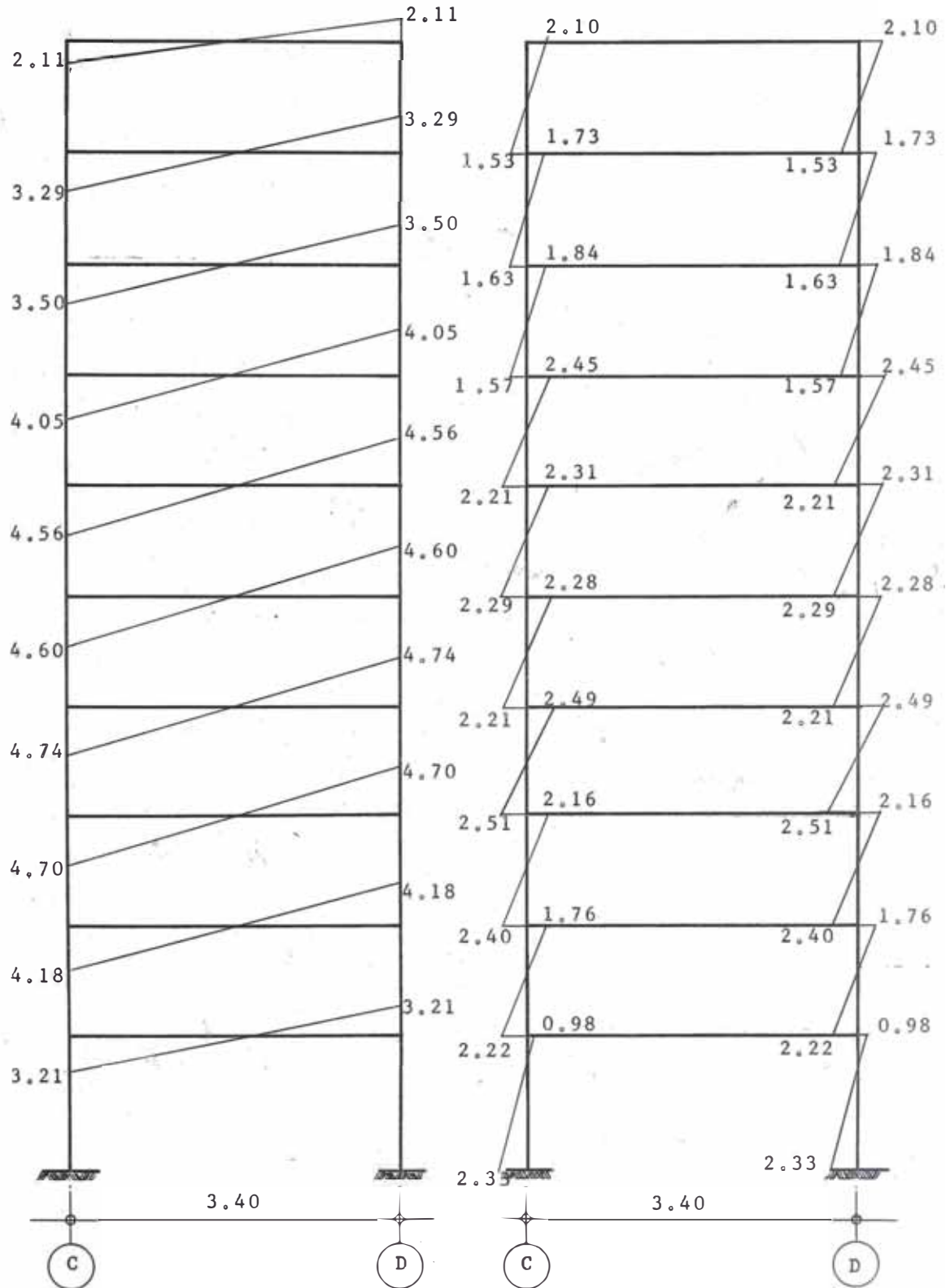


M E T O D O M A T R I C I A L

DIAGRAMA DE MOMENTOS EN VIGAS Y COLUMNAS

P O R T I C O : 2'

C A S O : I

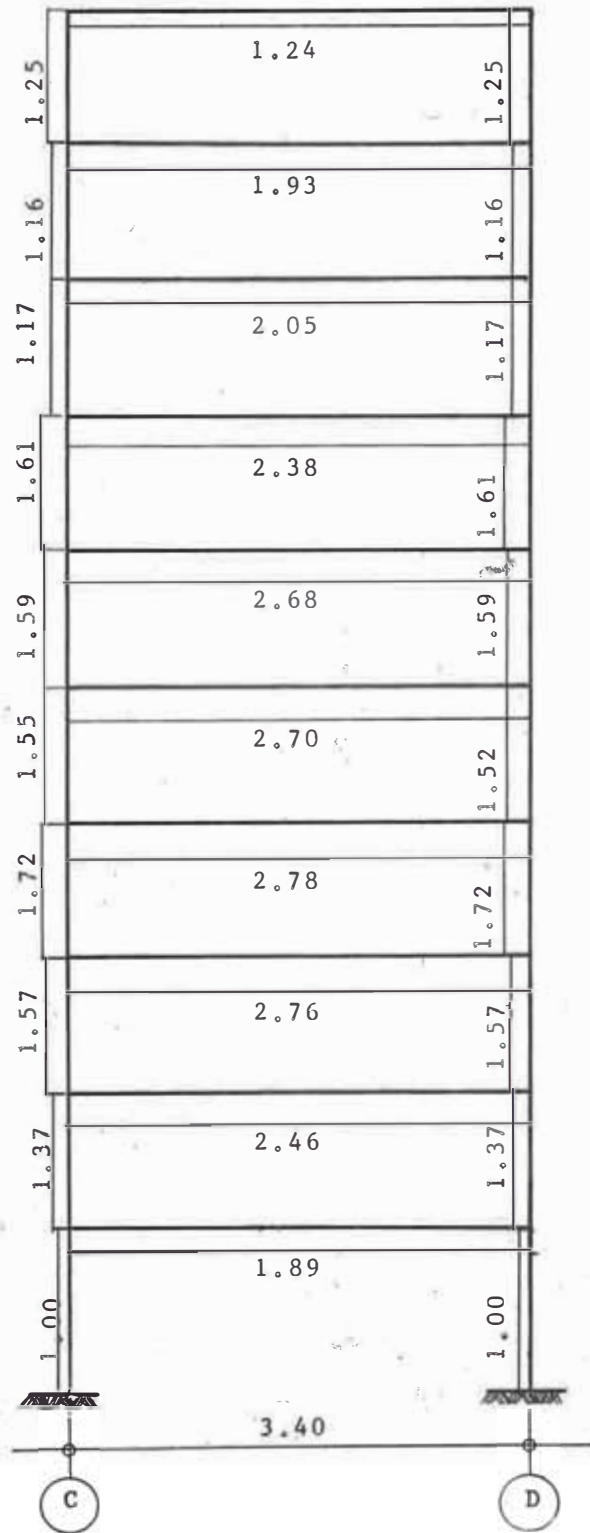


M E T O D O M A T R I C I A L

ESFUERZOS CORTANTES DE VIGAS Y COLUMNAS

P O R T I C O : 2'

C A S O : I



M E T O D O M A T R I C I A L

DETERMINACION DE LOS DESPLAZAMIENTOS

COLUMNA : C_{A_1}

C A S O I

$$\psi_i = \frac{1}{6EK_{vi}}(2M_{ij} - M_{ji}) + \frac{1}{6EK_{ci}}(2M_{ik} - M_{ki})$$

CUADRO " a "

PORTICO : 1 = PORTICO : 3

| N | $6EK_{vi}$ | $K_C \times 10^{-6}$ | $6EK_{ci}$ | M_{ij} | $2M_{ij}$ | M_{ji} | 5-6 | M_{ik} | $2M_{ik}$ | M_{ki} | N |
|----|-------------------|----------------------|--------------------|----------|-----------|----------|-------|----------|-----------|----------|----|
| 10 | 134×10^2 | 550 | 76.5×10^2 | 4.84 | 9.68 | 3.98 | 5.70 | 4.84 | 9.68 | 4.17 | 10 |
| 9 | 134×10^2 | 550 | 76.5×10^2 | 8.11 | 16.22 | 7.01 | 9.21 | 3.94 | 7.88 | 3.92 | 9 |
| 8 | 134×10^2 | 550 | 76.5×10^2 | 8.17 | 16.34 | 7.07 | 9.27 | 4.24 | 8.48 | 3.88 | 8 |
| 7 | 134×10^2 | 1,440 | 200×10^2 | 10.19 | 20.38 | 9.23 | 11.15 | 6.30 | 12.60 | 5.67 | 7 |
| 6 | 134×10^2 | 1,440 | 200×10^2 | 11.61 | 23.22 | 10.81 | 12.41 | 5.93 | 11.86 | 5.88 | 6 |
| 5 | 134×10^2 | 1,440 | 200×10^2 | 11.65 | 23.30 | 10.78 | 12.52 | 5.74 | 11.48 | 5.56 | 5 |
| 4 | 142×10^2 | 2,480 | 365×10^2 | 12.19 | 24.38 | 11.51 | 12.87 | 6.55 | 13.10 | 6.99 | 4 |
| 3 | 142×10^2 | 2,480 | 365×10^2 | 11.85 | 23.70 | 11.33 | 12.37 | 4.77 | 9.54 | 6.72 | 3 |
| 2 | 142×10^2 | 2,480 | 365×10^2 | 9.66 | 19.32 | 9.22 | 10.10 | 2.87 | 5.74 | 5.93 | 2 |
| 1 | 142×10^2 | 2,180 | 322×10^2 | 6.24 | 12.48 | 5.92 | 6.56 | 0.29 | 0.58 | 5.25 | 1 |
| | 1 | 2 | 3 | 4 | 5 | 6 | 7 | 8 | 9 | 10 | |

M E T O D O M A T R I C I A L

DETERMINACION DE LOS DESPLAZAMIENTOS:

COLUMNA : C_{A1}

C A S O I

CUADRO : b

P O R T I C O 1 = P O R T I C O 3

| N | 9-10 | $\frac{7}{1}$ | $\frac{11}{3}$ | ψ_i | δ_i | Δ_1 | Δ_0 | $\Delta_0 - \Delta_1$ | $\epsilon:$ | $\phi_0 \times 10^{-5}$ | $\phi_1 \times 10^{-5}$ | $\epsilon:$ | N |
|----|-------|------------------|------------------|------------------|------------|------------|------------|-----------------------|-------------|-------------------------|-------------------------|-------------|----|
| | | $\times 10^{-3}$ | $\times 10^{-3}$ | $\times 10^{-3}$ | | | | | | | | | |
| 10 | 5.51 | 0.425 | 0.721 | 1.146 | 0.333 | 3.004 | 2.866 | 0.138 | 0.048 | 106.46 | 114.75 | 0.077 | 10 |
| 9 | 3.96 | 0.689 | 0.519 | 1.208 | 0.351 | 2.671 | 2.557 | 0.114 | 0.045 | 108.70 | 120.87 | 0.116 | 9 |
| 8 | 4.60 | 0.691 | 0.601 | 1.292 | 0.375 | 2.320 | 2.236 | 0.084 | 0.037 | 113.70 | 129.35 | 0.144 | 8 |
| 7 | 6.93 | 0.831 | 0.347 | 1.178 | 0.341 | 1.945 | 1.901 | 0.044 | 0.023 | 116.12 | 116.65 | 0.004 | 7 |
| 6 | 5.98 | 0.927 | 0.298 | 1.225 | 0.355 | 1.604 | 1.562 | 0.042 | 0.027 | 117.19 | 122.35 | 0.044 | 6 |
| 5 | 5.92 | 0.931 | 0.296 | 1.227 | 0.356 | 1.249 | 1.222 | 0.027 | 0.024 | 116.11 | 122.43 | 0.054 | 5 |
| 4 | 6.11 | 0.909 | 0.168 | 1.047 | 0.311 | 0.893 | 0.889 | 0.004 | 0.004 | 110.98 | 107.25 | 0.033 | 4 |
| 3 | 2.82 | 0.869 | 0.077 | 0.946 | 0.274 | 0.582 | 0.578 | 0.004 | 0.007 | 100.47 | 94.45 | 0.059 | 3 |
| 2 | -0.19 | 0.710 | -0.005 | 0.705 | 0.204 | 0.308 | 0.306 | 0.002 | 0.006 | 82.53 | 70.35 | 0.147 | 2 |
| 1 | -4.67 | 0.461 | -0.145 | 0.316 | 0.104 | 0.104 | 0.099 | 0.005 | 0.050 | 30.20 | 31.50 | 0.044 | 1 |
| | 11 | 12 | 13 | 14 | 15 | 16 | 17 | 18 | 19 | 20 | 21 | 22 | |

(287)

NOTA : Los desplazamientos " " están en cms.

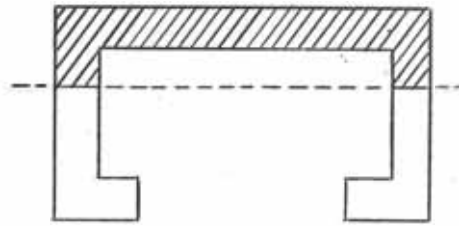
M E T O D O M A T R I C I A L

CALCULO DE LOS GIROS DEL MURO : θ_m C A S O : I

$$I = 1.9617 \text{ m}^4$$

$$E = 2.32 \times 10^{-6} \text{ Tn/m}^2$$

$$EI = 45.5114 \times 10^{-5} \text{ Tn-m}^2$$



| N | θ_o | M_m (Tn-m) | $\frac{M_m}{EI}$ | MEDIANA TRAPECIO | AREA | θ_m | ϵ :error | N |
|----|------------|-----------------|------------------|---------------------|--------|------------|-------------------|----|
| 10 | 106.464 | -37.688 | -0.229 | -1.585 | -4.596 | 91.512 | 0.140 | 10 |
| 9 | 108.700 | -106.430 | -2.341 | -2.285 | -6.636 | 96.108 | 0.116 | 9 |
| 8 | 113.700 | -101.706 | -2.230 | -1.598 | -4.634 | 102.744 | 0.091 | 8 |
| 7 | 116.125 | -44.090 | -0.967 | -0.978 | -2.816 | 107.378 | 0.076 | 7 |
| 6 | 117.192 | -45.024 | -0.989 | -0.500 | -1.450 | 110.194 | 0.061 | 6 |
| 5 | 116.119 | 2.792 | 0.061 | 1.038 | 3.010 | 111.644 | 0.038 | 5 |
| 4 | 110.981 | 91.952 | 2.015 | 2.860 | 8.294 | 108.634 | 0.021 | 4 |
| 3 | 100.475 | 169.200 | 3.706 | 5.358 | 15.538 | 100.330 | 0.001 | 3 |
| 2 | 82.532 | 319.682 | 7.010 | 9.780 | 28.362 | 84.792 | 0.027 | 2 |
| 1 | 30.219 | 571.098 | 12.550 | 17.100 | 56.430 | 56.430 | | 1 |
| 0 | 0.000 | 985.680 | 21.850 | — | 0.000 | 0.000 | 0.000 | 0 |

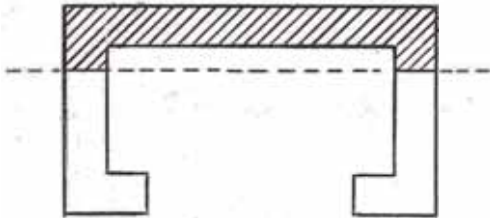
$$\epsilon = \text{ERROS RELATIVO} = \frac{\theta_o - \theta_m}{\theta_o} \leq \pm 0.10 \text{ (Permissible)}$$

NOTA: Todos los valores están afectados por (10^{-5}).

M E T O D O M A T R I C I A L

CUADRO GENERAL DE DESPLAZAMIENTOS Y GIROS

C A S O : I



LLAMANDO :

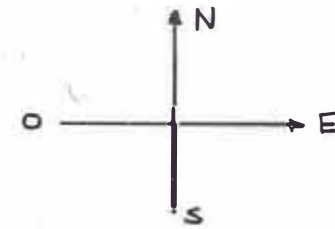
- $\Delta_o ; \emptyset_o \Rightarrow$ De la estructura
- $\Delta_1 ; \emptyset_o \Rightarrow$ Del pórtico " 1 " = " 3 "
- $\Delta_m ; \emptyset_m \Rightarrow$ Del muro

| N° | Δ_o | Δ_1 | ϵ_1 | \emptyset_o | \emptyset_1 | ϵ_1 | \emptyset_m | ϵ_m | $\bar{\epsilon}$ | N° |
|----|------------|------------|--------------|---------------|---------------|--------------|---------------|--------------|------------------|----|
| 10 | 2.866 | 3.004 | 0.048 | 106.464 | 114.750 | 0.077 | 91.512 | 0.140 | 0.105 | 10 |
| 9 | 2.557 | 2.671 | 0.045 | 108.700 | 120.870 | 0.116 | 96.108 | 0.116 | 0.116 | 9 |
| 8 | 2.236 | 2.320 | 0.037 | 113.103 | 129.350 | 0.144 | 102.744 | 0.091 | 0.115 | 8 |
| 7 | 1.901 | 1.945 | 0.023 | 116.125 | 116.650 | 0.004 | 107.578 | 0.076 | 0.040 | 7 |
| 6 | 1.562 | 1.604 | 0.027 | 117.192 | 122.350 | 0.044 | 110.194 | 0.061 | 0.052 | 6 |
| 5 | 1.222 | 1.249 | 0.024 | 116.119 | 122.420 | 0.054 | 111.644 | 0.038 | 0.046 | 5 |
| 4 | 0.889 | 0.893 | 0.004 | 110.981 | 107.250 | 0.033 | 108.634 | 0.021 | 0.027 | 4 |
| 3 | 0.578 | 0.582 | 0.007 | 100.475 | 94.450 | 0.059 | 100.330 | 0.001 | 0.030 | 3 |
| 2 | 0.306 | 0.308 | 0.006 | 82.532 | 70.350 | 0.147 | 84.792 | 0.027 | 0.087 | 2 |
| 1 | 0.099 | 0.104 | 0.050 | 30.219 | 31.500 | 0.044 | 56.430 | - | | 1 |

NOTA : Los desplazamientos " Δ " están en cms. y los giros " \emptyset " afectados por (10^{-5})

ANALISIS SISMICO

DIRECCION : 0 - E



M E T O D O M A T R I C I A L

C A S O : II

M A T R I Z D E R I G I D E Z : [K]_I

| | | | | | | | | | |
|----------------------|----------------------|----------------------|----------------------|----------------------|----------------------|----------------------|----------------------|----------------------|----------------------|
| 6.957×10^6 | -4.933×10^6 | 2.031×10^6 | -5.430×10^5 | 1.451×10^6 | -3.882×10^4 | 1.037×10^4 | -2.763×10^3 | 6.900×10^2 | -1.149×10^2 |
| -4.933×10^6 | 6.539×10^6 | -4.850×10^6 | 2.009×10^6 | -5.372×10^5 | 1.436×10^5 | -3.840×10^4 | 1.022×10^4 | -2.553×10^3 | 4.254×10^2 |
| 2.031×10^6 | -4.850×10^6 | 6.525×10^6 | -4.847×10^6 | 2.008×10^6 | -5.371×10^5 | 1.435×10^5 | -3.823×10^4 | 9.545×10^3 | -1.590×10^3 |
| -5.430×10^5 | 2.009×10^6 | -4.847×10^6 | 6.517×10^6 | -4.840×10^6 | 2.008×10^6 | -5.370×10^5 | 1.429×10^5 | -3.570×10^4 | 5.948×10^3 |
| 1.451×10^5 | -5.372×10^5 | 2.008×10^6 | -4.840×10^6 | 6.510×10^6 | -4.840×10^6 | 2.008×10^6 | -5.346×10^5 | 1.334×10^5 | -2.224×10^4 |
| -3.882×10^4 | 1.436×10^5 | -5.371×10^5 | 2.008×10^5 | -4.840×10^6 | 6.509×10^6 | -4.837×10^6 | 1.999×10^6 | -4.991×10^5 | 8.316×10^4 |
| 1.037×10^4 | -3.840×10^4 | 1.435×10^5 | -5.370×10^5 | 2.008×10^6 | -4.837×10^6 | 6.490×10^6 | -4.792×10^6 | 1.865×10^6 | -3.108×10^5 |
| -2.763×10^3 | 1.022×10^4 | -3.823×10^4 | 1.429×10^5 | -5.346×10^5 | 1.999×10^6 | -4.792×10^6 | 6.347×10^6 | -4.29×10^6 | 1.162×10^6 |
| 6.900×10^2 | -2.553×10^2 | 9.545×10^4 | -3.570×10^4 | 1.334×10^5 | -4.991×10^5 | 1.865×10^6 | -4.294×10^6 | 4.488×10^6 | -1.675×10^6 |
| -1.149×10^2 | 4.254×10^2 | -1.590×10^3 | 5.948×10^3 | -2.224×10^4 | 8.316×10^4 | -3.108×10^5 | 1.162×10^6 | -1.665×10^6 | 7.490×10^5 |

(290)

M E T O D O M A T R I C I A L

SOLUCION DEL PROGRAMA ("Ing°. Yack López")

CASO : II Establecido la MATRIZ DE RIGIDEZ; el programa; tiene por resultado los siguientes valores:

| | GIRO | DESPLAZAM. | MOMENTO: TRABE | FUERZA: PORTICOS | FUERZA: MURO | CORTE: MURO | MOMENTO: MURO | MOMENTO: MURO | |
|----|--|-----------------------------|--------------------------|---------------------|-----------------|----------------|------------------|------------------|----|
| N | $[X]_I = \theta_0$ $\times 10^{-5}$ | $[X]_I = \Delta_0$ (cms) | $R_t \theta_0$ (Tn-m) | F_{TP} (Tn) | F_m (Tn) | V_m (Tn) | M_S (Tn-m) | M_I (Tn-m) | N |
| 10 | 98.6086 | 2.3552 | 34.9074 | 53.0179 | - 3.5879 | 3.5879 | - 0.0000 | - 34.9074 | 10 |
| 9 | 99.3112 | 2.0692 | 42.1079 | -5.0163 | 26.9963 | 23.4083 | -45.3124 | - 87.4204 | 9 |
| 8 | 100.4220 | 1.7792 | 42.5789 | -9.5438 | 20.2338 | 43.6421 | -19.5360 | -62.1150 | 8 |
| 7 | 100.3250 | 1.4868 | 42.5382 | 27.9524 | -10.5524 | 33.0897 | +64.4473 | +21.9091 | 7 |
| 6 | 98.4743 | 1.1973 | 49.8280 | -3.4438 | 18.6838 | 51.7736 | 117.8690 | +68.0413 | 6 |
| 5 | 94.4510 | 0.9156 | 47.7922 | -4.6577 | 17.4677 | 69.2413 | 218.1840 | 170.3920 | 5 |
| 4 | 87.1985 | 0.6495 | 49.1799 | 99.8679 | 0.3820 | 69.6234 | 371.1920 | 322.0120 | 4 |
| 3 | 75.8630 | 0.4099 | 44.0005 | -13.6693 | 21.4893 | 91.1127 | 523.9200 | 479.9190 | 3 |
| 2 | 59.3776 | 0.2095 | 34.4390 | -16.1926 | 21.4526 | 112.5650 | 744.1460 | 709.7070 | 2 |
| 1 | 19.8531 | 0.0655 | 10.0854 | -22.9559 | 25.7859 | 138.3510 | 1,036.1400 | 1,026.0600 | 1 |

CORTE EN LA BASE = 138.35 Tn;

MOMENTO EN LA BASE = 1,482.6200 Tn-m.

M E T O D O M A T R I C I A L

C A S O II CALCULO de F_i (pórticos); conociendo K_i (rigidez de traslación)

$$F_i = \frac{K_i}{\sum K_i} F_{TP}$$

| N° | F_{TP} (Tn) | $\sum K_i$ Tn/m. | K_1 | F_1 | K_2 | F_2 | K_3 | F_3 | K'_2 | F'_2 | F_{TP} | N° |
|----|------------------|---------------------|--------|--------|-------|--------|--------|--------|--------|--------|----------|----|
| 10 | 53.017 | 18,540 | 6,000 | 17.161 | 5,720 | 16.356 | 6,000 | 17.161 | 820 | 2.343 | 53.022 | 10 |
| 9 | - 5.016 | 16,550 | 5,500 | -1.715 | 4,880 | -1.522 | 5,500 | -1.715 | 670 | -0.208 | - 5.162 | 9 |
| 8 | - 0.543 | 16,230 | 5,500 | -0.184 | 7,180 | -0.152 | 5,500 | -0.184 | 670 | -0.022 | - 0.543 | 8 |
| 7 | 27.952 | 26,050 | 9,100 | 9.763 | 6,680 | 7.703 | 9,100 | 9.763 | 670 | 0.718 | 27.949 | 7 |
| 6 | - 3.443 | 25,550 | 9,100 | -1.226 | 6,420 | -0.900 | 9,100 | -1.226 | 670 | -0.090 | - 3.443 | 6 |
| 5 | - 4.657 | 25,290 | 9,100 | -1.675 | 8,700 | -1.182 | 9,100 | -1.675 | 670 | -0.123 | - 4.657 | 5 |
| 4 | 9.867 | 32,210 | 11,400 | 3.492 | 8,180 | 2.665 | 11,400 | 3.492 | 710 | 0.217 | 9.866 | 4 |
| 3 | -13.669 | 31,690 | 11,400 | -4.916 | 8,180 | -3.528 | 11,400 | -4.916 | 710 | -0.306 | -13.667 | 3 |
| 2 | -16.192 | 32,860 | 11,900 | -5.863 | 8,320 | -4.098 | 11,900 | -5.863 | 740 | -0.364 | -16.189 | 2 |
| 1 | -22.955 | 37,180 | 14,300 | -8.828 | 7,640 | -4.715 | 14,300 | -8.828 | 940 | -0.578 | -22.951 | 1 |

(292)

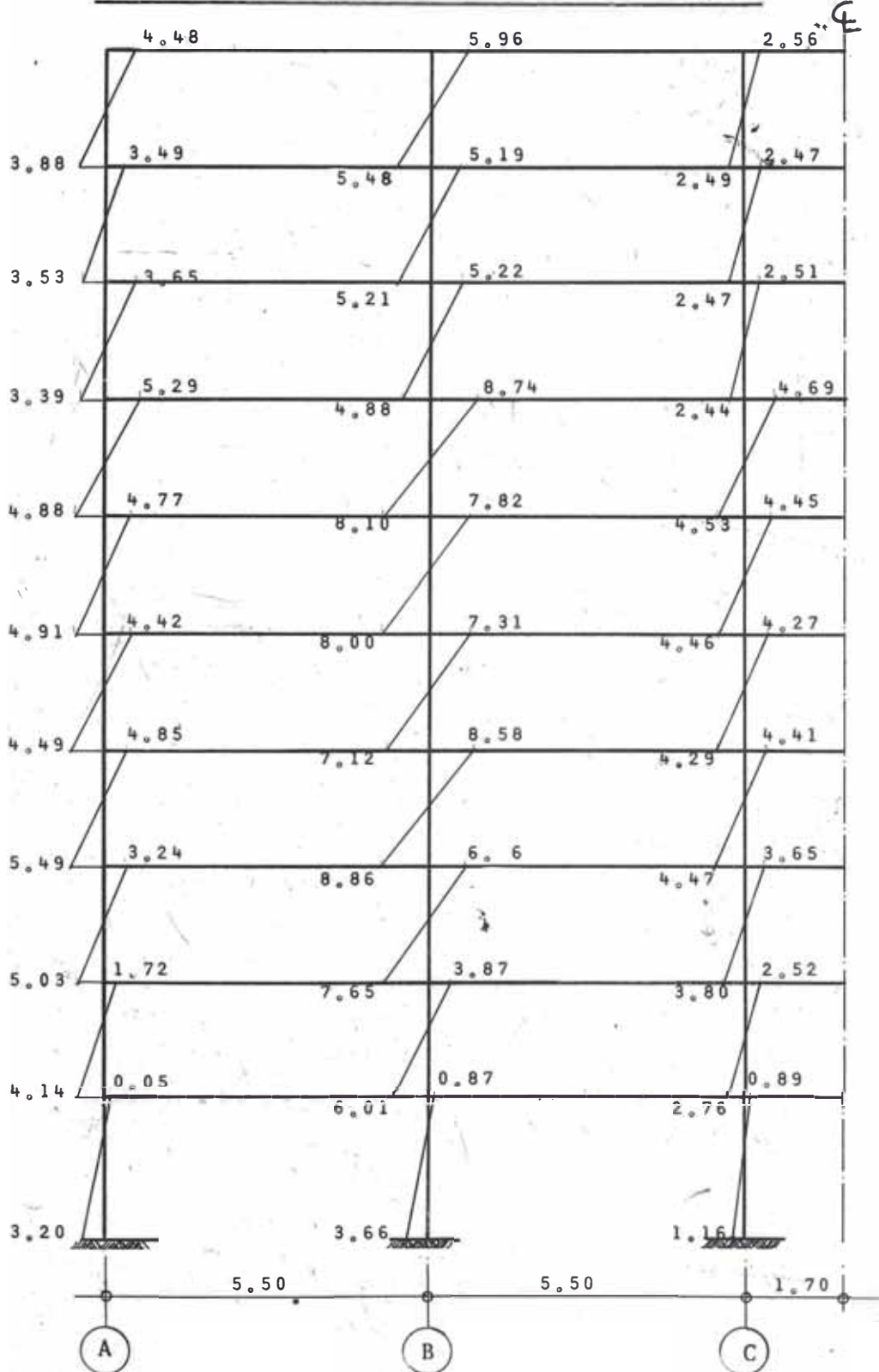
NOTA : Las fuerzas " F_i " están en Tns.

M E T O D O M A T R I C I A L

C A S O I I

DIAGRAMA DE MOMENTOS EN LAS COLUMNAS

P O R T I C O : 1 = P O R T I C O : 3

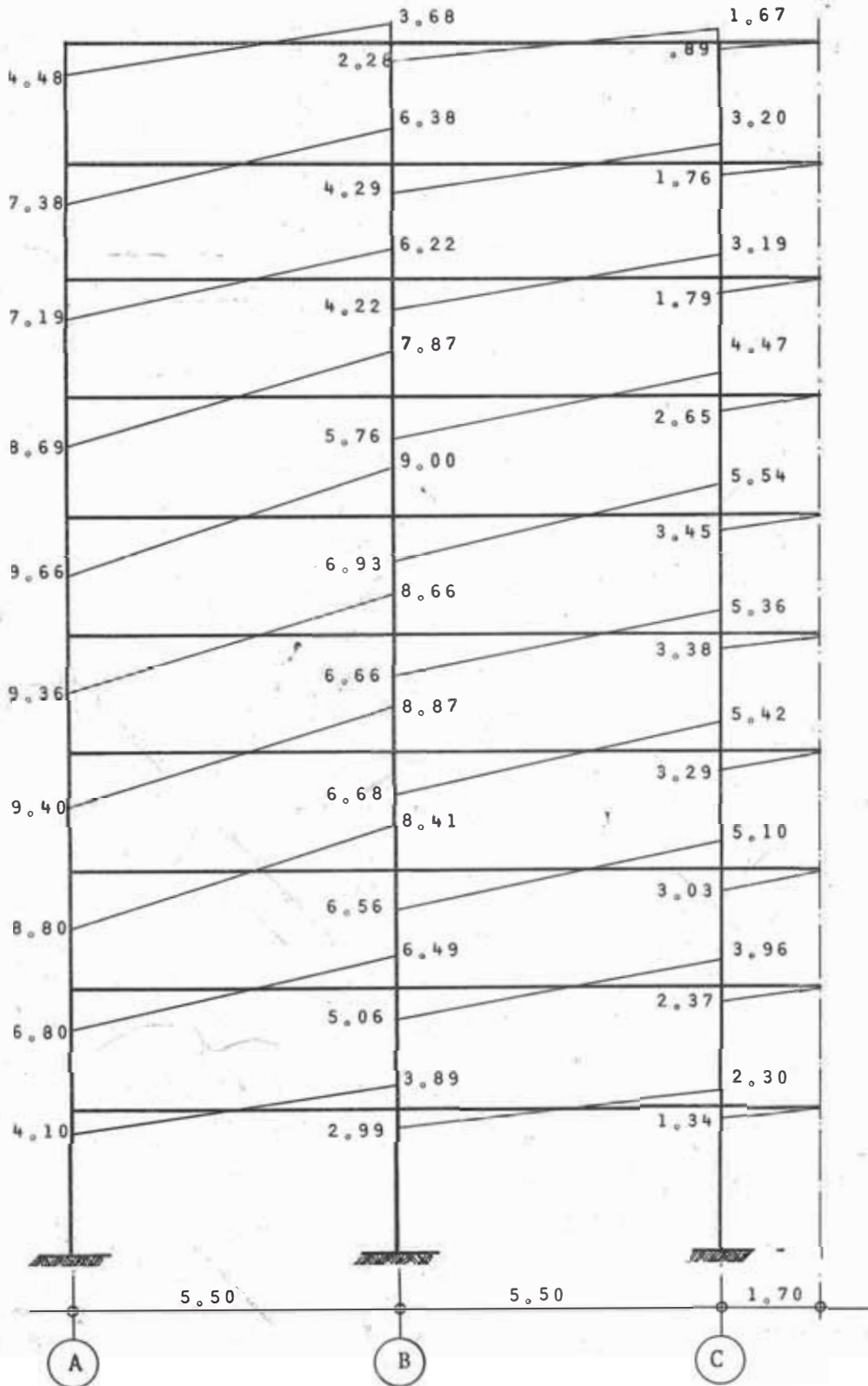


M E T O D O M A T R I C I A L

C A S O I I

DIAGRAMA DE MOMENTOS EN LAS VIGAS

P O R T I C O : 1 = P O R T I C O : 3

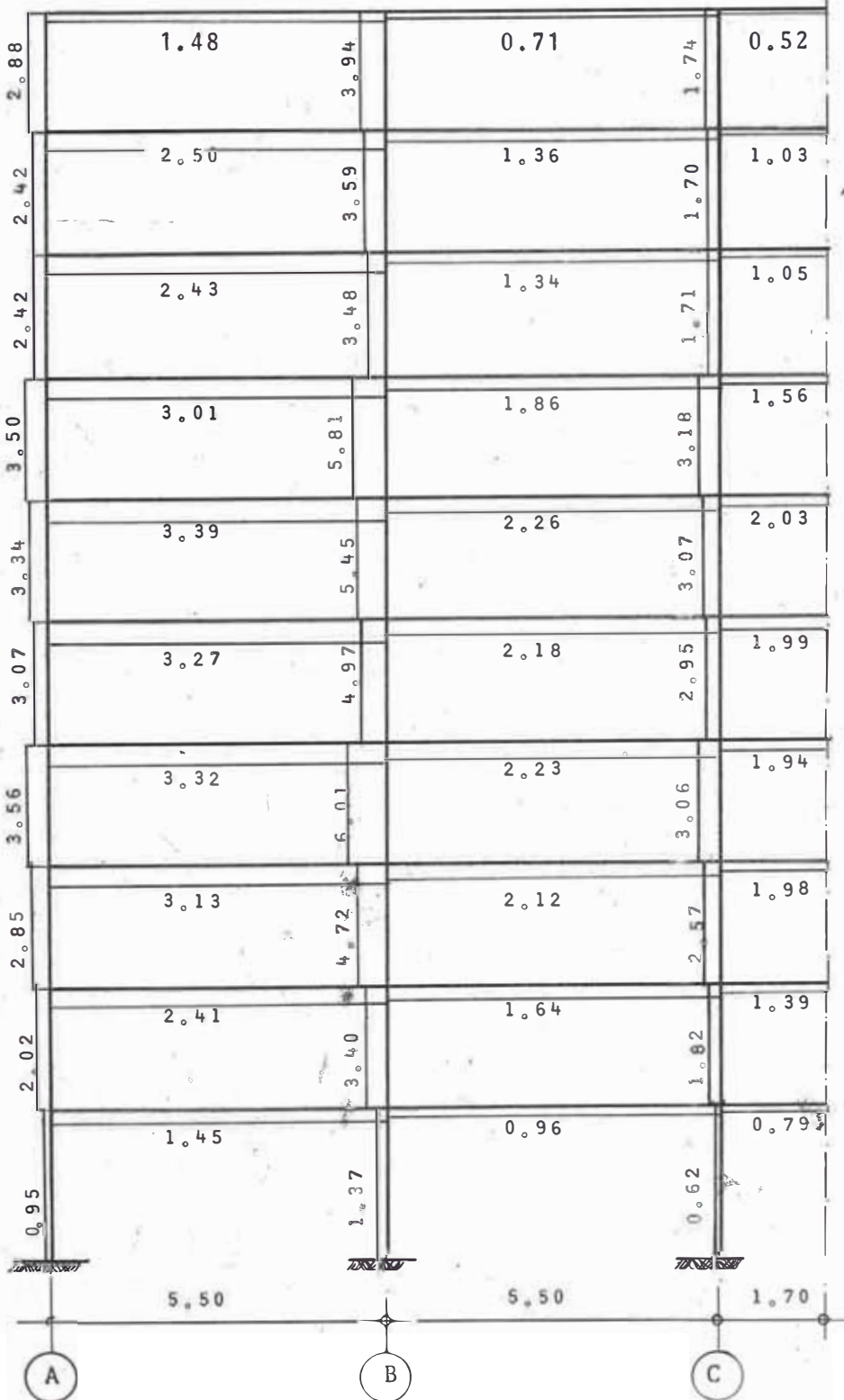


METODO MATRICIAL

C A S O II

ESFUERZOS CORTANTES EN VIGAS Y COLUMNAS

PORTICO : 1 = PORTICO : 3

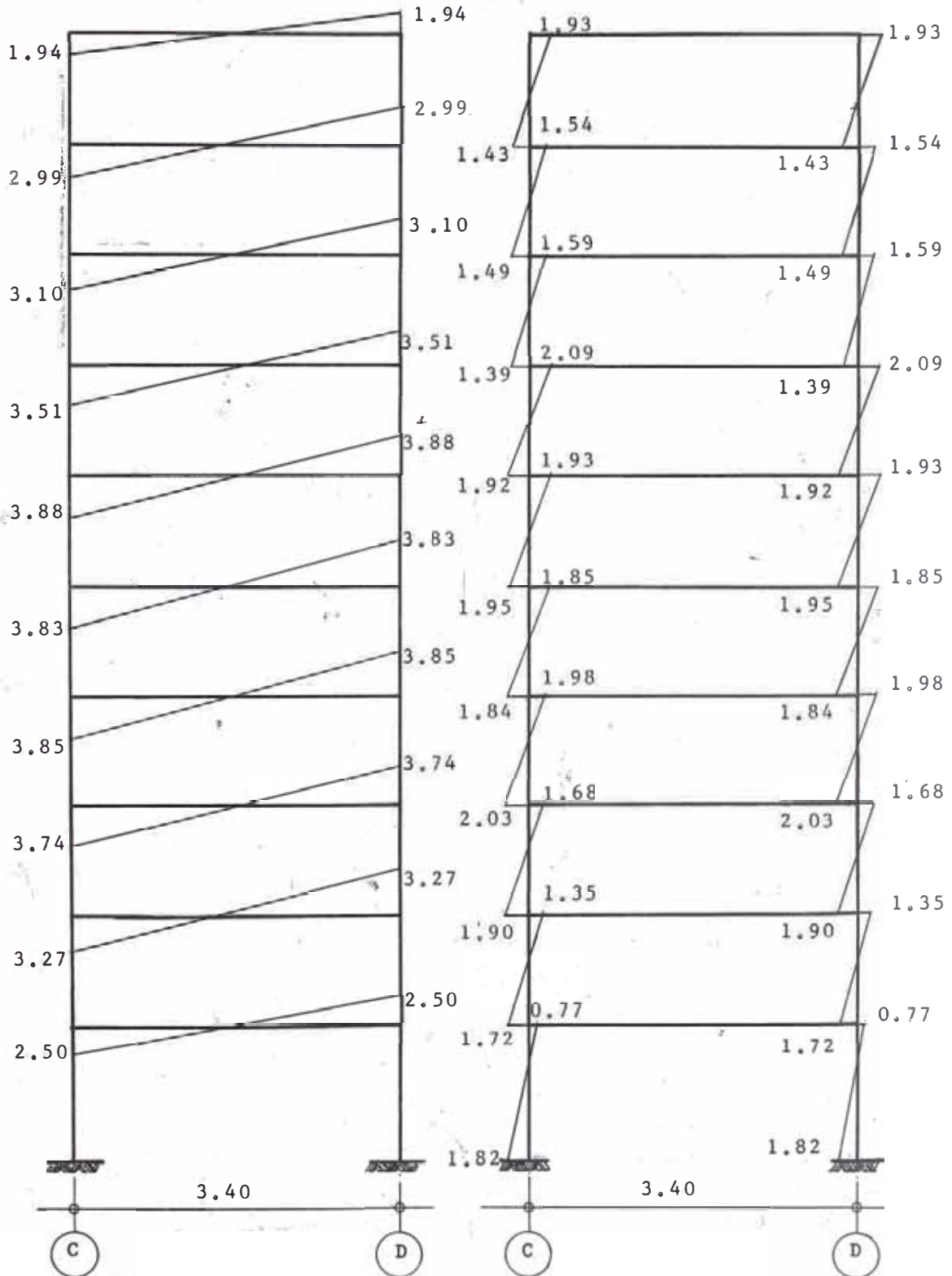


METODO MATRICIAL

DIAGRAMA DE MOMENTOS EN VIGAS Y COLUMNAS

PORTICO : 2'

C A S O : II

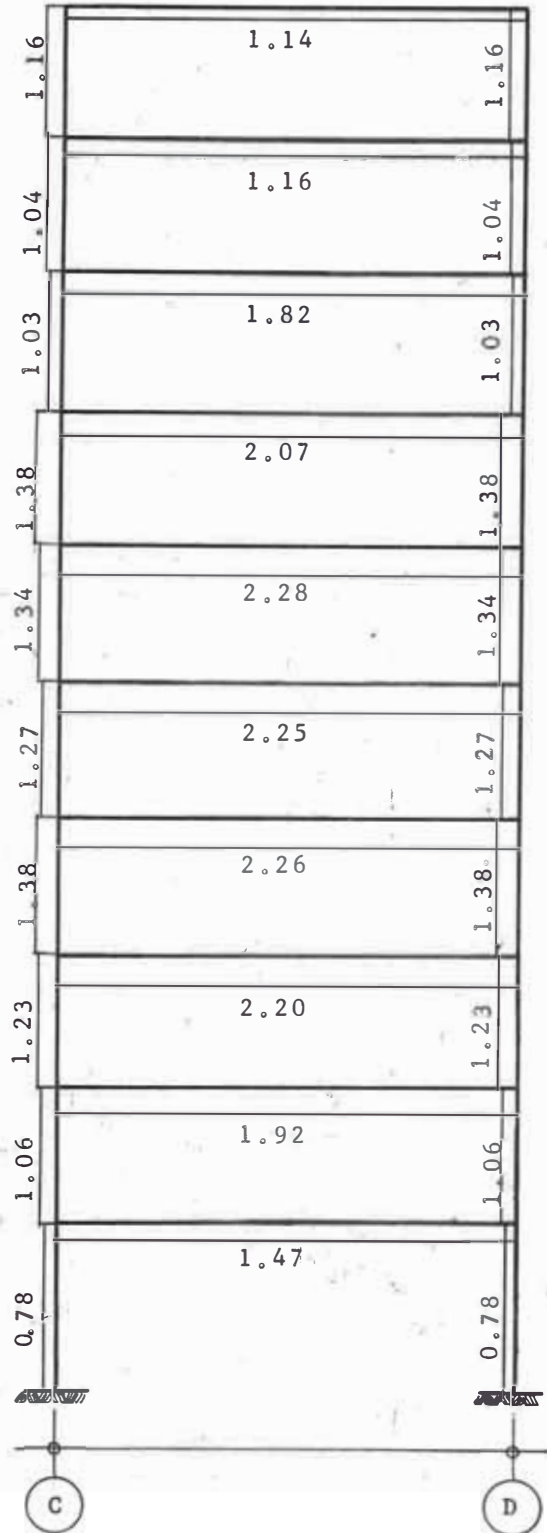


M E T O D O M A T R I C I A L

ESFUERZOS CORTANTES EN VIGAS Y COLUMNAS

P O R T I C O : 2º

C A S O II



M E T O D O M A T R I C I A L

DETERMINACION DE LOS DESPLAZAMIENTOS : COLUMNA C_{A_1}

C A S O : II

CUADRO a : $\psi_i = \frac{1}{6E k_{vi}} (2M_{ij} - M_{ji}) + \frac{1}{6E k_{ci}} (2M_{ik} - M_{ki})$

P O R T I C O " 1 " = P O R T I C O " 3 "

| N | $6EK_{vi}$ | $K_C \times 10^{-6}$ | $6EK_{ci}$ | M_{ij} | $2M_{ij}$ | M_{ji} | 5-6 | M_{ik} | $2M_{ik}$ | M_{ki} | N |
|----|-------------------|----------------------|--------------------|----------|-----------|----------|-------|----------|-----------|----------|----|
| 10 | 134×10^2 | 550 | 76.5×10^2 | 4.48 | 8.96 | 3.68 | 5.28 | 4.48 | 8.96 | 3.88 | 10 |
| 9 | 134×10^2 | 550 | 76.5×10^2 | 7.38 | 14.76 | 6.38 | 8.38 | 3.49 | 6.98 | 3.53 | 9 |
| 8 | 134×10^2 | 550 | 76.5×10^2 | 7.19 | 14.38 | 6.22 | 8.16 | 3.65 | 7.30 | 3.39 | 8 |
| 7 | 134×10^2 | 1,440 | 200×10^2 | 8.60 | 17.38 | 7.87 | 7.51 | 5.29 | 10.58 | 4.88 | 7 |
| 6 | 134×10^2 | 1,440 | 200×10^2 | 9.66 | 19.32 | 9.00 | 10.32 | 4.77 | 9.54 | 4.91 | 6 |
| 5 | 134×10^2 | 1,440 | 200×10^2 | 9.36 | 18.72 | 8.66 | 10.06 | 4.42 | 8.84 | 4.49 | 5 |
| 4 | 142×10^2 | 2,480 | 365×10^2 | 9.40 | 18.80 | 8.87 | 9.93 | 4.85 | 9.70 | 5.49 | 4 |
| 3 | 142×10^2 | 2,480 | 365×10^2 | 8.80 | 17.60 | 8.41 | 9.19 | 3.24 | 6.48 | 5.03 | 3 |
| 2 | 142×10^2 | 2,480 | 365×10^2 | 6.80 | 13.60 | 6.49 | 7.11 | 1.72 | 3.44 | 4.14 | 2 |
| 1 | 142×10^2 | 2,180 | 322×10^2 | 4.10 | 8.20 | 3.89 | 4.31 | -0.05 | -0.10 | 3.20 | 1 |
| | 1 | 2 | 3 | 4 | 5 | 6 | 7 | 8 | 9 | 10 | |

(298)

M E T O D O M A T R I C I A L

DETERMINACION DE LOS DESPLAZAMIENTOS : COLUMNA C

C A S O II

CUADRO : b

$$\frac{1}{6EK_{vi}} (2M_{ij} - M_{ji}) + \frac{1}{6EK_{ci}} (2M_{ik} - M_{ki})$$

P O R T I C O : 1 = P O R T I C O : 3

| N | 10-11 | $\frac{7}{1}$ | $\frac{11}{3}$ | ψ_i | δ_i | Δ_1 | Δ_o | $\Delta_o - \Delta_1$ | ϵ_1 | $\phi_1 \times 10^{-5}$ | $\phi_1 \times 10^{-5}$ | ϵ_1 | N |
|----|-------|---------------------------|---------------------------|---------------------------|------------|------------|------------|-----------------------|--------------|-------------------------|-------------------------|--------------|----|
| 10 | 5.08 | $\times 10^{-3}$ 0.393 | $\times 10^{-3}$ 0.662 | $\times 10^{-3}$ 1.055 | 0.305 | 2.380 | 2.355 | 0.025 | 0.016 | 98.60 | 105.10 | 0.066 | 10 |
| 9 | 3.45 | 0.623 | 0.451 | 1.074 | 0.311 | 2.075 | 2.069 | 0.006 | 0.003 | 99.31 | 107.20 | 0.080 | 9 |
| 8 | 3.91 | 0.609 | 0.511 | 1.1120 | 0.325 | 1.764 | 1.779 | 0.015 | 0.008 | 100.42 | 108.50 | 0.082 | 8 |
| 7 | 5.70 | 0.560 | 0.285 | 0.845 | 0.245 | 1.449 | 1.468 | 0.037 | 0.025 | 100.32 | 85.00 | 0.148 | 7 |
| 6 | 4.63 | 0.769 | 0.232 | 1.001 | 0.290 | 1.204 | 1.197 | 0.007 | 0.006 | 98.47 | 100.00 | 0.015 | 6 |
| 5 | 4.35 | 0.750 | 0.217 | 0.967 | 0.280 | 0.914 | 0.915 | 0.001 | 0.001 | 94.45 | 96.50 | 0.021 | 5 |
| 4 | 4.21 | 0.699 | 0.115 | 0.814 | 0.236 | 0.634 | 9.649 | 0.015 | 0.023 | 87.19 | 81.40 | 0.061 | 4 |
| 3 | 1.45 | 0.645 | 0.039 | 0.684 | 0.192 | 0.398 | 0.409 | 0.011 | 0.027 | 75.86 | 66.12 | 0.129 | 3 |
| 2 | -0.70 | +0.500 | 0.019 | 0.481 | 0.140 | 0.306 | 0.209 | 0.003 | 0.014 | 59.37 | 48.40 | 0.184 | 2 |
| 1 | -3.30 | 0.303 | 0.102 | 0.201 | 0.066 | 0.066 | 0.065 | 0.001 | 0.015 | 19.85 | 20.10 | 0.012 | 1 |
| | 11 | 12 | 13 | 14 | 15 | 16 | 17 | 18 | 19 | 20 | 21 | 22 | |

(299)

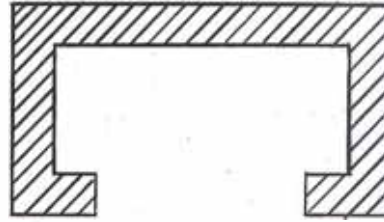
NOTA.- Los desplazamientos están en (cms.)

M E T O D O M A T R I C I A LCALCULO DE LOS GIROS DEL MURO θ_m G A S O : II

$$I = 4.7248 \text{ m}^4$$

$$E = 2.32 \times 10^6 \text{ Tn/m}^2$$

$$EI = 109.6153 \times 10^5 \text{ Tn-m}^2$$



| N | θ_o | M_m | $\frac{M_m}{EI}$ | MEDIANA TRAPECIO | AREA | θ_m | ERROR | N |
|----|------------|----------|------------------|---------------------|------------------|------------|--------|----|
| 10 | 99.608 | -34.907 | -0.319 | -0.559 | -1.619 | 93.305 | 0.054 | 10 |
| 9 | 99.311 | -87.420 | -0.799 | -0.684 | -1.984 | 94.926 | 0.044 | 9 |
| 8 | 100.422 | -62.115 | -0.568 | - + | -0.608 10.076 | 96.910 | 0.0351 | 8 |
| 7 | 100.325 | 21.909 | 0.200 | 0.411 | 1.191 | 97.442 | 0.028 | 7 |
| 6 | 98.474 | 68.041 | 0.621 | 1.104 | 3.207 | 96.251 | 0.022 | 6 |
| 5 | 94.451 | 107.392 | 1.586 | 2.263 | 6.582 | 94.044 | 0.004 | 5 |
| 4 | 87.198 | 322.012 | 2.940 | 3.657 | 10.620 | 87.462 | 0.002 | 4 |
| 3 | 75.863 | 479.919 | 4.374 | 5.480 | 15.880 | 76.842 | 0.013 | 3 |
| 2 | 59.377 | 709.707 | 6.485 | 7.932 | 23.112 | 60.962 | 0.026 | 2 |
| 1 | 19.853 | 1026.060 | 9.380 | 11.450 | 37.850 | 37.850 | — | 1 |
| 0 | 0.000 | 1482.620 | 13.520 | — | — | — | — | 0 |

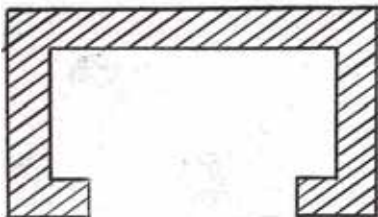
$$\varepsilon = \text{ERROR RELATIVO} = \frac{\theta_o - \theta_m}{\theta_o} \leq 0.10 \text{ (Permisible)}$$

NOTA : Todos los valores están afectados por (10^{-5}) .

M E T O D O M A T R I C I A L

CUADRO GENERAL DE DESPLAZAMIENTOS Y GIROS

C A S O : II



LLAMANDO : Δ_0 ; ϕ_0 De la estructura
 Δ_1 ; ϕ_1 Del pórtico " 1 " = " 3 "
 Δ_m ; ϕ_m Del muro

| N | Δ_0 | Δ_1 | ϵ_1 | ϕ_0 | ϕ_1 | ϵ_1 | ϕ_m | ϵ_m | $\bar{\epsilon}$ | N |
|----|------------|------------|--------------|----------|----------|--------------|----------|--------------|------------------|----|
| 10 | 2.355 | 2.380 | 0.016 | 98.608 | 105.10 | 0.066 | 93.305 | 0.054 | 0.060 | 10 |
| 9 | 2.069 | 2.075 | 0.003 | 99.311 | 107.20 | 0.080 | 94.920 | 0.044 | 0.062 | 9 |
| 8 | 1.779 | 1.764 | 0.008 | 100.422 | 108.50 | 0.082 | 96.910 | 0.035 | 0.068 | 8 |
| 7 | 1.486 | 1.449 | 0.025 | 100.325 | 85.00 | 0.148 | 97.442 | 0.028 | 0.088 | 7 |
| 6 | 1.197 | 1.204 | 0.006 | 98.474 | 100.00 | 0.015 | 96.251 | 0.022 | 0.017 | 6 |
| 5 | 0.915 | 0.914 | 0.001 | 94.451 | 96.50 | 0.021 | 94.044 | 0.004 | 0.012 | 5 |
| 4 | 0.649 | 0.634 | 0.023 | 87.198 | 81.40 | 0.061 | 87.462 | 0.002 | 0.031 | 4 |
| 3 | 0.409 | 0.398 | 0.027 | 75.863 | 66.12 | 0.129 | 76.842 | 0.013 | 0.071 | 3 |
| 2 | 0.209 | 0.206 | 0.014 | 59.377 | 48.40 | 0.184 | 60.962 | 0.026 | 0.0105 | 2 |
| 1 | 0.065 | 0.066 | 0.015 | 19.853 | 20.10 | 0.012 | 37.850 | — | — | 1 |

NOTA : Los desplazamientos " Δ " están en cms y los giros " ϕ " afectados por (10^{-5})

M E T O D O M A T R I C I A L

R E S U M E N

El modelo de análisis está representado en la figura N°1. El comportamiento de la placa, en la suposición que no existiría interacción con los pórticos sería como una viga en cantiliver. Es decir no tendría ningún tipo de restricción a que se deforme, tanto en desplazamiento como en giro, en la zona de voladizo. Pero esto no sucede ya que en cada nivel presenta 2 coordenadas (uno de desplazamiento y uno de giro); lo cual significa la presencia de pórticos; marcos y viga de interacción. Como el edificio es de diez niveles, se debe de considerar $2 \times 10 = 20$ coordenadas.

Estas coordenadas nos pueden representar cargas ó deformaciones.

La expresión base del método es : $\{F\} = [K] \{X\}$ en la cual la matriz $\{F\}$ es conocida y la matriz de rigidez $[K]$, se debe de determinar, de la misma manera que los ejemplos ilustrativos, la cual por ser del orden 20×20 traería muchas dificultades en el proceso. Para solucionar el modelo de estudio se utilizó el programa del Ing°. Yack López (Programa Inédito). Como se puede ver que una vez determinado todos los elementos de la matriz $[K]$; esto se puede subdividir en 4 matrices parte de orden 10×10 ; haciendo más rápida la solución del programa.

RESPUESTAS DEL PROGRAMA

- 1).- Calcula los desplazamientos mediante la expresión $A = \Delta_0$
- 2).- Calcula los giro " " " $B = \phi_0$
- 3).- Calcula los momentos de interacción " " $C = R \phi_0$
- 4).- Calcula la fuerza total de los pórticos y marcos; $D = F_{TP}$
- 5).- Calcula la fuerza del muro : $F_{m_i} = F_{T_i} - F_{TP_i}$ ----- E
- 6).- Calcula el corte del muro $V_{m_i} = \sum_{i=1}^{10} F_{m_i}$ ----- F
- 7).- Calcula los momentos finales de la placa ó muro.

M E T O D O M A T R I C I A L

Conociendo la configuración final de la placa ó muro, mediante las expresiones A y B ; a estos valores le llamaremos Δ_o = desplazamiento de la estructura; ϕ_o = giro de la estructura, ya que hemos considerado la acción de todos sus elementos.

Posteriormente se tiene que comprobar que cada uno de sus elementos (columna; viga, y muro) sufren las mismas deformaciones (desplazamiento y giro) bajo la acción de sus respectivos esfuerzos. Para la placa ó muro se utiliza los momentos finales que se obtiene de la respuesta 7 del programa; y por el método de área de momentos se determinan los giros.

Para los pórticos se debe hallar la fuerza a la que está sometida cada uno de ellos mediante la expresión $F_L = F_{TP} \left(\frac{K_L}{\sum K_L} \right)$

conociendo la fuerza; se puede aplicar cualquier método iterativo para realizar la distribución de momentos (se emplea el programa del Ing^o. Armando Navarro Peña; del método TAKABEYA). Conocida la distribución final de momentos en vigas y columnas, mediante las ecuaciones básicas de Slope-Deflection; calcularemos las deformaciones de las columnas; y la comprobamos con la estructura

El método es aceptado después de haber realizado dichas comparaciones, teniendo como error tolerable el 10% del valor inicial.

¿Que se ha comprobado?

1.- $V_T = V_m + V_{Port}$ (corte total; es igual al corte del muro y corte de los pórticos).

2.- $\Delta_o \cong \Delta_1 \cong \Delta_m$ (Los desplazamientos de los elementos deben ser iguales).

3.- $\phi_o \cong \phi_1 \cong \phi_m$ (Los giros de los elementos deben ser iguales)

M E T O D O M A T R I C I A L

C O N C L U S I O N E S

El método se puede aplicar también para cargas verticales y en general para cualquier tipo de cargas.

En la actualidad su utilización ha llegado a su máxima efectividad con el uso de la computadora electrónica.

Desde que este método es resuelto mediante programas de computación, se debe trabajar con matrices del menor orden posible; logrando así obtener un menor tiempo en la solución del programa; la cual representa un ahorro económico.

Los datos que se le dan a la computadora son los siguientes

N = Número de pisos

h_i = Altura de pisos

E = Módulo de elasticidad de la placa

I = Momento de inercia de la placa

K_{Ti} = Constante del resorte a la traslación

R_i = Constante del resorte a la rotación

P_i = Carga externa estática

El programa con estos datos calcula la matriz de rigidez y nos da las respuestas que ya conocemos. Nos hacemos la siguiente pregunta

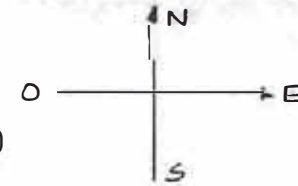
¿Es un método exacto?

El método en sí; es exacto, salvo el cálculo de los valores

" K_T " y " R " que dependen de ciertas asunciones que se la da el autor para determinarlos, considerándolas a éstas como satisfactorias.

ANALISIS SISMICO = DIRECCION : N-S

MATRIZ DE RIGIDEZ : METODO MATRICIAL (PRIMER CASO)



| | | | | | | | | | |
|---------------------|---------------------|---------------------|---------------------|---------------------|---------------------|---------------------|---------------------|---------------------|---------------------|
| 6.34×10^6 | -4.50×10^6 | 1.85×10^6 | -4.91×10^5 | 1.31×10^5 | -3.48×10^4 | 9.25×10^3 | -2.45×10^3 | 6.09×10^2 | -1.01×10^2 |
| -4.50×10^6 | 5.98×10^6 | -4.43×10^6 | 1.83×10^6 | -4.86×10^5 | 1.29×10^5 | -3.44×10^4 | 9.12×10^3 | -2.27×10^3 | 3.77×10^2 |
| 1.85×10^6 | -4.43×10^6 | 5.96×10^6 | -4.43×10^6 | 1.83×10^6 | -4.86×10^5 | 1.29×10^5 | -3.43×10^4 | 8.53×10^3 | -1.42×10^3 |
| -4.91×10^5 | 1.83×10^6 | -4.43×10^6 | 5.96×10^6 | -4.42×10^6 | 1.83×10^6 | -4.86×10^5 | 1.29×10^5 | -3.21×10^4 | 5.33×10^3 |
| 1.31×10^5 | -4.86×10^5 | 1.83×10^6 | -4.42×10^6 | 5.96×10^6 | -4.42×10^6 | 1.83×10^6 | -4.84×10^5 | 1.20×10^5 | -2.00×10^4 |
| -3.48×10^4 | 1.29×10^5 | -4.86×10^5 | 1.83×10^6 | -4.42×10^6 | 5.95×10^6 | -4.42×10^6 | 1.82×10^6 | -4.53×10^5 | 7.53×10^4 |
| 9.25×10^3 | -3.44×10^4 | 1.29×10^5 | -4.86×10^5 | 1.83×10^6 | -4.42×10^6 | 5.94×10^6 | -4.38×10^6 | 1.70×10^6 | 2.83×10^5 |
| -2.45×10^3 | 9.12×10^3 | -3.43×10^4 | 1.29×10^5 | -4.84×10^5 | 1.82×10^6 | -4.38×10^6 | 5.82×10^6 | -3.93×10^6 | 1.06×10^6 |
| 6.09×10^2 | -2.27×10^3 | 8.53×10^3 | -3.21×10^4 | 1.20×10^5 | -4.53×10^5 | 1.70×10^6 | -3.93×10^6 | 4.13×10^6 | -1.54×10^6 |
| -1.01×10^2 | 3.77×10^2 | -1.42×10^3 | 5.33×10^3 | -2.00×10^4 | 7.53×10^4 | -2.83×10^5 | 1.06×10^6 | -1.54×10^6 | 7.01×10^5 |

(305)

RESULTADOS DEL METODO MATRICIAL. PRIMER CASO

| N | $\phi \times 10^{-6}$ | $\Delta_c \times 10^{-4}$ | $R_t \phi$ | F_{TP} | F_m | V_m | MS | MI | N |
|----|-----------------------|---------------------------|------------|----------|--------|---------|----------|---------|----|
| 10 | 728.80 | 190.06 | 88.97 | 28.990 | 17.249 | 17.249 | 0 | 88.97 | 10 |
| 9 | 740.85 | 168.93 | 113.56 | - 3.065 | 22.585 | 39.835 | 38.95 | 152.51 | 9 |
| 8 | 765.20 | 147.09 | 117.29 | - 0.426 | 17.896 | 57.732 | 36.99 | 154.28 | 8 |
| 7 | 784.11 | 124.55 | 122.54 | 15.019 | 0.520 | 58.252 | - 12.70 | 109.40 | 7 |
| 6 | 790.16 | 101.62 | 130.66 | - 2.115 | 15.635 | 73.888 | - .58.52 | 71.14 | 6 |
| 5 | 776.97 | 78.72 | 128.46 | - 1.830 | 13.200 | 87.088 | -143.13 | - 14.64 | 5 |
| 4 | 734.45 | 56.55 | 130.07 | 3.160 | 5.929 | 93.017 | -267.20 | -137.12 | 4 |
| 3 | 653.12 | 36.12 | 118.20 | - 7.654 | 14.593 | 107.611 | -406.87 | -288.67 | 3 |
| 2 | 520.87 | 18.67 | 94.27 | - 6.619 | 11.259 | 118.871 | -600.07 | -506.47 | 2 |
| 1 | 179.14 | 5.911 | 32.12 | -14.108 | 16.618 | 135.490 | -851.20 | -819.07 | 1 |

(306)

CORTANTE EN LA BASE = 135.49 T_m

MOMENTO EN LA BASE = 1266.19 $T_m - m$

METODO MATRICIAL (PRIMER CASO) COMPROBACION DE ROTACIONES

| N | M_m (Ton-m) | $M/EI \times 10^{-6}$ | 2Mediana $\times 10^{-6}$ | AREAS $\times 10^{-6}$ | $\theta \times 10^{-6}$ | $\theta_i \times 10^{-6}$ | N |
|----|------------------|-----------------------|------------------------------|------------------------|-------------------------|---------------------------|----|
| 10 | - 88.975 | - 8.8975 | - 20.9718 | | 582.67 | 728.80 | 10 |
| | | - 12.0743 | - 27.3255 | - 15.15 | | | |
| 9 | - 152.512 | - 15.2512 | - 30.5909 | - 19.80 | 617.67 | 740.85 | 9 |
| | | - 15.3397 | - 30.7679 | - 22.25 | | | |
| 8 | - 154.282 | - 15.4282 | - 28.6125 | - 22.30 | 662.17 | 765.20 | 8 |
| | | - 13.1843 | - 24.1248 | - 20.73 | | | |
| 7 | - 109.405 | - 10.9405 | - 19.9683 | - 17.50 | 700.40 | 784.12 | 7 |
| | | - 9.0278 | - 16.1421 | - 14.45 | | | |
| 6 | - 71.143 | - 7.1143 | | - 11.70 | 726.55 | 790.17 | 6 |
| | | | | - 8.60 | | | |
| 5 | 14.645 | 1.4645 | 90.5529 | 0.35 | 734.80 | 776.97 | 5 |
| | | 7.5884 | 21.3008 | 6.56 | | | |
| 4 | 137.124 | 13.7124 | 35.0021 | 15.44 | 712.80 | 734.45 | 4 |
| | | 21.2897 | 50.1567 | 25.40 | | | |
| 3 | 288.670 | 28.8670 | 68.6247 | 36.40 | 651.00 | 653.12 | 3 |
| | | 39.75.77 | 90.4050 | 49.70 | | | |
| 2 | 506.473 | 50.7473 | 116.9249 | 65.50 | 535.80 | 520.88 | 2 |
| | | 66.2776 | 148.1855 | 85.00 | | | |
| 1 | 819.079 | 81.9079 | 186.1714 | 107.30 | 343.50 | 179.141 | 1 |
| | | 114.2635 | 130.8825 | 153.50 | | | |
| 0 | 1266.190 | 126.6190 | | 190.00 | | | 0 |

En este cuadro en la primera columna figuran los valores de los momentos en el eje del muro equivalente, cuyos valores se han calculado en la computadora.

El valor EI es aproximadamente $10 \times 10^6 \text{ Ton-m}^2$.

Las comprobaciones de rotación y de deflexión de los muros se realizan de manera similar a las explicadas en el Método de Diferencias Finitas.

MOMENTOS DE VIGAS INCIDENTES EN LOS MUROS Y CARGAS LATERALES AL MURO

a) Como se conoce el total, se reparte proporcionalmente a los momentos por unidad de giro.

MOMENTOS

| N | TOTAL | LATERAL | | | ASC. EJE "C" | | N |
|----|----------|---------|-------|---------|--------------|----------|----|
| | | Coef. | M | M.ACUM. | M | M. ACUM. | |
| 10 | 88.9754 | .334 | 29.70 | 29.70 | 14.787 | 14.787 | 10 |
| 9 | 113.5600 | .307 | 34.88 | 64.58 | 21.900 | 36.687 | 9 |
| 8 | 117.292 | .307 | 36.00 | 100.58 | 22.646 | 59.333 | 8 |
| 7 | 122.545 | .350 | 43.00 | 143.58 | 18.272 | 77.605 | 7 |
| 6 | 130.066 | .3575 | 46.50 | 190.08 | 18.533 | 96.138 | 6 |
| 5 | 128.486 | .3575 | 45.90 | 235.98 | 18.343 | 114.481 | 5 |
| 4 | 130.070 | .354 | 45.92 | 281.90 | 19.115 | 133.596 | 4 |
| 3 | 118.204 | .351 | 41.55 | 323.45 | 17.552 | 151.148 | 3 |
| 2 | 94.270 | .351 | 33.10 | 356.55 | 14.035 | 165.183 | 2 |
| 1 | 32.120 | .352 | 11.35 | 367.90 | 4.710 | 169.893 | 1 |

b) Repartimos proporcionalmente a las Inercias de los Muros.

CARGAS LATERALES

| N | F. TOTAL | LATERAL | | | ASC. EJE "C" | | N |
|----|----------|---------|--------|---------|--------------|---------|----|
| | | Coef. | F | V | F | V | |
| 10 | 17.2495 | .3573 | 6.1632 | 6.1632 | 2.4615 | 2.4615 | 10 |
| 9 | 22.5855 | | 8.0697 | 14.2329 | 3.2235 | 5.6850 | 9 |
| 8 | 17.8968 | | 6.3945 | 20.6274 | 2.5539 | 8.2389 | 8 |
| 7 | 0.5201 | | 0.1758 | 20.8032 | 0.0842 | 8.3231 | 7 |
| 6 | 15.6359 | | 5.5867 | 26.3899 | 2.2312 | 10.5543 | 6 |
| 5 | 13.2000 | | 4.7163 | 31.1062 | 1.8837 | 12.4380 | 5 |
| 4 | 59.2935 | | 2.1185 | 33.2247 | 0.8462 | 13.2842 | 4 |
| 3 | 14.5939 | | 5.2144 | 38.4391 | 2.0825 | 15.3667 | 3 |
| 2 | 11.2598 | | 4.0231 | 42.4622 | 1.6068 | 16.9735 | 2 |
| 1 | 16.6189 | | 5.9379 | 48.4001 | 2.3715 | 19.3450 | 1 |
| 0 | | | | | | | 0 |

COMPROBACION DE GIROS - METODOS MATRICIAL PLACA LATERAL PRIMER CASO

| N | TON V | TON-M Vh | TON-M M.VOL | TON-M MR | TON-M M _m | (m ⁻¹) M/EI x 10 ⁻⁶ | AREAS x 10 ⁻⁶ | Ø x 10 ⁻⁶ | Ø x 10 ⁻⁶ | N |
|----|----------|-------------|----------------|-------------|-------------------------|---|--------------------------|----------------------|----------------------|----|
| 10 | 6.16 | 17.87 | 0.00 | 29.70 | - 29.70 | - 8.30 | - 13.76 | 706.91 | 728.80 | 10 |
| 9 | 14.23 | 41.27 | 17.87 | 64.58 | - 46.71 | -13.06 | - 17.20 - 18.40 | 737.87 | 740.85 | 9 |
| 8 | 20.63 | 59.82 | 59.14 | 100.58 | - 41.44 | -11.55 | - 17.10 - 15.10 | 773.37 | 765.19 | 8 |
| 7 | 20.80 | 60.33 | 118.96 | 143.58 | - 24.62 | - 6.89 | - 11.70 - 8.55 | 800.17 | 784.11 | 7 |
| 6 | 26.39 | 76.53 | 179.29 | 190.08 | - 10.79 | - 2.95 | - 5.70 - 1.47 | 814.42 | 790.16 | 6 |
| 5 | 31.11 | 90.21 | 255.82 | 235.96 | 19.84 | 5.54 | 5.54 12.55 | 810.35 | 776.97 | 5 |
| 4 | 33.22 | 96.53 | 346.03 | 281.90 | 64.13 | 18.00 | 21.60 31.60 | 776.20 | 734.45 | 4 |
| 3 | 38.44 | 111.47 | 442.38 | 323.45 | 118.93 | 33.22 | 42.60 56.00 | 702.00 | 653.12 | 3 |
| 2 | 42.46 | 123.14 | 553.85 | 356.55 | 197.30 | 55.00 | 72.00 92.00 | 564.00 | 520.87 | 2 |
| 1 | 48.40 | 159.72 | 676.99 | 367.90 | 309.09 | 86.00 | 114.50 160.50 | 357.50 | 179.14 | 1 |
| 0 | | | 836.71 | 367.90 | 468.81 | 130.80 | 197.00 | 0 | 0 | 0 |

(309)

EI = 3.5809 x 10⁶ Ton-m²

COMPROBACION DE GIROS METODO MATRICIAL PLACA ASCENSOR. PRIMER CASO

| N | TON V | TON-M Vh | TON-M M. VOL. | TON-M M _R | TON-M M | m ⁻¹ M/EI x 10 ⁻⁶ | AREAS x 10 ⁶ | ∅ x 10 ⁻⁶ | ∅ _i x 10 ⁻⁶ | N |
|----|----------|-------------|------------------|-------------------------|------------|--|-------------------------|----------------------|-----------------------------------|----|
| 10 | 2.46 | 7.138 | 0.00 | 14.787 | - 14.787 | -10.33 | - 18.75 | 337.1 | 728.8 | 10 |
| 9 | 5.68 | 16.486 | 7.138 | 36.687 | - 29.549 | -20.70 | - 26.25 - 31.60 | 382.1 | 740.8 | 9 |
| 8 | 5.24 | 23.893 | 23.624 | 59.333 | - 35.709 | -25.00 | - 34.60 - 34.80 | 448.3 | 765.2 | 8 |
| 7 | 8.32 | 24.137 | 47.517 | 77.605 | - 30.088 | -21.00 | - 31.90 - 29.00 | 515.0 | 784.1 | 7 |
| 6 | 10.55 | 30.607 | 71.654 | 96.138 | - 24.484 | -17.10 | - 26.75 - 21.75 | 570.2 | 790.2 | 6 |
| 5 | 12.44 | 36.070 | 102.261 | 114.481 | - 12.220 | - 8.70 | - 15.70 - 9.15 | 607.7 | 777.0 | 5 |
| 4 | 13.28 | 38.424 | 138.331 | 133.596 | 4.735 | 3.31 | 1.33 9.90 | 615.5 | 734.4 | 4 |
| 3 | 15.36 | 44.563 | 176.755 | 151.148 | 24.607 | 17.28 | 20.00 33.10 | 585.6 | 653.1 | 3 |
| 2 | 16.97 | 49.223 | 221.318 | 165.183 | 56.135 | 39.40 | 49.10 68.40 | 503.4 | 520.9 | 2 |
| 1 | 19.34 | 64.000 | 270.541 | 169.893 | 100.648 | 70.00 | 91.00 144.00 | 344.0 | 179.1 | 1 |
| 0 | | | 334.541 | 169.893 | 164.648 | 126 | 200.00 | 0 | 0 | 0 |

(310)

EI = 1.4287 x 10⁶ Ton-m²

COMPROBACION DE DEFLEXIONES PARA PLACA ASCENSOR. PRIMER CASO. METODO MATRICIAL

| M | N | M/EI | $M_i/EI=A_i$ | $A_i h_i$ | $\Sigma A_i h_i$ | $h_i \Sigma A_i h_i$ | $M_i h_i / 2EI$ | δ_D | δ_N | N | M |
|------------|-------|--------|--------------|-----------|------------------|----------------------|-----------------|------------|------------|------|------------|
| VOLADO | 10 | 4.98 | 2.5 | 7 | 2520 | 7308 | 10 | 7318 | 61258 | 10 | VOLADO |
| | 9 | 16.53 | 10.7 | 31 | 2513 | 7288 | 45 | 7333 | 53940 | 9 | |
| | 8 | 33.20 | 24.8 | 72 | 2482 | 7198 | 104 | 7302 | 46607 | 8 | |
| | 7 | 50.00 | 41.6 | 121 | 2410 | 6989 | 175 | 7164 | 39305 | 7 | |
| | 6 | 71.40 | 60.7 | 175 | 2289 | 6598 | 255 | 6853 | 32141 | 6 | |
| | 5 | 97.00 | 64.2 | 186 | 2114 | 6031 | 270 | 6301 | 25288 | 5 | |
| | 4 | 124.00 | 110.5 | 321 | 1928 | 5591 | 465 | 6056 | 18987 | 4 | |
| | 3 | 155.00 | 139.5 | 405 | 1607 | 4660 | 585 | 5245 | 12931 | 3 | |
| | 2 | 192.00 | 173.5 | 502 | 1202 | 3486 | 730 | 4216 | 7886 | 2 | |
| | 1 | 233.00 | 212.5 | 700 | 700 | 2310 | 1160 | 3470 | 3470 | 1 | |
| CORRECCION | 10 | 10.35 | 10.3 | 30 | 2107 | 6110 | 43 | 6153 | 46119 | 10 | CORRECCION |
| | 9 | 25.70 | 25.7 | 74 | 2077 | 6023 | 108 | 6131 | 39966 | 9 | |
| | 8 | 41.50 | 41.5 | 120 | 2003 | 5806 | 174 | 5980 | 33835 | 8 | |
| | 7 | 54.30 | 54.2 | 157 | 1883 | 5461 | 228 | 5689 | 27855 | 7 | |
| | 6 | 67.30 | 67.3 | 195 | 1726 | 5005 | 282 | 5287 | 22166 | 6 | |
| | 5 | 80.00 | 80.0 | 232 | 1531 | 4440 | 336 | 4776 | 16879 | 5 | |
| | 4 | 93.50 | 93.5 | 272 | 1299 | 3767 | 394 | 4161 | 12103 | 4 | |
| | 3 | 105.60 | 105.6 | 305 | 1029 | 2984 | 444 | 3428 | 7942 | 3 | |
| | 2 | 115.30 | 115.3 | 334 | 724 | 2100 | 483 | 2583 | 4514 | 2 | |
| | 1 | 118.40 | 118.4 | 390 | 390 | 1287 | 644 | 1931 | 1931 | 1 | |
| Δ | 15139 | 13974 | 12772 | 11450 | 9975 | 8409 | 6884 | 4989 | 3372 | 1539 | Δ |
| Δ_i | 19006 | 16893 | 14709 | 12455 | 10162 | 7872 | 5655 | 3612 | 1867 | 591 | Δ_i |
| N | 10 | 9 | 8 | 7 | 6 | 5 | 4 | 3 | 2 | 1 | N |

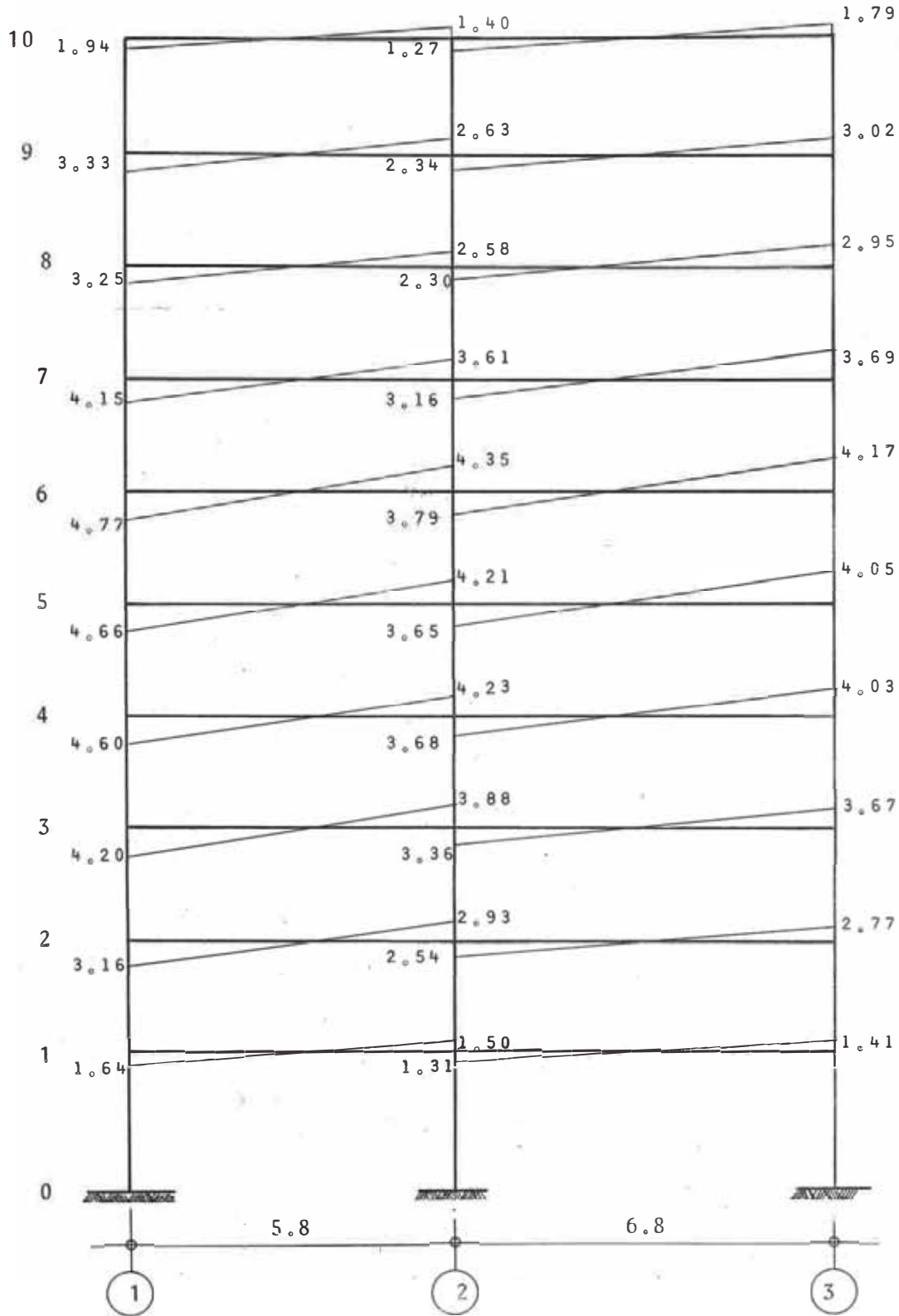
(311)

COMPROBACION DE DEFLEXIONES PLACA LATERAL PRIMER CASO. METODO MATRICIAL

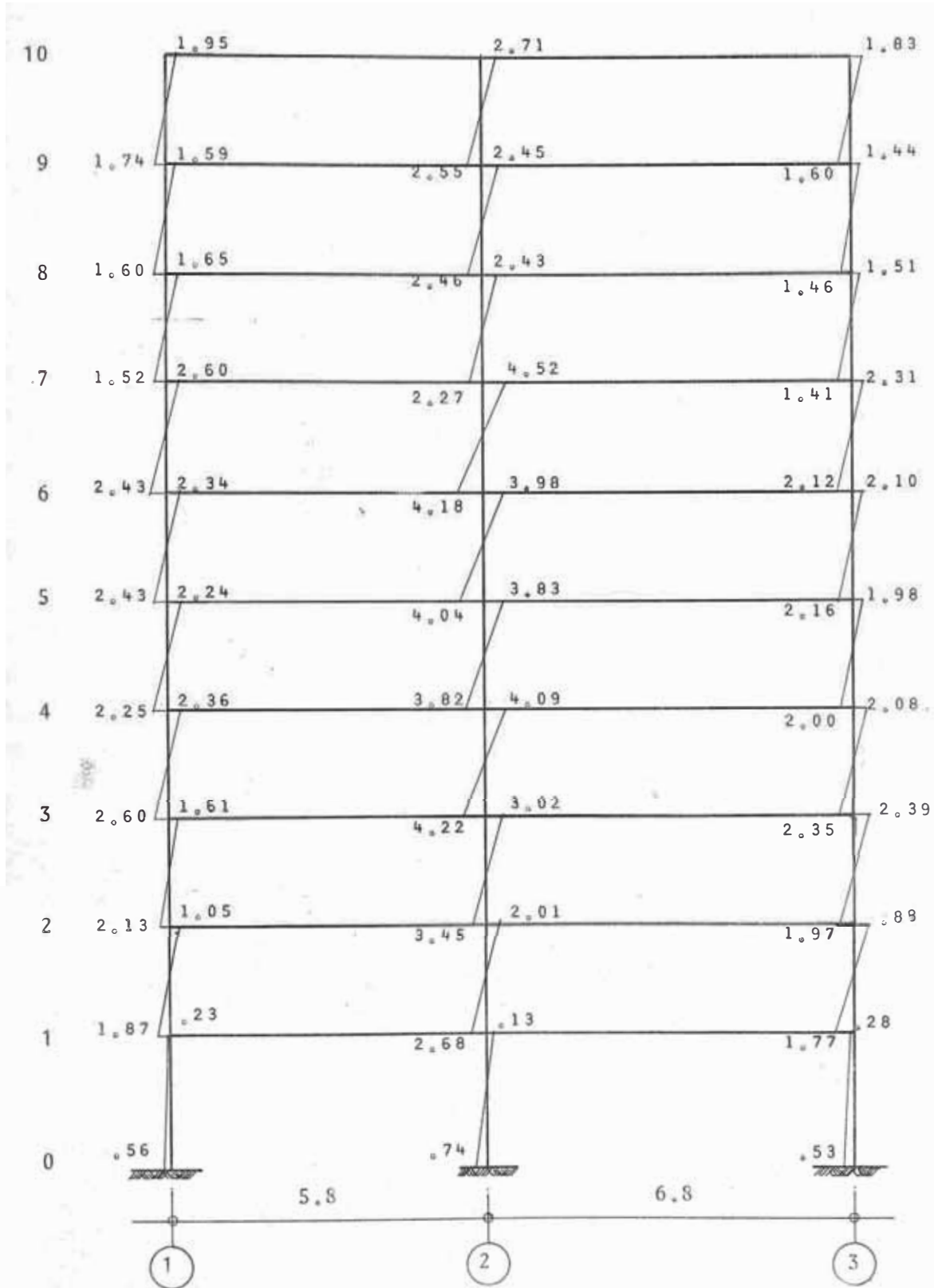
| M | N | M/EI | $M_i/EI=A_i$ | $A_i h_i$ | $\Sigma A_i h_i$ | $h_i \Sigma A_i h_i$ | $M_i h_i^2 / 2EI$ | δ_B | δ_N | N | M |
|------------|-------|-------|--------------|-----------|------------------|----------------------|-------------------|------------|------------|------|------------|
| VOLADO | 10 | 5.0 | 2.5 | 7.3 | 2588 | 7505 | 10 | 7515 | 62743 | 10 | VOLADO |
| | 9 | 16.6 | 10.8 | 31.4 | 2581 | 7485 | 45 | 7530 | 55228 | 9 | |
| | 8 | 33.2 | 24.9 | 72.0 | 2555 | 7395 | 104 | 7499 | 47698 | 8 | |
| | 7 | 50.0 | 41.6 | 121.0 | 2478 | 7186 | 175 | 7361 | 40199 | 7 | |
| | 6 | 71.5 | 60.7 | 176.0 | 2357 | 6836 | 255 | 7091 | 32838 | 6 | |
| | 5 | 97.0 | 84.2 | 245.0 | 2181 | 6325 | 355 | 6680 | 25747 | 5 | |
| | 4 | 123.5 | 110.2 | 320.0 | 1936 | 5615 | 465 | 6080 | 19067 | 4 | |
| | 3 | 155.0 | 139.2 | 404.0 | 1616 | 4686 | 583 | 5269 | 12987 | 3 | |
| | 2 | 189.0 | 177.0 | 512.0 | 1212 | 3515 | 743 | 4258 | 7718 | 2 | |
| | 1 | 234.0 | 211.5 | 700.0 | 700 | 2310 | 1150 | 3460 | 3460 | 1 | |
| CORRECCION | 10 | 8.3 | 8.3 | 24.0 | 1734 | 5029 | 35 | 5064 | 38629 | 10 | CORRECCION |
| | 9 | 18.0 | 18.0 | 52.0 | 1710 | 4959 | 76 | 5035 | 33565 | 9 | |
| | 8 | 27.9 | 27.9 | 81.0 | 1658 | 4008 | 117 | 4925 | 28530 | 8 | |
| | 7 | 40.1 | 40.1 | 116.0 | 1577 | 4573 | 168 | 4741 | 23605 | 7 | |
| | 6 | 53.0 | 53.0 | 154.0 | 1471 | 4137 | 223 | 4360 | 18864 | 6 | |
| | 5 | 66.0 | 66.0 | 191.0 | 1307 | 3790 | 278 | 4063 | 14504 | 5 | |
| | 4 | 78.7 | 78.7 | 228.0 | 1116 | 3236 | 330 | 3566 | 10436 | 4 | |
| | 3 | 90.0 | 90.0 | 260.0 | 888 | 2576 | 375 | 2951 | 6870 | 3 | |
| | 2 | 99.8 | 99.8 | 289.0 | 628 | 1821 | 419 | 2240 | 3919 | 2 | |
| | 1 | 102.7 | 102.7 | 339.0 | 339 | 1119 | 560 | 1679 | 1679 | 1 | |
| Δ | 24114 | 21863 | 19168 | 16594 | 13974 | 11243 | 18631 | 6117 | 3799 | 1739 | Δ |
| Δ_i | 19006 | 16893 | 14709 | 12455 | 10162 | 7872 | 5655 | 3612 | 1867 | 591 | Δ_i |
| N | 10 | 9 | 8 | 7 | 6 | 5 | 4 | 3 | 2 | 1 | N |

(312)

MOMENTOS VIGAS PORTICO : B M. MATRICIAL 1er. CASO



MOMENTOS. COLUMNAS PORTICO B M. MATRICIAL 1er. CASO



A N A L I S I S S I S M I C O

D I R E C C I O N N - S

MATRIZ DE RIGIDEZ. METODO MATRICIAL. SEGUNDO CASO

| | | | | | | | | | |
|---------------------|---------------------|---------------------|---------------------|---------------------|---------------------|---------------------|---------------------|---------------------|---------------------|
| 1.23×10^8 | -8.77×10^7 | 3.64×10^7 | -9.76×10^6 | 2.61×10^6 | -7.00×10^5 | 1.87×10^5 | -5.00×10^4 | 1.25×10^4 | -2.08×10^3 |
| -8.77×10^7 | 1.15×10^8 | -8.62×10^7 | 3.60×10^7 | -9.65×10^6 | 2.58×10^6 | -6.93×10^5 | 1.84×10^5 | -4.61×10^4 | 7.69×10^3 |
| 3.64×10^7 | -8.62×10^7 | 1.15×10^8 | -8.61×10^7 | 3.60×10^7 | -9.64×10^6 | 2.58×10^6 | -6.89×10^5 | 1.72×10^5 | -2.87×10^4 |
| -9.76×10^6 | 3.60×10^7 | -8.61×10^7 | 1.15×10^8 | -8.61×10^7 | 3.60×10^7 | -9.64×10^6 | 2.57×10^6 | -6.43×10^5 | 1.07×10^5 |
| 2.61×10^6 | -9.65×10^6 | 3.60×10^7 | -8.61×10^7 | 1.15×10^8 | -8.61×10^7 | 3.60×10^7 | -9.60×10^6 | 2.40×10^6 | -3.99×10^5 |
| -7.00×10^5 | 2.58×10^6 | -9.65×10^6 | 3.60×10^7 | -8.61×10^7 | 1.15×10^8 | -8.61×10^7 | 3.58×10^7 | -8.95×10^6 | 1.49×10^6 |
| 1.87×10^5 | -6.93×10^5 | 2.58×10^6 | -9.64×10^6 | 3.60×10^7 | -8.61×10^7 | 1.15×10^8 | -8.54×10^7 | 3.34×10^7 | -5.57×10^6 |
| -5.00×10^4 | 1.84×10^5 | -6.89×10^5 | 2.57×10^6 | -9.60×10^6 | 3.58×10^7 | -8.54×10^7 | 1.13×10^8 | -7.65×10^7 | 2.08×10^7 |
| 1.25×10^4 | -4.61×10^4 | 1.72×10^5 | -6.43×10^6 | 2.40×10^6 | -8.95×10^6 | 3.34×10^7 | -7.65×10^7 | 7.95×10^7 | -2.93×10^7 |
| -2.08×10^3 | 7.69×10^3 | -2.87×10^4 | 1.07×10^5 | -3.99×10^5 | 1.49×10^6 | -5.57×10^6 | 2.08×10^7 | -2.93×10^7 | 1.29×10^7 |

ANALISIS SISMICO DIRECCION N - S
 RESULTADOS METODO MATRICIAL . SEGUNDO CASO

| N | $\phi_i \times 10^{-6}$ | $Y_i \times 10^{-4}$ | RM | EP | CM | VM | MS | MI | N |
|----|-------------------------|----------------------|------|--------|--------|---------|----------|----------|----|
| 10 | 194.26 | 40.76 | 7.90 | 5.309 | 42.240 | 42.240 | 0 | 7.90 | 10 |
| 9 | 193.27 | 35.13 | 8.83 | -0.755 | 21.805 | 64.046 | -114.59 | - 105.76 | 9 |
| 8 | 190.29 | 29.55 | 8.69 | -0.117 | 18.947 | 82.994 | -291.49 | - 282.80 | 8 |
| 7 | 184.21 | 24.09 | 8.57 | 0.992 | 15.747 | 98.741 | -523.48 | - 514.91 | 7 |
| 6 | 174.38 | 18.86 | 8.26 | -0.156 | 14.696 | 113.438 | -801.26 | - 793.00 | 6 |
| 5 | 160.14 | 13.98 | 7.58 | -0.529 | 12.759 | 126.197 | -1121.97 | -1114.38 | 5 |
| 4 | 140.91 | 9.57 | 7.35 | 0.011 | 9.758 | 135.955 | -1480.36 | -1473.00 | 4 |
| 3 | 116.18 | 5.81 | 6.24 | -1.058 | 8.508 | 144.463 | -1867.27 | -1861.03 | 3 |
| 2 | 85.56 | 2.83 | 4.59 | -1.068 | 6.048 | 150.512 | -2279.98 | -2275.38 | 2 |
| 1 | 25.61 | 0.84 | 1.36 | -1.341 | 4.021 | 154.533 | -2711.87 | -2710.51 | 1 |

(316)

CORTANTE EN LA BASE = 154.53 TON.

MOMENTO EN LA BASE = -32.20.47 TON-M.

II CASO METODO MATRICIAL. COMPROBACION DE GIROS

| N | M | M/EI x 10 ⁻⁶ | Medianax2 | AREAS | θ x 10 ⁻⁶ | 0 x 10 ⁻⁶ | N |
|----|---------|-------------------------|----------------|----------------|----------------------|----------------------|----|
| 10 | - 7.90 | - 0.04 | | 0.78 | 197.71 | 194.26 | 10 |
| 9 | 105.76 | 0.54 | 1.53 | 1.11 | 196.83 | 193.37 | 9 |
| 8 | 282.80 | 0.99 1.44 | 2.43 3.47 | 1.77 2.52 | 195.72 193.95 | 190.29 | 8 |
| 7 | 514.91 | 2.03 2.63 | 4.66 5.97 | 3.36 4.32 | 191.43 188.07 | 184.21 | 7 |
| 6 | 793.00 | 3.34 4.05 | 7.39 8.90 | 5.35 6.45 | 183.75 178.40 | 174.38 | 6 |
| 5 | 1114.38 | 4.85 5.66 | 10.51 12.23 | 7.61 8.86 | 171.95 164.34 | 160.14 | 5 |
| 4 | 1473.00 | 6.57 7.48 | 14.05 15.97 | 10.20 11.55 | 155.48 145.28 | 140.91 | 4 |
| 3 | 1861.03 | 8.49 9.50 | 17.99 20.05 | 13.03 14.50 | 133.73 120.70 | 116.18 | 3 |
| 2 | 2275.38 | 10.55 11.60 | 22.15 24.30 | 16.05 17.65 | 106.20 90.15 | 85.56 | 2 |
| 1 | 2710.51 | 12.70 13.80 | 26.50 28.90 | 19.20 23.80 | 72.50 53.30 | 25.61 | 1 |
| 0 | 3220.47 | 15.10 16.40 | 31.50 0 | 29.50 | 29.50 | | |

Al igual que en el primer caso, los valores M son los valores de momentos en el eje del muro equivalente de la estructura, y se han determinado con el uso de PROGRAMA FORTRAN.

El valor EI es aproximadamente 196.22×10^6 Ton/m².

NOTA.- Area 10 - 9 vale aproximadamente $0.54 \times 2.90/2 = 0.78$

CORTES QUE TOMAN LOS MUROS

Repartimos el corte que toma el muro equivalente proporcionalmente a sus inercias.

$$I_{AS} = 1.2317 \text{ m}^4$$

$$I_L = 41.6745 \text{ m}^4$$

$$\delta_L = 41.7745/84.5807 = 0.492$$

$$\delta_A = 0.6158/84.5807 = 0.008 \quad (\text{Se ha tomado la mitad de la inercia para tener valores en Pórtico C ó D}).$$

| N | V _{MUROS} | V _{LATERAL} | V _{AS EJE C} | V _{AS} |
|----|--------------------|----------------------|-----------------------|-----------------|
| 10 | 42.241 | 20.782 | 0.338 | 0.677 |
| 9 | 64.046 | 31.511 | 0.512 | 1.024 |
| 8 | 82.994 | 40.823 | 0.674 | 1.348 |
| 7 | 98.742 | 48.581 | 0.780 | 1.580 |
| 6 | 113.438 | 55.811 | 0.908 | 1.816 |
| 5 | 126.199 | 62.088 | 1.012 | 2.023 |
| 4 | 135.355 | 66.889 | 1.088 | 2.177 |
| 3 | 144.463 | 70.074 | 2.157 | 4.315 |
| 2 | 150.512 | 74.051 | 1.205 | 2.410 |
| 1 | 154.533 | 76.018 | 1.248 | 2.497 |

Los momentos de oposición para el ascensor son los mismos del eje equivalente, ya que las placas laterales en este caso funcionan como volado.

| N | TOTAL | | EJE C ó D | |
|----|-------|--------|-----------|--------|
| | M | MAC. | M | MAC. |
| 10 | 7.900 | 7.900 | 3.950 | 3.950 |
| 9 | 8.830 | 16.730 | 4.410 | 8.360 |
| 8 | 8.690 | 25.420 | 4.350 | 12.710 |
| 7 | 8.570 | 33.990 | 4.280 | 16.990 |
| 6 | 8.260 | 42.250 | 4.130 | 21.120 |
| 5 | 7.580 | 49.830 | 3.790 | 24.910 |
| 4 | 7.350 | 57.180 | 3.670 | 28.580 |
| 3 | 6.240 | 63.420 | 3.120 | 31.700 |
| 2 | 4.590 | 68.010 | 2.290 | 33.990 |
| 1 | 1.360 | 69.370 | 0.680 | 34.670 |

DISTRIBUCION DE FUERZAS Y CORTES (M.M) EN PORTICOS

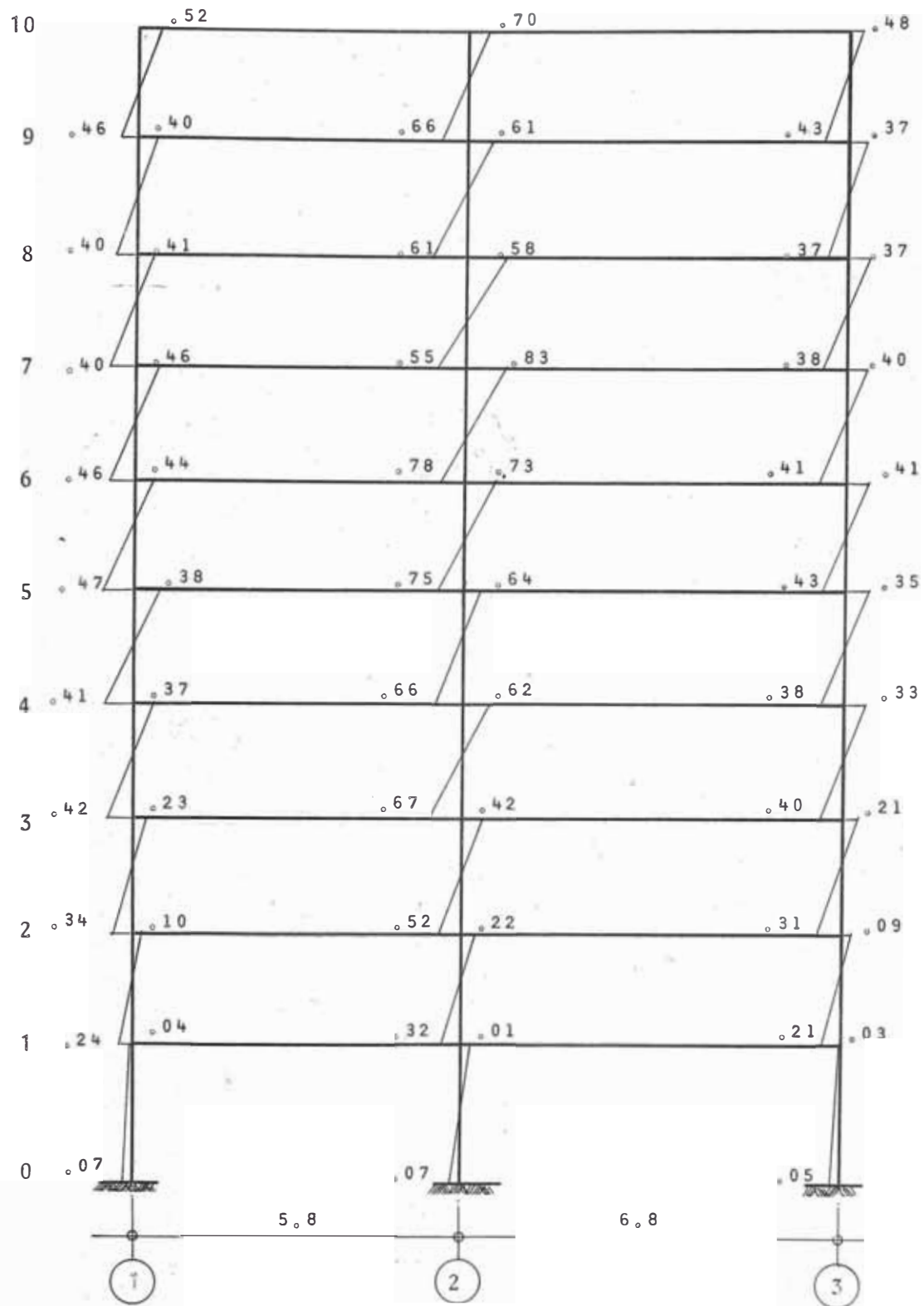
PORTICO B

| N | F. TOTAL | α | F | V | N |
|----|----------|----------|---------|--------|----|
| 10 | 28.9904 | .1476 | 4.2801 | 4.2801 | 10 |
| 9 | - 3.0755 | .1536 | -0.4725 | 3.8076 | 9 |
| 8 | - 0.4268 | .1610 | -0.0688 | 3.7388 | 7 |
| 7 | +15.0198 | .1692 | 2.5423 | 6.2811 | 7 |
| 6 | - 2.1159 | .1783 | -0.3773 | 5.9038 | 6 |
| 5 | - 1.8301 | .1812 | -0.3317 | 5.5721 | 5 |
| 4 | 3.1606 | .1728 | 0.5463 | 6.1184 | 4 |
| 3 | - 7.6539 | .1828 | -1.3994 | 4.7190 | 3 |
| 2 | - 6.6198 | .1729 | -1.1449 | 3.5741 | 2 |
| 1 | -14.1089 | .2215 | -3.1259 | 0.4482 | 1 |

PORTICO C (COLUMNAS)

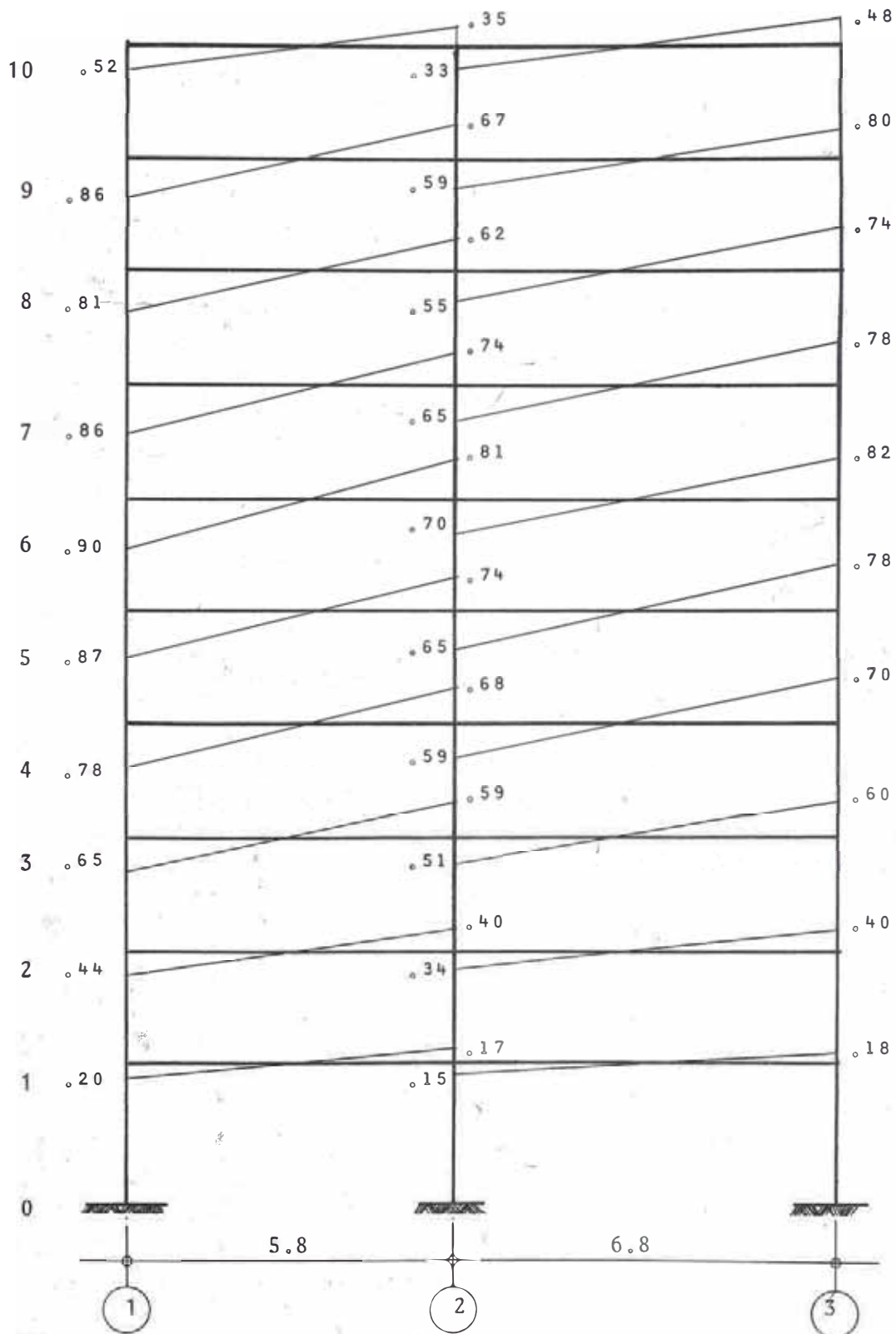
| N | F. TOTAL | α | F | V | N |
|----|----------|----------|---------|--------|----|
| 10 | 28.9904 | .1958 | 5.6786 | 5.6786 | 10 |
| 9 | - 3.0755 | .1643 | -0.5053 | 5.1733 | 9 |
| 8 | - 0.4268 | .1986 | -0.0085 | 5.1648 | 8 |
| 7 | 15.0198 | .1375 | 2.0649 | 7.2297 | 7 |
| 6 | - 2.1159 | .1435 | -0.3036 | 6.9261 | 6 |
| 5 | - 1.8301 | .1142 | -0.2090 | 6.7171 | 5 |
| 4 | 3.1606 | .1515 | 0.4789 | 7.1960 | 4 |
| 3 | - 7.6539 | .1558 | -1.1925 | 6.0035 | 3 |
| 2 | - 6.6198 | .1576 | -1.0436 | 4.9599 | 2 |
| 1 | -14.1089 | .1271 | -0.1793 | 4.7806 | 1 |

(M. MATRICIAL 2DO. CASO) MOM. COLUMNAS PORTICO B



MOMENTOS VIGAS PORTICO B M. MATRICIAL

SEGUNDO CASO



CONCLUSIONES METODO MATRICIAL

PRIMER CASO

Comparemos los ángulos de giro del modelo placa con cada uno de los muros :

| N | $\times 10^{-6}$ ϕ Inicial | $\times 10^{-6}$ ϕ M. Equivalente | $\times 10^{-6}$ ϕ M. Lateral | $\times 10^{-6}$ ϕ M. Ascensor | N |
|----|---------------------------------------|--|--|---|----|
| 10 | 728.80 | 582.67 | 706.91 | 337.10 | 10 |
| 9 | 740.85 | 617.67 | 737.37 | 382.10 | 9 |
| 8 | 765.20 | 662.17 | 777.37 | 448.30 | 8 |
| 7 | 784.12 | 700.40 | 800.17 | 515.00 | 7 |
| 6 | 790.17 | 726.55 | 814.42 | 270.20 | 6 |
| 5 | 776.97 | 734.80 | 810.35 | 607.70 | 5 |
| 4 | 734.45 | 712.80 | 776.20 | 615.50 | 4 |
| 3 | 653.12 | 651.00 | 702.00 | 585.60 | 3 |
| 2 | 520.88 | 535.80 | 564.00 | 503.40 | 2 |
| 1 | 179.14 | 343.50 | 357.00 | 344.00 | 1 |

Los valores de comprobación para la placa equivalente y la del ascensor conforme aumentan los niveles se diferencian más de los valores iniciales, en cambio para el muro lateral los valores si se parecen a excepción del primer nivel.

SEGUNDO CASO

Los valores de corte y momentos de flexión para el muro equivalente son similares a los hallados en el método de Diferencias Finitas en el el segundo caso, por lo que no se ha seguido analizando.

Con la flexibilidad de las placas no se logran resultados correctos. Las placas laterales toman el mayor corte, la placa del ascensor toma muy poco corte.

M E T O D O D E F A Z L U R R. K H A N

E X P O S I C I O N G E N E R A L

El método consiste en dar un procedimiento adecuado para encontrar los desplazamientos de piso a piso del edificio y luego por distribución de momentos, determinar los esfuerzos correspondientes a cada uno de los miembros.

Se supone que toda la edificación se puede representar en un esquema que conste de dos sistemas.

- a).- El Sistema " W " : Que comprende la placa o conjunto de placas en la estructura y
- b).- El Sistema " F " : Que incluye todos los demás elementos: columnas, vigas y losas que contribuyen a la rigidez lateral.

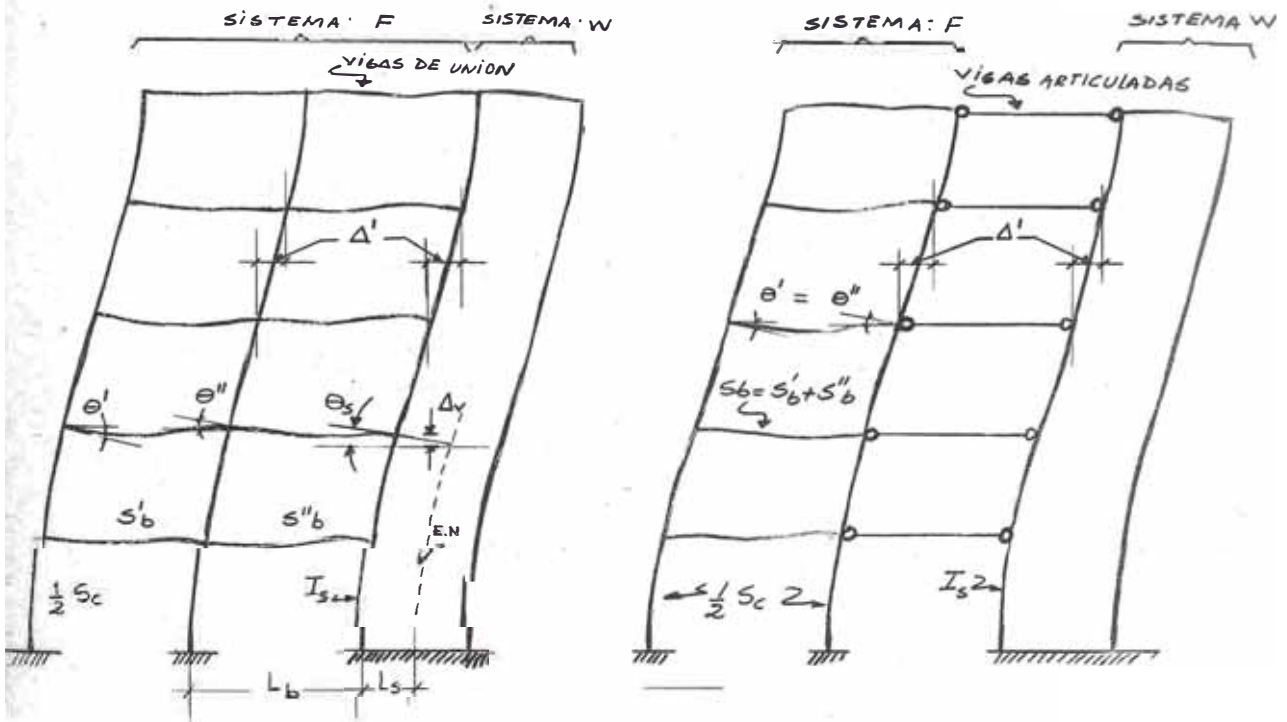
Se debe aclarar, que para el sistema " W ", su momento de inercia en un piso es igual a la suma de los momentos de inercia de todos los muros del piso sin importar ni su forma, ni su tamaño. Serán incluidos en el cálculo promedio de (L_W) la distancia del eje neutro del sistema " W " a su fibra extrema.

Las rigideces de las columnas, vigas y vigas de unión $(S_C; S_b' ; S_b'')$, son simplemente la suma de las rigideces de todos estos miembros en el piso considerado. La luz de la viga de unión del sistema " F " ; (L_b) es el promedio de las luces de todas las vigas de unión de la estructura, siempre y cuando estos valores sean del mismo orden de magnitud. Este es el sistema idealizado continuo.

M E T O D O D E F U Z L E R R . K H A N

En nuestro caso se resuelve el problema; mediante la simplificación adicional posterior, pero igualmente válida, que se logra sumando las rigideces de las vigas de unión y las rigideces de las otras vigas del sistema " F " , o sea :

$$S_b = S_b' + S_b'' \text{ -----}$$



(a).- Estructura idealizada

(b).- Estructura idealizada simplificada.

FIGURA (4.1)

Los dos sistemas se mantienen unidos por elementos que pueden transmitir únicamente : "FUERZAS LATERALES" ya que están articuladas en sus extremos.

M E T O D O D E F A Z L U R R. K H A N

Las longitudes de la viga " L_b " y de la plaza " L_w " ya no se necesitan luego de esta simplificación.

"El presente método divide el análisis en dos etapas, "En la primera de ellas, se determina la deformación final de la estructura usando una simplificación y la distribución del cortante entre el pórtico y placa."

"En la segunda etapa se aplica esta deformación a todos y cada uno de los pórticos de la estructura real, resolviendo por un proceso de distribución cualquiera para determinar los momentos y cortes de todos los elementos."

PRIMERA ETAPA DEL ANALISIS

Con la simplificación mencionada, se determina la deformación de la estructura, a partir de ella; el procedimiento " ITERATIVO ", que se sigue es el siguiente :

PASO I : Se halla el valor " Δ_{fi} " ; o sea la deformada de la placa; considerándola, como " Libre Voladizo " ; bajo la acción de los CORTES TOTALES (V_T).

El procedimiento recomendable propuesto es Newmark.

Se realizará para los dos casos

Luego Tenemos

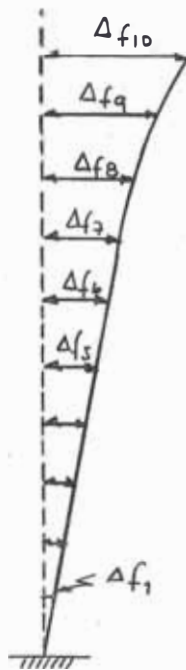
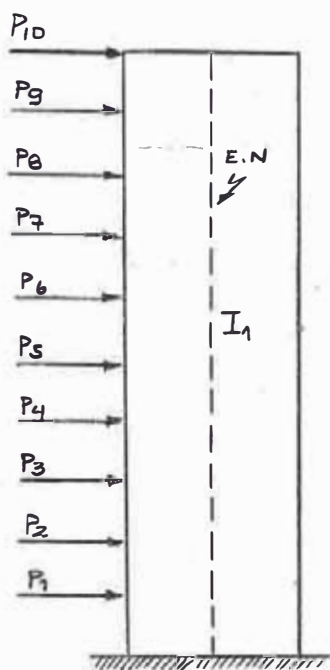
M E T O D O D E F A Z L U R R . K H A N

ANALISIS SISMICO

DIRECCION (0 - E)

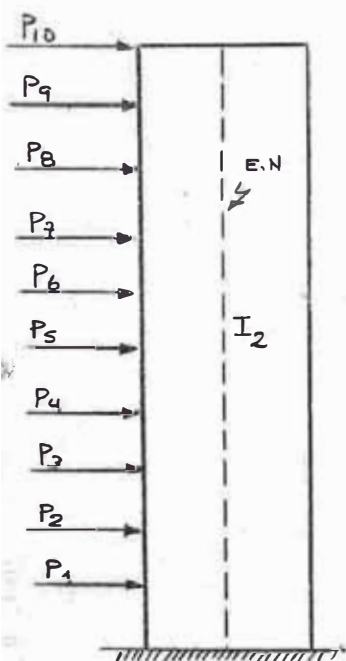
C A S O : I

$\Sigma I_1 = 1.9617 \times 10^8 \text{ cm}^4$; $E = 2.32 \times 10^2 \text{ Tn/cm}^2$



| P_i | $\Delta f_i \times E$ | N |
|-------|-----------------------|----|
| 49.43 | 4,594.317 | 10 |
| 21.98 | 3,955.143 | 9 |
| 19.69 | 3,322.570 | 8 |
| 17.40 | 2,705.428 | 7 |
| 15.24 | 2,114.997 | 6 |
| 12.81 | 1,564.720 | 5 |
| 10.25 | 1,069.932 | 4 |
| 7.82 | 647.556 | 3 |
| 5.26 | 315.793 | 2 |
| 2.83 | 93.812 | 1 |

C A S O : II $\Sigma I_2 = 4.7248 \times 10^8 \text{ cm}^4$; $E = 2.32 \times 10^2 \text{ Tn/cm}^2$



| P_i | $\Delta f_i \times E$ | N |
|-------|-----------------------|----|
| 49.43 | 1,907.547 | 10 |
| 21.98 | 1,642.144 | 9 |
| 19.69 | 1,379.505 | 8 |
| 17.40 | 1,123.273 | 7 |
| 15.24 | 878.130 | 6 |
| 12.81 | 649.659 | 5 |
| 10.25 | 444.227 | 4 |
| 7.82 | 268.860 | 3 |
| 5.26 | 131.114 | 2 |
| 2.83 | 38.950 | 1 |

M E T O D O D E F A Z L U R R. K H A N

PASO II : Teniendo la deformada libre del muro (Δ_{fi}); como primera aproximación, se asume que es igual a la deformada de la estructura (final). O sea diremos $\rightarrow \Delta_{fi} = \Delta_{ii}(1)$.

Lógicamente que la convergencia será muy lenta. Se procede de la siguiente manera :

IIa).- Como se está asumiendo que la deformada libre (Δ_{fi}); es la correspondiente a la final; se deberá aplicar al pórtico (Sistema " F "). Calculando de esta manera, los momentos de empotramientos originados por los desplazamientos relativos; piso a piso; usando la siguiente expresión : (En las columnas únicamente se entiende).

$$M = (6E I_i/h_i^2) \delta_i ; \delta_i = \Delta_i - \Delta_{i-1}$$

IIb).- Teniendo los momentos de empotramiento; se distribuye por cualquier proceso conocido y se calcula los cortes en las columnas de cada entre piso. Seguidamente calcular las " REACCIONES " del sistema " F " sobre el sistema " W " (Fig. 4.2), transmitida por las vigas de unión articuladas. Es interesante señalar, que si la deformada aplicada a la estructura (supuesta final); fuese realmente la que obtiene después del proceso ITERATIVO las cortantes calculadas en este paso para el sistema " F " , serían realmente las que tomaría el pórtico (Es decir todas las columnas de la estructura).

IIc).- Aplicar estas " REACCIONES " al sistema " W " ; aisladamente. El signo de estas fuerzas puede ser cualquiera de las dos; y se debe tener cuidado en no equivocarse.

M E T O D O D E F A Z L U R R . K H A N

Calcular la deformación de corrección de la placa (Δ_{ai}) que serán negativas. Las deformaciones netas del sistema "W" descargado con respecto a la forma original (línea vertical), sería por consiguiente la suma algebraica de Δ_{fi} y Δ_{ai} .

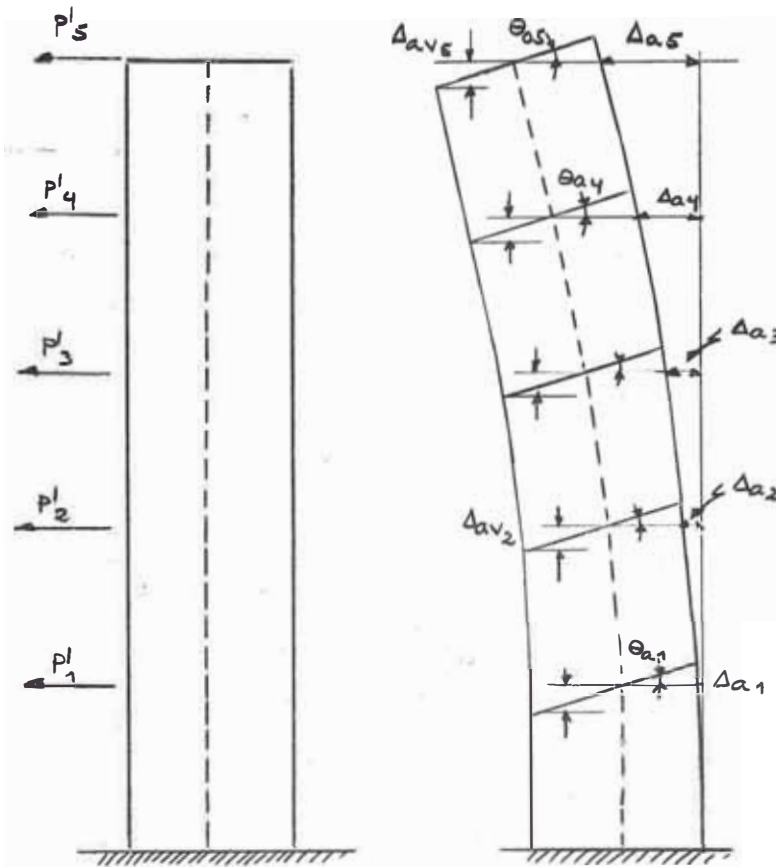


FIGURA (4.2)

Estas serán las finales del ciclo " PRIMERO DE ITERACION "

$$\Delta_{ei}(1) = \Delta_{fi} - \Delta_{ai}(1)$$

En general la deformación final de un ciclo cualquiera " n " será :

$$\Delta_{ei}(n) = \Delta_{fi}(n) - \Delta_{ai}(n) \text{ ----- } (\alpha)$$

Aquí termina un ciclo de iteración.

El proceso termina cuando estas deformaciones finales son iguales ó parecidas; dentro de un rango de precisión que se fija de antemano a las introducidas al sistema " F " en el paso (IIa). Es decir se está verificando que la deformación asumida como la final de la estructura es realmente esa.

Físicamente este paso se puede interpretar como la compactibilidad de deformaciones entre el pórtico del sistema " F " y la placa del sistema " W " ya que se parte de asumir para el pórtico una deformación final y se verifica para la placa si le corresponde ó no. Al terminar cuando ambas deformaciones son parecidas lo que se hace no es otra cosa que igualarlas.

PASO III.- En el caso de que las deformaciones inicial y final de un ciclo no sean iguales ó también lo que sucede en nuestro caso al finalizar el primer ciclo $\Delta_{ei(1)}$ es negativo, lo que nos indica que la iteración es divergente es necesario iniciar otros ciclos.

Para ello se puede proceder de las siguientes maneras en el caso de que no sean iguales pero positivas se toma las deformaciones finales del ciclo anterior y se prosigue el proceso. Por lo general la convergencia en esos casos es demasiado lenta. Por lo siguiente es en estos casos; como también cuando $\Delta_{ei(1)}$ es negativa; el autor propone una fórmula de convergencia para determinar las deformaciones del ciclo (n+1)

M E T O D O D E F A Z L U R R. K H A N

Esta corrección está basada en la hipótesis de que en " Cada ciclo; el movimiento del sistema " W " con respecto a su deformada libre en cada piso, es linealmente proporcional al movimiento del sistema " F " con respecto a la vertical. Su expresión es la siguiente

$$\Delta_{ii}(n+1) = \Delta_{ii}(n) + \frac{\Delta_{ei}(n) - \Delta_{ii}(n)}{1 + \left[\frac{\Delta_{fi} - \Delta_{ei}(n)}{\Delta_{ii}(n)} \right]} \text{ ----- } (\beta)$$

De donde : Δ_{fi} = Deformada libre de la placa baja (P_i)

$\Delta_{ei}(n)$ = $\Delta_{fi} - \Delta_{ai}(n)$ = Deformada final de la placa.

$\Delta_{ai}(n)$ = Deformada de corrección de la placa.

$\Delta_{ii}(n)$ = Deformada inicial; que se le dá al pórtico.

Para $n = 1$ (1ra. ITERACION) $\Delta_{ii}(1) = \Delta_{fi}$

En nuestro caso Con todos estos valores calculamos el valor de

$\Delta_{ii}(n+1)$ → Para la 2da. ITERACION

O sea → $\Delta_{ii}(2)$; y esta deformación^{es} la que se le dá al sistema

" F " (Pórtico); siguiendo todo el proceso conocido, calculamos

$\Delta_{ai}(2)$ y como tenemos Δ_{fi} hallamos :

$\Delta_{ei}(2) = \Delta_{fi} - \Delta_{ai}(2)$ la cual deberá parecerse a $\Delta_{ii}(2)$;

si no sucede así con los valores $\Delta_{ei}(2)$; $\Delta_{ii}(2)$; Δ_{fi} ; mediante

(β) calculamos → $\Delta_{ii}(3)$ y se sigue todo el proceso hasta llegar en " n " iteraciones que :

$\Delta_{ii}(n)$ $\Delta_{ei} \text{ n}$

Deformada inicial Deformada final

(Pórtico)

(Placa)

M E T O D O D E F A Z L U R R. K H A N

La expresión (β); es susceptible a aceptar simplificaciones y su forma reducida (una de ellas) sería ;

$$\Delta_{ii}(n+1) = \frac{\Delta_{ii}}{1 + \frac{\Delta_{ai}(n)}{\Delta_{ii}(n)}} \quad \text{----- (...)}$$

El desarrollo del método que se ha resumido ha sido hecho en base a considerar la estructura simplificada cuyas vigas " ESLABON " están articuladas al sistema " W " . El procedimiento general; sin embargo considera estos elementos como continuos. Por ello el análisis del sistema " F " se complica y también el del sistema " W ", en cuanto al cálculo de deformaciones se refiere, pues es necesario considerar los desplazamientos verticales en los puntos de contacto; así como los giros para calcular los momentos debidos a este efecto y a partir de allí las deformaciones de corrección. " El Profesor Khan considera que los resultados debidos a estos dos simplificados es esencialmente el mismo desde el punto de vista del ingeniero " A continuación se presenta las diferentes iteraciones (I-10, II-6); hasta conseguir la convergencia, siguiendo el proceso explicado en los Pasos II y III.

M E T O D O D E F A Z L U R R. K H A N

ANALISIS SISMICO DIRECCION (0 - E)

C A L C U L O D E S_{Ci} ; S_{bi} (K_{Vi}) Considerando $S_{bi} = S'_{bi} + S''_{bi}$

| N | E J E : 1 | | E J E : 2 | | E J E : 2' | E J E : 3 | | C_i | V I G A S | | | K_{Vi} | N |
|----|---------------------|---------------|---------------|---------------|---------------|---------------------|---------------|----------|-----------------|---|--------|----------|----|
| | C_i A, B, E, F | C_i C, D | C_i A, F | C_i B, E | C_i C, D | C_i A, B, E, F | C_i C, D | S_{Ci} | C R U J I A S | | | S_{bi} | |
| 10 | 550 | 194 | 950 | 550 | 390 | 550 | 194 | 8,960 | AB ₁ | = | 960 | 13,530 | 10 |
| 9 | 550 | 194 | 950 | 550 | 390 | 550 | 194 | 8,960 | BC ₁ | = | 960 | 13,530 | 9 |
| 8 | 550 | 194 | 950 | 550 | 390 | 550 | 194 | 8,960 | CD ₁ | = | 800 | 13,530 | 8 |
| 7 | 1,440 | 460 | 950 | 1,440 | 390 | 1,440 | 460 | 18,920 | DE ₁ | = | 960 | 13,530 | 7 |
| 6 | 1,440 | 460 | 950 | 1,440 | 390 | 1,440 | 460 | 18,920 | EF ₁ | = | 960 | 13,530 | 6 |
| 5 | 1,440 | 460 | 950 | 1,440 | 390 | 1,440 | 460 | 18,930 | AB ₃ | = | 960 | 13,530 | 5 |
| 4 | 2,480 | 550 | 950 | 2,480 | 390 | 2,480 | 550 | 29,680 | BC ₃ | = | 960 | 13,530 | 4 |
| 3 | 2,480 | 550 | 950 | 2,480 | 390 | 2,480 | 550 | 29,680 | CD ₃ | = | 800 | 13,530 | 3 |
| 2 | 2,480 | 550 | 950 | 2,480 | 390 | 2,480 | 550 | 29,680 | DE ₃ | = | 960 | 13,530 | 2 |
| 1 | 2,180 | 485 | 835 | 2,180 | 343 | 2,180 | 485 | 26,100 | EF ₃ | = | 960 | 13,530 | 1 |
| | | | | | | | | | AB ₂ | = | 960 | | |
| | | | | | | | | | BC ₂ | = | 1,010 | | |
| | | | | | | | | | DE ₂ | = | 1,010 | | |
| | | | | | | | | | EF ₂ | = | 980 | | |
| | | | | | | | | | CD ₂ | = | 270 | | |
| | | | | | | | | | Σ | = | 13,530 | 13,530 | |

(331)

NOTA.- Las unidades son cms³.

M E T O D E F A Z L U R R. K H A NP R I M E R A I T E R A C I O N :

C A S O I : $I_1 = 1.9617 \times 10^8 \text{ cm}^4$

$$E = 2.32 \times 10^2 \text{ Tn/cm}^2$$

$$\Delta_{ii} = \text{Cms.}$$

| | Paso I | Paso II | Paso III | |
|----|-----------------------|--------------------------|------------------|----|
| N | $\Delta_{fi} \cdot E$ | $\Delta_{ai(1)} \cdot E$ | $\Delta_{ii(2)}$ | N |
| 10 | 4594.317 | 20295.548 | 3.655 | 10 |
| 9 | 3955.143 | 17259.587 | 3.178 | 9 |
| 8 | 3322.570 | 14287.883 | 2.702 | 8 |
| 7 | 2705.428 | 11437.771 | 2.230 | 7 |
| 6 | 2114.997 | 8764.560 | 1.772 | 6 |
| 5 | 1564.720 | 6339.201 | 1.335 | 5 |
| 4 | 1069.932 | 4227.992 | 0.931 | 4 |
| 3 | 647.556 | 2488.069 | 0.576 | 3 |
| 2 | 315.793 | 1175.614 | 0.288 | 2 |
| 1 | 93.812 | 336.798 | 0.088 | 1 |

Como se podrá ver que $\Delta_{ei(1)} = \Delta_{fi} - \Delta_{ai(1)} = \text{NEGATIVO}$

Se tiene que emplear la expresión " β " y calculamos " $\Delta_{ii(2)}$ " la cual será la deformada inicial; a la que se someterá el sistema " F " ; para realizar " SEGUNDA ITERACION " ; si la deformada final; al terminar el segundo ciclo, se asemeja a " $\Delta_{ii(2)}$ "; habremos de concluído el proceso. Porque se está comprobando que: deformada del Sistema "F" se asemeja a la deformada del sistema " W " .

M E T O D O D E F A Z L U R R. K H A N

S E G U N D A I T E R A C I O NC A S O I

| | Paso I | | Paso II | Paso III | | |
|----|-----------------------|--------------|-----------------|-----------------|-----------------|----|
| N | $\Delta f_i \times E$ | Δf_i | $\Delta a_i(2)$ | $\Delta e_i(2)$ | $\Delta i_i(3)$ | N |
| 10 | 4594.317 | 19.785 | 18.208 | 1.577 | 3.310 | 10 |
| 9 | 3955.143 | 17.041 | 15.528 | 1.513 | 2.896 | 9 |
| 8 | 3322.570 | 14.285 | 12.898 | 1.387 | 2.480 | 8 |
| 7 | 2705.428 | 11.665 | 10.365 | 1.300 | 2.065 | 7 |
| 6 | 2114.997 | 9.108 | 7.974 | 1.134 | 1.657 | 6 |
| 5 | 1564.720 | 6.732 | 5.791 | 0.941 | 1.263 | 5 |
| 4 | 1069.932 | 4.604 | 3.876 | 0.728 | 0.893 | 4 |
| 3 | 647.556 | 2.781 | 2.286 | 0.495 | 0.561 | 3 |
| 2 | 315.793 | 1.360 | 1.081 | 0.279 | 0.286 | 2 |
| 1 | 93.812 | 0.404 | 0.310 | 0.094 | 0.089 | 1 |

NOTA.- Los desplazamientos están en cms.

Como podemos ver al comparar

$$\Delta i_i(2) \quad \Delta e_i(2)$$

Vemos que la aproximación requerida (± 0.01 cms), está todavía lejana; la cual no lleva a seguir realizando varias " ITERACIONES ".

Mediante los valores conocidos: $\Delta i_i(2)$; Δf_i ; $\Delta a_i(2)$; $\Delta e_i(2)$

y la expresión " β " podemos calcular el valor de " $\Delta i_i(3)$ "

para realizar la " TERCERA ITERACION "

M E T O D O D E F A Z L U R R . K H A N

T E R C E R A I T E R A C I O N

C A S O I

| | Paso I | Paso II | Paso III | | | |
|----|--------------|-----------------|-----------------|-----------------|-----------------|----|
| N | Δf_i | $\Delta a_i(3)$ | $\Delta e_i(3)$ | $\Delta i_i(3)$ | $\Delta i_i(4)$ | N |
| 10 | 19.785 | 16.386 | 3.399 | 3.310 | 3.328 | 10 |
| 9 | 17.041 | 13.986 | 3.055 | 2.896 | 2.924 | 9 |
| 8 | 14.285 | 11.630 | 2.655 | 2.480 | 2.517 | 8 |
| 7 | 11.665 | 9.358 | 2.307 | 2.065 | 2.108 | 7 |
| 6 | 9.108 | 7.211 | 1.897 | 1.657 | 1.703 | 6 |
| 5 | 6.732 | 5.246 | 1.486 | 1.263 | 1.309 | 5 |
| 4 | 4.604 | 3.517 | 1.087 | 0.893 | 0.993 | 4 |
| 3 | 2.781 | 2.079 | 0.702 | 0.561 | 0.593 | 3 |
| 2 | 1.360 | 0.985 | 0.375 | 0.286 | 0.306 | 2 |
| 1 | 0.404 | 0.282 | 0.122 | 0.089 | 0.097 | 1 |

NOTA. - Los desplazamientos están en cms.

Como podemos ver al comparar :

$$\Delta i_i(3) \rightarrow \Delta e_i(3)$$

Vemos que se está aproximando; a la requerida (± 0.01 cms.)

Luego tenemos que realizar otras iteraciones .

Se calcula " Δi_i4 "; conociendo: $\Delta i_i(3)$; Δf_i ; $\Delta e_i(3)$ y empleando la expresión " β " ; para realizar : la " CUARTA ITERACION "

M E T O D O D E F A Z L U R R. K H A NCUARTA ITERACION :C A S O I

| | Paso I | Paso II | Paso III | | | |
|----|--------------|-----------------|-----------------|-----------------|-----------------|----|
| N | Δf_i | $\Delta a_i(4)$ | $\Delta e_i(4)$ | $\Delta i_i(4)$ | $\Delta i_i(5)$ | N |
| 10 | 19.785 | 16.397 | 3.388 | 3.328 | 3.341 | 10 |
| 9 | 17.041 | 14.004 | 3.037 | 2.924 | 2.945 | 9 |
| 8 | 14.285 | 11.654 | 2.631 | 2.517 | 2.544 | 8 |
| 7 | 11.665 | 9.386 | 2.279 | 2.108 | 2.138 | 7 |
| 6 | 9.108 | 7.240 | 1.868 | 1.703 | 1.736 | 6 |
| 5 | 6.732 | 5.273 | 1.459 | 1.309 | 1.341 | 5 |
| 4 | 4.604 | 3.541 | 1.063 | 0.933 | 0.962 | 4 |
| 3 | 2.781 | 2.095 | 0.686 | 0.593 | 0.616 | 3 |
| 2 | 1.360 | 0.994 | 0.366 | 0.306 | 0.320 | 2 |
| 1 | 0.404 | 0.285 | 0.119 | 0.097 | 0.102 | 1 |

NOTA.- Los desplazamientos están en cms.

Comparando $\Delta i_i(4) \approx \Delta e_i(4)$

Para la aproximación requerida es de (± 0.01 cms) ;

luego debemos de realizar más ITERACIONES.

Se calcula " $\Delta i_i(5)$ "; mediante la expresión " β " conociendo los valores de : $\Delta i_i(4)$; Δf_i ; $\Delta a_i(4)$; $\Delta e_i(4)$, luego podemos realizar la QUINTA ITERACION.

M E T O D O D E F A Z L U R. R. K H A N

C A S O : I

| | QUINTA ITERACION | | | | | SEXTA ITERACION | | | |
|----|------------------|-----------------|-----------------|-----------------|-----------------|-----------------|-----------------|-----------------|----|
| | Paso I | Paso II | Paso III | | | Paso II | Paso III | | |
| N | Δf_i | $\Delta a_i(5)$ | $\Delta e_i(5)$ | $\Delta i_i(5)$ | $\Delta i_i(6)$ | $\Delta a_i(6)$ | $\Delta e_i(6)$ | $\Delta i_i(7)$ | N |
| 10 | 19.785 | 16.407 | 3.378 | 3.341 | 3.350 | 16.416 | 3.369 | 3.356 | 10 |
| 9 | 17.041 | 14.019 | 3.022 | 2.941 | 2.959 | 14.031 | 3.010 | 2.969 | 9 |
| 8 | 14.285 | 11.673 | 2.612 | 2.544 | 2.562 | 11.687 | 2.598 | 2.575 | 8 |
| 7 | 11.665 | 9.407 | 2.258 | 2.138 | 2.170 | 9.422 | 2.243 | 2.174 | 7 |
| 6 | 9.108 | 7.262 | 1.846 | 1.736 | 1.759 | 7.278 | 1.830 | 1.774 | 6 |
| 5 | 6.732 | 5.294 | 1.438 | 1.341 | 1.363 | 5.308 | 1.424 | 1.378 | 5 |
| 4 | 4.604 | 3.558 | 1.046 | 0.962 | 0.981 | 3.570 | 1.034 | .994 | 4 |
| 3 | 2.781 | 2.107 | 0.674 | 0.616 | 0.631 | 2.116 | 0.665 | 0.641 | 3 |
| 2 | 1.360 | 1.001 | 0.359 | 0.320 | 0.330 | 1.005 | 0.355 | 0.336 | 2 |
| 1 | 0.404 | 0.287 | 0.117 | 0.102 | 0.106 | 0.289 | 0.115 | 0.108 | 1 |

NOTA.- Los desplazamientos están en cms.

M E T O D O D E F A Z L U R. R. K H A N

C A S O : I

| | SEPTIMA ITERACION | | | | | OCTAVA ITERACION | | | |
|----|-------------------|-----------------|-----------------|-----------------|-----------------|------------------|-----------------|-----------------|----|
| | Paso I | Paso II | Paso III | | | Paso II | Paso III | | |
| N | $\Delta \delta_i$ | $\Delta a_i(7)$ | $\Delta e_i(7)$ | $\Delta i_i(7)$ | $\Delta i_i(8)$ | $\Delta a_i(8)$ | $\Delta e_i(8)$ | $\Delta i_i(9)$ | N |
| 10 | 19.785 | 16.422 | 3.363 | 3.356 | 3.360 | 16.427 | 3.358 | 3.363 | 10 |
| 9 | 17.041 | 14.039 | 3.002 | 0.969 | 2.976 | 14.045 | 2.996 | 2.981 | 9 |
| 8 | 14.281 | 11.696 | 2.588 | 2.575 | 2.584 | 11.704 | 2.581 | 2.590 | 8 |
| 7 | 11.665 | 9.433 | 2.232 | 2.174 | 2.184 | 9.441 | 2.224 | 2.191 | 7 |
| 6 | 9.108 | 7.289 | 1.819 | 1.774 | 1.784 | 7.296 | 1.812 | 1.791 | 6 |
| 5 | 6.732 | 5.318 | 1.414 | 1.378 | 1.387 | 5.325 | 1.407 | 1.394 | 5 |
| 4 | 4.604 | 3.578 | 1.026 | 0.994 | 1.003 | 3.583 | 1.021 | 1.008 | 4 |
| 3 | 2.781 | 2.122 | 0.659 | 0.641 | 0.647 | 2.125 | 0.656 | 0.651 | 3 |
| 2 | 1.360 | 1.008 | 0.352 | 0.336 | 0.340 | 1.011 | 0.349 | 0.342 | 2 |
| 1 | 0.404 | 0.290 | 0.114 | 0.108 | 0.110 | 0.290 | 0.114 | 0.110 | 1 |

NOTA.- Los desplazamientos están en cms.

M E T O D O D E F A Z L U R R. K H A N

C A S O I

| NOVENA ITERACION | | | | | DECIMA ITERACION | | | | |
|------------------|---------------|------------------------|------------------|------------------|-------------------|-------------------|-------------------|-------------------|----|
| | Paso I | 8va. Iter. Paso III | Paso II | Paso III | | Paso II | Paso III | | |
| N | Δ_{fi} | $\Delta_{ii}(9)$ | $\Delta_{ai}(9)$ | $\Delta_{ei}(9)$ | $\Delta_{ii}(10)$ | $\Delta_{ai}(10)$ | $\Delta_{ei}(10)$ | $\Delta_{ii}(11)$ | N |
| 10 | 19.785 | 3.363 | 16.430 | 3.355 | 3.364 | 16.432 | 3.353 | 3.365 | 10 |
| 9 | 17.041 | 2.981 | 14.049 | 2.992 | 2.984 | 14.052 | 2.989 | 2.986 | 9 |
| 8 | 14.285 | 2.590 | 11.709 | 2.576 | 2.594 | 11.712 | 2.573 | 2.596 | 8 |
| 7 | 11.665 | 2.191 | 9.446 | 2.219 | 2.195 | 9.449 | 2.216 | 2.198 | 7 |
| 6 | 9.108 | 1.791 | 7.301 | 1.807 | 1.796 | 7.304 | 1.804 | 1.799 | 6 |
| 5 | 6.732 | 1.394 | 5.330 | 1.402 | 1.398 | 5.333 | 1.399 | 1.401 | 5 |
| 4 | 4.604 | 1.008 | 3.587 | 1.017 | 1.012 | 3.589 | 1.015 | 1.014 | 4 |
| 3 | 2.781 | 0.651 | 2.128 | 0.653 | 0.654 | 2.130 | 0.651 | 0.656 | 3 |
| 2 | 1.360 | 0.342 | 1.012 | 0.348 | 0.344 | 1.013 | 0.347 | 0.345 | 2 |
| 1 | 0.404 | 0.110 | 0.291 | 0.113 | 0.111 | 0.291 | 0.113 | 0.111 | 1 |

(338)

NOTA.- Los desplazamientos " Δ " están en cms.

M E T O D O D E F A Z L U R R. K H A NANALISIS SISMICO : DIRECCION (0 - E)R E S U M E N :C A S O : I

Podemos notar que; después de realizar la " Décima Iteración " ; encontramos :

| N | $\Delta i i(10)$ | $\Delta e i(10)$ | δ | N |
|----|------------------|------------------|----------|----|
| 10 | 3.364 | 3.353 | 0.011 | 10 |
| 9 | 2.984 | 2.989 | 0.005 | 9 |
| 8 | 2.594 | 2.573 | 0.021 | 8 |
| 7 | 2.195 | 2.216 | 0.021 | 7 |
| 6 | 1.796 | 1.804 | 0.008 | 6 |
| 5 | 1.398 | 1.399 | 0.001 | 5 |
| 4 | 1.012 | 1.015 | 0.003 | 4 |
| 3 | 0.654 | 0.651 | 0.003 | 3 |
| 2 | 0.344 | 0.347 | 0.003 | 2 |
| 1 | 0.111 | 0.113 | 0.002 | 1 |

NOTA.- Los desplazamientos " Δ " están en cms.

- Como la aproximación dada era de : $\delta = (\pm 0.01 \text{ cms.})$; vemos, que después de realizar, diez iteraciones encontramos que :

$$\Delta i i(10) \quad \Delta e i(10)$$

Con lo cual termina el proceso de la " PRIMERA

NOTA.- Pasamos a realizar lo mismo pero para el SEGUNDO CASO.

M E T O D O D E F A Z L U R R. K H A NANALISIS SISMICO : DIRECCION : 0 - EC A S O : II

$$\Sigma I_2 = 4.7248 \times 10^8 \text{ cm}^4$$

$$E = 2.32 \times 10^2 \text{ Tn/cm}^2$$

P R I M E R A - I T E R A C I O N :

| | Paso I | Paso II | Paso III | |
|----|------------------------|---------------------------|------------------|----|
| N | $\Delta_{fi} \times E$ | $\Delta_{ai(1)} \times E$ | $\Delta_{ii(2)}$ | N |
| 10 | 1,907 .524 | 3,498.638 | 2.901 | 10 |
| 9 | 1,642 .144 | 2,975.286 | 2.517 | 9 |
| 8 | 1,379 .505 | 2,463.010 | 2.134 | 8 |
| 7 | 1,123 .273 | 1,971.695 | 1.757 | 7 |
| 6 | 878 .130 | 1,510.874 | 1.391 | 6 |
| 5 | 649 .659 | 1,092.780 | 1.044 | 5 |
| 4 | 444 .227 | 728.840 | 0.725 | 4 |
| 3 | 268 .860 | 428.904 | 0.446 | 3 |
| 2 | 131 .114 | 202.657 | 0.222 | 2 |
| 1 | 38 .950 | 58.058 | 0.067 | 1 |

NOTA.- Los desplazamientos " Δ " están en cms.

Como se puede notar al calcular: $\Delta_{ei(1)} = \Delta_{fi} - \Delta_{ai(1)}$ hallamos el valor final de la deformada de la placa $[\Delta_{ei(1)}]$, es negativo ya que $\Delta_{ai(1)} > \Delta_{fi}$. Por Lo tanto; mediante la expresión " β " y conociendo los valores de: $\Delta_{ii(1)} = \Delta_{fi}$; $\Delta_{xi(1)} = \Delta_{ei(1)}$ calculamos el valor de $\Delta_{ii(2)}$. Valor inicial que se le da al sistema " F " y pasamos a realizar la " SEGUNDA ITERACION "

M E T O D O D E F A Z L U R R. K H A N

S E G U N D A I T E R A C I O N C A S O I I

| N | Paso I | | 1ra. Iter Paso III | Paso II | Paso III | | N |
|----|------------------|--------------|-----------------------|----------------|----------------|----------------|----|
| | Δf_{ixE} | Δf_i | $\Delta ii(2)$ | $\Delta ai(2)$ | $\Delta ei(2)$ | $\Delta ii(3)$ | |
| 10 | 1907.524 | 8.222 | 2.901 | 6.011 | 2.211 | 2.676 | 10 |
| 9 | 1642.144 | 7.078 | 2.517 | 5.125 | 1.953 | 2.331 | 9 |
| 8 | 1379.505 | 5.946 | 2.134 | 4.255 | 1.691 | 1.986 | 8 |
| 7 | 1123.273 | 4.841 | 1.757 | 3.418 | 1.423 | 1.643 | 7 |
| 6 | 878.130 | 3.785 | 1.391 | 2.628 | 1.157 | 1.309 | 6 |
| 5 | 649.659 | 2.800 | 1.044 | 1.908 | 0.892 | 0.990 | 5 |
| 4 | 444.227 | 1.915 | 0.725 | 1.276 | 0.539 | 0.693 | 4 |
| 3 | 268.860 | 1.158 | 0.446 | 0.752 | 0.406 | 0.431 | 3 |
| 2 | 131.114 | 0.565 | 0.222 | 0.355 | 0.210 | 0.217 | 2 |
| 1 | 389.50 | 0.168 | 0.067 | 0.101 | 0.068 | 0.066 | 1 |

NOTA.- Los desplazamientos (Δ) están en cms.

Como podemos ver en esta " SEGUNDA ITERACION "; si podemos hallar el valor $\Delta ei(2)$ y comparando con el valor inicial $\Delta ii(2)$ o sea:

$$\Delta ei(2) \rightarrow \Delta ii(2).$$

Notamos, que es necesario realizar varias iteraciones más, para llegar a la aproximación deseada (± 0.01).

El procedimiento es el mismo; con los valores finales de la iteración realizada ($\Delta ei(2)$; $\Delta ai(2)$; Δf_i ; $\Delta ii(1)$) y la expresión " B " , hallamos el valor de $\Delta ii(3)$; para realizar la " TER CERA ITERACION "

M E T O D O D E F A Z L U R R. K H A N

C A S O I I

| TERCERA ITERACION | | | | | CUARTA ITERACION | | | | |
|-------------------|---------------|-----------------------|------------------|------------------|------------------|------------------|------------------|------------------|----|
| | Paso I | Seg.Iter. Paso III | Paso II | Paso III | | Paso II | Paso III | | |
| N | Δ_{fi} | $\Delta_{ii(3)}$ | $\Delta_{ai(3)}$ | $\Delta_{ei(3)}$ | $\Delta_{ii(4)}$ | $\Delta_{ai(4)}$ | $\Delta_{ei(4)}$ | $\Delta_{ii(5)}$ | N |
| 10 | 8.222 | 2.676 | 5.524 | 2.698 | 2.683 | 5.527 | 2.695 | 2.687 | 10 |
| 9 | 7.078 | 2.331 | 4.712 | 2.366 | 2.342 | 4.716 | 2.362 | 2.349 | 9 |
| 8 | 5.946 | 1.986 | 3.915 | 2.031 | 2.001 | 3.920 | 2.026 | 2.009 | 8 |
| 7 | 4.841 | 1.643 | 3.147 | 1.694 | 1.660 | 3.152 | 1.669 | 1.670 | 7 |
| 6 | 3.785 | 1.309 | 2.422 | 1.363 | 1.328 | 2.428 | 1.357 | 1.338 | 6 |
| 5 | 2.800 | 0.990 | 1.760 | 1.040 | 1.008 | 1.765 | 1.035 | 1.017 | 5 |
| 4 | 1.915 | 0.693 | 1.179 | 0.736 | 0.709 | 1.183 | 0.732 | 0.717 | 4 |
| 3 | 1.158 | 0.431 | 0.695 | 0.463 | 0.443 | 0.698 | 0.460 | 0.450 | 3 |
| 2 | 0.565 | 0.217 | 0.329 | 0.236 | 0.224 | 0.330 | 0.235 | 0.228 | 2 |
| 1 | 0.168 | 0.066 | 0.094 | 0.074 | 0.069 | 0.094 | 0.074 | 0.070 | 1 |

NOTA.- Los desplazamientos (Δ) están en cms.

M E T O D O D E F A Z L U R R . K H A N

C A S O I I

| QUINTA ITERACION | | | | | SEXTA ITERACION | | | | |
|------------------|---------------|------------------------|------------------|------------------|------------------|------------------|------------------|------------------|----|
| | Paso I | 4ta. Iter. Paso III | Paso II | Paso III | | Paso II | Paso III | | |
| N | Δ_{fi} | $\Delta_{ii}(5)$ | $\Delta_{ai}(5)$ | $\Delta_{ei}(5)$ | $\Delta_{ii}(6)$ | $\Delta_{ai}(6)$ | $\Delta_{ei}(6)$ | $\Delta_{ii}(7)$ | N |
| 10 | 8.222 | 2.687 | 5.528 | 2.694 | 2.689 | 5.529 | 2.693 | 2.690 | 10 |
| 9 | 7.078 | 2.349 | 4.718 | 2.360 | 2.352 | 4.719 | 2.359 | 2.354 | 9 |
| 8 | 5.946 | 2.009 | 3.922 | 2.024 | 2.014 | 3.924 | 2.022 | 2.016 | 8 |
| 7 | 4.841 | 1.670 | 3.155 | 1.686 | 1.675 | 3.157 | 1.684 | 1.678 | 7 |
| 6 | 3.785 | 1.338 | 2.431 | 1.334 | 1.343 | 2.432 | 1.353 | 1.346 | 6 |
| 5 | 2.800 | 1.017 | 1.768 | 1.032 | 1.023 | 1.769 | 1.031 | 1.025 | 5 |
| 4 | 1.915 | 0.717 | 1.185 | 0.730 | 0.722 | 1.186 | 0.729 | 0.724 | 4 |
| 3 | 1.158 | 0.450 | 0.700 | 0.458 | 0.453 | 0.701 | 0.457 | 0.455 | 3 |
| 2 | 0.565 | 0.228 | 0.331 | 0.234 | 0.230 | 0.333 | 0.233 | 0.231 | 2 |
| 1 | 0.168 | 0.070 | 0.095 | 0.073 | 0.071 | 0.095 | 0.073 | 0.072 | 1 |

NOTA.- Los desplazamientos (Δ) están en cms.

M E T O D O D E F A Z L U R R. K H A N

ANALISIS SISMICO DIRECCION (0 E)

R E S U M E NC A S O : I I

Podemos notar que; después de realizar la " SEXTA
ITERACION " encontramos :

| N | $\Delta_{ii}(6)$ | $\Delta_{ei}(6)$ | $\delta \leq \pm 0.01$ | N |
|----|------------------|------------------|------------------------|----|
| 10 | 2.689 | 2.693 | 0.004 | 10 |
| 9 | 2.352 | 2.359 | 0.007 | 9 |
| 8 | 2.014 | 2.022 | 0.008 | 8 |
| 7 | 1.675 | 1.684 | 0.009 | 7 |
| 6 | 1.343 | 1.353 | 0.010 | 6 |
| 5 | 1.023 | 1.031 | 0.008 | 5 |
| 4 | 0.722 | 0.729 | 0.007 | 4 |
| 3 | 0.453 | 0.457 | 0.004 | 3 |
| 2 | 0.230 | 0.233 | 0.003 | 2 |
| 1 | 0.071 | 0.073 | 0.002 | 1 |

NOTA.- Los desplazamientos " Δ " están en cms.

Como la aproximación dada era de (± 0.01 cm.) vemos;
que después de realizar seis iteraciones encontramos que :

$$\Delta_{ii}(6) = \Delta_{ei}(6)$$

Lo que quiere decir que la deformada dada al Sistema " F " es igual a la deformada del Sistema " W ". Con lo cual se está verificando lo anteriormente asumido " Toda la estructura, y cada uno de los elementos que forman parte de la estructura sufrirán los mismos desplazamientos. "

M E T O D O D E F A Z L U R R . K H A N

ANALISIS SISMICO . DIRECCION . O - E

C A S O : I

$$\Sigma I_1 = 1.9617 \times 10^8 \text{ cms}^4$$

$$E = 2.32 \times 10^2 \text{ Tn/cms}^2$$

$$K_{V_i} = 1.5 K_{V_i}$$

PRIMERA ITERACION

| | Paso I | Paso II | Paso III | |
|----|------------------------|---------------------------|------------------|----|
| N | $\Delta_{fi} \times E$ | $\Delta_{ai(1)} \times E$ | $\Delta_{ii(2)}$ | N |
| 10 | 4594.317 | 25985.432 | 2.975 | 10 |
| 9 | 3955.1432 | 22141.209 | 2.583 | 9 |
| 8 | 3322.70 | 18370.914 | 2.193 | 8 |
| 7 | 2705.428 | 14742.399 | 1.808 | 7 |
| 6 | 2114.997 | 11324.274 | 1.434 | 6 |
| 5 | 1564.720 | 8209.270 | 1.079 | 5 |
| 4 | 1069.932 | 5485.699 | 0.752 | 4 |
| 3 | 647.556 | 3231.880 | 0.465 | 3 |
| 2 | 315.793 | 1527.563 | 0.233 | 2 |
| 1 | 93.812 | 437.545 | 0.071 | 1 |

NOTA.- Los desplazamientos " Δ " están en cms.

Como se podrá ver que : $\Delta_{ei(1)} = \Delta_{fi} - \Delta_{ai(1)} = \text{NEGATIVO}$

Luego tenemos que calcular el de $\Delta_{ii(2)}$; mediante la expresión

" Δ " y los valores : $\Delta_{fi} = \Delta_{ii(1)}$; $\Delta_{ai(1)}$; $\Delta_{ei(1)}$ para reali -

car " La Segunda ITERACION " .

M E T O D O D E F A Z L U R R. K H A NS E G U N D A I T E R A C I O N :C A S O : I

$$K'_{Vi} = 1.5 K_{Vi}$$

| N | PASO I | | 1ra. ITER Paso III | Paso II | Paso III | |
|----|------------------------|---------------|-----------------------|------------------|------------------|------------------|
| | $\Delta_{fi} \times E$ | Δ_{fi} | $\Delta_{ii}(2)$ | $\Delta_{ai}(2)$ | $\Delta_{ei}(2)$ | $\Delta_{ii}(3)$ |
| 10 | 4594.317 | 19.785 | 2.975 | 17.941 | 1.844 | 2.816 |
| 9 | 3955.143 | 17.041 | 2.583 | 15.317 | 1.724 | 2.460 |
| 8 | 3322.570 | 14.285 | 2.193 | 12.740 | 1.545 | 2.103 |
| 7 | 2705.428 | 11.665 | 1.808 | 10.252 | 1.413 | 1.748 |
| 6 | 2114.997 | 9.108 | 1.434 | 7.999 | 1.209 | 1.401 |
| 5 | 1564.720 | 6.732 | 1.079 | 5.745 | 0.978 | 1.066 |
| 4 | 1069.932 | 4.604 | 0.752 | 3.850 | 0.754 | 0.754 |
| 3 | 647.556 | 2.781 | 0.465 | 2.274 | 0.507 | 0.474 |
| 2 | 315.793 | 1.360 | 0.233 | 1.076 | 0.284 | 0.242 |
| 1 | 93.812 | 0.404 | 0.071 | 0.308 | 0.096 | 0.075 |

NOTA.- Los desplazamientos " Δ " están en cms.

Como se puede notar que al comparar :

$$\Delta_{ii}(2) \rightarrow \Delta_{ei}(2)$$

Vemos que la aproximación requerida : (+ 0.01 cms.); está todavía lejana; la cual nos lleva a seguir realizando VARIAS ITERACIONES. Siguiendo el mismo proceso; empleando la expresión " β " para encontrar inicial de la siguiente ITERACION ; o sea " $\Delta_{ii}(n + 1)$ ".

M E T O D O D E F A Z L U R R. K H A N

$$K_{Vi} = 1.5 K_{Vi}$$

C A S O I

| TERCERA ITERACION | | | | CUARTA ITERACION | | | | |
|-------------------|--------------|-----------------------|----------------|------------------|----------------|----------------|----------------|----------------|
| | Paso I | 2da.Iter. Paso III | Paso II | Paso III | | Paso II | Paso III | |
| | Δf_i | $\Delta ii(3)$ | $\Delta ai(3)$ | $\Delta ei(3)$ | $\Delta ii(4)$ | $\Delta ai(4)$ | $\Delta ei(4)$ | $\Delta ii(5)$ |
| 10 | 19.785 | 2.816 | 16.899 | 2.886 | 2.829 | 16.906 | 2.879 | 2.838 |
| 9 | 17.041 | 2.460 | 14.440 | 2.601 | 2.482 | 14.454 | 2.587 | 2.498 |
| 8 | 14.285 | 2.103 | 12.022 | 2.263 | 2.132 | 12.043 | 2.242 | 2.154 |
| 7 | 11.665 | 1.748 | 9.687 | 1.978 | 1.782 | 9.713 | 1.952 | 1.808 |
| 6 | 9.108 | 1.401 | 7.475 | 1.633 | 1.439 | 7.503 | 1.605 | 1.467 |
| 5 | 6.732 | 1.066 | 5.445 | 1.287 | 1.104 | 5.473 | 1.259 | 1.132 |
| 4 | 4.604 | 0.754 | 3.656 | 0.948 | 0.788 | 3.680 | 3.924 | 0.013 |
| 3 | 2.781 | 0.474 | 2.163 | 0.618 | 0.502 | 0.180 | 0.601 | 0.522 |
| 2 | 1.360 | 0.242 | 1.026 | 0.334 | 0.259 | 1.035 | 0.325 | 0.273 |
| 1 | 0.404 | 0.075 | 0.294 | 0.110 | 0.082 | 0.297 | 0.107 | 0.088 |

NOTA.- Los desplazamientos " Δ " están en cms.

(347)

M E T O D O D E F A Z L U R R. K H A N

$$K_{Vi}' = 1.5 K_{Vi}$$

C A S O I

| QUINTA ITERACION | | | | | SEXTA ITERACION | | | | |
|------------------|---------------|-----------------------|------------------|------------------|------------------|------------------|------------------|------------------|----|
| | Paso I | 4ta. Iter Paso III | Paso II | Paso III | | Paso II | Paso III | | |
| N | Δ_{fi} | $\Delta_{ii}(5)$ | $\Delta_{ai}(5)$ | $\Delta_{ei}(5)$ | $\Delta_{ii}(6)$ | $\Delta_{ai}(6)$ | $\Delta_{ei}(6)$ | $\Delta_{ii}(7)$ | N |
| 10 | 19.785 | 2.838 | 16.914 | 2.871 | 2.846 | 16.921 | 2.864 | 2.851 | 10 |
| 9 | 17.041 | 2.498 | 14.467 | 2.574 | 2.510 | 14.478 | 2.563 | 2.519 | 9 |
| 8 | 14.285 | 2.154 | 12.061 | 2.224 | 2.170 | 12.075 | 2.210 | 2.131 | 8 |
| 7 | 11.665 | 1.808 | 9.733 | 1.932 | 1.827 | 9.749 | 1.916 | 1.840 | 7 |
| 6 | 9.108 | 1.467 | 7.525 | 1.583 | 1.487 | 7.541 | 1.567 | 1.501 | 6 |
| 5 | 6.732 | 1.132 | 5.493 | 1.239 | 1.153 | 5.509 | 1.223 | 1.167 | 5 |
| 4 | 4.604 | 0.813 | 3.697 | 0.907 | 0.831 | 3.710 | 0.894 | 0.844 | 4 |
| 3 | 2.781 | 0.522 | 2.193 | 0.588 | 0.536 | 2.202 | 0.579 | 0.546 | 3 |
| 2 | 1.360 | 0.273 | 1.042 | 0.318 | 0.282 | 1.047 | 0.313 | 0.289 | 2 |
| 1 | 0.404 | 0.088 | 0.299 | 0.105 | 0.091 | 0.301 | 0.103 | 0.094 | 1 |

NOTA.- Los desplazamientos " Δ " están en cms.

M E T O D O D E F A Z L U R R. K H A N

$$K_{V_i} = 1.5 K_{V_i}$$

C A S O I

| SEPTIMA ITERACION | | | | | OCTAVA ITERACION | | | | |
|-------------------|---------------|------------------------|------------------|------------------|------------------|------------------|------------------|------------------|----|
| | Paso I | 6ta. Iter. Paso III | Paso II | Paso III | | Paso II | Paso III | | |
| N | Δ_{fi} | $\Delta_{ii(7)}$ | $\Delta_{ai(7)}$ | $\Delta_{ei(7)}$ | $\Delta_{ii(8)}$ | $\Delta_{ai(8)}$ | $\Delta_{ei(8)}$ | $\Delta_{ii(9)}$ | N |
| 10 | 19.785 | 2.851 | 16.927 | 2.858 | 2.854 | 16.932 | 2.853 | 2.856 | 10 |
| 9 | 17.041 | 2.519 | 14.487 | 2.554 | 2.525 | 14.493 | 2.548 | 2.529 | 9 |
| 8 | 14.285 | 2.181 | 12.086 | 2.199 | 2.190 | 12.093 | 2.192 | 2.195 | 8 |
| 7 | 11.665 | 1.840 | 9.761 | 1.904 | 1.849 | 9.770 | 1.895 | 1.856 | 7 |
| 6 | 9.108 | 1.501 | 7.553 | 1.555 | 1.511 | 7.562 | 1.546 | 1.518 | 6 |
| 5 | 6.732 | 1.167 | 5.520 | 1.212 | 1.177 | 5.528 | 1.204 | 1.183 | 5 |
| 4 | 4.604 | 0.844 | 3.720 | 0.884 | 0.853 | 3.727 | 0.877 | 0.858 | 4 |
| 3 | 2.781 | 0.546 | 2.209 | 0.572 | 0.553 | 2.214 | 0.567 | 0.558 | 3 |
| 2 | 1.360 | 0.289 | 1.051 | 0.309 | 0.293 | 1.054 | 0.306 | 0.296 | 2 |
| 1 | 0.404 | 0.094 | 0.302 | 0.102 | 0.096 | 0.303 | 0.101 | 0.097 | 1 |

NOTA.- Los desplazamientos " Δ " están en cms.

M E T O D O D E F A Z L U R R. K H A N

$$K_{Vi}^p = 1.5 K_{Vi}$$

C A S O I

| NOVENA ITERACION | | | | | DECIMA ITERACION | | | | |
|------------------|---------------|-----------------------|------------------|------------------|-------------------|-------------------|-------------------|-------------------|----|
| | Paso I | 8va.Iter. Paso III | Paso II | Paso III | | Paso II | Paso III | | |
| N | Δ_{fi} | $\Delta_{ii(9)}$ | $\Delta_{ai(9)}$ | $\Delta_{ei(9)}$ | $\Delta_{ii(10)}$ | $\Delta_{ai(10)}$ | $\Delta_{ei(10)}$ | $\Delta_{ii(11)}$ | N |
| 10 | 19.785 | 2.856 | 16.935 | 2.850 | 2.858 | 16.938 | 2.847 | 2.859 | 10 |
| 9 | 17.041 | 2.529 | 14.497 | 2.544 | 2.532 | 14.501 | 2.540 | 2.534 | 9 |
| 8 | 14.285 | 2.195 | 12.099 | 2.186 | 2.199 | 12.102 | 2.183 | 2.202 | 8 |
| 7 | 11.665 | 1.856 | 9.776 | 1.889 | 1.861 | 9.780 | 1.885 | 1.864 | 7 |
| 6 | 9.108 | 1.518 | 7.568 | 1.540 | 1.523 | 7.573 | 1.535 | 1.526 | 6 |
| 5 | 6.732 | 1.183 | 5.534 | 1.198 | 1.188 | 5.538 | 1.194 | 1.191 | 5 |
| 4 | 4.604 | 0.858 | 3.731 | 0.873 | 0.862 | 3.734 | 0.870 | 0.865 | 4 |
| 3 | 2.781 | 0.558 | 2.217 | 0.564 | 0.561 | 2.219 | 0.562 | 0.563 | 3 |
| 2 | 1.360 | 0.296 | 1.055 | 0.305 | 0.298 | 1.057 | 0.303 | 0.299 | 2 |
| 1 | 0.404 | 0.097 | 0.304 | 0.100 | 0.097 | 0.304 | 0.100 | 0.098 | 1 |

NOTA.- Los desplazamientos " Δ " están en cms.

(354)

M E T O D O D E F A Z L U R R . K H A N

ANALISIS SISMICO DIRECCION O - E

R E S U M E N : $K'_{V_i} = 1.5 K_{V_i}$ C A S O : I

Después de realizar 10 iteraciones tenemos :

| N | $\Delta_{ii}(10)$ | $\Delta_{ei}(10)$ | $\delta \leq \pm 0.01 \text{cms.}$ | N |
|----|-------------------|-------------------|------------------------------------|----|
| 10 | 2.858 | 2.847 | 0.011 | 10 |
| 9 | 2.532 | 2.540 | 0.008 | 9 |
| 8 | 2.149 | 2.183 | 0.016 | 8 |
| 7 | 1.861 | 1.885 | 0.024 | 7 |
| 6 | 1.523 | 1.535 | 0.012 | 6 |
| 5 | 1.588 | 1.194 | 0.006 | 5 |
| 4 | 0.862 | 0.870 | 0.008 | 4 |
| 3 | 0.561 | 0.562 | 0.001 | 3 |
| 2 | 0.298 | 0.303 | 0.005 | 2 |
| 1 | 0.098 | 0.100 | 0.003 | 1 |

NOTA.- Los desplazamientos " Δ " están en cms.

Como la aproximación deseada era : $\delta < \pm 0.01 \text{ cms.}$;

luego al comparar $\Delta_{ii}(10)$ (deformación inicial) y

$\Delta_{ei}(10)$ (deformación final)

Diremos que : $\Delta_{ii}(10) = \Delta_{ei}(10)$; con lo cual termina el proceso de la " PRIMERA ETAPA "

NOTA.- Realizamos lo mismo pero para el : " SEGUNDO CASO " también considerando : $K'_{V_i} = 1.5 K_{V_i}$.

M E T O D O D E F A Z L U R R. K H A N

ANALISIS SISMICO : DIRECCION : O - EC A S O II :

$$\Sigma I_2 = 4.7848 \times 10^8 \text{ cm}^4$$

$$E = 2.32 \times 10^2 \text{ Ton/cm}^2$$

$$K_{V_i}^v = 1.5 K_i$$

PRIMERA ITERACION :

| | PASO I | PASO II | PASO III | |
|----|------------------------|---------------------------|------------------|----|
| N | $\Delta_{fi} \times E$ | $\Delta_{ai(1)} \times E$ | $\Delta_{ii(2)}$ | N |
| 10 | 1907.524 | 4479.487 | 2.455 | 10 |
| 9 | 1642.144 | 3816.702 | 2.129 | 9 |
| 8 | 1379.505 | 3166.861 | 1.804 | 8 |
| 7 | 1123.273 | 2541.361 | 1.484 | 7 |
| 6 | 878.130 | 1952.129 | 1.174 | 6 |
| 5 | 649.659 | 1415.151 | 0.881 | 5 |
| 4 | 444.227 | 945.649 | 0.611 | 4 |
| 3 | 268.860 | 557.126 | 0.377 | 3 |
| 2 | 131.114 | 263.328 | 0.187 | 2 |
| 1 | 38.950 | 75.426 | 0.057 | 1 |

NOTA. - Los desplazamientos " Δ " están en cms.

Como se podrá ver que : $\Delta_{ei(1)} = \Delta_{fi} - \Delta_{ai(1)} = \text{NEGATIVO}$

Luego tenemos que calcular el valor de : $\Delta_{ii(2)}$; mediante la expresión (β) y los valores conocidos como : $\Delta_{fi} = \Delta_{ii(1)}$; $\Delta_{ai(1)}$; $\Delta_{ei(1)}$; y así poder realizar la " SEGUNDA ITERACION " .

M E T O D O D E F A Z L U R R. K H A N

ANALISIS SISMICO : DIRECCION O - E

SEGUNDA ITERACION :

C A S O II

$$K_{V_i} = 1.5 K_{V_i}$$

| N | PASO I | | 1ra. ITER PASO III | PASO II | PASO III | | N |
|----|------------------------------|---------------------|-----------------------|------------------|------------------|------------------|----|
| | $\Delta_{\delta i \times E}$ | $\Delta_{\delta i}$ | $\Delta_{ii}(2)$ | $\Delta_{ai}(2)$ | $\Delta_{ei}(2)$ | $\Delta_{ii}(3)$ | |
| 10 | 1907.524 | 8.222 | 2.455 | 6.155 | 2.067 | 2.344 | 10 |
| 9 | 1642.144 | 7.078 | 2.129 | 5.254 | 1.824 | 2.041 | 9 |
| 8 | 1379.505 | 5.946 | 1.804 | 4.369 | 1.577 | 1.737 | 8 |
| 7 | 1123.273 | 4.841 | 1.484 | 3.514 | 1.327 | 1.437 | 7 |
| 6 | 878.130 | 3.785 | 1.174 | 2.707 | 1.078 | 1.145 | 6 |
| 5 | 649.659 | 2.800 | 0.881 | 1.968 | 0.832 | 0.865 | 5 |
| 4 | 444.227 | 1.915 | 0.611 | 1.318 | 0.597 | 0.607 | 4 |
| 3 | 268.860 | 1.158 | 0.377 | 0.778 | 0.380 | 0.378 | 3 |
| 2 | 131.114 | 0.565 | 0.187 | 0.368 | 0.197 | 0.190 | 2 |
| 1 | 38.950 | 0.168 | 0.057 | 0.105 | 0.063 | 0.058 | 1 |

NOTA.- Los desplazamientos " Δ " están en cms.

Como se podrá notar al comparar :

$$\Delta_{ii}(2) + \Delta_{ei}(2)$$

Vemos que la aproximación requerida (± 0.01 cms.); está todavía lejana; para eso debemos realizar varias " ITERACIONES "

Seguimos el mismo proceso; empleando la expresión " "; para encontrar el valor inicial de la siguiente "ITERACION"; o sea :

$$" \Delta_{ii}(n + 1) " .$$

M E T O D O D E F A Z L U R R. K H A N

$$K_{V_i}^p = 1.5 K_{V_i}$$

C A S O I I

| TERCERA ITERACION | | | | | CUARTA ITERACION | | | | |
|-------------------|---------------|-----------------------|------------------|------------------|------------------|------------------|------------------|------------------|----|
| | PASO I | SEG. ITER PASO III | PASO II | PASO III | PASO II | PASO III | | | |
| N | Δ_{fi} | $\Delta_{ii}(3)$ | $\Delta_{ai}(3)$ | $\Delta_{ei}(3)$ | $\Delta_{ii}(4)$ | $\Delta_{ai}(4)$ | $\Delta_{ei}(4)$ | $\Delta_{ii}(5)$ | N |
| 10 | 8.222 | 2.344 | 5.858 | 2.364 | 2.350 | 2.860 | 2.362 | 2.352 | 10 |
| 9 | 7.078 | 2.041 | 5.003 | 2.075 | 2.050 | 5.006 | 2.072 | 2.056 | 9 |
| 8 | 5.946 | 1.737 | 4.163 | 1.783 | 1.751 | 4.168 | 1.778 | 1.759 | 8 |
| 7 | 4.841 | 1.437 | 3.352 | 1.489 | 1.453 | 3.357 | 1.484 | 1.462 | 7 |
| 6 | 3.785 | 1.145 | 2.584 | 1.201 | 1.162 | 2.590 | 1.195 | 1.172 | 6 |
| 5 | 2.800 | 0.865 | 1.880 | 0.920 | 0.882 | 1.886 | 0.914 | 0.892 | 5 |
| 4 | 1.915 | 0.607 | 1.261 | 0.654 | 0.652 | 1.266 | 0.649 | 0.630 | 4 |
| 3 | 1.158 | 0.378 | 0.745 | 0.413 | 0.390 | 0.748 | 0.410 | 0.396 | 3 |
| 2 | 0.565 | 0.190 | 0.353 | 0.212 | 0.198 | 0.355 | 0.210 | 0.202 | 2 |
| 1 | 0.168 | 0.058 | 0.101 | 0.067 | 0.061 | 0.101 | 0.067 | 0.063 | 1 |

NOTA Los desplazamientos " Δ " están en cms.

M E T O D O D E F A Z L U R R. K H A N

$K_V = 1.5 K_V$

C A S O I I

| | QUINTA ITERACION | | | | SEXTA ITERACION | | | | |
|----|------------------|------------------|------------------|------------------|------------------|------------------|------------------|------------------|----|
| | PASO I | 4ta. ITER. | PASO II | PASO III | PASO II | PASO III | | | |
| N | Δ_{ii} | $\Delta_{ii}(5)$ | $\Delta_{ai}(5)$ | $\Delta_{ei}(5)$ | $\Delta_{ii}(6)$ | $\Delta_{ai}(6)$ | $\Delta_{ei}(6)$ | $\Delta_{ii}(7)$ | N |
| 10 | 8.222 | 2.353 | 5.862 | 2.360 | 2.355 | 5.863 | 2.359 | 2.356 | 10 |
| 9 | 7.078 | 2.056 | 5.009 | 2.069 | 2.060 | 5.010 | 2.068 | 2.062 | 9 |
| 8 | 5.946 | 1.759 | 4.171 | 1.775 | 1.763 | 4.172 | 1.774 | 1.776 | 8 |
| 7 | 4.841 | 1.462 | 3.360 | 1.481 | 1.467 | 3.373 | 1.478 | 1.471 | 7 |
| 6 | 3.785 | 1.172 | 2.593 | 1.192 | 1.178 | 2.595 | 1.190 | 1.181 | 6 |
| 5 | 2.800 | 0.892 | 1.889 | 0.911 | 0.898 | 1.891 | 0.909 | 0.901 | 5 |
| 4 | 1.915 | 0.630 | 1.268 | 0.647 | 0.635 | 1.270 | 0.645 | 0.638 | 4 |
| 3 | 1.158 | 0.396 | 0.750 | 0.408 | 0.400 | 0.751 | 0.407 | 0.402 | 3 |
| 2 | 0.565 | 0.202 | 0.356 | 0.202 | 0.204 | 0.356 | 0.209 | 0.206 | 2 |
| 1 | 0.168 | 0.063 | 0.102 | 0.066 | 0.064 | 0.102 | 0.066 | 0.064 | 1 |

NOTA.- Los desplazamientos " Δ " están en cms.

M E T O D O D E F A Z L U R R . K H A NANALISIS SISMICO : DIRECCION O - ER E S U M E N :

$$K_V = 1.5 K_V$$

C A S O II

Después de realizar seis iteraciones tenemos

| N | $\Delta_{ii}(6)$ | $\Delta_{ei}(6)$ | $\delta < +0.01 \text{ cms}$ | N |
|----|------------------|------------------|------------------------------|----|
| 10 | 2.355 | 2.359 | 0.004 | 10 |
| 9 | 2.060 | 2.068 | 0.008 | 9 |
| 8 | 1.763 | 1.774 | 0.011 | 8 |
| 7 | 1.467 | 1.478 | 0.011 | 7 |
| 6 | 1.178 | 1.190 | 0.012 | 6 |
| 5 | 0.898 | 0.909 | 0.011 | 5 |
| 4 | 0.635 | 0.645 | 0.010 | 4 |
| 3 | 0.400 | 0.407 | 0.007 | 3 |
| 2 | 0.204 | 0.209 | 0.005 | 2 |
| 1 | 0.064 | 0.066 | 0.002 | 1 |

NOTA.- Los desplazamientos " Δ " están en cms.Como la aproximación deseada era : $\delta \leq \pm 0.01 \text{ cms}$.

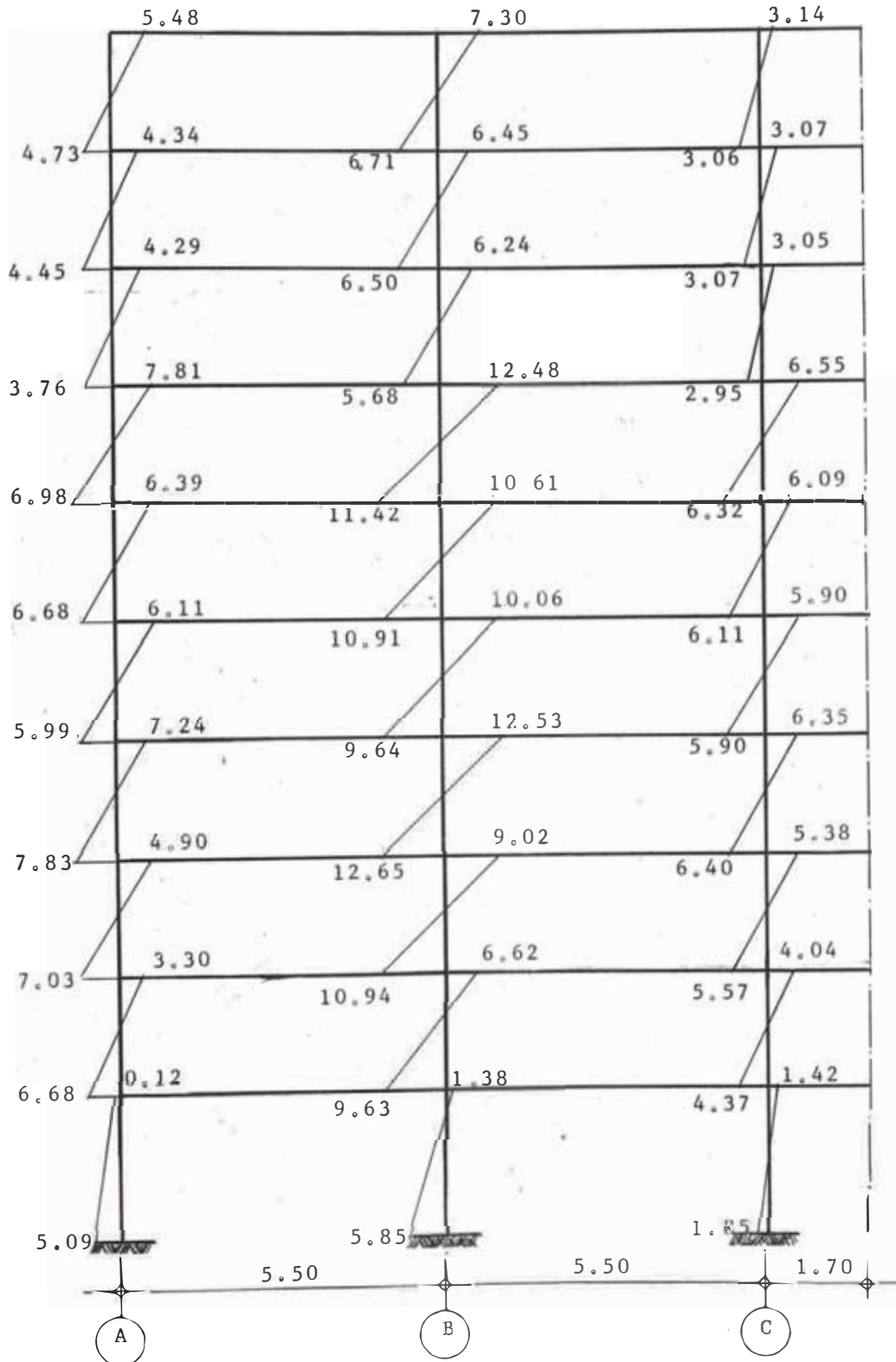
Luego al comparar :

 $\Delta_{ii}(6)$: Deformación inicial $\Delta_{ei}(6)$: Deformación finalPodemos decir : $\Delta_{ii}(6) = \Delta_{ei}(6)$; con lo cual termina el proceso

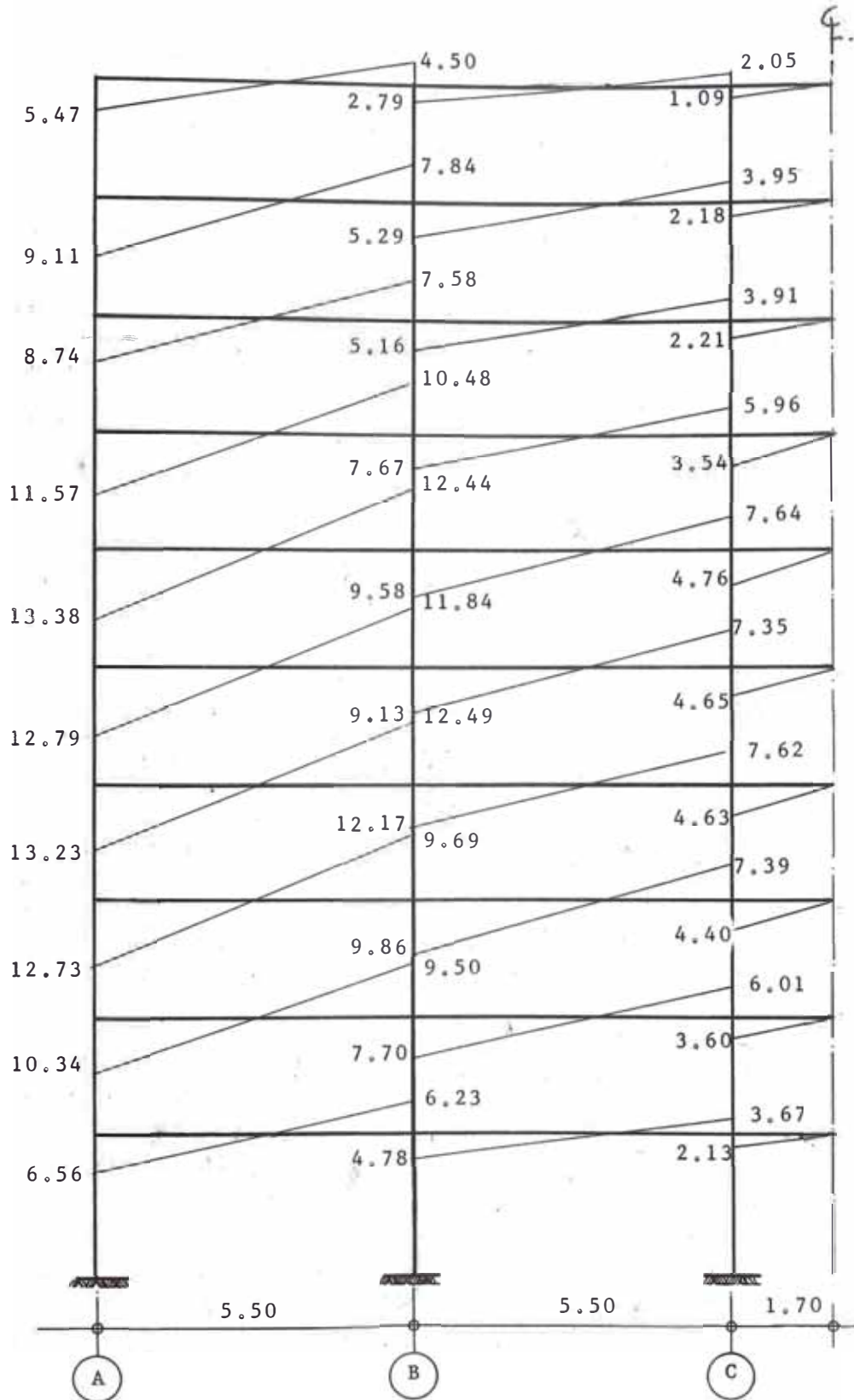
de la " PRIMERA ETAPA ".

P O R T I C O "1" = P O R T I C O "3"

€.



P O R T I C O : "1" = P O R T I C O : "3"

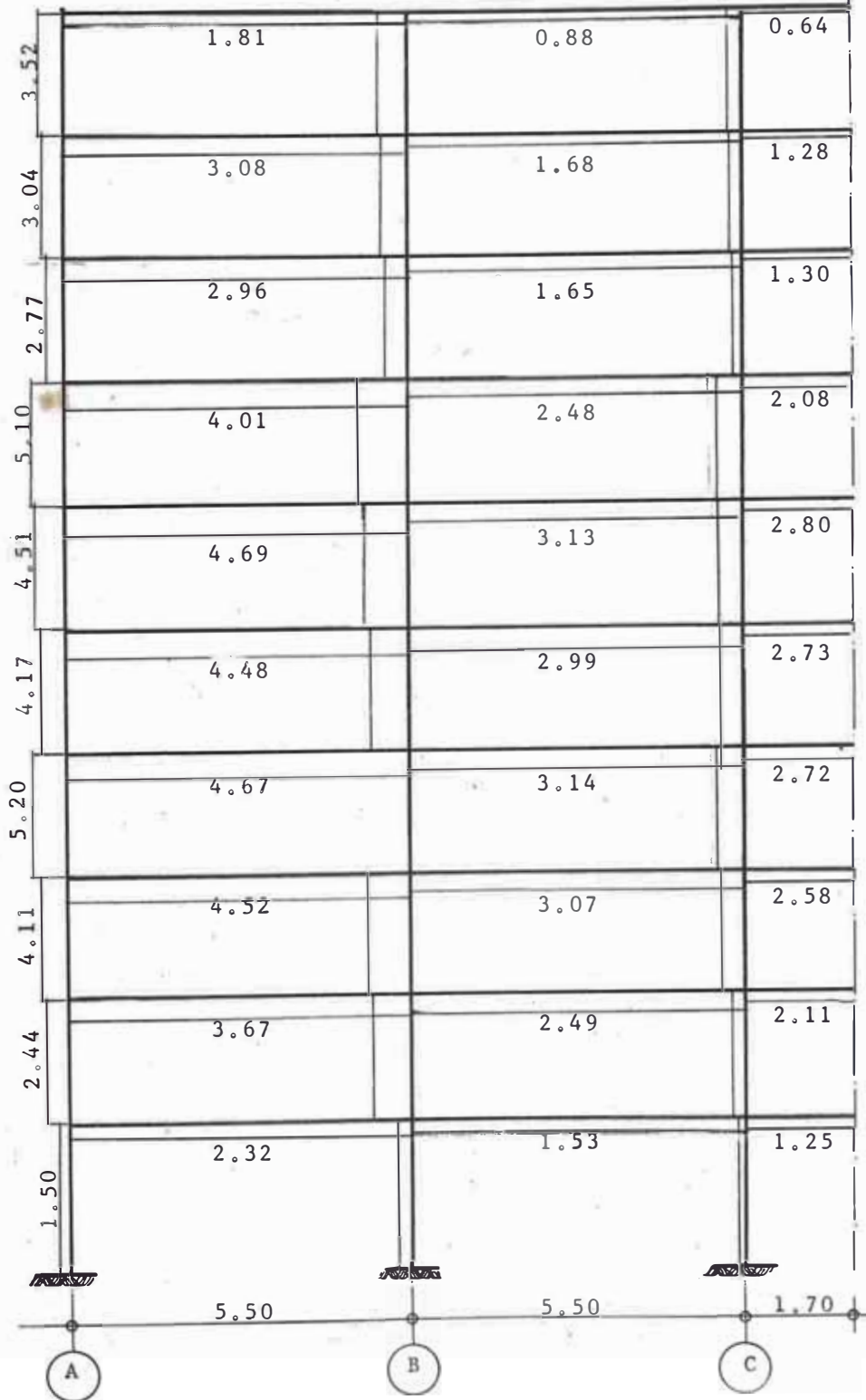


M E T O D O D E F A Z L U R R . K H A N

DIAGRAMA DE ESFUERZOS CORTANTES EN VIGAS Y COLUMNAS

C A S O : I

P O R T I C O : " 1 " = P O R T I C O : " 3 "

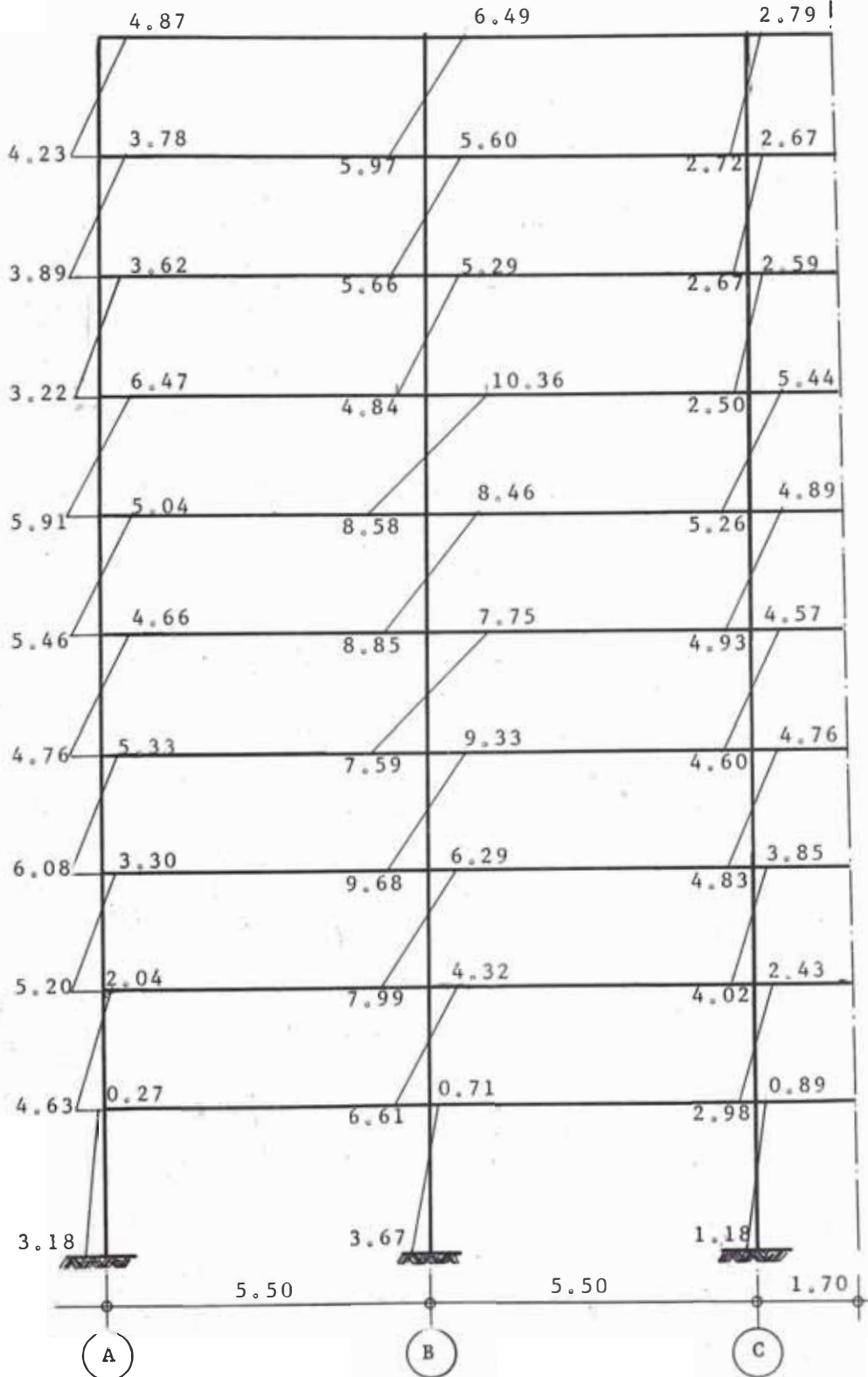


M E T O D O D E F A Z L U R R . K H A N

DIAGRAMA DE MOMENTOS EN LAS COLUMNAS

C A S O : I I

P O R T I C O : " 1 " = P O R T I C O : " 3 "



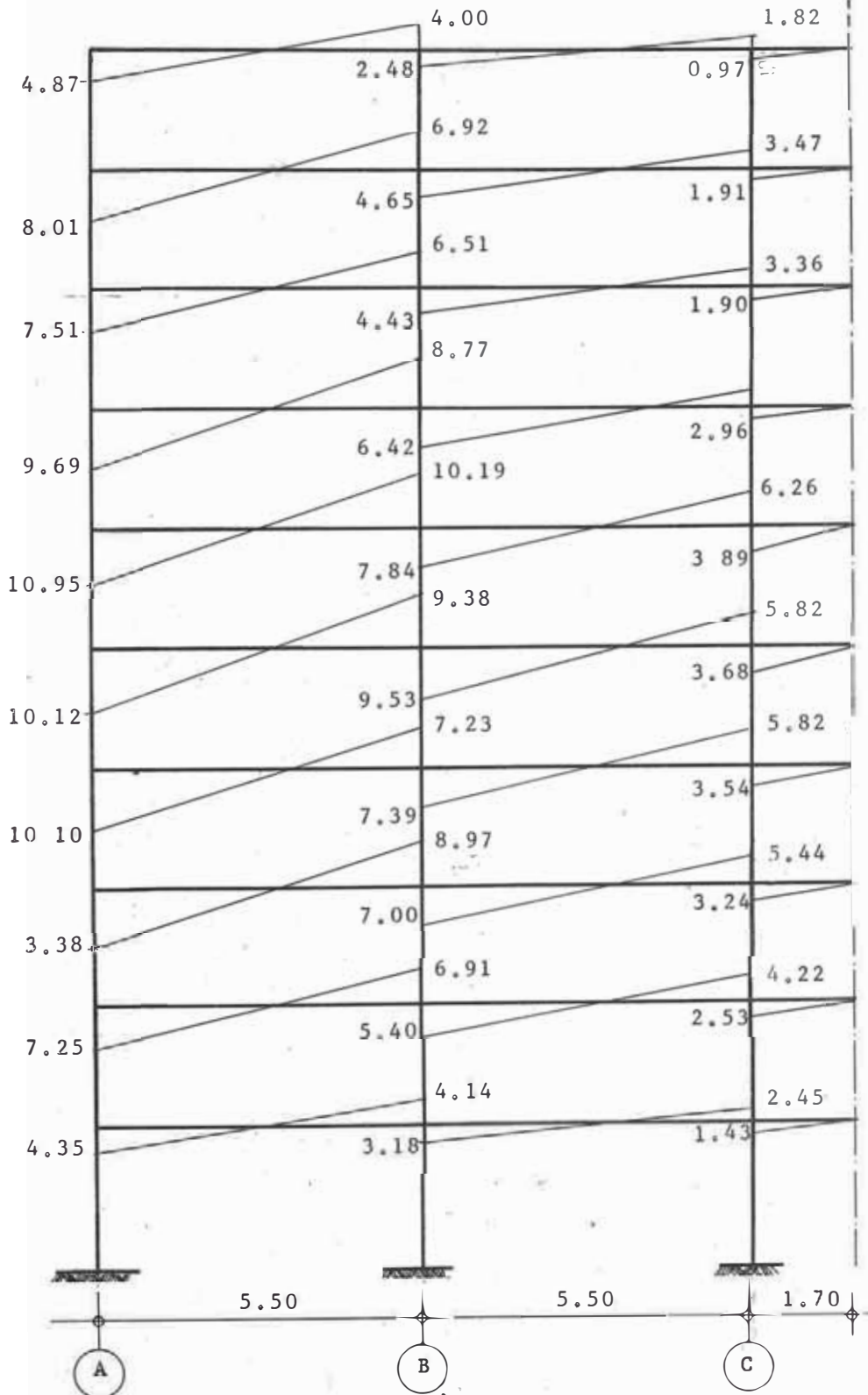
M E T O D O D E F A Z L U R R . K H A N

DIAGRAMA DE MOMENTOS EN LAS VIGAS

C A S O : II

P O R T I C O : "1" = P O R T I C O : "3"

E.

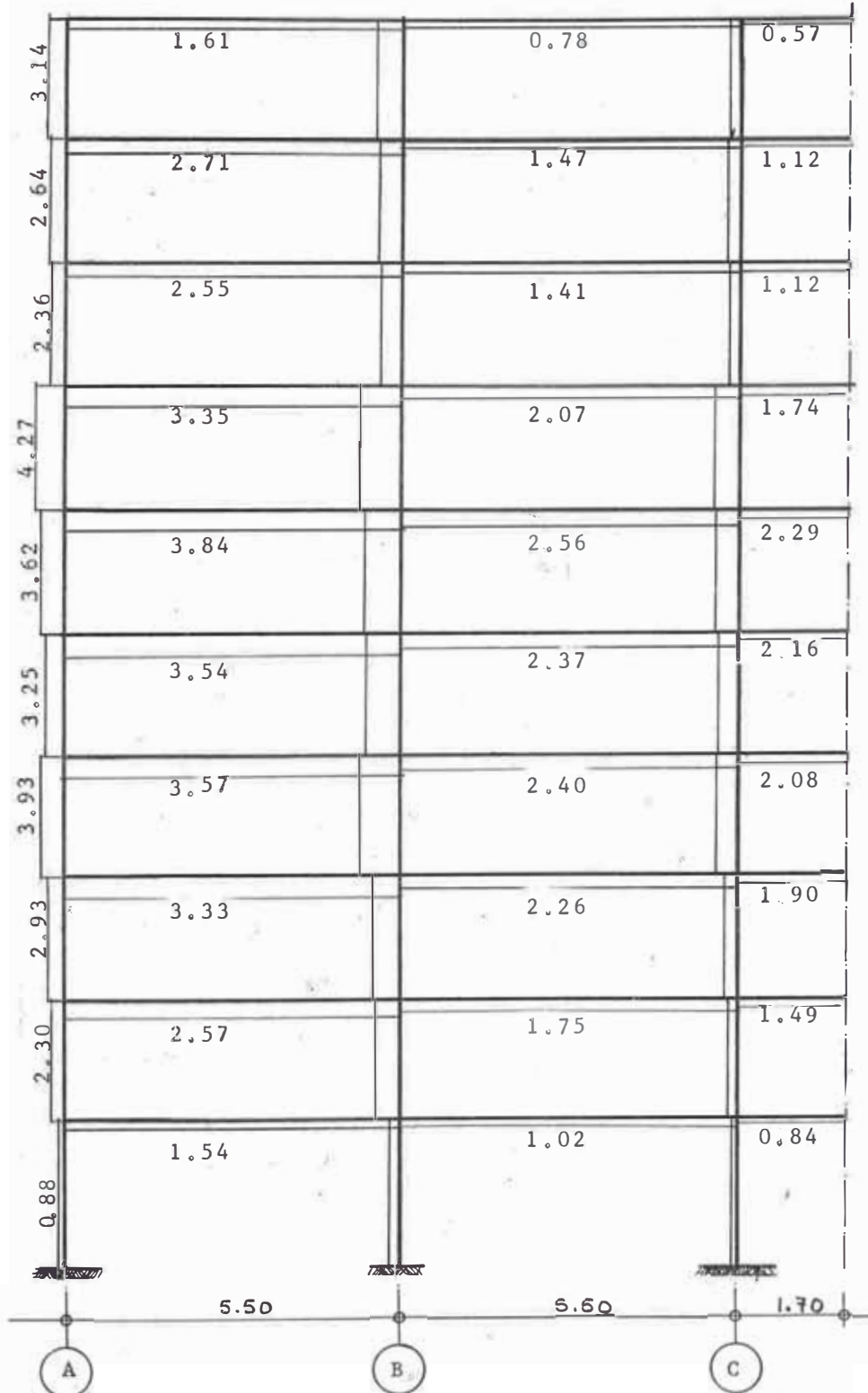


METODO DE FAZLUR R. KHAN

DIAGRAMA DE ESFUERZOS CORTANTES EN VIGAS Y COLUMNAS

C A S O : II

PORTICO "1" = PORTICO "3" E

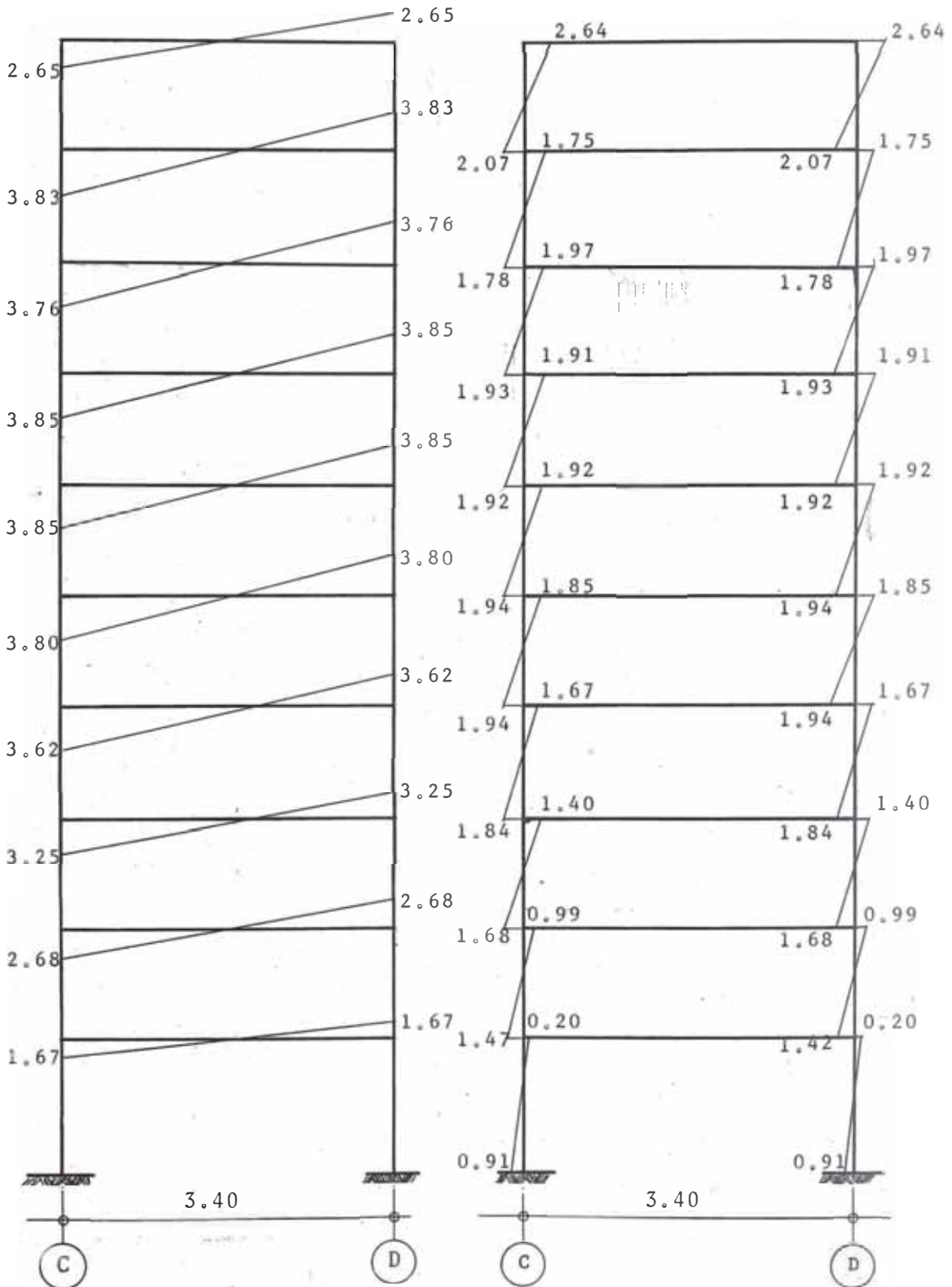


M E T O D O D E F A Z L U R R . K H A N

DIAGRAMA DE MOMENTOS EN VIGAS Y COLUMNAS

C A S O I

P O R T I C O " 2 " "

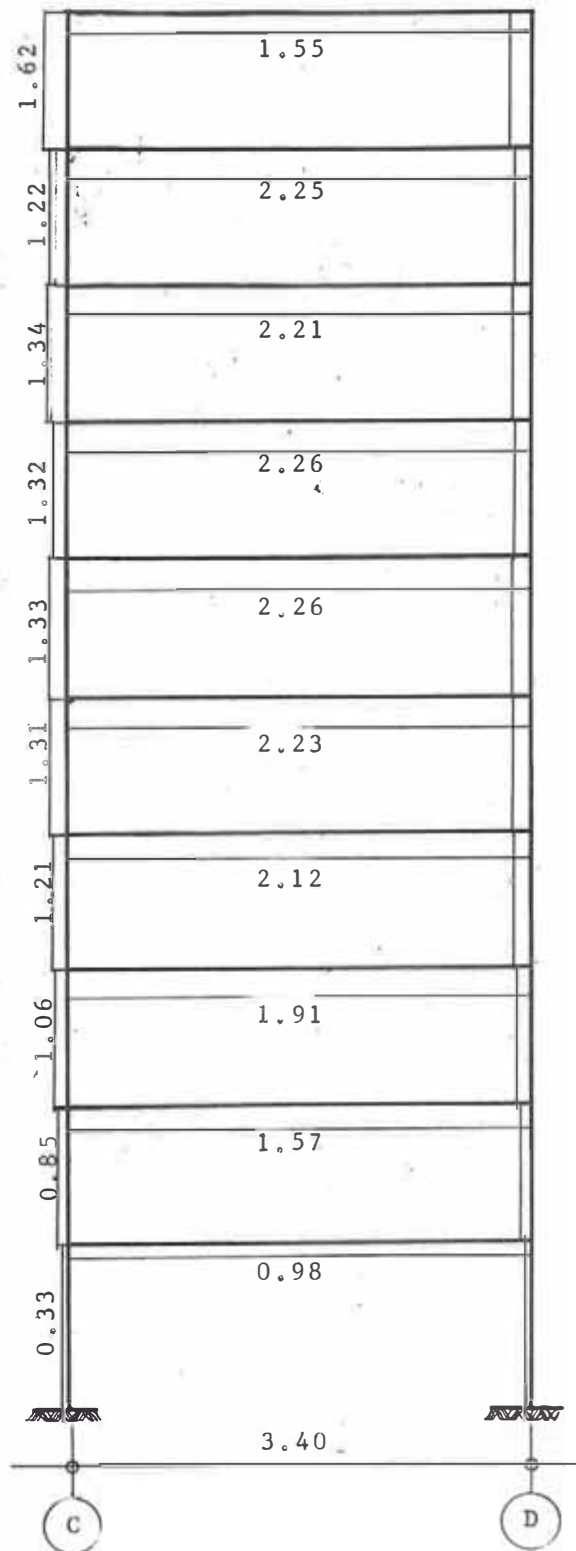


M E T O D O D E F A Z L U R R . K H A N

DIAGRAMA DE ESFUERZOS CORTANTES EN VIGAS Y COLUMNAS

C A S O : I

P O R T I C O : " 2 " "



M E T O D O D E F A Z L U R R. K H A N

DIAGRAMA DE MOMENTOS EN VIGAS Y COLUMNAS

C A S O I I

P O R T I C O " 2 " "

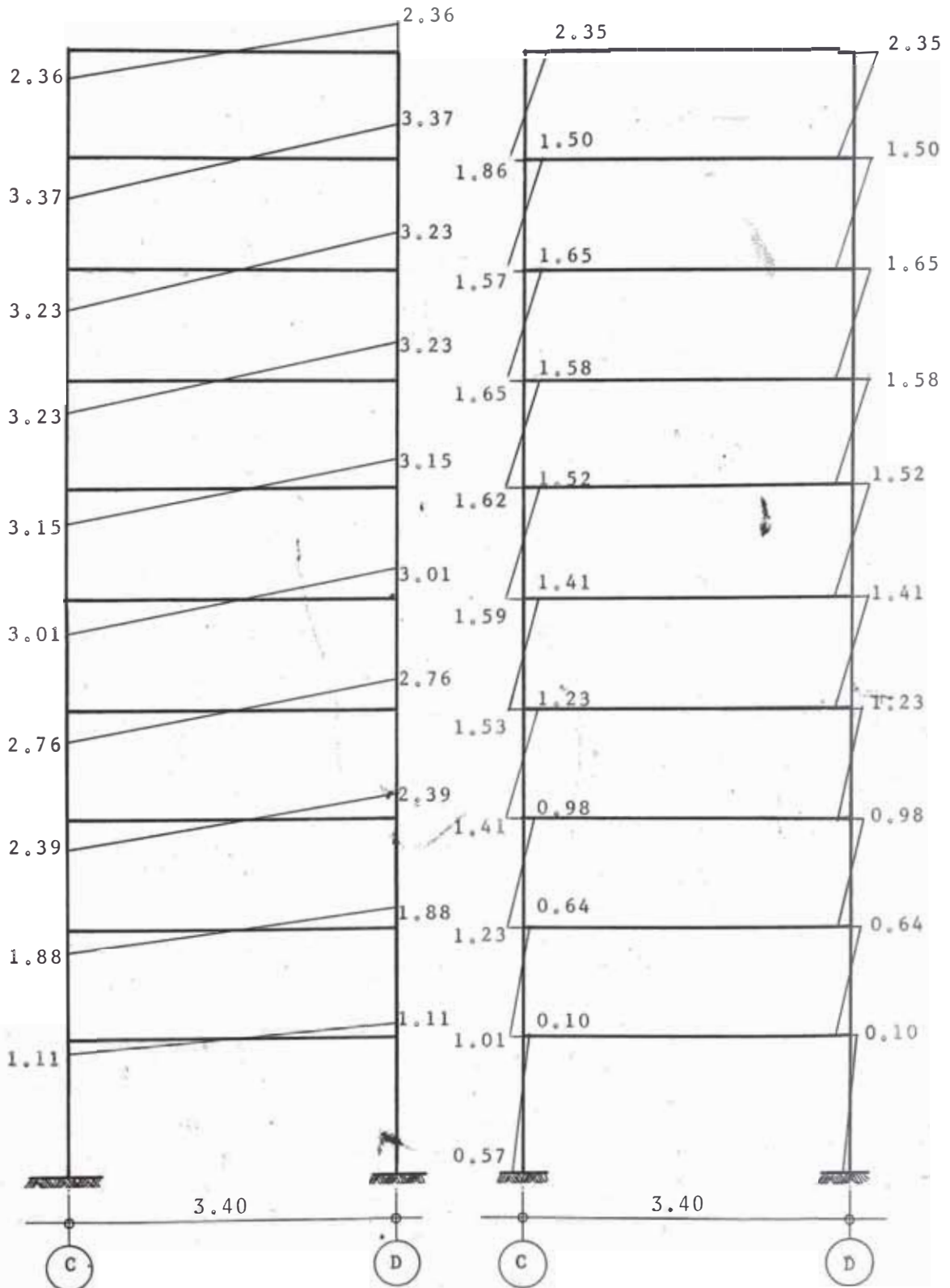
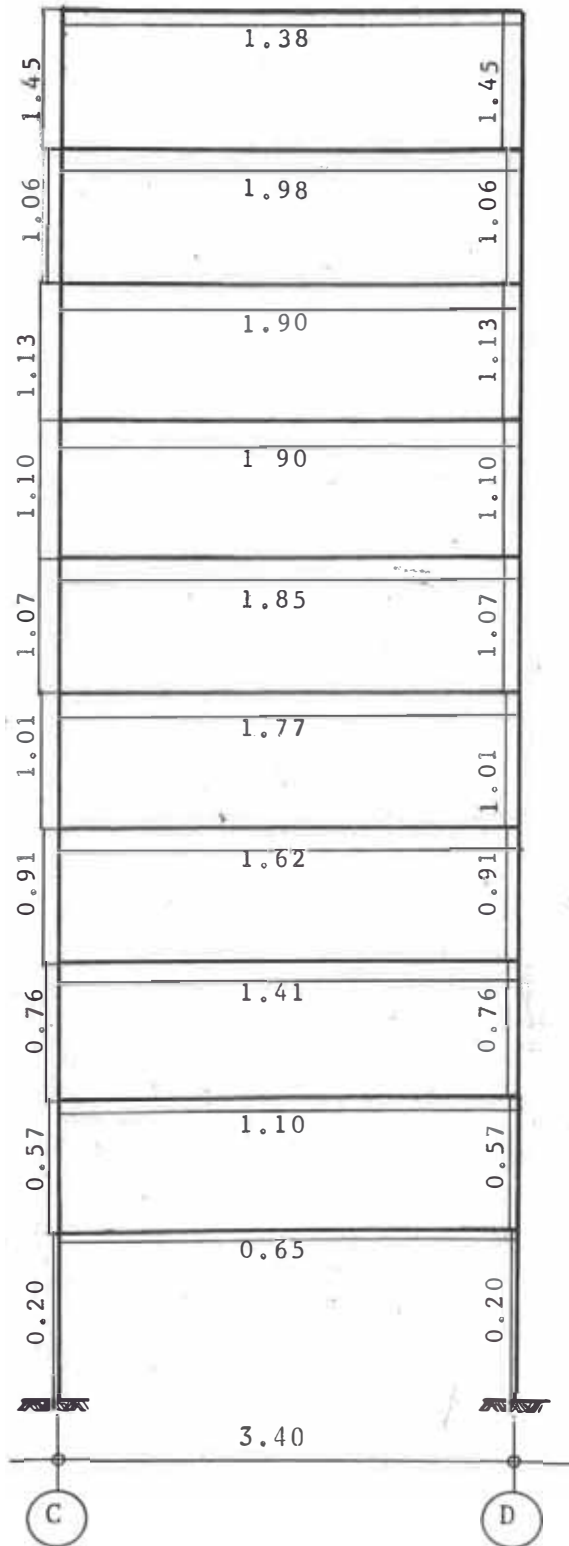


DIAGRAMA DE ESF UERZOSCORTANTES EN VIGAS Y COLUMNAS

C A S O : I I

P O R T I C O : " 2 " "



M E T O D O D E F A Z L U R R. K H A N

RESUMEN

En el presente método, el modelo de análisis es : "La estructura idealizada simplificada" que se caracteriza por presentar articulaciones en la viga de unión, que se muestra en la figura N° 4. Se ha utilizado el programa del Ing°. ARMANDO NAVARRO PEÑA, Profesor del Programa de Ciencias de la U.N.I).

En los pasos (I), (II) y (III) se explica en una forma sencilla el procedimiento a seguir para resolver la estructura idealizada simplificada.

Debido a la comodidad del programa se consiguió una aproximación de $\delta = \pm 0.01$ cms. Para el caso I después de realizar 10 iteraciones y para el caso II después de 6 iteraciones.

No se ha utilizado los abacos, que nos dan la primera aproximación de la deformada de la estructura, se consideró como primer valor la deformada libre del muro; para las demás iteraciones se empleó la expresión de convergencia rápida.

La deformada final de la estructura " Δ_{ei} " se le debe aplicar a cada uno de los pórticos, como también al pórtico de una cruzija que nos sirvió de modelo, y de esta manera determinar sus esfuerzos correspondientes.

Se debe de chequear el método en base a : $V_T = V_{por} + V_m$; "Corte total es igual al corte total de los pórticos más el corte del muro".

Si existiría una diferencia al comparar estos valores, se debe de repartir proporcionar a la rigidez de los elementos (pórticos y placas) si el error es apreciable se debe de realizar de nuevo el método, bajo nuevas consideraciones, como el cambio de dimensiones de los elementos.

COMENTARIO

En la exposición del método el autor establece la siguiente relación, "se *debe* sumar todas las rigideces de las vigas que colaboran al sismo", es decir : $S_b = S_b' + S_b'' + S_b'''$, siendo este último la cooperación de las vigetas que se encuentran en la losa; que se ha considerado en la solución.

Teniendo en mente esta adición y debido a que en sí; el método exige una refinada, debido a que los resultados son muy conservadores, se pensó encontrar un factor " α " que afecte a la rigidez de la viga S_b

Debido a la comodidad del programa se le fué dando a este valor α , a partir de 1.1, 1.2, 1.3, 1.4 y 1.5, siendo este último el más adecuado, como se podrá ver en los gráficos (III) y (IV).

¿Por qué el 1.5?

Como comentario diremos que se pasó el programa, considerando a : $S_{b1} = 1.5 S_b$; en los dos casos de estudio. En ambos casos se notó que la deformada es muy semejante con las obtenidas en los otros métodos como : 1.- Diferencias Finitas, 2.- Método Matricial, (Cuadro general de desplazamientos).

También se pasó el programa con este factor, a otro modelo diferente, obteniéndose resultados muy satisfactorios.

M E T O D O D E F A Z L U R R. K H A N

CONCLUSIONES

La convergencia del método es lenta; aún empleando los abacos establecidos por el autor, como la fórmula de convergencia rápida.

Es un método ideal para la computadora, debido a que se emplea en cada iteración:

- a) El método de Newmark.- Para calcular la deformada de corrección " $\Delta a_{i(m)}$ "
- b) El método de Takabeya.- Para calcular los cortantes en el pórtico.

Como se podrá ver, que sí el número de iteraciones es considerable, esta dependiendo de la rigidez de la placa; se tiene que emplear ambos métodos por cada iteración.

El método trabaja con deformadas finales de la estructura

$$\Delta i_{i(m)} = \Delta(i - \Delta a_{i(m)}) \quad \text{la cual se le deberá}$$

dar a los diversos elementos de la estructura y comprobar que

$$e_l : V_T = V_{por} + V_m$$

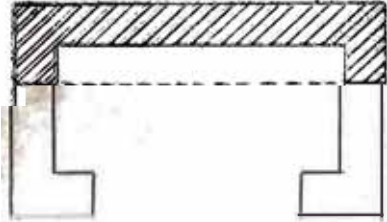
Se puede aplicar a cualquier tipo de estructura y se le da por válido después de realizar la comprobación anterior.

El método fué aceptado y promulgado, debido a que ha dado buenas respuestas y éstos han sido comparados con otros de métodos diferentes.

Al igual que los otros métodos iterativos se encontró que cuando la placa es más rígida la convergencia es más rápida.

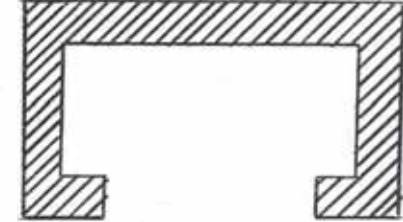
M E T O D O : M U T O - A C I - M A T R I C I A L - K H A N .

C U A D R O G E N E R A L D E D E S P L A Z A M I E N T O S



C A S O : I

C A S O : II

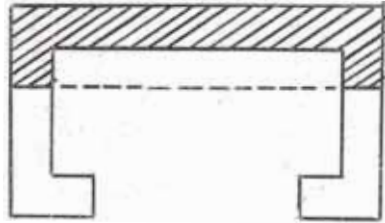


UNIDADES : Cms.

| N | M.MUTO | M.ACI | M.MATRICIAL | M.KHAN | M.MUTO | M.ACI | M.MATRICIAL | M.KHAN | N |
|----|--------|-------|-------------|--------|--------|-------|-------------|--------|----|
| 10 | 3.526 | 2.827 | 2.866 | 3.353 | 3.027 | 2.305 | 2.355 | 2.639 | 10 |
| 9 | 3.180 | 2.521 | 2.557 | 2.989 | 2.686 | 2.023 | 2.069 | 2.359 | 9 |
| 8 | 2.820 | 2.200 | 2.236 | 2.573 | 2.338 | 1.736 | 1.779 | 2.022 | 8 |
| 7 | 2.437 | 1.865 | 1.901 | 2.216 | 1.982 | 1.447 | 1.486 | 1.684 | 7 |
| 6 | 2.040 | 1.528 | 1.562 | 1.804 | 1.624 | 1.161 | 1.197 | 1.353 | 6 |
| 5 | 1.624 | 1.189 | 1.222 | 1.399 | 1.262 | 0.883 | 0.915 | 1.031 | 5 |
| 4 | 1.195 | 0.857 | 0.889 | 1.015 | 0.905 | 0.620 | 0.649 | 0.729 | 4 |
| 3 | 0.805 | 0.551 | 0.578 | 0.615 | 0.592 | 0.386 | 0.409 | 0.457 | 3 |
| 2 | 0.443 | 0.284 | 0.306 | 0.347 | 0.316 | 0.191 | 0.209 | 0.233 | 2 |
| 1 | 0.154 | 0.086 | 0.099 | 0.113 | 0.107 | 0.055 | 0.060 | 0.073 | 1 |

Gráfico : (I) y (II)

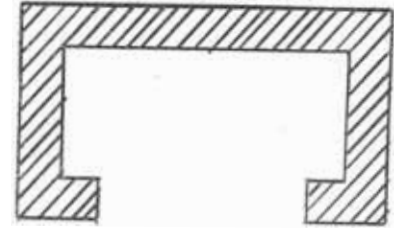
M E T O D O : M U T O - A C I M A T R I C I A L 1.5 K H A N



CUADRO GENERAL DE DESPLAZAMIENTOS

C A S O I

C A S O II



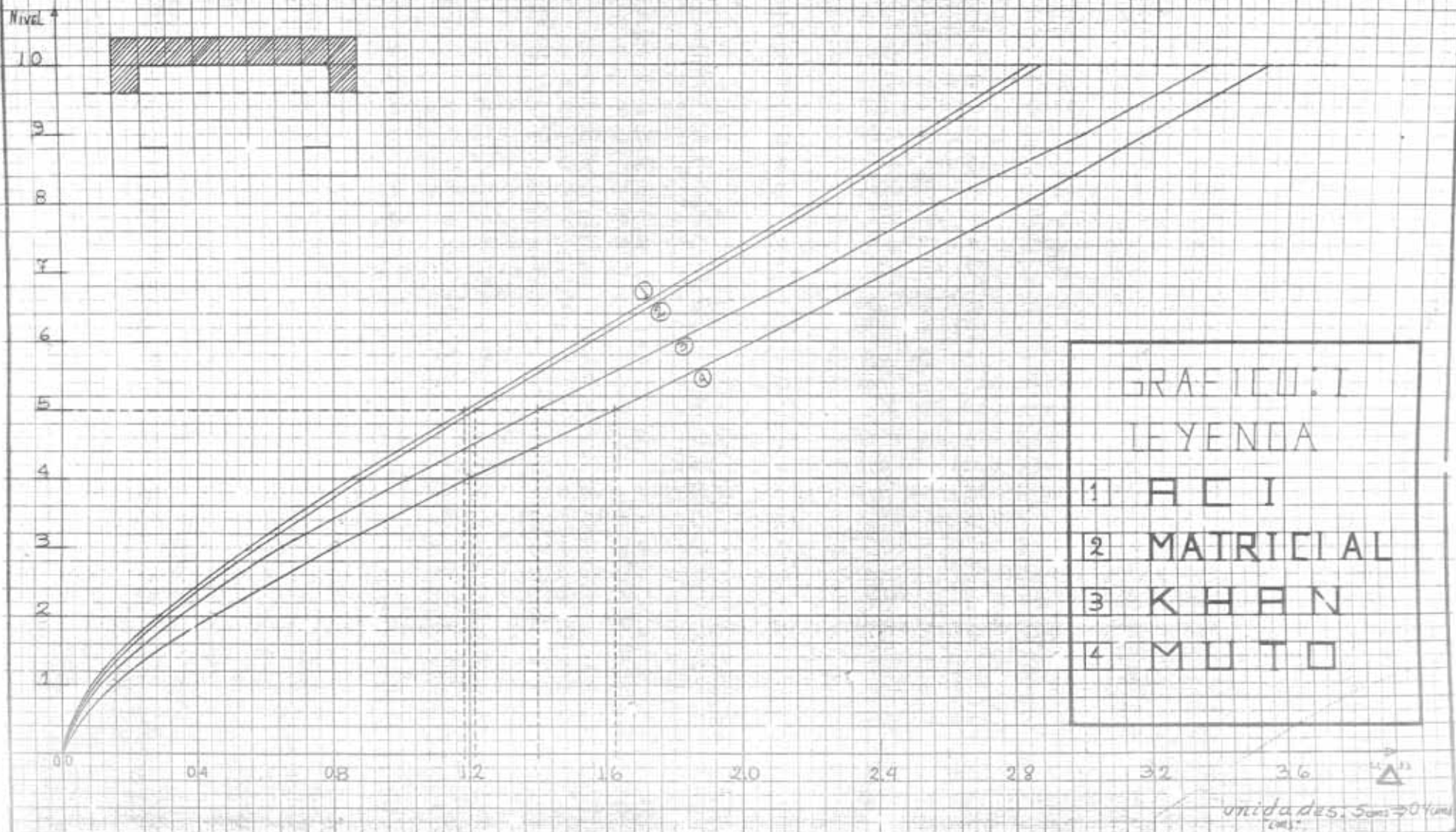
UNIDADES Cms.

| N _j | M. MUTO | M. ACI | M. MATRICIAL | M. KHAN(1.5) | M. MUTO | M. ACI | M. MATRICIAL | M. KHAN(1.5) | N |
|----------------|---------|--------|--------------|--------------|---------|--------|--------------|--------------|----|
| 10 | 3.526 | 2.827 | 2.866 | 2.847 | 3.027 | 2.305 | 2.355 | 2.359 | 10 |
| 9 | 3.180 | 2.521 | 2.557 | 2.540 | 2.686 | 2.023 | 2.069 | 2.068 | 9 |
| 8 | 2.820 | 2.200 | 2.236 | 2.183 | 2.338 | 1.736 | 1.779 | 1.774 | 8 |
| 7 | 2.437 | 1.865 | 1.901 | 1.885 | 1.982 | 1.447 | 1.486 | 1.478 | 7 |
| 6 | 2.040 | 1.528 | 1.562 | 1.535 | 1.624 | 1.161 | 1.197 | 1.190 | 6 |
| 5 | 1.624 | 1.189 | 1.222 | 1.194 | 1.262 | 0.883 | 0.915 | 0.909 | 5 |
| 4 | 1.195 | 0.857 | 0.889 | 0.879 | 0.905 | 0.620 | 0.649 | 0.645 | 4 |
| 3 | 0.805 | 0.551 | 0.578 | 0.562 | 0.592 | 0.386 | 0.409 | 0.407 | 3 |
| 2 | 0.443 | 0.284 | 0.306 | 0.303 | 0.316 | 0.191 | 0.209 | 0.209 | 2 |
| 1 | 0.154 | 0.086 | 0.099 | 0.100 | 0.107 | 0.055 | 0.060 | 0.066 | 1 |

GRAFICO : (III) Y (IV)

M E T O D O : A C I - M A T R I C I A L - K H A N - M U T O

C A S O : I - D E S P L A Z A M I E N T O S : u^u



METODO: HET-MATRITAL-KARN-MULTI

CASO: II 5 - 4 PLAZAMIENTOS: "Δ"

Nivel:

10

9

8

7

6

5

4

3

2

1

00

03

06

09

12

15

18

21

24

27

30

33

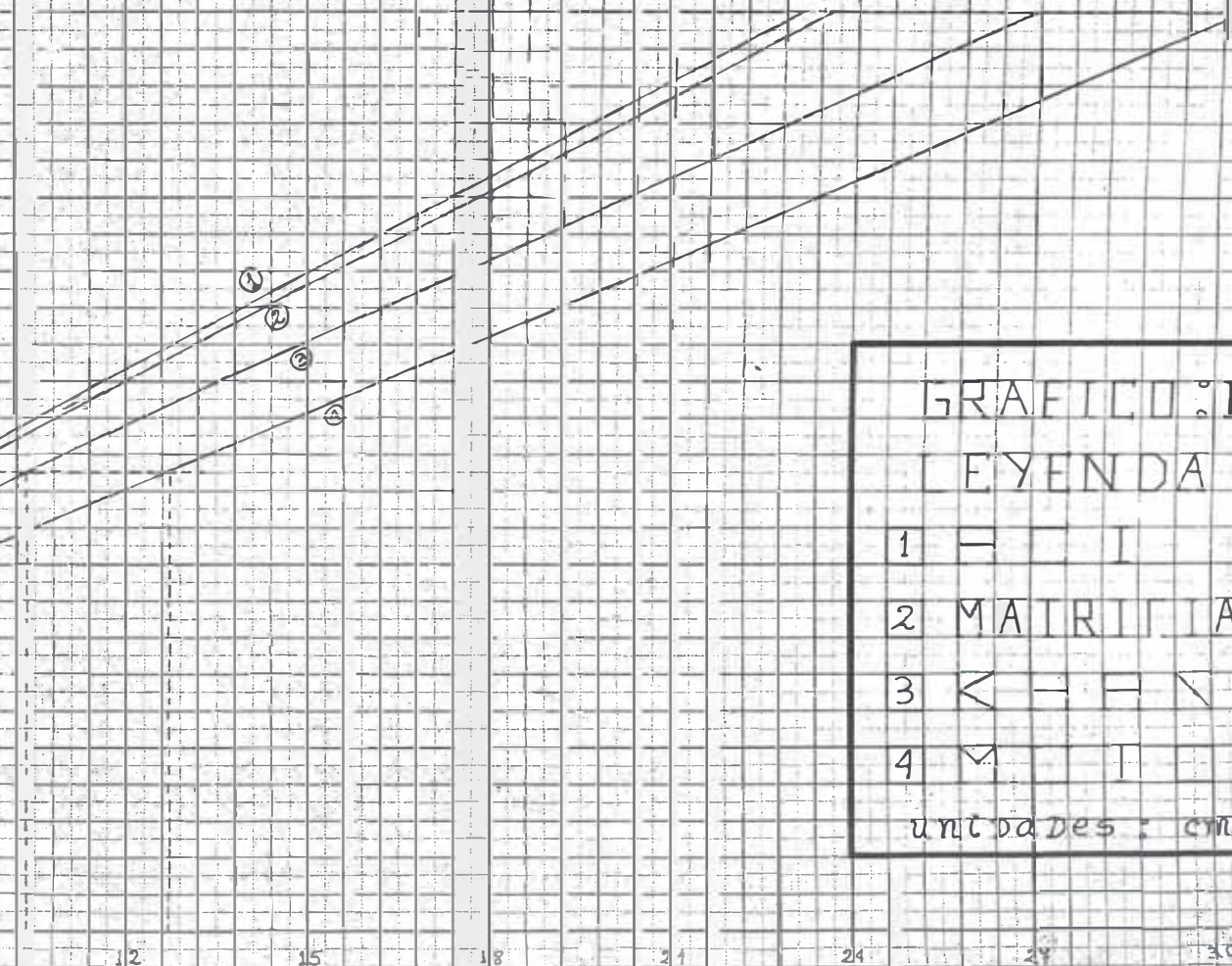
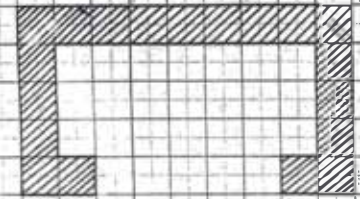


GRAFICO: II

LEYENDA

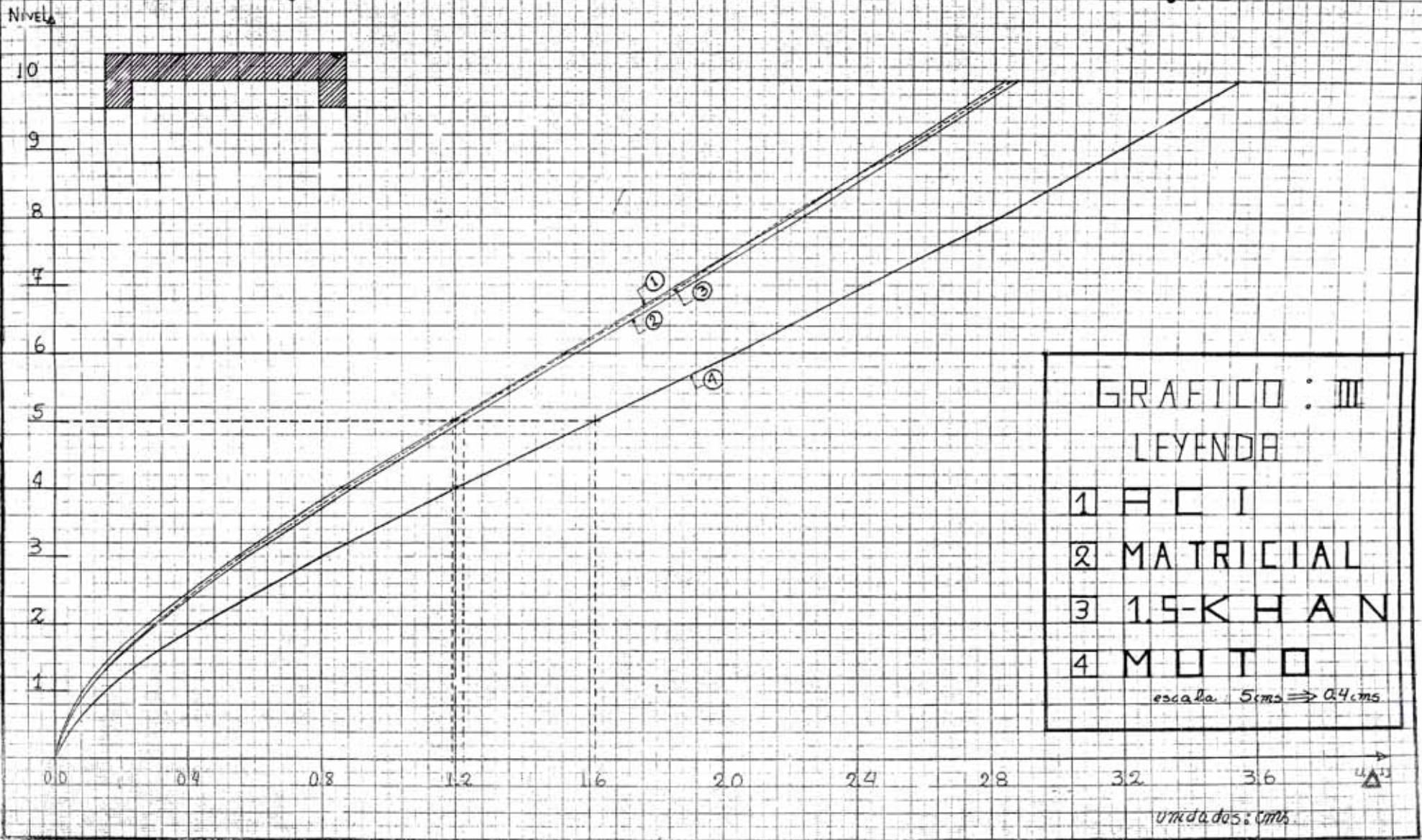
- 1 = I
- 2 MATRIITAL
- 3 < - - \
- 4 ∇ T

unidades: cms

escala: 5m -> 0.3cm

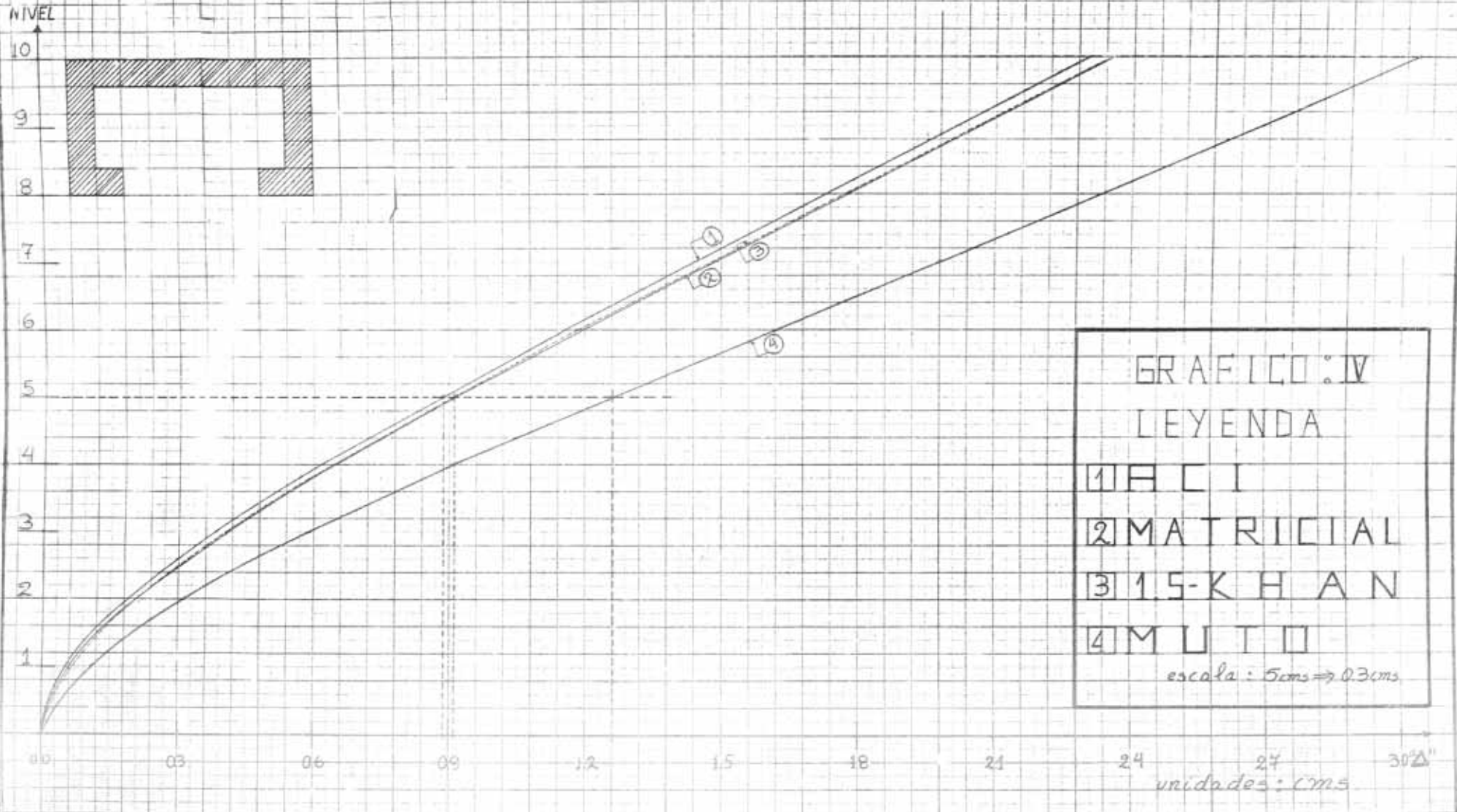
M E T O D O : A C I - M A T R I C I A L - K H A N - M U T O

C A S O : I - D E S P L A Z A M I E N T O S : Δ



M E T O D O : A C I - M A T R I C I A L - K H A N - M U T O

C A S O : II - D E S P L A Z A M I E N T O S : \triangle



CONCLUSIONES GENERALES

Las subdividiremos en los siguientes puntos:

a) Referente a las Respuestas:

Como se podrá ver en el cuadro general de desplazamientos como también en los gráficos (I) y (II), el orden creciente sería: METODO DE DIFERENCIAS FINITAS, METODO MATRICIAL, METODO DE KHAN; METODO DE MUTO, EN LOS DOS CASOS DE ESTUDIO.

EL MODELO DE ANALISIS PARA LOS METODOS DE DIFERENCIAS FINITAS Y MATRICIAL ES EL MISMO, las deformaciones son casi iguales (se diferencian en la segunda cifra decimal), pero los caminos de solución son diferentes. El método de diferencias finitas emplea la ecuación: $y^{IV} = \frac{P_c}{EI}$ ecuación de diferencias finitas de cuarto orden, relacionando como máximo 5 niveles consecutivos (el nivel considerado; y dos adyacentes de arriba y dos adyacentes de abajo); mientras que el método MATRICIAL, emplea la ecuación:

$\{F\} = [K]\{X\}$ donde $\{F\}$ = matriz fuerza; $[K]$: igual matriz de rigidez y $\{X\}$ matriz de deformación, relacionando el efecto en los demás niveles de una carga " P_c " aplicada en el nivel " i "; lo que quiere decir que la influencia en los niveles no consecutivos es mínima.

En los gráficos (III) y (IV) se pueden ver que los métodos: DIFERENCIA FINITAS; MATRICIAL y KHAN (Adicional), tienen las mismas deformaciones, si aproximamos las respuestas a la primera cifra decimal (cuadro general de desplazamientos) y esto sucede en los casos de estudio (Caso I y Caso II). Es importante esta comparación ya que los métodos son distintos y el método de KHAN ha sido afectado por un factor: $\alpha = 1.5$. La introducción de este factor es motivo de un mejor estudio, procurando así una mejora en el método.

El alcance que tiene cada uno de estos métodos, han sido establecidos en las conclusiones particulares de cada uno.

B) REFERENTE A LA TRABAJABILIDAD DEL METODO:

Si tenemos en cuenta la máquina computadora; el método conveniente a usarse en orden sería: METODO MATRICIAL; METODO DE DIFERENCIA FINITA; y METODO DE KHAN MODIFICADO. Como se podrá ver que en el Tercer lugar figura el método de KHAN modificado (1.5); esta salvedad lo hacemos teniendo en cuenta los resultados satisfactorio que se han encontrado en otros modelo de estudio o prueba.

Si no contamos con la máquina computadora; el método conveniente, en orden sería: METODO DE MUTO; METODO DE DIFERENCIA FINITA; Y METODO DE KHAN.

Teniendo en cuenta el número de pisos; ya que para el método de Diferencias finitas, el número de pisos nos indica el número de ecuaciones para resolver. El método de KHAN, como dijimos anteriormente, es de convergencia lenta y se acomoda para ser resuelta mediante la computadora.

El método de Muto tiene su rango de aplicación; es referente a la flexibilidad de la placa. Esto se puede notar cuando hacemos el análisis en la dirección (O-E) y (N-S) pero se nota mejor en la dirección (N-S) ya que encontramos una placa pequeña y flexible lo que originó que no se llegara a una convergencia, después de haber realizado varias iteraciones. También en el análisis (O-E); en el eje "2" al analizar la placa del ascensor, se estudio primero como placa aislada, no lográndose ninguna convergencia debido a la poca rigidez, luego se tomo la caja del ascensor como placa en conjunto, aumentándose de esta manera la rigidez aproximadamente en 4 veces su valor (CASO II) en donde se encontró una convergencia con una aproximación satisfactoria.

Luego se realizó el análisis por el método de MUTO, considerando un ancho colaborante variable, primero se tomó (1/5) del ancho aumentando muy poca su rigidez; también no se pudo encontrar una con

vergencia satisfactoria, posteriormente se aumentó este ancho a $(1/4)$ encontrándose resultados idénticos que el anterior. Finalmente se tomó como ancho colaborante $(1/3)$; (CASO I) en el que se obtuvo de primera intención resultados idénticos a los anteriores, pero mediante un artificio ($50\% M_c$) se encontró una convergencia con una buena aproximación. La justificación de este artificio se expuso en las conclusiones particulares del método. No se debe de pensar que este tipo de artificio trae siempre buenos resultados; eso depende de muchos factores como: rigideces de los vigas adyacentes (su longitud es muy importante); la simetría del pórtico compuesto (marcos y placas) y también como es de esperarse la rigidez de la placa; esto se puede ver en forma numérica en la dirección (N-S) en la cual se probó con varios porcentajes (39% ; 43%) no llegándose a encontrar convergencia adecuada. El método de Muto; a diferencia de los otros métodos nos presenta un proceso para realizar el análisis de Torsión: que en nuestro medio es muy importante; debido a los múltiples tipos de distribución de los elementos estructurales que son encontrados en los diversos proyectos; en la cual no tienen en cuenta: la simetría; la rigideces, etc. Es por esta razón y por los resultados obtenidos que el método de Muto ocuparía el primer lugar; para realizar un análisis sísmico teniendo un Sentido Conservador; al igual que el método de FAZLU R. KHAN; que nos presenta resultados también conservadores; pero no un proceso para realizar el análisis a Torsión.

- Los métodos de Diferencias finitas y Matricial; nos dan valores menores, y los caminos de solución los podemos considerar como exactos, salvo en el cálculo de las rigideces de Traslación y Rotación (Wilbur y Cardan); que se realizaron a partir de varias asunciones, las cu por sugerencia los autores, han tenido resultados satisfactorios. Lue go pués dichas consideraciones no traen como consecuencia un error con siderable; salvo en los 2 primeros niveles que si fallan estas expresiones; por motivos señalados en las respectivas conclusiones particu lares.

Pero para el efecto de diseño este error se soluciona teniendo como base los resultados obtenidos en el tercer nivel y repetirlo en el 2° y 1° nivel; pudiendo también existir otro camino para corregir esta irregularidad que existe con mayor intensidad en el primer nivel.

La flexibilidad de las placas es una limitación para dar solución por cualquiera de los métodos propuestos en este trabajo.

Para el método de Muto ya se ha visto que tomando un porcentaje del momento de oposición de las vigas que inciden sobre las placas no siempre dan resultados satisfactorios. En cuanto a los otros métodos Diferencias Finitas, Método Matricial, Khan, tienen una aplicación inmediata cuando se tiene en un análisis considerado solamente una placa, cuando se analizan varias placas de modo que en la estructura se presente el proceso de interacción marcos-muros, en la aplicación de estos métodos se presenta el problema de distribuir los cortes y momentos del sistema equivalente, a cada muro, en este aspecto el método de Muto presenta la ventaja de que los cortes se distribuyen proporcionalmente a las constantes D . Para los Métodos de Diferencias Finitas y Método Matricial, los cortes se distribuyen proporcionalmente a las inercias de las placas; este último es un criterio práctico, para determinarlo en su verdadera magnitud habría que hacer un estudio científico y corroborarlo con modelos, lo cual escapa al objeto de esta Tesis.

Cuando se combinan placas rígidas y flexibles, se tienen dos extremos en cuanto a deformaciones; actuando cada una por si sola, la placa rígida tiene poco desplazamiento, en cambio la placa flexible tiene un mayor desplazamiento; actuando en conjunto al final ambas deben tener un mismo desplazamiento.

Es por esta razón que aplicando el método de Muto se tendría una convergencia lenta y para llegar al resultado final habría que desarrollar varias iteraciones. Algo similar ocurre en el método de Khan. En

los métodos de Diferencia Finita, y el método Matricial, la respuesta para el modelo equivalente es inmediata.

- Cuando se analizan placas flexibles, con el método de Muto, no logramos obtener resultados para poder diseñar, por encontrarse valores absurdos en las iteraciones (Actuando la fuerza sísmica en un sentido, la placa se deflecta en sentido contrario); para los método de Diferencias Finitas, Método Matricial, habría que buscar expresiones más exactas que las de Cardan para el Cálculo de las Constantes de Rotación y de Traslación.

- Cuando se está analizando como en el caso propuesto. Dos placas laterales sumamente rígidas, y una placa flexible, puede considerarse como un resultado práctico, que son las placas rígidas las que toman todo el corte, y que la placa flexible no toma nada. En la realidad todo elemento resistente absorbe corte, pero como ya hemos visto, la placa flexible toma un porcentaje ínfimo del corte total, por lo que considerandolo nulo, el error que se comete es muy pequeño y puede obviarse para un diseño.

- Considerando un diseño conservador, en que las placas actúan como vigas en cantiliver bajo el efecto de un estado de cargas, constitudas por las fuerzas sísmicas, el cálculo lleva a tener errores apreciables en el cálculo de las placas, pues que mientras en los pisos bajos se obtiene una condición crítica, no sucede lo mismo con los pisos altos, es, pues, necesario realizar el análisis sísmico considerando la interacción muro-pórtico.

P R O G R A M A 1METODO DEL PROFESOR TAKABEYA - DISTRIBUCION DE MOMENTOS

```

0DIMENSION S(8),H(16),SRC(16),FMR(17,PH(16),BI(16.9),CI(16.9).
1SR(16,9),FM(17,10),W(16.8),PV1(16.8).PV2(16.8), A1(16,8)A2(16.8)
2EMR(16,9), EML(16,9),FN(16,9),FMA(16,9),IG(10),TM(16,8),A(16,8)
KD#1

DEFINE DISK(9,3000)
COMMON NP,NC,N1,NJC,5,IG.
10FORMAT (80H
1
2 FORMAT (6I2)
3 FORMAT (10F8.3)
40FORMAT (23H0 NUMERO DE PISOS...12/23H0 NUMERO DE CRUJIAS..12
1/40H0 *LAS LUCES Y ALTURAS DEL PORTICO SON*/(1H,2X,10F7.2))
5 FORMAT (41H0 *LOS MOMENTOS DE INERCIA DE VIGAS SON*/(3H 10F7.2))
60FORMAT (44H0*LOS MOMENTOS DE INERCIA DE COLUMNAS SON*/(1H .2X,
10F 17.2))
7 FORMAT (212,4X,4F8.3))
8 FORMAT (1H0,15X,4HVIGA,7X,6HM.IZQ..6HM.DER.,3X,10H ORTE IZQ.,
12X,10HCORTE DER./)
9 FORMAT (1H , 15X,212,4F12.3)
100FORMAT (1H0,15X,4HCOL.,7X,6HM.SUP.,6X,6HM.INF.,6X,5HCORTE,
5X,8HF. NO 1RMAL/)

READ 1
PRINT 1
READ 2, NP, NC, NJC

```

```

N1=NC+1
N2=NC+2
N3=NP+1
READ 3, (S(J),J=2,N1), (H(1),1=2,H3)
READ 3, ( (BI) I,J),J=2,N1), 1=2,N3), ( (CI(I,J),J=2,N2),I=2,N3)
PRINT 4, NP,NC, (S(J),J=2,N1), (H(1),1=2,N3)
PRINT 5, ((B1(1,J),1=2,N3),J=2,N1)
PRINT 6, ((C1(1,J),1=2,N3),J=2,N2)
FMR(1)=0
DO 20 J=2,N2
FN(1=J)=0
20 C1(1,J)=0
DO 30 i = 2,N3
B1 (1,1)=0
30 B1 (1,N2)=0
DO 50 1=2,N3
DO 40 J=2,N1
40 B1 (1,J)=B1(1,J)/S(J)
DO 50 J=2,N2
50 C1 (1,J)=C1(1,J)/H(1)
DO 60 1=2,N3
SRC(1)=0
DO 60 J=2,N2
SR (1,J)=2 (C1(1-1,J)+C1(1,J)+B1(1,J-1)+B1(1,J))
1F (SR(1,J)) 60,60,52

```

```
52 SR(1,J)=1./SR(1,J)
60 SRC(1)=SRC(1)+C1(1,J)
   DO 200 NO=1,NJC
     1J(NO)=KD
     READ 1
     PRINT 1
     DO 70 K=1,1
     DO 70 L=1,J
70 FM(K,L)=0
   DO 90 I=2,N3
     PH(I)=0
     DO 80 J=2,N1
       W(1,J)=0
       PV1(1,J)=0
       PV2(1,J)=0
       TM(1,J)=0
       A1(1,J)=0
       A2(1,J)=0
80 A(1,J)=0
   DO 90 J=2, N2
     EMR(1,J)=0
     EML(1,J)=0
     FN(1,J)=0
90 FMA(1,J)=0
   READ 3   EPS
   READ 2 , M1,M2,M3,M4,M5,M6
   1F(M1) 102,102,92
```

```

92 READ 3, (PH(1), 1=2, N3)
    THV=0
    DO 100 1=2, N3
    THV=THV+PH(1)
100 PH(1)=-0.5*THV*H(1)/SRC(1)
102 1F(M2) 112, 112, 104
    READ 3, ((W(1, J), J=2, N1), 1=2, N3)
    DO 110 1=2, N3
    DO 110 J=2, N1
    EMR(1, J)=W(1, J)*S(J)*S(J)/12.
110 EML(1, J+1)=EMR(1, J)
112 1F(MR) 122, 122, 114
114 DO 120 K=1, M3
    READ 7, 1, J, PV1(1+1, J+1), A1(1+1, J+1), PV2(1+1, J+1), A2(1+1, J+1)
    1=1+1
    J=J+1
    OEMR(1, J)=EMR(1, J)+(PV1(1+J)*A1(1, J)*((S(J)-A1(1, J))**2)+
    1PV2(1, J)*A2(1, J)*((S(J)-A2(1, J))**2))/(S(J)**)
120 EML(1, J+1)=EML(1, J+1)+(PV1(1, J)*(S(J)-A1(1, J))*(A1(1, J)**2)+
    1PV2(1, J)*(S(J)-A2(1, J))*(A2(1, J)**))/(S(J)**)
122 1F(M4) 126, 126, 124
124 READ 3, (EML(1, 2), FM(1, 2), EMR(1, N2), FN(1, N2), 1=2, N3)
126 1F(M5) 132, 132, 128
128 DO 130 K=1, M5
    READ 7, 1, J, TM(1+1, J+1), A(1+1, J+1)
    1=1+1
    J=1+1
    OEMR(1, J)=EMR(1, J)+(TM(1, J)*(S(J)-A(1, J))*3.*A(1, J)-S(J))
    1/(S(J)*S(J))

```

```

1300EML(1,J+1)=EML(1,J+1)-(TM(1,J)*A(1,J)*(2.*S(J)-3.*A(1,J)))
      1/(S(J)*S(J))
132 1F(M6) 132,142,134
134 READ 3,EM
      READ 3,(HP(1),1=2,N3)
      DO 140 1=2,N3
140 FMR(1)=6.*EM*PH91)/H(1)
142 DO 150 1=2,N3
      DO 150 J=2,N2
150 FM(1,J)=(EMR(1,J)-EML(1,J))*SR(1,J)
152 L=0
      1F(M6) 154,154,162
154 DO 160 1=2,33
      FMR(1)=PH(1)
      DO 160 J=2,N2
160 FMR(1)=FMR(1)-1.5*(FM(1,J)+FM(1+1,J)*C1(1,J)/SRC(1)
162 DO 170 1=2,N3
      DO 170 J=2,N2
      FM(1,J)=(EMR(1,J)-EML(1,J)-((FM(1-1,J)+FMR(1-1))*C1(1-1,J)+(FM(1+1,J)
1+ FMR(1))*C1(1,J)+FM(1,J-1)*B1(1,J-1)+FM(1,J+1)*B1(1,J)))*SR(1,J)
      1F(FM(1,J)) 164,165,164
164 E=(FM(1,J)-FMA(1,J))/FM(1,J)
      GO TO 166
165 E=0
166 1F(ABSSF(E)-EPS) 168,168,170
168 L=L+1
170 FMA(1,J)=FM(1,J)
      1F(L-LP*N1) 152,152,172

```

```

172 PRINT 8
DO 190 I=2,N3
  I1=I-1
  VL=0
DO 180 J=2,N1
  J1=J-1
  EMR(1,J)=-EMR(1,J)+B1(1,J)*(2.*FM(1,J)+FM(1,J+1))
  EML(1,J+1)=-EML(1,J+1)-B1(1,J)*2.*FM(1,J+1)+FM(1,J)
  OVR=0.5*W(1,J)*S(J)+(PV1(1,J)*(S(J)-A1(1,J))+PV2(1,J)*(S(J)-A2(1,J)
  1-EMR(1,J)+EML(1,J+1))/S(J) + 6.*TM(1,J)*A(1,J)*(S(J)-A(1,J))/
  2 (S(J)**3)
  FN(1,J)=FN(1,J)+FN(I1,J)+VR-VL
  VL=VR-W(1,J)*S(J)-(PV1(1,J)+PV2(1,J))
  PRINT 9,I1,J1,EMR(1,J),EML(1,J+1),VR,VL
1800RECORD (KD EMR(1,J),VR?W(1,J),PV1(1,J),A1(1,J),PV2(1,J),A2(1,J),
  1TM(1,J),A(1,J)
190 FN(1,N2)=FN(1,N2)+FN(I1,N2)-VL
  PRINT 10
DO 200 I=2,N3
  I1 I-1
DO 200 J=2,N2
  J1=J-1
  EMA=C1(1,J)*(2.*FM(1,J)+FM(1+1,J)+FMR(1))
  EMV=-C1(1,J)*(2.*FM(1,J)+FM(1+1,J)+FMR(1))
  VA=- (EMA-EMV)/H(1)
  PRINT 9,I1,J1,EMB,EMA,VA,FN(1,J)
200 RECORD (KD) EMB,EMA,VA,FN(1,J)
  CALL LINK (ROXANA)
  END

```


P R O G R A M A 2

METODO DE FAZLUR. R. KHAN :

```

DIMENSION H(30),BS(30),LS(30),WI(30),PH(30),P(30),V(30),DFA(30)
1DFB(30),WD(30),FWD(30),DC(30),EMR(30),EMA(30),EMB(30),DFR(30)
READ 1,NP,CS(1)
N=NP+1
READ 2,(H(I),I=2,N),(BS(I),I=2,N),(CS(I),I=2,N),(WI)(I),I=2,N),
1 (PH(I),I=2,N),EN,ER
1 FORMAT (I2),F15.8)
2 FORMAT (8F10.8)
CALL NEWM (N,H,WI,PH,WD)
DO 10 I=2,N
51=CS(I)+CS(I-1)+3.*BS(I)
DFA(I)=CS(I-1)/51
DFB(I)=CS(I)/51
DFR(I)=3.*BS(I)/51
10 FWD(I)=WD(I)
15 EMB(1)=0
EMA(2)=0
DO 20 I=2,N
EMB(I)=3.*CS(I)*(WD(I)-WD(I+1))/H(I)
EMA(I+1)=EMB(I)
20 EMR(I)=0
25 DO 45 I=2,N
51=EMA(I)+EMB(I)+EMR(I)
1F (ABS(51)-ER)30,30,40

```

```

30 L=L+1
40 EMA(I)=EMA(I) - DFA(I)*S1
   EMB(I)=EMB(I) - DFB(I)*S1
   EMR(I)=EMR(I) - DFR(I)*S1
   EMA(I+1)=EMA(I+1) - 0.5*DFB(I)*S1
45 EMB(I-1)=EMB(I-1) - 0.5*DFA(I)*S1
   IF(L-NP) 25, 50, 50
50 V(I)=0
   DO 55 I=2,N
   V(I)=(EMB(I)+EMA(I+1))/H(I)
55 P(I)=2.*(V(I) - V(I-1))
   CALL NEWM (N,H,WI,P,DC)
   L=0
   DO 65 I=2,N
   S1=FWD(I) + DC(I) - WD(I)
   IF(ABS(S1) - ER) 60, 60, 65
60 L=L+1
65 WD(I) = FWD(I)/(1. - DC(I)/WD(I))
70 DO 75 I=2,N
   WD(I) = WD(I)/EM
   K=NP - I + 2
75 PRINT 3,K,WD(I)
   3 FORMAT(1H ,I3,F15.8)
   GO TO 15
END

```

METODO DE NEWMARK

```

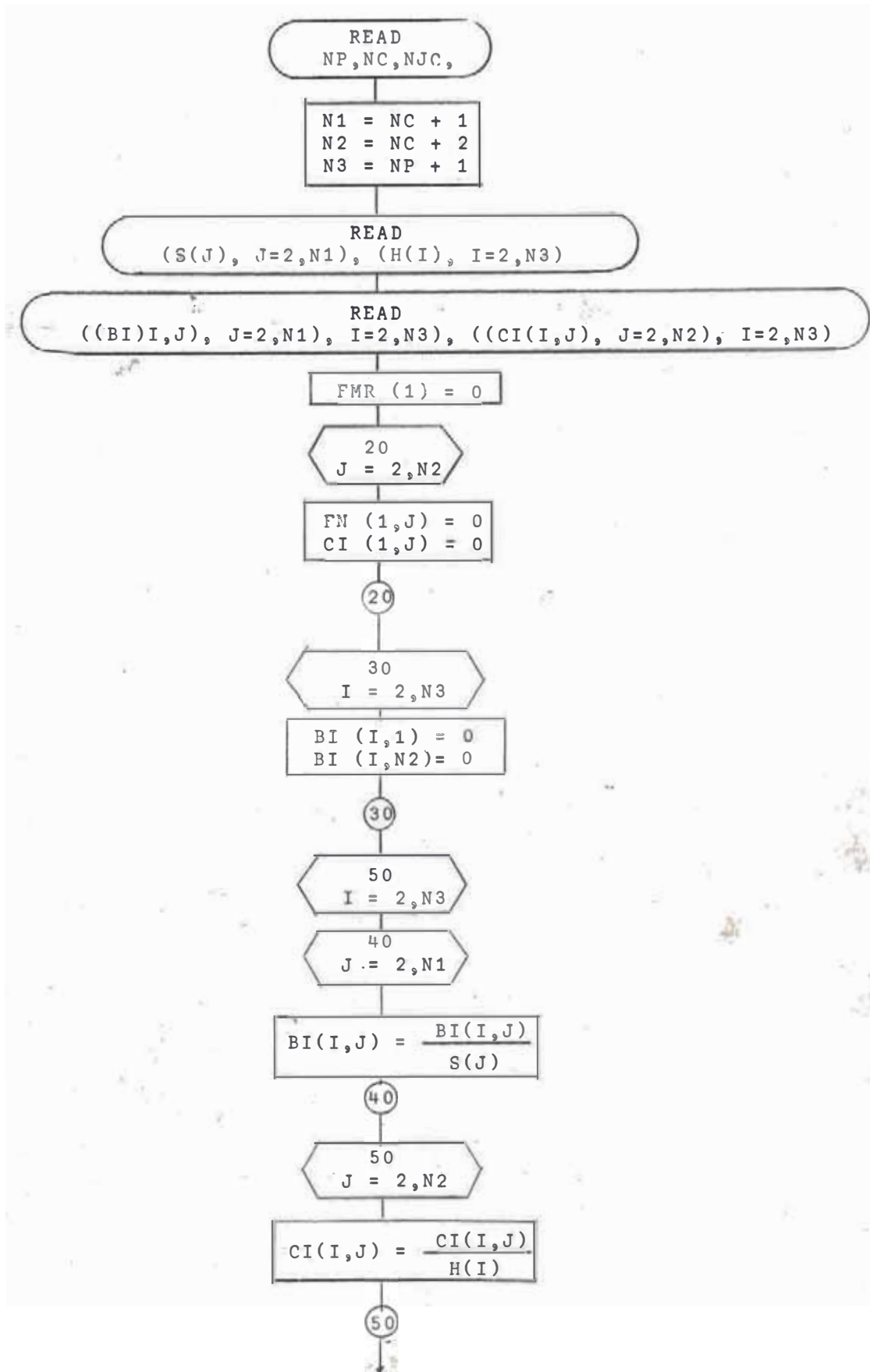
SUBROUTINE NEWM (N,H,WI,PH,WD)
SIMENSION H(30),WI(30),PH(30),WD(30),G(30)
1 FORMAT (1H ,I3,FI5.8)
V=0
FM=0
G(2)=0
DO 10 I = 2,H
V = V + PH(I)
A1 = FM/WI(I)
FM = FM - V H(I)
A2 = FM/WI(I)
G(I) = G(I) + (2. A1 + A2) H(I)/6.
10 G(I+1) = (A1 + 2. A2) H(I)/6.
WD(I) = 0
15 I=I-1
G(1) = G(I) + G(I) + 1)
WD(I) = WD(I + 1) + G(I+1)* H(I)
IF(I-2) 20, 20, 15
20 DO 100 I = 2,M
K = N-1+1
100 PRINT 1, K, WD(I)
RETURN
END.

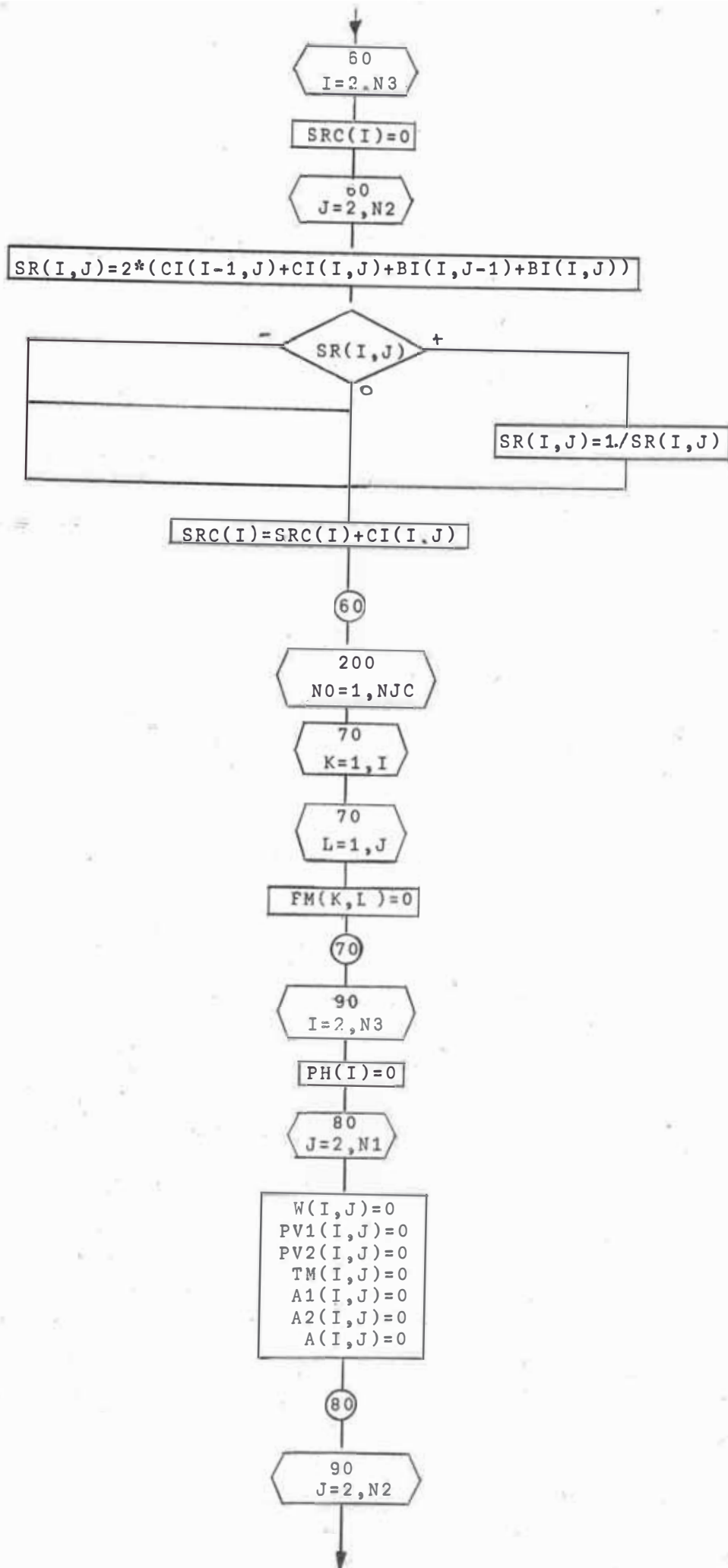
```

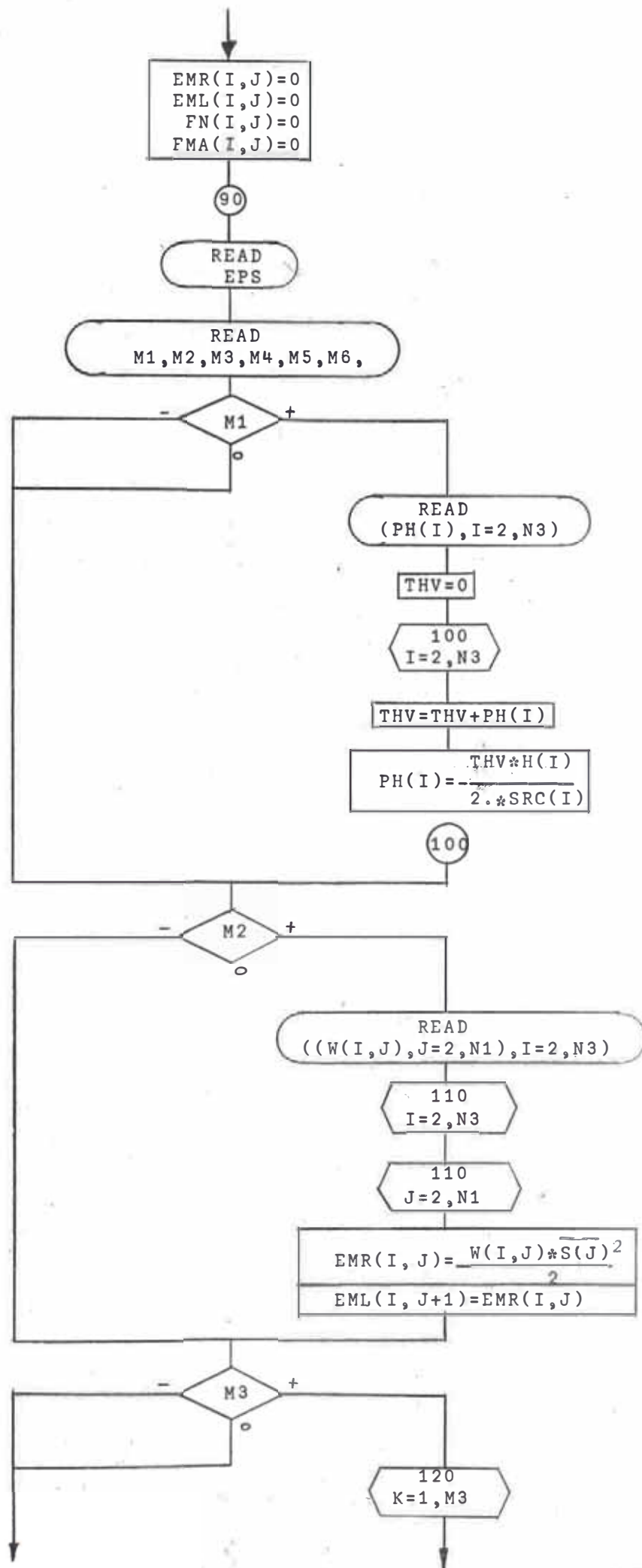
PROGRAMA : 1

METODO DEL PROFESOR F. TAKABEYA

DIAGRAMA DE FLUJO







EMR(I,J)=0
EML(I,J)=0
FN(I,J)=0
FMA(I,J)=0

90

READ
EPS

READ
M1, M2, M3, M4, M5, M6,

M1

READ
(PH(I), I=2, N3)

THV=0

100
I=2, N3

THV=THV+PH(I)

$PH(I) = \frac{THV * H(I)}{2 * SRC(I)}$

100

M2

READ
((W(I,J), J=2, N1), I=2, N3)

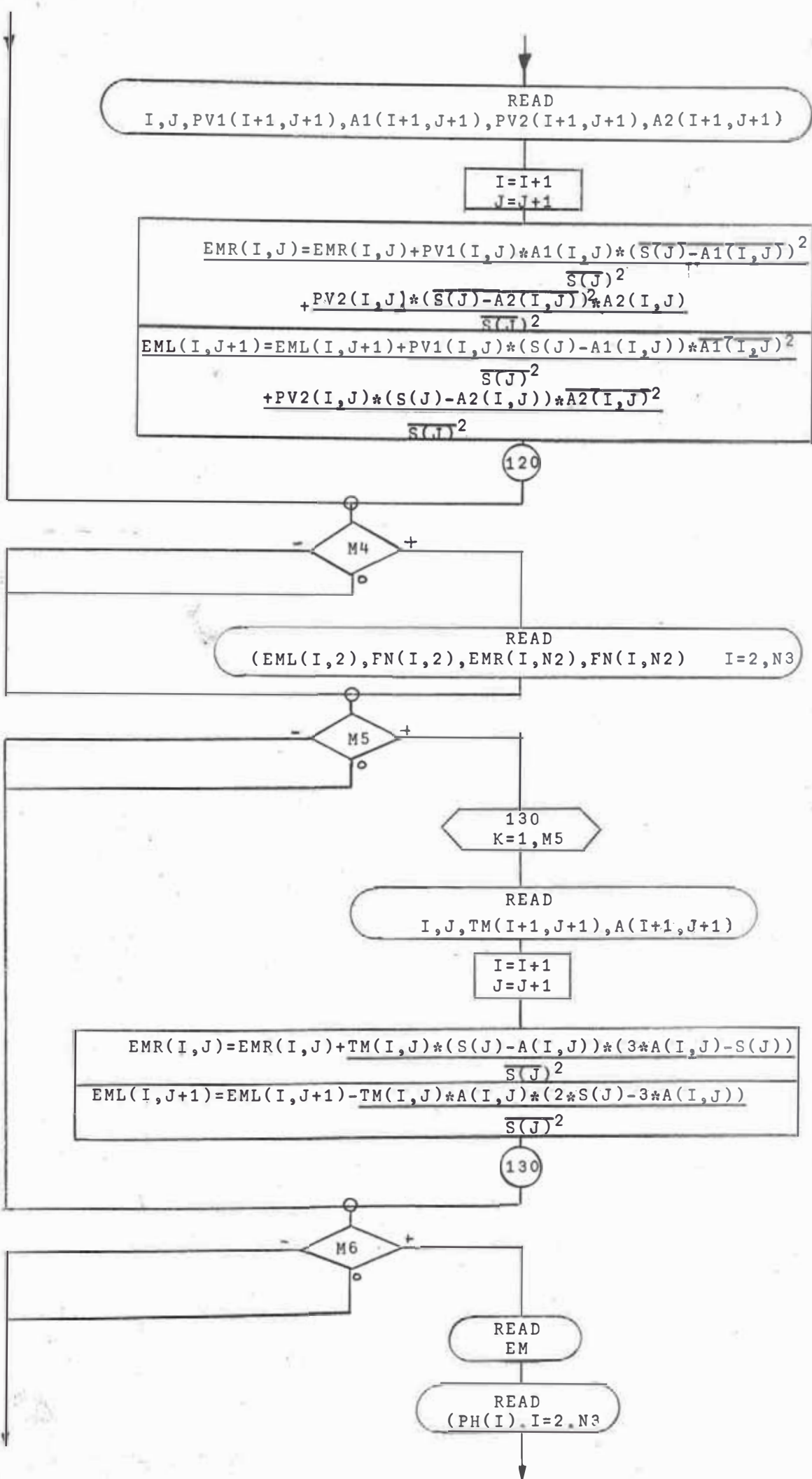
110
I=2, N3

110
J=2, N1

$EMR(I, J) = \frac{W(I, J) * S(J)^2}{2}$
EML(I, J+1)=EMR(I, J)

M3

120
K=1, M3



READ
I, J, PV1(I+1, J+1), A1(I+1, J+1), PV2(I+1, J+1), A2(I+1, J+1)

I = I+1
J = J+1

$$EMR(I, J) = EMR(I, J) + \frac{PV1(I, J) * A1(I, J) * (S(J) - A1(I, J))^2}{S(J)^2}$$

$$+ \frac{PV2(I, J) * (S(J) - A2(I, J))^2 * A2(I, J)}{S(J)^2}$$

$$EML(I, J+1) = EML(I, J+1) + \frac{PV1(I, J) * (S(J) - A1(I, J)) * A1(I, J)^2}{S(J)^2}$$

$$+ \frac{PV2(I, J) * (S(J) - A2(I, J)) * A2(I, J)^2}{S(J)^2}$$

120

M4

READ
(EML(I, 2), FN(I, 2), EMR(I, N2), FN(I, N2)) I = 2, N3

M5

130
K = 1, M5

READ
I, J, TM(I+1, J+1), A(I+1, J+1)

I = I+1
J = J+1

$$EMR(I, J) = EMR(I, J) + \frac{TM(I, J) * (S(J) - A(I, J)) * (3 * A(I, J) - S(J))}{S(J)^2}$$

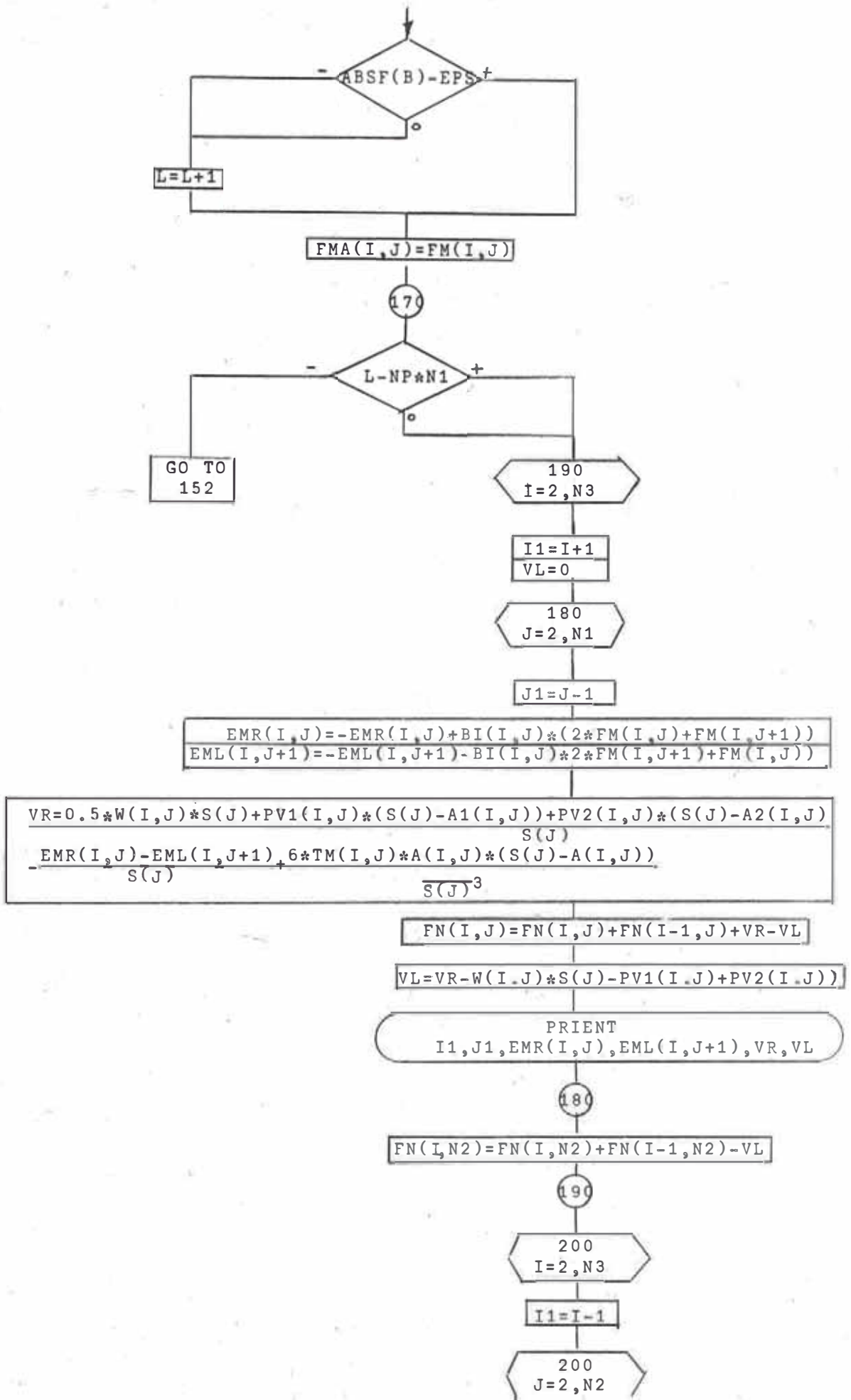
$$EML(I, J+1) = EML(I, J+1) - \frac{TM(I, J) * A(I, J) * (2 * S(J) - 3 * A(I, J))}{S(J)^2}$$

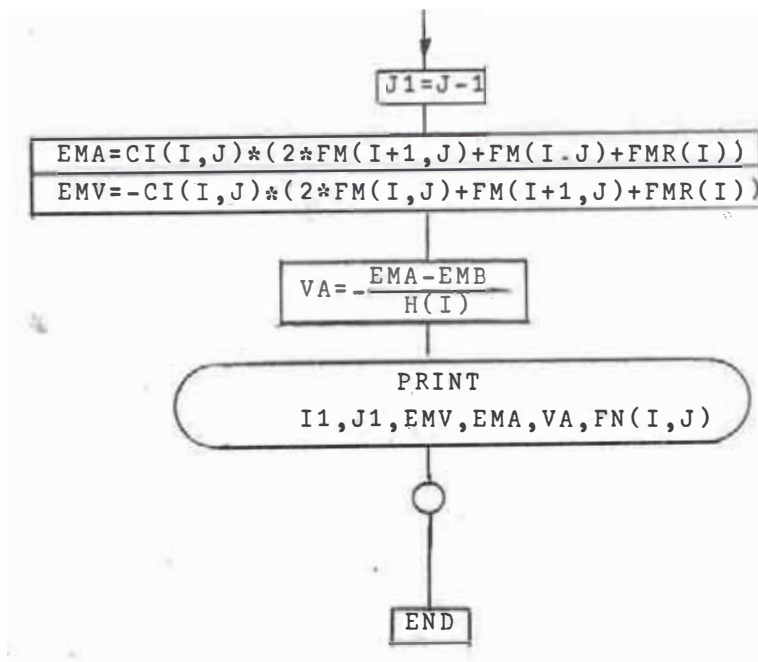
130

M6

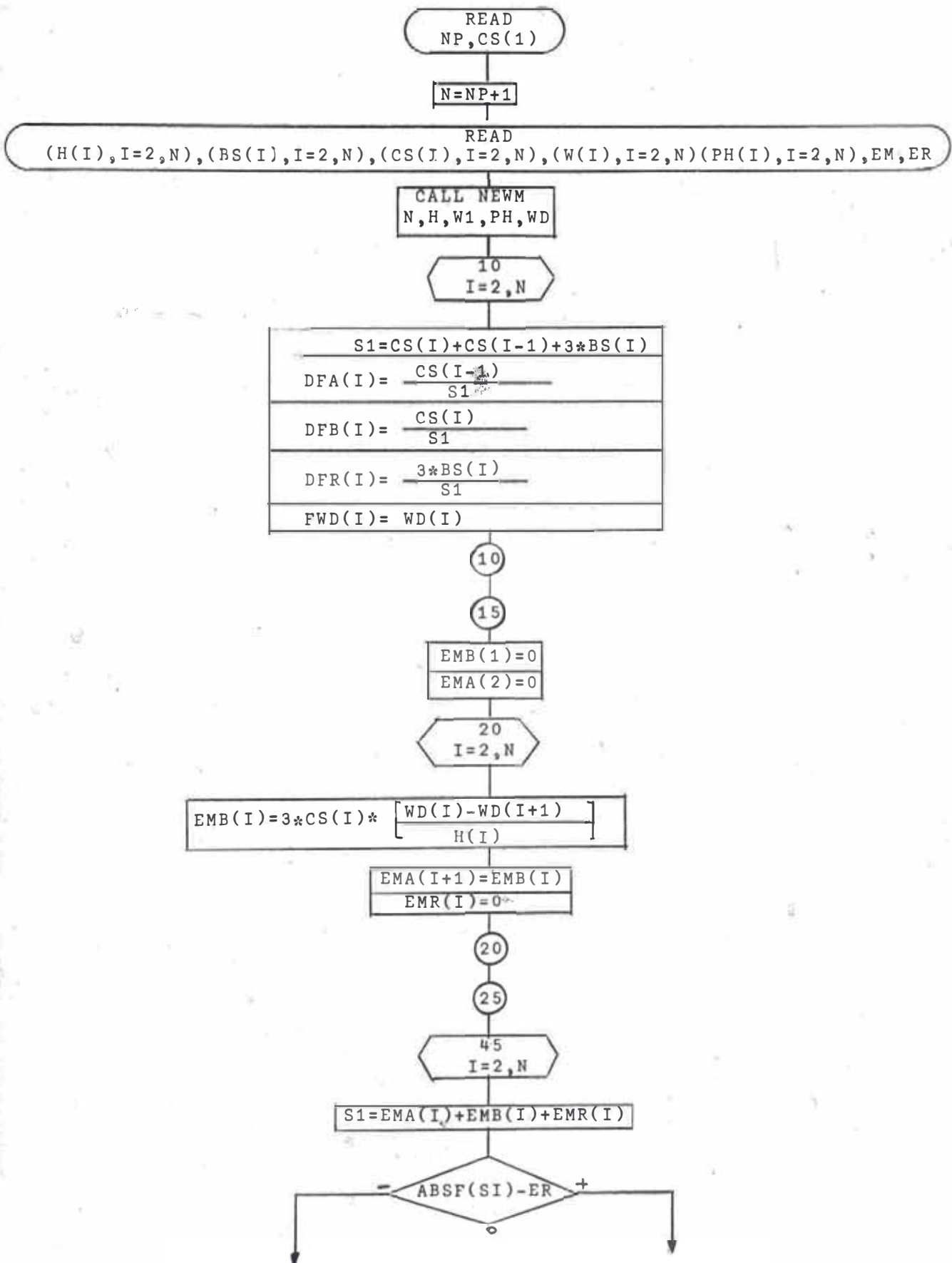
READ
EM

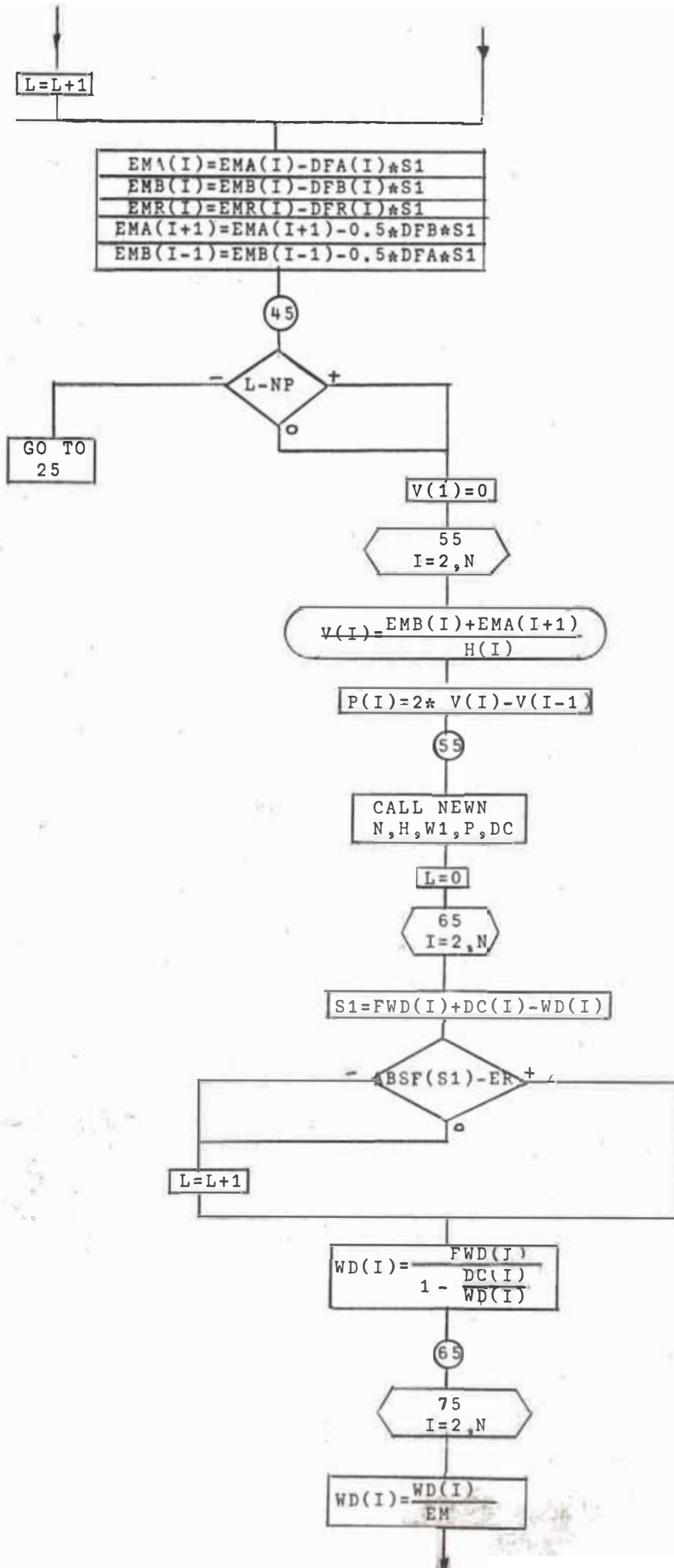
READ
(PH(I), I = 2, N3)

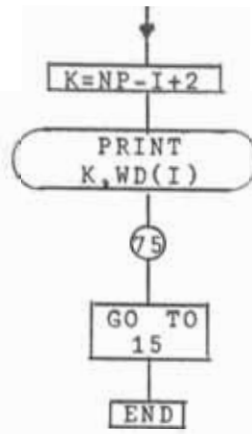




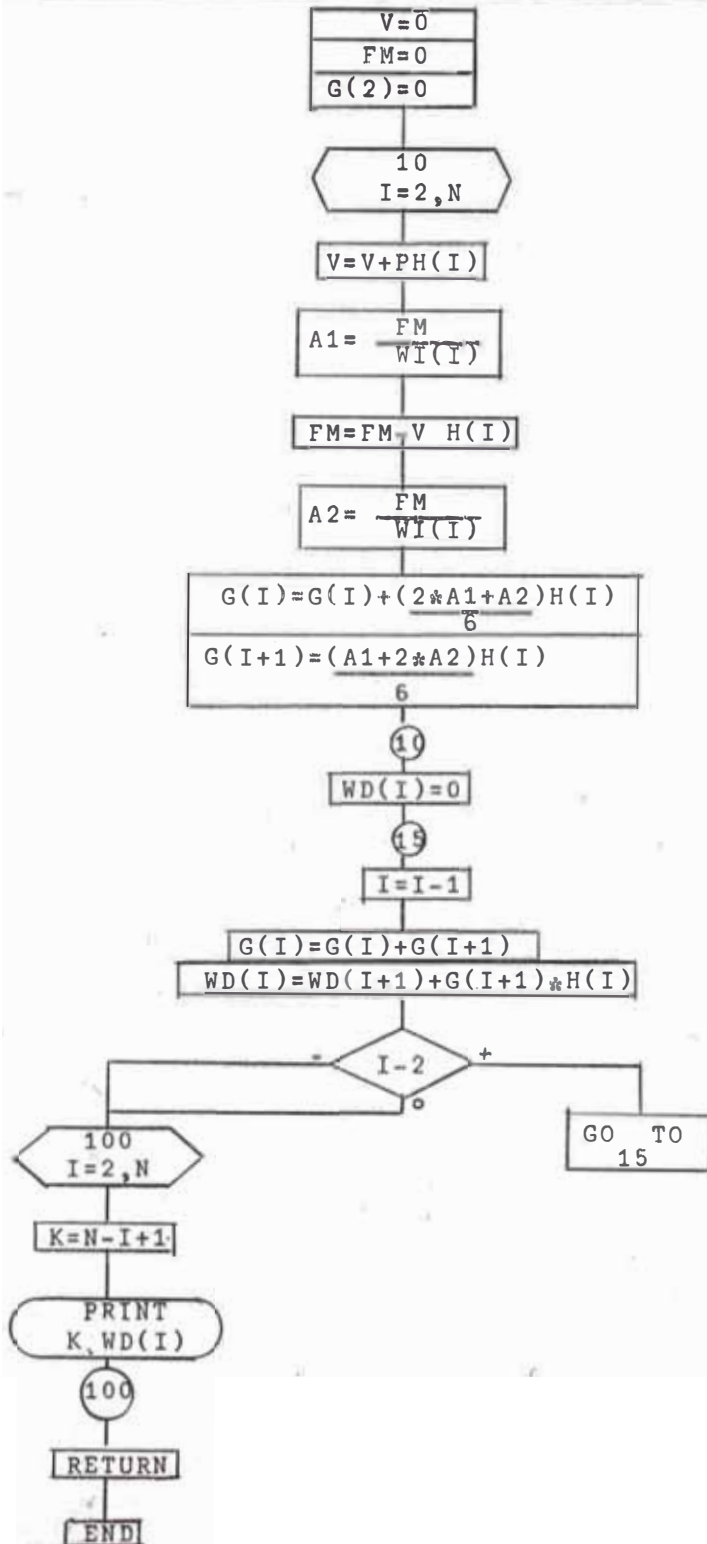
P R O G R A M A
M E T O D O D E F A Z L U R R. K H A N
 DIAGRAMA DE FLUJO







M E T O D O D E N E W M A R K : D I A G R A M A D E F L U J O



B I B L I O G R A F I A

- Julio Kuroiwa ., Proyecto de Normas Peruanas de Diseño Antisísmico
Universidad Nacional de Ingeniería, Instituto de Estructuras ,Lima
Perú . 1964
- Kiyoshi Muto , Seismic Analysis of Reinforced Concrete Buildings
Shokoku-sha Publishing Company ,Tokyo-Japan . 1965
 - Rosenblueth E..Holtz I.; Elastic Analisis of Shear Walla in tall
Building , Journal ACI ,Vol.31 ,N°12. 1960.
 - Ignacio Holtz Hale ; Tesis Profesional U.N.A.M.,Escuela Nacional
de Ingenieros.
 - Pillip L. Gould . Interacción de Placas.
Journal ACI . Enero de 1965 Pag: 45-68
 - Bernhard Cardon ; Concrete Shear Walls Combined with Rigid Frames
in Multistory Building Subject to Lateral Loads,Proceedings of the
American Concrete Institute . Vol.58(1961-1962) title N°58-14,
August 1961.
 - Wilbur J.B.;Distribution of Wind Loads to the Bents of a Building,
Journal Boston Society of Civil Engineers (Oct. 1935)
 - Newmark N.M.; Blume J.A.,Corning L.H.;Desing of Multistory Reinforced
Concrete Buildings for Earthquake Motions,P.C.A.1961.
 - Fazlur R. Khan and John A. Sbarounis ;Interaction of Shear Walls and
Frames ,Journal of the Structural Division,Proceedings of the American
Society of Civil Engineers ,June 1964,ST-3 p.p.285. (Boletin N°19 .Ins-
tituto De Estructuras y de la Construcción).
 - Tema de Tesis del Ing: RAUL DELGADO SAYAN : Analisis Sísmico Compara-
tivo de la Interacción de Muros y Pórticos : Método de Muto ; Metodo de
Rosenblueth ; Método de Khan
 - Tema de Tesis del Ing: ARMANDO NAVARRA PEÑA: Diseño de una Estructura;
Programas de Takabeya y Khan.
 - Moshe f.Rubinstein : Analisis Estructural Avanzado . Curso que se dicta
en el Departamento de Estructuras por el Dr: Ricardo Yamashiro .